

In this file you find the English version starting on the page numbered [E1](#).

Rationally presented metric spaces and complexity, the case of the space of uniformly continuous real functions on a compact interval

This is the English translation of the French paper “Espaces métriques rationnellement présentés et complexité, le cas de l’espace des fonctions réelles uniformément continues sur un intervalle compact”, *Theoretical Computer Science* **250**, n°1-2, 265–332, (2001). (Received April 1997; revised March 1999.) We have fixed some minor typos.

Then the French version begins on the page numbered [F1](#).

Espaces métriques rationnellement présentés et complexité, le cas de l’espace des fonctions réelles uniformément continues sur un intervalle compact

Authors

Henri Lombardi, Université Marie et Louis Pasteur, F-25030 Besançon Cedex, France,
email: henri.lombardi@univ-fcomte.fr

Salah Labhalla, Dépt. de Mathématiques, Univ. de Marrakech, Maroc
labhalla@ucam.ac.ma

E. Moutai, Dépt. de Mathématiques, Univ. de Marrakech, Maroc

Rationally presented metric spaces and complexity, the case of the space of uniformly continuous real functions on a compact interval

February 20, 2025

This is the English translation of the French paper “Espaces métriques rationnellement présentés et complexité, le cas de l’espace des fonctions réelles uniformément continues sur un intervalle compact”, *Theoretical Computer Science* **250**, n°1-2, 265–332, (2001). (Received April 1997; revised March 1999.) We have fixed some minor typos.

Abstract

We define the notion of *rational presentation of a complete metric space* in order to study metric spaces from the algorithmic complexity point of view. In this setting, we study some presentations of the space $\mathbf{C}[0, 1]$ of uniformly continuous real functions over $[0, 1]$ with the usual norm: $\|f\|_\infty = \mathbf{Sup}\{|f(x)|; 0 \leq x \leq 1\}$. This allows us to have a comparison of a global kind between complexity notions attached to these presentations. In particular, we get a generalisation of Hoover’s results concerning the *Weierstrass approximation theorem in polynomial time*. We get also a generalisation of previous results on analytic functions which are computable in polynomial time.

Keywords: Metric spaces, Real functions, Turing machine, Boolean circuit, Binary semilinear circuit, Arithmetic circuit, Algorithmic complexity, Weierstrass approximation theorem, Gevrey class, Chebyshev series.

Introduction	E3
1 Preliminaries	E7
1.1 Notations	E7
Presentations of the space $\mathbf{C}[0, 1]$	E8
1.2 Interesting classes of discrete functions	E9
1.3 Complexity of a Universal Turing Machine	E10
1.4 Circuits and evaluation programs	E10
2 Rationally presented complete metric spaces	E11
2.1 Rational presentation of a metric space, complexity of points ...	E11
2.2 Complexity of uniformly continuous maps	E13
2.3 Complexity of locally uniformly continuous maps	E16
2.4 A general approach to the complexity of continuous functions	E17
2.5 Open and closed subspaces	E17
2.6 Rationally presented Banach spaces	E18
3 Continuous real functions on a compact interval ...	E19
3.1 Definition of a rational presentation of the space of continuous functions	E19
3.2 Two significant examples of rational presentations of the space $\mathbf{C}[0, 1]$	E20
3.2.1 Presentation by binary semilinear circuits	E21
3.2.2 Presentation \mathcal{C}_{rff} (via controlled rational functions given in formula presentation)	E22
3.3 Newman's approximation theorem and its algorithmic complexity	E23
4 A natural presentation of the space $\mathbf{C}[0, 1]$	E26
4.1 Definitions of some presentations of the space $\mathbf{C}[0, 1]$	E26
4.1.1 KF presentation (KF as in Ko-Friedman)	E26
4.1.2 Presentation by boolean circuits	E30
4.1.3 Presentation by arithmetic circuits (with magnitude)	E31
4.1.4 Presentation by polynomial arithmetic circuits (with magnitude)	E32
4.2 Comparisons of previous presentations	E32
4.3 Complexity of the norm problem	E37
4.4 Complexity of the considered rational presentations	E38
5 Some \mathcal{P}-presentations for the space $\mathbf{C}[0, 1]$	E39
5.1 Definitions of some \mathcal{P} -presentations	E39
5.1.1 Presentation \mathcal{C}_{W} (à la Weierstrass)	E39
5.1.2 Presentation \mathcal{C}_{sp} (via semipolynomials in dense presentation)	E40
5.1.3 Presentation \mathcal{C}_{srf} (via controlled semirational functions given in presentation by formula)	E40
5.2 Results concerning the Weierstrass presentation	E41
5.2.1 Some definitions and results in the theory of uniform approximation by polynomials	E41
5.2.2 Some classical results	E42
5.2.3 Returning to questions of complexity in the space \mathcal{C}_{W}	E46
5.3 Comparisons of different presentations of class \mathcal{P}	E50
Conclusion	E51
Bibliographic references	E52

Rationally presented metric spaces and complexity, the case of the space of uniformly continuous real functions on a compact interval

S. Labhalla
Dépt. de Mathématiques
Univ. de Marrakech, Maroc
labhalla@ucam.ac.ma

H. Lombardi
Laboratoire de Mathématiques de Besançon
Université Marie et Louis Pasteur, France
henri.lombardi@univ-fcomte.fr

E. Moutai
Dépt. de Mathématiques
Univ. de Marrakech, Maroc

February 20, 2025

This is the English translation of the French paper “Espaces métriques rationnellement présentés et complexité, le cas de l’espace des fonctions réelles uniformément continues sur un intervalle compact”, *Theoretical Computer Science* **250**, n°1-2, 265–332, (2001). (Received April 1997; revised March 1999.) We have fixed some minor typos.

Abstract

We define the notion of *rational presentation of a complete metric space* in order to study metric spaces from the algorithmic complexity point of view. In this setting, we study some presentations of the space $\mathbf{C}[0, 1]$ of uniformly continuous real functions over $[0, 1]$ with the usual norm: $\|f\|_\infty = \mathbf{Sup}\{|f(x)|; 0 \leq x \leq 1\}$. This allows us to have a comparison of a global kind between complexity notions attached to these presentations. In particular, we get a generalisation of Hoover’s results concerning the *Weierstrass approximation theorem in polynomial time*. We get also a generalisation of previous results on analytic functions which are computable in polynomial time.

Key words: Metric spaces, Real functions, Turing machine, Boolean circuit, Binary semilinear circuit, Arithmetic circuit, Algorithmic complexity, Weierstrass approximation theorem, Gevrey class, Chebyshev series.

Introduction

Let $\mathbf{C}[0, 1]$ be the space of uniformly continuous real functions on the interval $[0, 1]$.

In [16], Ker-I. Ko and Friedman introduced and studied the notion of complexity of real functions defined via an oracle Turing machine. In the article [14], Hoover studied presentations of the space $\mathbf{C}[0, 1]$ via boolean circuits and arithmetic circuits.

In these two articles the complexity in the $\mathbf{C}[0, 1]$ space is studied “in a pointwise meaning”. In other words, they study sentences such as:

- f is a \mathcal{P} -point in the sense of Ker-I. Ko and Friedman.
- f is a \mathcal{P} -point in the sense of boolean circuits.
- f is a \mathcal{P} -point in the sense of arithmetic circuits.

Ker-I. Ko and Friedman studied the properties of \mathcal{P} -points (in their sense). Hoover showed that \mathcal{P} -points in the sense of arithmetic circuits are the same as \mathcal{P} -points in the sense of Ker-I. Ko and Friedman.

In this paper, we study several presentations of the space $\mathbf{C}[0,1]$ based on the notion of *rational presentation of a complete metric space*. This allows us to make a global comparison between the notions of complexity attached to different presentations.

After some preliminaries in Section 1, Section 2 essentially contains an exposition of what seems to us to be a natural approach concerning complexity questions related to separable complete metric spaces.

Usually a metric space contains objects of infinite nature (the paradigm being real numbers defined à la Cauchy), which rules out a direct computer presentation (i.e. encoded on a finite alphabet) of these objects.

To get round this difficulty, we proceed as usual for the space \mathbb{R} . Let us consider a dense part Y of the metric space X under consideration, which is simple enough that

- its elements can be encoded as (certain) words on a fixed finite alphabet;
- the distance function restricted to Y is computable, i.e. given by a computable function:

$$\delta : Y \times Y \times \mathbb{N}_1 \rightarrow \mathbb{Q} \quad \text{with} \quad |d_X(x, y) - \delta(x, y, n)| \leq 1/2^n.$$

The space X then appears as the completion of Y .

We will say that the proposed encoding of Y and the proposed description of the distance function constitute a “rational presentation” of the metric space X .

It should be noted that we do not intend to deal with non-complete metric spaces, for which the encoding difficulties seem insurmountable, and for which it is practically impossible to demonstrate anything serious in constructive analysis.

Similarly, the metric spaces treated are “separable” (also known as “second countable”).

The metric spaces studied in constructive analysis (cf. [5]) are very often defined via a rational presentation of this type, or at least easy to define according to this scheme. The problem that arises is generally to define constructively a dense countable part of the space under consideration. This is obviously impossible for classical non-separable Banach spaces such as L^∞ , but it is precisely these spaces that cannot be treated in their classical form by constructive methods. The problem is more delicate for spaces that are classically separable but for which there is no natural constructive method that gives a dense countable part. For example, this is the case for an arbitrary closed subspace of a complete separable space, and it is still the case for certain spaces of continuous functions.

The unary presentation and the binary presentation of \mathbb{Z} are not equivalent from the point of view of polynomial time complexity. The unary presentation is a natural presentation of \mathbb{Z} as a group whereas the binary presentation is a natural presentation of \mathbb{Z} as a ring. Similar questions can be asked about the usual classical metric spaces.

The first question that arises is the comparison of the different presentations of a usual metric space. Note that the usual presentation of \mathbb{R} is to be the only natural one and that it is from this presentation of \mathbb{R} that the complexity of a presentation (Y_1, δ_1) of X or the complexity of the map Id_X from (Y_1, δ_1) to (Y_2, δ_2) is defined when comparing two distinct presentations of X .

The next question is that of the complexity of computable continuous maps between metric spaces. While there is a natural notion of the complexity of functions in the case of compact spaces, the question is much trickier in the general case, since it refers to the complexity of arbitrary type-2 functionals.

Another question is that of the complexity of objects linked in a natural way to the metric space under study. For example, in the case of the reals, and considering only the algebraic structure of \mathbb{R} , we are interested in the fact that the complexity of addition, multiplication or finding the complex roots of a polynomial with real coefficients are all “low level”. This kind of result legitimises a posteriori the choice that is usually made to present \mathbb{R} , and results

of the opposite kind disqualify other presentations (cf. [21]), which are less efficient than the presentation via Cauchy sequences of rationals written in binary.¹

Similarly, a usual metric space is generally provided with a richer structure than just the metric structure, and it is then a question of studying, for each presentation, the complexity of these “natural elements of structure”.

In Section 3, we introduce the space $\mathbf{C}[0, 1]$ of uniformly continuous real functions on the interval $[0, 1]$ from the point of view of its rational presentations.

The evaluation function $(f, x) \mapsto f(x)$ is not locally uniformly continuous. Given its importance, we discuss what the complexity of this function means when we have chosen a rational presentation of the space $\mathbf{C}[0, 1]$.

We then give two significant examples of such rational presentations:

- A binary semilinear circuit presentation, \mathcal{C}_{slc} , where the rational points are exactly the binary semilinear maps. Such a map can be defined by a binary semilinear circuit (cf. Definition 3.2.1) and encoded by an evaluation program corresponding to the circuit.
- A presentation, denoted by \mathcal{C}_{rff} , via rational functions suitably controlled and given in presentation by formula (cf. Definition 3.2.5).

Finally we establish complexity results related to Newman’s approximation theorem. Briefly, Newman’s theorem has polynomial complexity and consequently the piecewise linear functions are, each individually, points of complexity \mathcal{P} in the rational presentation \mathcal{C}_{rff} .

In Section 4 we define and study several “natural” rational presentations of $\mathbf{C}[0, 1]$, equivalent from the point of view of polynomial time complexity.

- The so-called Ko-Friedman presentation, denoted by \mathcal{C}_{KF} , for which a rational point is given by a quadruplet (Pr, n, m, T) where Pr is a Turing machine program. The integers n, m, T are control parameters. We make the link with the notion of complexity introduced by Ker-I. Ko and Friedman. We show a universal property that characterises this rational presentation from the point of view of polynomial-time complexity.
- The boolean circuit presentation which is denoted by \mathcal{C}_{bc} and for which a rational point is given by a quadruplet (C, n, m, k) where C encodes a boolean circuit and n, m, k are control parameters.
- The presentation by arithmetic circuits (with magnitude) noted \mathcal{C}_{ac} . A rational point of this presentation is given by a pair (C, M) where C is the code of an arithmetic circuit, and M is a control parameter.
- The presentation by polynomial arithmetic circuits (with magnitude) noted \mathcal{C}_{pac} analogous to the preceding one, but here the circuit is polynomial, i.e. it does not contain the “pass to inverse” gates).

We show in Section 4.2 that the presentations \mathcal{C}_{KF} , \mathcal{C}_{bc} , \mathcal{C}_{slc} , \mathcal{C}_{ac} and \mathcal{C}_{pac} are equivalent in polynomial time.

This result generalises and clarifies Hoover’s results. Not only are the \mathcal{P} -points of \mathcal{C}_{KF} “the same” as the \mathcal{P} -points of \mathcal{C}_{pac} , but even better, the bijections

$$\mathcal{C}_{\text{KF}} \rightarrow \mathcal{C}_{\text{pac}} \quad \text{and} \quad \mathcal{C}_{\text{pac}} \rightarrow \mathcal{C}_{\text{KF}}$$

which represent the identity of $\mathbf{C}[0, 1]$ are computable in polynomial time. Thus we obtain a fully controlled formulation of the Weierstrass approximation theorem from an algorithmic point of view.

In Section 4.3, we show that these presentations are not of class \mathcal{P} by establishing the infeasibility of computing the norm function (if $\mathcal{P} \neq \mathcal{NP}$). More precisely, we properly define

¹Nevertheless, the sign test is undecidable for the reals presented à la Cauchy. We are satisfied with the constructive test in polynomial time: $x + y \geq 1/2^n \Rightarrow (x \geq 1/2^{n+2} \text{ or } y \geq 1/2^{n+2})$.

“the norm problem” and show that it is an \mathcal{NP} -complete problem for the presentations we have introduced.

As for the membership test of the set of rational (codes of) points, it is a \mathcal{CO} - \mathcal{NP} -complete problem for the presentations \mathcal{C}_{KF} and \mathcal{C}_{bc} , while it is in linear time for the presentation \mathcal{C}_{slc} . The latter is therefore slightly more satisfactory.

In Section 5 we define other presentations of the space $\mathbf{C}[0, 1]$.

- The presentation denoted by \mathcal{C}_{W} (like Weierstrass) for which the set of rational points is the set of (one-variable) polynomials with rational coefficients given in dense presentation.
- The presentation denoted by \mathcal{C}_{sp} for which the set of rational points is the set of piecewise polynomial functions, each polynomial being given as for \mathcal{C}_{W} .
- The presentation \mathcal{C}_{srf} is obtained from \mathcal{C}_{rff} in the same way as \mathcal{C}_{sp} is obtained from \mathcal{C}_{W} .

We try to see to what extent the \mathcal{P} class character of these presentations provides a suitable framework for numerical analysis.

We characterise the \mathcal{P} -points of \mathcal{C}_{W} by establishing the equivalence between the following properties (cf. Theorem 5.2.7).

- a) f is a \mathcal{P} -point of \mathcal{C}_{W} ;
- b) the sequence $A_n(f)$ (which gives the expansion of f in a Chebyshev series) is a \mathcal{P} -sequence in \mathbb{R} and verifies the inequality

$$|A_n(f)| \leq Mr^{n^\gamma} \text{ with } M > 0, \gamma > 0, 0 < r < 1;$$

- c) f is a \mathcal{P} -point of \mathcal{C}_{KF} and is in the Gevrey class.

We deduce an analogous equivalence between the following properties (cf. Theorem 5.2.8).

- a) f is an analytic function and is a \mathcal{P} -point of \mathcal{C}_{W} ;
- b) f is an analytic function and is a \mathcal{P} -point of \mathcal{C}_{KF} .

The usual calculations on \mathcal{P} -points of \mathcal{C}_{W} (calculation of the norm, the maximum and the integral of a \mathcal{P} -point of \mathcal{C}_{W}) are in polynomial time (cf. Proposition 5.2.6).

Moreover a fairly good behaviour of derivation with respect to complexity is obtained by showing that for any \mathcal{P} -point (or any \mathcal{P} -sequence) of \mathcal{C}_{W} the sequence (or double sequence) of its derivatives is a \mathcal{P} -sequence of \mathcal{C}_{W} (cf. Theorem 5.2.10 and Corollary 5.2.11).

In Theorem 5.2.13 and its Corollary 5.2.14, we give a more uniform version of the previous results. Combined with Proposition 5.2.6 we get a significant improvement of the results in [27] and [17]. And our proofs are more conceptual.

Moreover, these results, combined with Newman’s theorem (in its version given in Section 3.3), show that the transition from the presentation by rational functions \mathcal{C}_{rff} to the presentation by (dense) polynomials \mathcal{C}_{W} is not in polynomial time. Newman’s theorem also shows that the presentations \mathcal{C}_{rff} and \mathcal{C}_{srf} are polynomially equivalent.

Summarising the results of sections 4 and 5, we obtain that the identity of $\mathbf{C}[0, 1]$ is uniformly of class \mathcal{P} in the following cases:

$$\mathcal{C}_{\text{W}} \rightarrow \mathcal{C}_{\text{sp}} \rightarrow \mathcal{C}_{\text{rff}} \equiv \mathcal{C}_{\text{srf}} \rightarrow \mathcal{C}_{\text{KF}} \equiv \mathcal{C}_{\text{bc}} \equiv \mathcal{C}_{\text{slc}} \equiv \mathcal{C}_{\text{ac}} \equiv \mathcal{C}_{\text{pac}}.$$

and none of the arrows in the line above is a \mathcal{P} -equivalence except perhaps $\mathcal{C}_{\text{sp}} \rightarrow \mathcal{C}_{\text{rff}}$ and also perhaps $\mathcal{C}_{\text{rff}} \rightarrow \mathcal{C}_{\text{KF}}$ (but that would imply $\mathcal{P} = \mathcal{NP}$).

We end this introduction with a few remarks on constructivism.

The work presented here is written in the style of constructive mathematics à la Bishop as developed in particular in the books by Bishop [4], Bishop & Bridges [5], Mines, Richman &

Ruitenburg [24]. This is a kind of minimal body of constructive mathematics.² All the theorems proved in this way are in fact equally valid for classical mathematicians, the advantage being that here the theorems and proofs always have an algorithmic content. The classical reader can therefore read this work as an extension of the work on recursive analysis by Kleene and Turing and later by Ker-I. Ko & H. Friedman ([16], [19]), N. Th. Müller [26, 27], Pour El & Richards [31], who themselves work within a framework of classical mathematics.

On the other hand, theorems and their proofs in Bishop's style are also acceptable within the framework of other variants of constructivism, such as Brouwer's intuitionism or the Russian constructive school of A.A. Markov, G.S. Ceitin, N.A. Shanin, B.A. Kushner and their pupils. An enlightening discussion of these different variants of constructivism can be found in Bridges & Richman's book [9].

Beeson's comprehensive book [3] also gives thorough discussions of these views and their variants, including a remarkable survey of the work of logicians who have attempted to formalise constructive mathematics.

Russian constructive mathematics can be discovered through the books by Kushner [20] and O. Aberth [1]. A very relevant historical article on the subject is written by M. Margenstern [23]. Chapter IV of [3, Beeson] is also very instructive. Beeson states on page 58: "We hope to show that this mathematical universe is an extremely entertaining place, full of surprises (like any foreign country), but by no means too chaotic or unlivable". Russian constructive mathematics restricts its objects of study to "recursive beings", and in this respect is similar to certain works of classical recursive analysis developed by Grzegorzczuk, Kreisel, Lacombe, Schoenfield and Specker, with whom it shares many results. One of the principles of Russian constructive mathematics, for example, is that there are only recursive reals given by algorithms (which calculate sequences of rationals with a controlled speed of convergence). And a real function defined on the reals is an algorithm F which takes as input an algorithm x and gives as output, under the condition that x is an algorithm producing a recursive real, an algorithm y producing a recursive real. This leads, for example, to Ceitin's theorem, which is classically false, according to which any real function defined on the reals is continuous at any point. Classical recursive analysis states: if an algorithm terminates each time the input is the code of a recursive real and then gives the code of a recursive real as output, and if it defines a function (i.e. two codes of the same recursive real as input lead to two codes of the same recursive real as output) then it defines a function that is continuous at any recursive real point (Kreisel-Lacombe-Schoenfield-Ceitin theorem). Beeson analysed the Kreisel-Lacombe-Schoenfield proof to clarify its non-constructive aspects. Ceitin's proof, which is more constructive than Kreisel-Lacombe-Schoenfield's, is analysed in [9].

In Bishop's style, since the notion of effectivity is to be a primitive notion that does not necessarily reduce to recursivity, and since recursivity, on the contrary, cannot be defined without this primitive notion of effectivity, real numbers and real functions are objects that retain a greater degree of "freedom" and are therefore closer to real numbers and real functions as intuitively conceived by classical mathematicians. And the preceding "Russian" theorem is therefore unprovable in Bishop style. Symmetrically, theorems from classical mathematics that directly contradict results from Russian constructivism (such as the possibility of unambiguously defining real discontinuous functions) cannot be proved in Bishop-style mathematics.

In conclusion, Russian constructivism is of undeniable historical interest, develops a very coherent mathematical philosophy and can undoubtedly be revived by theoretical computer science concerns. It would also be interesting to study this mathematics from the point of view of algorithmic complexity.

1 Preliminaries

1.1 Notations

\mathbb{N}_1 set of unary natural numbers.

²A pioneering work in a purely formal style is that of Goodstein [11, 12].

\mathbb{N} set of natural integers in binary. From the point of view of complexity, \mathbb{N}_1 is isomorphic to the part of \mathbb{N} formed by the powers of 2.

\mathbb{Z} set of integers in binary.

\mathbb{Q} set of rational numbers presented in the form of a fraction with numerator and denominator in binary.

$\mathbb{Q}^{\mathbb{N}_1}$ set of sequences of rationals, where the index is in unary.

\mathbb{D} set of numbers of the form $k/2^n$ with $(k, n) \in \mathbb{Z} \times \mathbb{N}_1$.

$\mathbb{D}_{[0,1]}$ $\mathbb{D} \cap [0, 1]$.

\mathbb{D}_n set of numbers of the form $k/2^n$ where $k \in \mathbb{Z}$.

$\mathbb{D}_{n,[0,1]}$ $\mathbb{D}_n \cap [0, 1]$.

$\mathbb{D}[X]$ set of polynomials with coefficients in \mathbb{D} given in dense presentation.

$\mathbb{D}[X]_f$ set of polynomials with coefficients in \mathbb{D} given in formula presentation.

\mathbb{R} set of real numbers presented by Cauchy sequences in \mathbb{Q} .

BC set of codes of boolean circuits.

AC set of codes of arithmetic circuits.

TM Turing machine.

OTM Turing machine with oracle.

μ modulus of uniform continuity (cf. Definition 2.2.1).

$\lg(a)$ the length of the binary coding of the dyadic $|a|$ (for $a \in \mathbb{D}$).

$\text{sz}(C)$ size of circuit C (the number of its gates).

$\text{depth}(C)$ depth of circuit C .

$\text{mag}(C)$ magnitude of the arithmetic circuit C (cf. Definition 4.1.10).

\tilde{f} continuous function encoded by f .

$\mathcal{M}(n)$ complexity of calculating the multiplication of two integers in binary representation (in fast multiplication $\mathcal{M}(n) = O(n \log(n) \log \log(n))$).

$\log(n)$ for a natural integer n is the length of its binary code.

$\lfloor d \rfloor$ the length (of the discrete encoding) of the object d (the encoding of d is a word on a fixed finite alphabet).

$\lfloor\!\!\lfloor x \rfloor\!\!\rfloor$ the largest integer m such that $m \leq x$.

Presentations of the space $\mathbf{C}[0, 1]$

\mathcal{C}_{KF} presentation by Turing Machine, à la Ko-Friedman

\mathbf{Y}_{KF} is the set of (codes of) rational points (cf. Definition 4.1.1)

\mathcal{C}_{ac} presentation by arithmetic circuits

\mathbf{Y}_{ac} is the set of (codes of) rational points (cf. Definition 4.1.10)

\mathcal{C}_{pac} presentation by divisionfree (or polynomial) arithmetic circuits

\mathbf{Y}_{pac} is the set of (codes of) rational points (cf. Section 4.1.4)

\mathcal{C}_{bc} presentation by boolean circuits

\mathbf{Y}_{bc} is the set of (codes of) rational points (cf. Definition 4.1.8)

\mathcal{C}_{slc} presentation by binary semilinear circuits

\mathbf{Y}_{slc} is the set of (codes of) rational points (cf. Definition 3.2.1)

\mathcal{C}_{rff} presentation by rational functions in a formula encoding

\mathbf{Y}_{rff} is the set of (codes of) rational points (cf. Definition 3.2.5)

- \mathcal{C}_W presentation à la Weierstrass by polynomials in a dense encoding
 \mathbf{Y}_W is the set of (codes of) rational points (cf. Section 5.1)
- \mathcal{C}_{sp} presentation by piecewise polynomial functions in a dense encoding
 \mathbf{Y}_{sp} is the set of (codes of) rational points (cf. Section 5.1.2)
- \mathcal{C}_{srff} presentation by piecewise rational functions in a formula encoding
 \mathbf{Y}_{srff} is the set of (codes of) rational points (cf. Section 5.1.3)

1.2 Interesting classes of discrete functions

We shall consider classes of discrete functions \mathcal{C} (a discrete function is a function from A^* to B^* , where A and B are two finite alphabets)³ with the following basic stability properties:

- \mathcal{C} contains the usual arithmetic functions and the comparison test in \mathbb{Z} (for \mathbb{Z} encoded in binary);
- \mathcal{C} contains functions that can be calculated in linear time (i.e. $\text{LINTIME} \subset \mathcal{C}$);
- \mathcal{C} is stable by composition;
- \mathcal{C} is stable by lists: if $f : A^* \rightarrow B^*$ is in \mathcal{C} then $\text{lst}(f) : \text{lst}(A^*) \rightarrow \text{lst}(B^*)$ is also in \mathcal{C} ($\text{lst}(f)[x_1, x_2, \dots, x_n] = [f(x_1), f(x_2), \dots, f(x_n)]$).

A class which verifies the above stability properties is said to be *elementarily stable*. In practice, we will be particularly interested in the following elementarily stable classes:

- **Rec** : the class of recursive functions.
- **Fnc** : the class of constructively defined functions (in constructive mathematics, this concept is a primitive concept which does not coincide with the preceding one, and it is necessary to have it beforehand in order to be able to define the preceding one, recursivity being interpreted as a purely mechanical construction in its unfolding as a process of calculation).
- **Prim** : the class of primitive recursive functions.
- **\mathcal{P}** : the class of functions computable in polynomial time.
- **\mathcal{E}** : the class of elementary recursive functions, i.e. functions that can still be calculated in time bounded by a compound of exponentials.
- **PSPACE** : the class of functions computable in polynomial space (with an output polynomially bounded in size).
- **LINSPACE** : the class of functions computable in linear space (with an output linearly bounded in size).
- **DSRT(Lin, Lin, Poly)** : the class of functions computable in linear space, in polynomial time and with an output linearly bounded in size.
- **DSRT(Lin, Lin, $O(n^k)$)** : the class of functions computable in linear space, in $O(n^k)$ time (with $k > 1$) and with an output linearly bounded in size.
- **DSRT(Lin, Lin, Exp)** : the class of functions computable in linear space, in time $\exp(O(n))$ and with an output linearly bounded in size.
- **DRT(Lin, $O(n^k)$)** : the class of functions computable in time $O(n^k)$, (with $k > 1$) and with an output linearly bounded in size.

³If we want to make this sound more mathematical and less computational, we can replace A^* and B^* by sets \mathbb{N}^k .

- $\text{DSR}(\text{Poly}, \text{Lin})$: the class of functions computable in polynomial space with an output linearly bounded in size.
- $\text{DSR}(\text{O}(n^k), \text{Lin})$: the class of functions computable in $\text{O}(n^k)$ space, (with $k > 1$) with an output linearly bounded in size.
- QL : the class of functions computable in quasilinear time (cf. Schnorr [33].)
($\text{QL} := \cup_b \text{DTIME}(\text{O}(n \cdot \log^b(n))) = \text{DTIME}(\text{QLin})$).

Note that, apart from the Rec and Fnc classes, all the classes we have defined are complexity classes (in Blum's sense). However, there is no need for this, as the examples of Rec and Fnc show. When we consider only the Fnc class, we develop a chapter of abstract constructive mathematics. Note that $\text{DTIME}(\text{O}(n^k))$ for $k > 1$ is not stable by composition. But, more often than not, the $\text{O}(n^k)$ time calculations that we will have to consider are in the class $\text{DRT}(\text{Lin}, \text{O}(n^k))$ or even $\text{DSRT}(\text{Lin}, \text{Lin}, \text{O}(n^k))$ and these classes have the right stability properties.

1.3 Complexity of a Universal Turing Machine

In the following we will need to use a Universal Turing Machine and estimate its algorithmic complexity. The following result, for which we have not found a reference, seems to be part of folklore, and was pointed out to us by Mr Margenstern.

Lemma 1.3.1. *There is a universal TM MU which does the following work.*

It takes as input:

- the code (whose size is p) of a TM M_0 (operating on a fixed alphabet, with one input band, one output band, several work bands) assumed to be of complexity in time T and space S (with $S(n) \geq n$);
- an input x (of size n) for M_0 .

It outputs the result of the calculation performed by M_0 for input x .

It executes this task in time $\text{O}(T(n)(S(n) + p))$ and using a space $\text{O}(S(n) + p)$.

Proof. Machine MU uses a work tape to write, at each elementary step of machine M_0 , which it simulates, the list of the contents of each of the variables of M_0 . To simulate a step of M_0 , machine MU needs $\text{O}(S(n) + p)$ elementary steps, using a space of the same order of magnitude. \square

1.4 Circuits and evaluation programs

Circuit families are interesting computational models, particularly from the point of view of parallelism. Boolean circuit families are to some extent an alternative to the standard TM model. Small arithmetic circuits are able to calculate polynomials of very high degree. This is the case, for example, for an arithmetic circuit that simulates a Newton iteration for a map given by a rational function.

In all cases, the problem arises of knowing what coding to adopt for a circuit. We will always choose to code a circuit with one of the evaluation programs (or straight-line programs) which execute the same task as it does.⁴

Furthermore, w.r.t. arithmetic circuits, which represent polynomials or rational functions, we will consider them not from the point of view of exact calculation (which would be too costly), but from the point of view of approximate calculation. The question then arises as to how to evaluate their execution time when we want to guarantee a given precision on the result, for entries in \mathbb{D} which are themselves given with a certain precision. No reasonable bound in execution time can be obtained using general-purpose arguments unless the depth of the circuit is very small, as the degrees obtained are too large and the calculated numbers are likely to be too large. As it is not always possible to limit the depth of circuits to very small depths, it is essential to give a control parameter, called magnitude, which ensures that, despite a possible

⁴Different evaluation programs may correspond to the same circuit, depending on the order in which the instructions to be executed are written.

very large degree, the size of all the numbers calculated by the circuit (which will be evaluated with a precision that is itself limited) is not too large when the input represents a real number varying within a compact interval.

2 Rationally presented complete metric spaces

2.1 Rational presentation of a metric space, complexity of points and families of points

Unless explicitly stated otherwise, the classes of discrete functions we consider will be elementarily stable classes.

Definition 2.1.1 (rational presentation of class \mathcal{C} for a complete metric space). A complete metric space (X, d_X) is given in a rational presentation of class \mathcal{C} in the following way. We give a triple (Y, δ, η) where

- Y is a \mathcal{C} -part of a language A^*
- η is a map from Y to X
- $\delta : Y \times Y \times \mathbb{N}_1 \rightarrow \mathbb{D}$ is a function in the class \mathcal{C} and verifying (for $n \in \mathbb{N}_1$ and $x, y, z \in Y$):
 - $|d_X(x, y) - \delta(\eta(x), \eta(y))| \leq 1/2^n$
 - $\delta(x, y, n) \in \mathbb{D}_n$
 - $\delta(x, y, n) = \delta(y, x, n)$
 - $\delta(x, x, n) = 0$
 - $|\delta(x, y, n+1) - \delta(x, y, n)| \leq 1/2^{n+1}$
 - $\delta(x, z, n) \leq \delta(x, y, n) + \delta(y, z, n) + 2/2^n$

If we define the distance $d_Y(x, y)$ as the limit of $\delta(x, y, n)$ when n tends to infinity, the map η from Y to X identifies (X, d_X) to the completion of (Y, d_Y) . The set $\eta(Y)$ is called *the set of rational points of X for the presentation under consideration*. If $y \in Y$ we will often note \tilde{y} for $\eta(y)$, and y is called the code of \tilde{y} .

We sometimes abbreviate “ (Y, δ, η) is a rational presentation of class \mathcal{C} for (X, d_X) ” to “ (Y, δ) is a \mathcal{C} -presentation of (X, d_X) ”.

Remarks 2.1.2. 1) We can replace \mathbb{D} by \mathbb{Q} in the definition above without modifying the notion that is defined. Choosing \mathbb{Q} is nicer mathematically, whereas choosing \mathbb{D} is more natural from a computing point of view. In addition, the constraint $\delta(x, y, n) \in \mathbb{D}_n$ satisfies the natural request not to use more space than necessary to represent an approximation to within $1/2^n$ of a real number.

2) When we have given a rational presentation for an abstract metric space (X, d_X) , we will say that *we have provided (X, d_X) with a calculability structure*. This is essentially the same as defining a language $Y \subset A^*$ and then a map η from Y to X whose image is a dense part of X . The presentation is completely defined only when we have also given a map $\delta : Y \times Y \times \mathbb{N}_1 \rightarrow \mathbb{D}$ verifying the requirements of Definition 2.1.1. *In the following, we will nevertheless allow ourselves to say that an encoding of a dense part Y of X defines a presentation of class \mathcal{C} of X when we show that the requests of Definition 2.1.1 can be satisfied.*

3) Understood in the constructive sense, the sentence included in the definition “we give a map η from Y to X ” requires that we have “a certificate that $\eta(y)$ is indeed an element of X for any y in Y ”. It may be that this certificate of membership itself implies a natural notion of complexity. When this is the case, for example for the space $\mathbf{C}[0, 1]$, it will be inevitable to take this complexity into account. *Thus, Definition 2.1.1 is considered as being incomplete and needing to be specified on a case-by-case basis.* This is undoubtedly a pity from the point of view of the formal elegance of general definitions. But it is a de facto situation that seems very difficult to get round.

Examples 2.1.3.

— The space \mathbb{R} is usually defined in the presentation where the set of rational points is \mathbb{Q} . Equivalently, and this is what we will do in the following, we can consider as the set of rational points of \mathbb{R} the set \mathbb{D} of dyadic numbers.⁵

— We can easily define the product of two presentations for two metric spaces.

— Any *discrete set* Z (Z is given as a part of a language A^* with an equivalence relation which defines equality in Z and which is testable in the class \mathcal{C}) gives rise to a *discrete metric space*, i.e. in which the distance of two distinct points is equal to 1.

— The complete metric spaces of constructive mathematics in the style of Bishop [5] generally admit a rational presentation of class Fnc . In each concrete case the presentation turns out to be a presentation of class Prim or even \mathcal{P} .

Definition 2.1.4 (complexity of a point in a rationally presented metric space).

Consider a complete metric space X given in a presentation (Y, δ, η) of class \mathcal{C}' . A point x of X is said to be of class \mathcal{C} when we know a sequence $(n \mapsto y_n)$ of class \mathcal{C} (as a function $\mathbb{N}_1 \rightarrow Y$) with $d_X(x, \eta(y_n)) \leq 1/2^n$. We also say that x is a *\mathcal{C} -point in X* .

Example 2.1.5. When $X = \mathbb{R}$, the above definition corresponds to the usual notion of a real number of class \mathcal{C} (in the Cauchy sense).

Remark 2.1.6. It would seem natural to require that the class \mathcal{C}' contain the class \mathcal{C} , but this is not completely essential. This remark applies to almost all the definitions that follow.

Definition 2.1.4bis (*complexity of a point in a rationally presented metric space, more explicit version*) Consider a complete metric space X given in a presentation of class \mathcal{C}' : (Y, δ, η) .

A point x of class \mathcal{C} in X is given by a sequence $(n \mapsto y_n)$ of class \mathcal{C} (as a map $\mathbb{N}_1 \rightarrow Y$) satisfying the conditions $\delta(y_n, y_{n+1}, n+1) \leq 1/2^n$ and $x = \lim_{n \rightarrow \infty} \eta(y_n)$.

We leave it to the reader to check that the two definitions 2.1.4 and 2.1.4bis are equivalent. We now turn to the definition of complexity for a family of points (with a discrete set of indices)

Definition 2.1.7 (complexity of a family of points in a rationally presented metric space).

Consider a discrete preset Z (this is the set of indices of the family, it is given as a part of a language A^* over a finite alphabet A) and a complete metric space X given in a presentation of class \mathcal{C}' : (Y, δ, η) . A function (or family) $f: Z \rightarrow X$ is said to be of class \mathcal{C} when we know a map $\varphi: Z \times \mathbb{N}_1 \rightarrow Y$ which is of class \mathcal{C} and which verifies:

$$d_X(f(z), \eta(\varphi(z, n))) \leq 1/2^n \text{ for all } z \in Z.$$

We then say that φ is a *presentation of class \mathcal{C} of the family $f(z)_{z \in Z}$ of points of X* .

Examples 2.1.8.

— When $Z = \mathbb{N}_1$ and $X = \mathbb{R}$ the above definition corresponds to the usual notion of “sequence of real numbers of class \mathcal{C} ” (we also say: “a \mathcal{C} -sequence in \mathbb{R} ”).

— The definition of a space rationally presented in class \mathcal{C} can be reread in the following way. We give:

- a \mathcal{C} -part Y of a language A^* .
- a function $\varphi: Y \rightarrow X$ such that $\varphi(Y)$ is dense in X and such that the family of real numbers $Y \times Y \rightarrow \mathbb{R}, (y_1, y_2) \mapsto d_X(\varphi(y_1), \varphi(y_2))$ is of class \mathcal{C} .

Proposition 2.1.9. *Let (x_n) be a sequence of class \mathcal{C} (the index set is \mathbb{N}_1) in a rationally presented metric space (X, d) . If the sequence is explicitly Cauchy with the inequality $d(x_n, x_{n+1}) \leq 1/2^n$ then the limit of the sequence is a point of class \mathcal{C} in X .*

Proof. Let (Y, δ, η) be a rational representation of (X, d) and x be the limit of the sequence (x_n) . The sequence (x_n) is of class \mathcal{C} in X , so there exists a function $\psi: \mathbb{N}_1 \times \mathbb{N}_1 \rightarrow Y$ of class \mathcal{C} such that:

$$d(x_n, \psi(n, m)) \leq 1/2^m \text{ for all } n, m \in \mathbb{N}_1.$$

⁵This corresponds to the notation \mathbb{R}_{conv} in [21] and \mathbb{R}_{con} in [18].

Let $z_n = \psi(n+1, n+1)$, this is a sequence of class \mathcal{C} and

$$d(x, z_n) \leq d(x, x_{n+1}) + d(x_{n+1}, \psi(n+1, n+1)) \leq 1/2^{n+1} + 1/2^{n+1} = 1/2^n.$$

So x is a \mathcal{C} -point in X . □

Remark 2.1.10. If we slow down the speed of convergence of the Cauchy sequence sufficiently, we can obtain as the limit point of a sequence of class $\text{DTIME}(n^2)$ an arbitrary recursive point of X (cf. [16] for the space $[0, 1]$).

Definition 2.1.7bis (*complexity of a family of points in a metric space, more explicit version*) Consider a discrete preset Z (a part of a language A^*) and a complete metric space X given in a presentation of class $\mathcal{C}' : (Y, \delta, \eta)$. A family $f : Z \rightarrow X$ is said to be of class \mathcal{C} if we have a function $\varphi : Z \times \mathbb{N}_1 \rightarrow Y$ of class \mathcal{C} which verifies $\delta(\varphi(z, n), \varphi(z, n+1), n+1) \leq 1/2^n$ and $f(z) = \lim_{n \rightarrow \infty} \eta(\varphi(z, n))$ for all $z \in Z$.

2.2 Complexity of uniformly continuous maps

We begin by giving a “reasonable” definition, which will be justified by the examples and propositions that follow.

Definition 2.2.1 (complexity of uniformly continuous maps between rationally presented metric spaces). Consider two complete metric spaces X_1 and X_2 given in presentations of class $\mathcal{C}' : (Y_1, \delta_1, \eta_1)$ and (Y_2, δ_2, η_2) . Let $f : X_1 \rightarrow X_2$ be a uniformly continuous map and $\mu : \mathbb{N}_1 \rightarrow \mathbb{N}_1$ be a sequence of integers.

We will say that μ is a *modulus of uniform continuity for the map f* if we have:

$$d_{X_1}(x, y) \leq 1/2^{\mu(n)} \Rightarrow d_{X_2}(f(x), f(y)) \leq 1/2^n \text{ for all } x, y \in X_1 \text{ and } n \in \mathbb{N}_1$$

We will say that the function f is *uniformly of class \mathcal{C}* (for the considered presentations) when — it has a modulus of uniform continuity $\mu : \mathbb{N}_1 \rightarrow \mathbb{N}_1$ in the class \mathcal{C} . — the restriction of f to Y_1 is in the class \mathcal{C} in the sense of Definition 2.1.7, i.e. it is presented by a function $\varphi : \mathbb{N}_1 \times Y_1 \rightarrow Y_2$ which is in the class \mathcal{C} and which verifies:

$$d_{X_2}(f(y), \eta_2(\varphi(y, n))) \leq 1/2^n \text{ for all } y \in Y_1.$$

When $X_1 = X_2 = X$ the map Id_X has $\text{Id}_{\mathbb{N}_1}$ as its modulus of uniform continuity. If the two maps Id_X (from X_1 to X_2 and from X_2 to X_1) are in the class \mathcal{C} we will say that *the two presentations are (uniformly) \mathcal{C} -equivalent*.

Remarks 2.2.2.

- 1) We are not asking that, for n fixed, the function $y \mapsto \varphi(y, n)$ be uniformly continuous on Y_1 or even that it be continuous at every point of Y_1 .
- 2) Note that the definition here gives a modulus of uniform continuity corresponding (very nearly) to the definition given in the classical approximation theory. A modulus of uniform continuity is there a nondecreasing sequence of integers $\mathbb{N} \rightarrow \mathbb{Z} : n \mapsto \nu(n)$ which tends to $+\infty$ and verifies the following implication.

$$d_{X_1}(x, y) \leq 1/2^n \Rightarrow d_{X_2}(f(x), f(y)) \leq 1/2^{\nu(n)}$$

The function ν is a kind of “reciprocal” of the function μ .

Examples 2.2.3.

- 1) When $X_1 = [0, 1]$, $X_2 = \mathbb{R}$ and \mathcal{C} is an *elementarily stable* class of complexity in time or space, the above definition is equivalent to the usual notion of a real function computable in the class \mathcal{C} (cf. [16], [19]), as we will prove in detail in Proposition 4.1.5.
- 2) When X_1 is a discrete metric space, Definition 2.2.1 gives back Definition 2.1.7.

Definition 2.2.1 makes the notion of complexity accessible for uniformly continuous maps. It therefore deals with all continuous maps in the case where the initial space is compact. Remember that in constructive analysis, in the case of a compact space, continuity is defined as meaning uniform continuity (cf. [4]) and not pointwise continuity.

Remark 2.2.4. The control of continuity given by the modulus of uniform continuity is essential in Definition 2.2.1. For example, we can define a function $\varphi: [0, 1] \rightarrow \mathbb{R}$ which is continuous in the classical sense, whose restriction to $\mathbb{D}_{[0,1]} = \mathbb{D} \cap [0, 1]$ is LINTIME but which does not have a recursive modulus of uniform continuity. For this we consider a function $\theta: \mathbb{N} \rightarrow \mathbb{N}$ of class LINTIME that is injective and has non-recursive range. For each $m \in \mathbb{N}_1$ we consider $n = \theta(m)$, $a_n = 1/(3 \cdot 2^n)$ and we define $\psi_m: [0, 1] \rightarrow \mathbb{R}$ everywhere zero except on an interval centred in a_n on which the graph of ψ_m makes a peak of height $1/2^n$ with a slope equal to $1/2^m$. Finally, we define φ as the sum of the series $\sum_m \psi_m$. Although the sequence $\varphi(a_n)$ is not a recursive sequence of real numbers (which implies that φ cannot have a recursive modulus of uniform continuity), the restriction of φ to dyadic numbers is very easy to calculate (the disputed real numbers a_n are not dyadic). This example clearly shows that *the classical definition of continuity (continuity at any point) does not give access to the calculation of the values of the function from its restriction to a dense part of the initial space.*

Remark 2.2.5. In [16] it is “proved” that if a functional defined via an Oracle Turing Machine (OTM) computes a function from $[0, 1]$ to \mathbb{R} , then the function has a recursive modulus of uniform continuity. If we avoid all recourse to non-constructive principles (hidden in the Heine-Borel theorem), the proof of [16] can be easily transformed into a constructive proof of the following theorem: *if a function $f: [0, 1] \rightarrow \mathbb{R}$ is uniformly continuous and computable by an OTM then its modulus of uniform continuity is recursive.*

On the other hand, if we make the (by no means implausible) assumption that every oracle in a TM is provided by a mechanical (but unknown) process, it is possible to define “pathological” functions from $[0, 1]$ into \mathbb{R} by means of OTMs: these are functions that are continuous at any recursive real point but not uniformly continuous. This is based on the “singular tree of Kleene”: an infinite recursive binary tree which has no infinite recursive branch. Cf. [3], theorem from Section 7 of Chapter 4, page 70 where we are given a function $t(x)$ which is continuous at any recursive real point on $[0, 1]$, but which is not bounded (hence not uniformly continuous) on this interval.

It seems strange that in a proof concerning computability issues, one can use without even mentioning it the hypothesis that the oracles of an OTM behave antagonistically with Church’s Thesis (at least in the form in which it is admitted in Russian constructivism).

We can easily verify that Definition 2.2.1 can be translated into the following more explicit form.

Definition 2.2.1bis (*complexity of uniformly continuous functions between rationally presented metric spaces, more explicit form*). Consider two complete metric spaces X_1 and X_2 given in presentations of class \mathcal{C}' , (Y_1, δ_1, η_1) and (Y_2, δ_2, η_2) . A uniformly continuous function $f: X_1 \rightarrow X_2$ is said to be *uniformly of class \mathcal{C}* (for the considered presentations) when it is presented by means of two data

— the restriction of f to Y_1 is presented by a function $\varphi: Y_1 \times \mathbb{N}_1 \rightarrow Y_2$ which is of class \mathcal{C} and which verifies

$$\delta_2(\varphi(y, n), \varphi(y, n+1), n+1) \leq 1/2^n \text{ for all } y \in Y_1,$$

with $f(y) = \lim_{n \rightarrow \infty} \eta_2(\varphi(y, n))$.

— a sequence $\mu: \mathbb{N}_1 \rightarrow \mathbb{N}_1$ in the class \mathcal{C} satisfying: for all x and y in Y_1

$$\delta_1(x, y, \mu(n)) \leq 1/2^{\mu(n)} \Rightarrow \delta_2(\varphi(x, n+2), \varphi(y, n+2), n+2) \leq 1/2^n.$$

The following results are easy to establish.

Proposition 2.2.6. *The composite of two maps uniformly of class \mathcal{C} is a map uniformly of class \mathcal{C} .*

Proposition 2.2.7. *The image of a point (respectively of a family of points) of class \mathcal{C} by a map uniformly of class \mathcal{C} is a point (respectively of a family of points) of class \mathcal{C} .*

Remark 2.2.8. Consider two rational presentations of the same complete metric space X given by the two families of rational points $(\tilde{y})_{y \in Y}$ and $(\tilde{z})_{z \in Z}$ respectively. If the first family is LINTIME for the first presentation, it can naturally be of greater complexity for the second.

In general, *to say that the identity of X is uniformly of class \mathcal{C} when we go from the first to the second presentation is exactly the same as saying that the family $(\tilde{y})_{y \in Y}$ is a \mathcal{C} -family of points for the second presentation.*

Thus the two presentations are \mathcal{C} -equivalent if and only if the family $(\tilde{y})_{y \in Y}$ is a family of class \mathcal{C} in the second presentation and $(\tilde{z})_{z \in Z}$ is a family of class \mathcal{C} in the first. Proposition 2.2.7 allows us to formulate an analogous and more intrinsic result: *two rational presentations of the same complete metric space are \mathcal{C} -equivalent if and only if they define the same families of points of class \mathcal{C} .*

We now turn to the definition of complexity for a family of uniformly continuous maps (with a discrete set of indices).

Definition 2.2.9 (complexity of a family of uniformly continuous maps between rationally presented metric spaces). Consider a discrete preset Z (this is the set of indices of the family, it is given as a part of a language A^* over a finite alphabet A) and two complete metric spaces X_1 and X_2 given in \mathcal{C}' -presentations: (Y_1, δ_1, η_1) and (Y_2, δ_2, η_2) .

We denote by $\mathbf{U}(X_1, X_2)$ the set of uniformly continuous maps from X_1 into X_2 . A family of uniformly continuous maps $\tilde{f} : Z \rightarrow \mathbf{U}(X_1, X_2)$ is said to be *uniformly of class \mathcal{C}* (for the considered presentations) when

— the family has a modulus of uniform continuity $\mu : Z \times \mathbb{N}_1 \rightarrow \mathbb{N}_1$ in class \mathcal{C} : the function μ must satisfy

$$\forall n \in \mathbb{N}_1 \quad \forall x, y \in X_1 \quad (d_{X_1}(x, y) \leq 1/2^{\mu(f, n)} \Rightarrow d_{X_2}(\tilde{f}(x), \tilde{f}(y)) \leq 1/2^n)$$

— the family $(f, x) \mapsto \tilde{f}(x) : Z \times X_2 \rightarrow X_2$ is a family of points in X_2 of class \mathcal{C} in the sense of Definition 2.1.7, i.e. it is presented by a map $\varphi : Z \times Y_1 \times \mathbb{N}_1 \rightarrow Y_2$ which is of class \mathcal{C} and which verifies:

$$d_{X_2}(\tilde{f}(x), \varphi(f, x, n)) \leq 1/2^n \text{ for all } (f, x, n) \in Z \times Y_1 \times \mathbb{N}.$$

Remark 2.2.10. The notion defined in 2.2.9 is natural because it is the relativisation to the class \mathcal{C} of the constructive notion of a family of uniformly continuous maps. But this natural notion does not seem to be deducible from Definition 2.2.1 by providing $Z \times X_1$ with a suitable structure of rationally presented metric space and by requiring that the map $(f, x) \mapsto \tilde{f}(x) : Z \times X_2 \rightarrow X_2$ be uniformly of class \mathcal{C} . If, for example, we take on $Z \times X_1$ the metric deduced from the discrete metric of Z and the metric of X_1 we will obtain the second of the conditions of Definition 2.2.9 but the first will be replaced by the requirement that all the maps of the family have the same modulus of uniform continuity of class \mathcal{C} . In other words, the family should be uniformly equicontinuous. This condition is intuitively too strong. Propositions 2.2.11 and 2.2.12 which follow are a confirmation that Definition 2.2.9 is suitable.

Propositions 2.2.6 and 2.2.7 generalise to the case of families of maps. The proofs present no difficulty.

Proposition 2.2.11. *Let X_1 and X_2 be two rationally presented complete metric spaces. Let $(\tilde{f})_{f \in Z}$ be a family in $\mathbf{U}(X_1, X_2)$ uniformly of class \mathcal{C} and $(x_n)_{n \in \mathbb{N}_1}$ be a family of class \mathcal{C} in X_1 . Then the family $(\tilde{f}(x_n))_{(f, n) \in Z \times \mathbb{N}_1}$ is a family of class \mathcal{C} in X_2 .*

Proposition 2.2.12. *Let X_1, X_2 and X_3 be three rationally presented complete metric spaces. Let $(\tilde{f})_{f \in Z}$ be a family in $\mathbf{U}(X_1, X_2)$ uniformly of class \mathcal{C} and $(\tilde{g})_{g \in Z'}$ be a family in $\mathbf{U}(X_2, X_3)$ uniformly of class \mathcal{C} . Then the family $(\tilde{f} \circ \tilde{g})_{(f, g) \in Z \times Z'}$ in $\mathbf{U}(X_1, X_3)$ is uniformly of class \mathcal{C} .*

2.3 Complexity of locally uniformly continuous maps

The notion of complexity defined in the previous paragraph for uniformly continuous maps is entirely legitimate when the domain space is compact. In the case of a locally compact space in the sense of Bishop,⁶ the maps which are uniformly continuous on every bounded subset (from the classical point of view this is a theorem, from the constructive point of view it is a definition). This leads to the following natural notion of complexity.

Definition 2.3.1. Consider two complete metric spaces X_1 and X_2 given in presentations of class \mathcal{C}' : (Y_1, δ_1, η_1) and (Y_2, δ_2, η_2) . We assume that we have specified a point x_0 of X_1 and a point y_0 of X_2 . A map $f : X_1 \rightarrow X_2$ is said to be *locally uniformly continuous* if it is uniformly continuous and bounded on any bounded part.

It is said to be *locally uniformly of class \mathcal{C}* (for the considered presentations) when

— it has a bound computable in class \mathcal{C} on any bounded part, i.e. a \mathcal{C} -sequence $\beta : \mathbb{N}_1 \rightarrow \mathbb{N}_1$ satisfying, for all x in X_1 and all m in \mathbb{N}_1 :

$$d_{X_1}(x_0, x) \leq 1/2^m \Rightarrow d_{X_2}(y_0, f(x)) \leq 1/2^{\beta(m)};$$

— it has in the class \mathcal{C} a modulus of uniform continuity on all bounded subsets, i.e. a \mathcal{C} -map $\mu : \mathbb{N}_1 \times \mathbb{N}_1 \rightarrow \mathbb{N}_1$ verifying, for x, z in X_1 and n, m in \mathbb{N}_1 :

$$\left(d_{X_1}(x_0, x) \leq 1/2^m, d_{X_1}(x_0, z) \leq 1/2^m, d_{X_1}(x, z) \leq 1/2^{\mu(m, n)} \right) \Rightarrow d_{X_2}(f(x), f(z)) \leq 1/2^n;$$

— the restriction of f to Y_1 is in class \mathcal{C} in the sense of Definition 2.1.7, i.e. it is presented by a \mathcal{C} -map $\varphi : \mathbb{N}_1 \times Y_1 \rightarrow Y_2$ which verifies:

$$d_{X_2}(f(y), \varphi(y, n)) \leq 1/2^n \text{ for all } y \in Y_1.$$

Note that the concept defined above does not depend on the choice of points x_0 and y_0 .

Examples 2.3.2.

— When $X_1 = \mathbb{R}$ and $X_2 = \mathbb{R}$ the above definition is equivalent to the natural notion of a real function computable in the class \mathcal{C} as found in [14] and [19].

— The function $x \mapsto x^2$ is locally uniformly continuous of class QL but it is not uniformly continuous on \mathbb{R} .

Remarks 2.3.3.

1) When f is a uniformly continuous function, Definition 2.3.1 and Definition 2.2.1 are very similar. However, Definition 2.2.1 is a priori more restrictive. Indeed, if $\mu(n)$ is a modulus of uniform continuity in Definition 2.2.1, then we can take in Definition 2.3.1 $\mu'(m, n) = \mu(n)$. But conversely, suppose we have a modulus of uniform continuity on any bounded subset verifying $\mu'(m, n) = \inf(m, 2^n)$ then, the function is uniformly continuous but the best modulus of uniform continuity that we can deduce is

$$\mu(n) = \mathbf{Sup} \{ \mu'(m, n) : m \in \mathbb{N} \} = 2^n$$

and it has an exponential growth rate whereas $\mu'(m, n)$ is linear. Thus the function f can be of linear complexity as a locally uniformly continuous function, and of exponential complexity as a uniformly continuous function. The two definitions are equivalent if the space X_1 has a finite diameter.

2) In constructive analysis, a compact space is a precompact and complete space. It is not possible to prove constructively that any closed part of a compact space is compact. A (uniformly) locally compact space is a complete metric space in which every bounded subset is contained in a compact K_n , where the sequence (K_n) is a nondecreasing sequence given once and for all (for example, the compact K_n contains the ball $B(x_0, 2^{-n})$). A function defined on such a space is then said to be continuous if it is uniformly continuous on all bounded subsets. In particular, it is bounded on any bounded subset. In this case, Definition 2.3.1 gives an “algorithmic complexity” version of the constructive definition of continuity.

3) Proposition 2.2.6 about the composition of functions uniformly of class \mathcal{C} remains valid for functions locally uniformly of class \mathcal{C} . Proposition 2.2.7 is also valid.

⁶This means that every bounded subset is contained in a compact space [5].

2.4 A general approach to the complexity of continuous functions

The question of the complexity of continuous functions has clearly not been exhausted. As we have already pointed out, while it is true that a continuous function $f(x)$ is classically well known from a presentation $(y, n) \mapsto \varphi(y, n)$ which allows it to be computed with arbitrary precision on a dense part Y of X , the complexity of φ can only be considered a pale reflection of the complexity of f (cf. remarks 2.2.4 and 2.3.3(1)). A crucial question, little studied until now, is to what extent we can certify that such a φ datum corresponds to a continuous function f . If the answer is in the affirmative, we need to explain the procedure for calculating approximate values of $f(x)$ when x is an arbitrary point of X (given, for example, by a Cauchy sequence of rational points of the presentation in the case of a rationally presented metric space).

We propose a somewhat informal approach to this question. Let $\phi: X_1 \rightarrow X_2$ be a map between metric spaces and $(F_\alpha)_{\alpha \in M}$ a family of subsets of X_1 . A *modulus of uniform continuity for ϕ near each subset F_α* is by definition a map $\mu: M \times \mathbb{N}_1 \rightarrow \mathbb{N}_1$ verifying:

$$\forall \alpha \in M \forall x \in F_\alpha \forall x' \in X_1 \quad \left(d_{X_1}(x, x') \leq 1/2^{\mu(\alpha, n)} \Rightarrow d_{X_2}(\phi(x), \phi(x')) \leq 1/2^n \right).$$

Definition 2.4.1 (general but somewhat informal definition of what a continuous function is and what its complexity is). Consider two complete metric spaces X_1 and X_2 given in rational presentations of class \mathcal{C}' : (Y_1, δ_1, η_1) and (Y_2, δ_2, η_2) . We assume that we have specified a $y_0 \in X_2$. Suppose we have defined a family $F_{X_1} = (F_\alpha)_{\alpha \in M}$ of parts of X_1 with the following property:

— (2.4.1.1) every compact of X_1 is contained in some F_α .

We will say that a map $\phi: X_1 \rightarrow X_2$ is F_{X_1} -*uniformly continuous* if it is bounded on each part F_α and if it has a modulus of uniform continuity near each subset F_α .

Suppose now in addition that the family $(F_\alpha)_{\alpha \in M}$ has the following property:

— (2.4.1.2) the set of indices M has a certain computability structure.

We will say that a map $\phi: X_1 \rightarrow X_2$ is F_{X_1} -*uniformly continuous of class \mathcal{C}* if it verifies the following properties:

— a bound on each part F_α can be calculated as a map $\beta: M \rightarrow \mathbb{N}_1$ in class \mathcal{C} verifying

$$\forall \alpha \in M \forall x \in F_\alpha \quad d_{X_2}(y_0, \phi(x)) \leq 2^{\beta(\alpha)};$$

— a modulus of uniform continuity near to F_α can be calculated in the class \mathcal{C} : a \mathcal{C} -map $\mu: M \times \mathbb{N}_1 \rightarrow \mathbb{N}_1$ satisfying

$$\forall \alpha \in M \forall x \in F_\alpha \forall x' \in X_1 \quad \left(d_{X_1}(x, x') \leq 1/2^{\mu(\alpha, n)} \Rightarrow d_{X_2}(\phi(x), \phi(x')) \leq 1/2^n \right).$$

— the restriction of ϕ to Y_1 is \mathcal{C} -computable.

This is clearly an extension of Definitions 2.2.1 and 2.3.1. The informal nature of the definition is obviously due to the “computability structure” of M . A priori we would like to take for $(F_\alpha)_{\alpha \in M}$ a family of parts sufficiently simple to verify condition (2.4.1.2) and sufficiently large to verify condition (2.4.1.1). But these two conditions pull in opposite directions.

Note that Definition 2.4.1 is inspired by the notion of a continuous map defined by D. Bridges in [8, Constructive functional analysis].

2.5 Open and closed subspaces

We turn to the definition of a computability structure for an open subspace U of a metric space X given with a computability structure. In general, the metric induced by X on U cannot satisfy us because the resulting space is generally not complete. Nevertheless, we have a construction that works in an important special case.

Let X be a complete metric space and $f: X \rightarrow \mathbb{R}$ a locally uniformly continuous map. The open $U_f = \{x \in X : f(x) > 0\}$ is a complete metric space for the distance d_f defined by

$$d_f(x, y) = d_X(x, y) + |1/f(x) - 1/f(y)|.$$

Proposition and Definition 2.5.1. *Let X be a complete metric space given with a \mathcal{C} -presentation (Y, δ, η) , and $f : X \rightarrow \mathbb{R}$ a locally uniformly \mathcal{C} -map represented by a modulus of uniform continuity and a discrete \mathcal{C} -map, $\varphi : Y \times \mathbb{N}_1 \rightarrow \mathbb{D}$. Then the complete metric space (U_f, d_f) can be provided with a \mathcal{C} -presentation where the set of rational points is coded by the set Y_U of pairs (y, n) of $Y \times \mathbb{N}_1$ satisfying:*

$$n \geq 10 \quad \text{and} \quad \varphi(y, n) \geq 1/2^{n/8}.$$

Proof. A detailed proof is given in [25]. □

We now turn to the definition of a computability structure for a closed subspace F of a metric space X with a computability structure. In constructive analysis, a closed subset is only really useful when it is *located*, i.e. when the function D_F “distance to the closed subset F ” is computable. When translating this notion into terms of recursive computability or complexity, we must take care that in the constructive definition, the fact that the function D_F is the function “distance to the closed subset F ” must also be made explicit.

Definition 2.5.2. Consider a complete metric space X given by a \mathcal{C} -presentation (Y, δ, η) . A part F of X is called a *\mathcal{C} -located closed subset of X* if:

- i) the function $D_F : x \mapsto d_X(x, F)$ from X to $\mathbb{R}^{\geq 0}$ is \mathcal{C} -computable,
- ii) there exists a \mathcal{C} -function $P_F : Y \times \mathbb{N}_1 \rightarrow X$ which certifies the function D_F in the following sense: for all $(y, n) \in Y \times \mathbb{N}_1$,

$$D_F(P_F(y, n)) = 0, \quad d_X(y, P_F(y, n)) \leq D_F(y) + 1/2^n.$$

Remarks 2.5.3.

- 1) The function $P_F(y, n)$ calculates an element of F whose distance from y is close enough to $D_F(y)$. However, the function $P_F(y, n)$ does not in general define, by extension by continuity to X and by passage to the limit when n tends to ∞ , a projector on the closed subset F .
- 2) We can show that the points $P_F(y, n)$ (coded by the pairs $(y, n) \in Y \times \mathbb{N}_1$) form a dense countable part of F which is the set of rational points of a \mathcal{C} -presentation of F (cf. [25]).

2.6 Rationally presented Banach spaces

We give a minimal definition. It goes without saying that for each particular Banach space, notions of complexity naturally attached to the space under consideration may be taken into account in addition to obtain a truly reasonable notion.

Definition 2.6.1 (rational presentation of a Banach space). A rational presentation of a separable Banach space X over the field \mathbb{K} (\mathbb{R} or \mathbb{C}) will be said to be of class \mathcal{C} if, on the one hand, it is of class \mathcal{C} as a presentation of the metric space and, on the other hand, the following vector space operations are in class \mathcal{C}

- the product by a scalar,
- the sum of a list of vectors chosen from the rational points.

In the context of the field \mathbb{C} we will denote by $\mathbb{D}_{\mathbb{K}}$ the set of complex numbers whose real and imaginary parts are in \mathbb{D} . In the real context $\mathbb{D}_{\mathbb{K}}$ will only be another denomination of \mathbb{D} . The following proposition is not difficult to establish.

Proposition 2.6.2. *To give a rational presentation of class \mathcal{C} of a Banach space X in the sense of the definition above is equivalent to giving*

- an encoding of class \mathcal{C} for a countable part G of X which generates X as a Banach space,⁷
- a map $\nu : \text{lst}(\mathbb{D}_{\mathbb{K}} \times G) \times \mathbb{N}_1 \rightarrow \mathbb{D}$ which is in the class \mathcal{C} (for the considered encoding of G) and which calculates the norm of a linear combination of elements of G in the following sense: for all $([(x_1, g_1), (x_2, g_2), \dots, (x_n, g_n)], m)$ in $\text{lst}(\mathbb{D}_{\mathbb{K}} \times G) \times \mathbb{N}_1$, we have the inequality

$$\left| \nu([(x_1, g_1), (x_2, g_2), \dots, (x_n, g_n)], m) - \|x_1.g_1 + x_2.g_2 + \dots + x_n.g_n\|_X \right| \leq 1/2^m.$$

⁷We can suppose that all the elements of G are vectors of norm between $1/2$ and 1 .

Remarks 2.6.3.

1) As for Definition 2.1.1 (cf. remark 2.1.2 (3)), it may be that the certificate of inclusion of G in X implies a notion of complexity, which it will be inevitable to take into account in a more precise definition, on a case-by-case basis.

2) The spaces $L^p(\mathbb{R})$ of functional analysis, with $1 \leq p < \infty$ can be rationally presented in different ways, according to different possible choices for the set of rational points and an encoding of this set. All reasonable choices turn out to give Prim-equivalent presentations.

3) It would be interesting to know whether the framework proposed by M. Pour El and I. Richards [31] concerning computability in Banach spaces can have concrete consequences which would go beyond what can be treated by rational presentations (which offer a natural framework not only for recursion problems but also for complexity problems). The “counter example” concerning L^∞ given in [31] suggests the opposite.

3 Space of continuous real functions on a compact interval, first properties

In this section, we introduce the problem of rational presentations for the space $\mathbf{C}[0,1]$: the space of uniformly continuous real functions on the interval $[0,1]$, given the usual norm:

$$\|f\|_\infty = \mathbf{Sup}\{|f(x)|; 0 \leq x \leq 1\}.$$

Consider a rational presentation of the space $\mathbf{C}[0,1]$ given by a family $(\tilde{f})_{f \in Y}$ of uniformly continuous functions indexed by a part Y of a language A^* . We are interested in the following complexity problems:

- the complexity of the set of (codes of) rational points of the presentation, i.e. more precisely the complexity of Y as a part of the language A^* (i.e. the complexity of the membership test);
- the complexity of vector space operations (the product by a scalar on the one hand, the sum of a list of vectors on the other);
- the complexity of calculating the norm (or distance function);
- the complexity of the set $(\tilde{f})_{f \in Y}$ of rational points of the presentation, as a family of uniformly continuous functions on $[0,1]$;
- the complexity of the evaluation function $\text{Ev}: \mathbf{C}[0,1] \times [0,1] \rightarrow \mathbb{R}: (g, x) \mapsto g(x)$.

It goes without saying that the interval $[0,1]$ can be replaced by another interval $[a,b]$ with a and b in \mathbb{D} or of low complexity in \mathbb{R} .

3.1 Definition of a rational presentation of the space of continuous functions

The complexity of the set $(\tilde{f})_{f \in Y}$ of rational points of the presentation, as a family of uniformly continuous functions on $[0,1]$ is nothing other than the complexity of the map $f \mapsto \tilde{f}$ from the set of codes of rational points Y to the space $\mathbf{C}[0,1]$. We must therefore, in accordance with what we said in remark 2.1.2(3), include in the definition of what is a rational presentation of class \mathcal{C} of $\mathbf{C}[0,1]$, the fact that $(\tilde{f})_{f \in Y}$ is a family uniformly of class \mathcal{C} in the sense of Definition 2.2.9. The problem of the complexity of the evaluation function is also an important one, since it would be “immoral” for the evaluation function not to be a function of class \mathcal{C} when we have a rational presentation of class \mathcal{C} . However, the evaluation function is not uniformly continuous, nor even locally uniformly continuous.

To deal in general with the question of functions which are continuous but not locally uniformly continuous on the space $\mathbf{C}[0,1]$ we use the informal Definition 2.4.1 with the following family of parts of $\mathbf{C}[0,1]$:

Notation 3.1.1. If α is a nondecreasing function from \mathbb{N}_1 to \mathbb{N}_1 and $r \in \mathbb{N}_1$, we denote by $F_{\alpha,r}$ the part of $\mathbf{C}[0,1]$ formed by all the functions which, on the one hand, accept α as a modulus of uniform continuity, and on the other hand have their norm bounded by 2^r .

The “calculability structure” on the set of indices

$$M := \{(\alpha, r); \alpha \text{ is a non-decreasing function } \mathbb{N}_1 \rightarrow \mathbb{N}_1 \text{ and } r \in \mathbb{N}_1\}$$

is not a well-defined thing in the literature, but we will only need to resort to perfectly elementary operations such as “evaluating α on an integer n ”.⁸ The modulus of uniform continuity for the evaluation function is then “very simple” (uniformly linear for any reasonable definition of this notion).

Indeed, near the part $F_{\alpha,r} \times [0, 1]$ of $\mathbf{C}[0, 1] \times [0, 1]$ a modulus of uniform continuity for the function Ev is given by

$$\mu(n, \alpha, r) = \max(\alpha(n+1), n+1) \text{ for } n \in \mathbb{N}_1 \text{ and } (\alpha, r) \in M,$$

as is very easy to check. And the bound on $F_{\alpha,r}$ is obviously given by $\beta(\alpha, r) = r$.

The whole question of the complexity of the evaluation function in a given presentation is therefore concentrated on the question of the complexity of the evaluation function restricted to the set of rational points

$$(f, x) \mapsto \tilde{f}(x) \quad Y \times \mathbb{D}_{[0,1]} \rightarrow \mathbb{R}.$$

Now this complexity is subordinate to that of $(\tilde{f})_{f \in Y}$ as a family of uniformly continuous functions: this is what we specify in the following proposition (the proof of which is immediate).

Proposition 3.1.2. *Let us consider on the space $\mathbf{C}[0, 1]$ the family of parts $(F_{\alpha,r})_{(\alpha,r) \in M}$ in order to control questions of continuity on $\mathbf{C}[0, 1]$ (cf. notation 3.1.1 and Definition 2.4.1).*

Then if $(\tilde{f})_{f \in Y}$ is a family uniformly of class \mathcal{C} and if we consider the rational presentation of the metric space $\mathbf{C}[0, 1]$ attached to this family when we see it as the set of rational points of the presentation, the evaluation function

$$\text{Ev}: \mathbf{C}[0, 1] \times [0, 1] \rightarrow \mathbb{R}: (g, x) \mapsto g(x)$$

is itself of class \mathcal{C} .

As we also require that the Banach space structure itself be of class \mathcal{C} , this finally gives us the following definition.

Definition 3.1.3. A rational presentation of class \mathcal{C} of the space $\mathbf{C}[0, 1]$ is given by a family of functions $(\tilde{f})_{f \in Y}$ which is a family uniformly of class \mathcal{C} , dense in $\mathbf{C}[0, 1]$ and such that the following calculations are also in class \mathcal{C} :

- the product by a scalar,
- the sum of a list of functions chosen from the rational points,
- the calculation of the norm.

In what follows, we shall be interested in a precise study of the complexities involved in Definition 3.1.3. Our conclusion is that there is no paradise in polynomial time for continuous functions, at least if $\mathcal{P} \neq \mathcal{NP}$.

3.2 Two significant examples of rational presentations of the space $\mathbf{C}[0, 1]$

We now give two significant examples of presentations of $\mathbf{C}[0, 1]$ (other examples will be given later).

⁸Note that the classical Ascoli theorem states that every compact part of $\mathbf{C}[0, 1]$ is contained in a part $F_{\alpha,r}$, and that the parts $F_{\alpha,r}$ are compact. In constructive mathematics the direct part is still valid, but the second part of the statement needs to be refined, cf. [5] Chapter 4 Theorem 4.8, pages 96 to 98.

3.2.1 Presentation by binary semilinear circuits

This presentation and the set of codes for rational points will be noted \mathcal{C}_{slc} and \mathbf{Y}_{slc} respectively. We will call a *semilinear map with coefficients in \mathbb{D}* a piecewise linear map which is equal to a combination by max and min of functions $x \mapsto ax + b$ with a and b in \mathbb{D} .

Definition 3.2.1. A binary semilinear circuit is a circuit whose input ports are “real” variables x_i (here, only one will suffice because the circuit calculates a function of a single variable) and the two constants 0 and 1. There is only one output port.

Gates that are not input gates are of one of the following types:

- single-entry gates of the following types: $x \mapsto 2x$, $x \mapsto x/2$, $x \mapsto -x$;
- two-entry gates of the following types: $(x, y) \mapsto x+y$, $(x, y) \mapsto \max(x, y)$, $(x, y) \mapsto \min(x, y)$.

A binary semilinear circuit with a single input variable defines a semilinear map with coefficients in \mathbb{D} . Such a circuit can be encoded by an evaluation program. The set \mathbf{Y}_{slc} is the set of (codes of these) semilinear circuits, it is the set of rational points of the presentation \mathcal{C}_{slc} .

We shall see later that this presentation is in some way the most natural, but that it fails to be a presentation of class \mathcal{P} because of the calculation of the norm.

We have an easy bound of a Lipschitz modulus for the map defined by the circuit:

$$\left| \tilde{f}(x) - \tilde{f}(y) \right| \leq 2^p |x - y| \quad \text{where } p \text{ is the depth of the circuit}$$

This gives the modulus of uniform continuity $\mu(k) = k + n$. In particular, this implies that we need not restrict ourselves to a controlled precision in $\mathbb{D}_{[0,1]}$ in the following proposition.

Proposition 3.2.2 (complexity of the family of functions $(\tilde{f})_{f \in \mathbf{Y}_{\text{slc}}}$). *The family of functions $(\tilde{f})_{f \in \mathbf{Y}_{\text{slc}}}$ is uniformly of class \mathcal{P} . To be precise, this family has $\mu(f, k) = k + \text{depth}(f)$ as a modulus of uniform continuity and we can provide a function $\varphi: \mathbf{Y}_{\text{slc}} \times \mathbb{D}_{[0,1]} \times \mathbb{N}_1 \rightarrow \mathbb{D}_{[0,1]}$ of class $\text{DRT}(\text{Lin}, O(N^2))$ (where N is the size of the input (f, x, k)) with*

$$\forall (f, x, k) \in \mathbf{Y}_{\text{slc}} \times \mathbb{D}_{[0,1]} \times \mathbb{N}_1 \quad \left| \tilde{f}(x) - \varphi(f, x, k) \right| \leq 1/2^k.$$

More precisely still, as it is not necessary to read all the bits of x , the size of x does not come into play, and the function φ is in the classes $\text{DRT}(\text{Lin}, O(\text{sz}(f)(\text{depth}(f) + k)))$ and $\text{DSPACE}(O(\text{depth}(f)(\text{depth}(f) + k)))$.

Proof. To calculate $\varphi(f, x, k)$ we evaluate the circuit f on the input x for which only the first $k + 2\text{depth}(f)$ bits are considered, truncating the intermediate result calculated at the π gate to precision $k + 2\text{depth}(f) - \text{depth}(\pi)$. Finally, only the precision k is kept for the final result.

Such a naively applied method requires us to store all the results obtained at a fixed depth p while we calculate results at depth $p + 1$. We then do $\text{sz}(f)$ elementary calculations $(\bullet + \bullet, \bullet - \bullet, \bullet \times 2, \bullet/2, \max(\bullet, \bullet), \min(\bullet, \bullet))$ on objects of size $\leq k + 2\text{depth}(f)$. Each elementary calculation takes time $O(k + \text{depth}(f))$, and so the global calculation is done in time $O(\text{sz}(f)(\text{depth}(f) + k))$. And it also takes $O(\text{sz}(f)(\text{depth}(f) + k))$ as calculation space.

There is another method of evaluating a circuit, which is a little less time-consuming but much more economical space-consuming, based on Borodin’s idea [6]. With such a method we reduce the calculation space which becomes $O(\text{depth}(f)(\text{depth}(f) + k))$. \square

Remark 3.2.3. We have not taken into account in our calculation the problem posed by the management of $t = \text{sz}(f)$ objects (here dyadic numbers) of sizes bounded by $s = \text{depth}(f) + k$. In the RAM model this management would a priori be in time $O(\text{tlg}(t)s)$ which does not significantly increase the $O(ts)$ we have found, and which remains in $O(N^2)$ if we remember that encoding the semilinear circuit by an evaluation program gives it a size of $O(\text{tlg}(t))$. In the TM model, on the other hand, this management requires a priori time $O(t^2s)$ because the tape where the objects are stored must be traversed t times over a total length $\leq ts$. We have therefore underestimated time to some extent by concentrating on what we consider to be the central problem: estimating the total cost of the arithmetic operations themselves. In the following, we will systematically omit the calculation of the *management time* of intermediate values (which is very sensitive to the chosen calculation model) each time we evaluate circuits.

3.2.2 Presentation \mathcal{C}_{rff} (via controlled rational functions given in formula presentation)

The previous presentation of the space $\mathbf{C}[0, 1]$ is not of class \mathcal{P} (unless $\mathcal{P} = \mathcal{N}\mathcal{P}$ as we shall see in Section 4.3) because the norm is not computable in polynomial time. To obtain a presentation of class \mathcal{P} it is necessary to restrict quite considerably the set of rational points in the presentation, so that the norm becomes computable in polynomial time. A significant example is where the rational points are well-controlled rational functions given in dense presentation. There are several variants to choose from and we have chosen to give the denominator and numerator in a presentation known as “by formula”. A formula is a tree whose leaves are labelled by the variable X or by an element of \mathbb{D} and whose nodes are labelled by an arithmetic operator. In the formulae we are considering, the only operators used are $\bullet + \bullet$, $\bullet - \bullet$ and $\bullet \times \bullet$, so that the tree is a binary tree (each node of the tree is a sub-formula and represents a polynomial of $\mathbb{D}[X]$).

Lemma 3.2.4. *Let us denote by $\mathbb{D}[X]_f$ the set of polynomials with coefficients in \mathbb{D} , given in presentation by formula. For a one-variable polynomial with coefficients in \mathbb{D} the transition from the dense representation to the representation by formula is LINTIME and the transition from the representation by formula to the dense representation is polynomial. More precisely, if we proceed in a naive way, we are in $\text{DTIME}(\mathcal{O}(N^2\mathcal{M}(N)))$.*

Proof. First of all, the dense representation can be considered as a special case of representation by formula, according to Horner’s scheme.

Then, moving from the formula representation to the dense representation means evaluating the formula in $\mathbb{D}[X]$. Let’s introduce the following control parameters. A polynomial $P \in \mathbb{D}[X]$ has a degree denoted by d_P and the size of its coefficients is controlled by the integer $\sigma(P) := \log(\sum_i |a_i|)$ where the a_i are the coefficients of P . A formula $F \in \mathbb{D}[X]_f$ contains a number of arithmetic operators denoted by t_F and the size of its coefficients is controlled by the integer $\lambda(F) = \sum_i (\lg(b_i))$ where the b_i are the dyadics appearing in the formula.

The size $\lfloor F \rfloor$ of the formula F is obviously an upper bound of t_F and $\lambda(F)$.

For a and $b \in \mathbb{D}$ we always have $\lg(a \pm b) \leq \lg(a) + \lg(b)$ and $\lg(ab) \leq \lg(a) + \lg(b)$.

We can then easily check that $\sigma(P \pm Q) \leq \sigma(P) + \sigma(Q)$ and $\sigma(PQ) \leq \sigma(P) + \sigma(Q)$. The (naive) calculation time for PQ is $\mathcal{O}(d_P d_Q \mathcal{M}(\sigma(P) + \sigma(Q)))$.

We then show by induction on the size of the formula F that the corresponding polynomial $P \in \mathbb{D}[X]$ satisfies $d_P \leq t_F$ and $\sigma(P) \leq \lambda(F)$. We also show by induction that the time to calculate P from F is bounded by $t_F^2 \mathcal{M}(\lambda(F))$. \square

Definition 3.2.5. The set $\mathbf{Y}_{\text{rff}} \subset \mathbb{D}[X]_f \times \mathbb{D}[X]_f$ is the set of rational functions (with one variable) with coefficients in \mathbb{D} , whose denominator is bounded below by 1 on the interval $[0, 1]$. The space $\mathbf{C}[0, 1]$ provided with the set \mathbf{Y}_{rff} as a family of codes of rational points is denoted by \mathcal{C}_{rff} .

Proposition 3.2.6 (complexity of the family of maps $(\tilde{f})_{f \in \mathbf{Y}_{\text{rff}}}$). *The family of maps $(\tilde{f})_{f \in \mathbf{Y}_{\text{rff}}}$ is uniformly of class \mathcal{P} , more precisely of class $\text{DRT}(\text{Lin}, \mathcal{O}(\mathcal{M}(N)N))$, where $\mathcal{M}(N)$ is the complexity of the multiplication of two integers of size N .*

Proof. We need to compute a modulus of uniform continuity for the family $(\tilde{f})_{f \in \mathbf{Y}_{\text{rff}}}$. We must also specify a function φ of class $\text{DRT}(\text{Lin}, \mathcal{O}(\mathcal{M}(N)N))$.

$$\varphi: \mathbf{Y}_{\text{rff}} \times \mathbb{D}_{[0,1]} \times \mathbb{N}_1 \rightarrow \mathbb{D}, \quad (f, x, n) \mapsto \varphi(f, x, n)$$

satisfying $|\tilde{f}(x) - \varphi(f, x, n)| \leq 1/2^n$.

In fact, the modulus of uniform continuity can be deduced from the calculation of φ .

Since the denominator of the fraction is bounded below by 1, we only need to give a modulus of uniform continuity and a calculation procedure in time $\mathcal{O}(\mathcal{M}(N)N)$ to evaluate a formula $F \in \mathbb{D}[X]_f$ with a precision of $1/2^n$ on the interval $[0, 1]$ ($N = n + \lfloor F \rfloor$). We assume without loss of generality that the size $m = \lfloor F \rfloor$ of the formula $F = F_1 * F_2$ is equal to $m_1 + m_2 + 2$ if

$m_1 = \lfloor F_1 \rfloor$ and $m_2 = \lfloor F_2 \rfloor$ ($*$ designates one of the operators $+$, $-$ or \times). We then establish (by induction on the depth of the formula) the following two facts:

- when the formula $F \in \mathbb{D}[X]_f$ is evaluated exactly at $x \in [0, 1]$, the result is always bounded in absolute value by 2^m ,
 - when we evaluate the formula F in an $x \in [0, 1]$ in an approximate way, taking x and all the intermediate results with precision $1/2^{n+m}$, the final result is guaranteed with precision $1/2^n$.
- We then conclude without difficulty. \square

Proposition 3.2.7.

- a) The family of real numbers $(\|\tilde{f}\|)_{f \in \mathbf{Y}_{\text{rff}}}$ is of complexity \mathcal{P} .
- b) The membership test “ $f \in \mathbf{Y}_{\text{rff}}$? ” is of complexity \mathcal{P} .

Proof. a) Let $f = P/Q \in \mathbf{Y}_{\text{rff}}$. To calculate an approximate value to within $1/2^n$ of the norm of \tilde{f} , proceed as follows:

- calculate $(P'Q - Q'P)$ as an element of $\mathbb{D}[X]$ (Lemma 3.2.4),
 - calculate the precision m required on x to be able to evaluate $\tilde{f}(x)$ with precision $1/2^n$ (Proposition 3.2.6),
 - calculate the roots $(\alpha_i)_{1 \leq i \leq n}$ of $(P'Q - Q'P)$ on $[0, 1]$ to within 2^{-m} ,
 - calculate $\max\{\tilde{f}(0); \tilde{f}(1); \tilde{f}(\alpha_i) \ 1 \leq i \leq s\}$ with precision $1/2^n$ (Proposition 3.2.6).
- b) The code f contains the codes of P and Q . The point is to see that we can test in polynomial time that the denominator Q is bounded below by 1 on the interval $[0, 1]$. This is a classical result concerning calculations with real algebraic numbers: it is a matter of comparing to 1 the inf of $Q(\alpha_i)$ with $\alpha_i = 0, 1$ or a zero of Q' on the interval. \square

Remarks 3.2.8.

- 1) It is well known that calculating the real roots lying in a given rational interval of a polynomial in $\mathbb{Z}[X]$ is a calculation of class \mathcal{P} . Perhaps the most efficient method is not the one we have indicated, but a slight variant. The search for the complex roots of a polynomial (for a given precision) is now extremely fast (cf. [29]). Rather than looking specifically for the real zeros on the interval $[0, 1]$ we could therefore search with precision 2^{-m} for the real or complex zeros $(\beta_j)_{1 \leq j \leq t}$ sufficiently close to the interval $[0, 1]$ (i.e. their imaginary part is in absolute value $\leq 2^{-m}$ and their real part is on $[0, 1]$ to within 2^{-m}) and evaluate \tilde{f} at $\Re(\beta_j)$.
- 2) As follows from Proposition 3.3.5 below, any semilinear function with coefficients in \mathbb{D} is a point of complexity \mathcal{P} in \mathcal{C}_{rff} . The fact that the presentation \mathcal{C}_{slc} is not of class \mathcal{P} (if $\mathcal{P} \neq \mathcal{NP}$, cf. Section 4.3) implies on the other hand that the family of functions $(\tilde{f})_{f \in \mathbf{Y}_{\text{slc}}}$ is not a family of class \mathcal{P} in \mathcal{C}_{rff} .
- 3) It is easy to show that vector space operations are also in polynomial time.

The previous results are summarised as follows.

Theorem 3.2.9. *The presentation \mathcal{C}_{rff} of $\mathbf{C}[0, 1]$ is of class \mathcal{P} .*

3.3 Newman's approximation theorem and its algorithmic complexity

Newman's theorem is a fundamental theorem in approximation theory. The following statement is a special case.⁹

Theorem 3.3.1 (Newman's theorem, [28], see for example [30] p. 73–75).

Let n be an integer ≥ 6 , define

$$H_n(x) = \prod_{1 \leq k < n^2} (x + e^{-k/n}).$$

and consider the two polynomials $P_n(x)$ and $Q_n(x)$, of degrees $\leq n^2/2$, given by

$$P_n(x^2) = x(H_n(x) - H_n(-x)) \quad \text{and} \quad Q_n(x^2) = H_n(x) + H_n(-x)$$

⁹We have taken the bound $n^2/2$ on the degrees so as to obtain a bound in e^{-n} .

Then for all $x \in [-1, 1]$ we have

$$| |x| - (P_n/Q_n)(x^2) | \leq 3e^{-n} \leq 2^{-(n+1)}$$

and

$$|Q_n(x^2)| \geq 2H_n(0) = 2/e^{(n^3-n)/2} \geq 1/2^{3(n^3-n)/4}$$

It follows from Newman's theorem that semilinear functions can be individually approximated by rational functions that are easy to write and well controlled. This is made clear by Lemma 3.3.3 below and its corollaries, the propositions and theorems that follow. First, we recall the following result (cf. [7]).

Lemma 3.3.2 (Brent's theorem). *Let $a \in [-1, 1] \cap \mathbb{D}_m$. The calculation of $\exp(a)$ with precision 2^{-m} can be done in time $O(\mathcal{M}(m) \log(m))$. In other words, the exponential function on the interval $[-1, 1]$ is of complexity $\text{DTIME}(O(\mathcal{M}(m) \log(m)))$*

We can easily deduce the following result, by noting $\mathbb{D}[X]_f$ the presentation of $\mathbb{D}[X]$ by formulae.

Lemma 3.3.3. *There exists a sequence*

$$\mathbb{N}_1 \rightarrow \mathbb{D}[X]_f \times \mathbb{D}[X]_f ; n \mapsto (u_n, v_n),$$

of class $\text{DRT}(O(n^5), O(\mathcal{M}(n^3)n^2 \log^3(n)))$, such that for all $x \in [0, 1]$

$$| |x| - p_n(x^2)/q_n(x^2) | \leq 2^{-n}.$$

The degrees of the polynomials p_n and q_n are bounded by $n^2/2$, their sizes in presentation by formula are bounded by $O(n^5)$, and $q_n(x^2)$ is bounded below by $1/e^{(n^3-n)}$.

Proof. We define p_n and q_n as P_n and Q_n by replacing in the definition the real $e^{-k/n}$ by a sufficient dyadic approximation $c_{n,k}$ calculated by means of Lemma 3.3.2. If $|e^{-k/n} - c_{n,k}| \leq \varepsilon$ we check that for all $x \in [0, 1]$

$$|P_n(x) - p_n(x)| \leq (n^2 - 1)2^{n^2} \varepsilon \quad \text{and} \quad |Q_n(x) - q_n(x)| \leq (n^2 - 1)2^{n^2} \varepsilon = \varepsilon_1.$$

For the difference between rational functions we use

$$|A/B - a/b| \leq |A/B| |b - B|/b + |A - a|/b \leq 3\varepsilon_1/b.$$

As $B \geq 1/2^{3(n^3-n)/4}$ we have $1/b \leq 2 \cdot 2^{3(n^3-n)/4}$ if $|b - B| \leq B/2$, in particular if

$$(n^2 - 1)2^{n^2} \varepsilon \leq (1/2) \cdot 1/2^{3(n^3-n)/4}.$$

We are then led to take an ε such that

$$3\varepsilon_1/b \leq 6(n^2 - 1)2^{n^2} 2^{3(n^3-n)/4} \varepsilon \leq 1/2^{n+1}.$$

It is therefore sufficient to take $\varepsilon \leq 2^{-n^3}$ (for n large enough). large).

We will therefore have to describe p_n and q_n using formulae of "algebraic" size $O(n^2)$ involving base terms $(x + c_{n,k})$ where $c_{n,k}$ is a dyadic of size $O(n^3)$. The (boolean) size of the formula is therefore $O(n^5)$. Most of the calculation time is taken up by calculating $c_{n,k}$ using Lemma 3.3.2. \square

Note that the increase in computation time is only slightly less than the size of the result.

We can immediately deduce the following results.

Theorem 3.3.4. *The function $x \mapsto |x - 1/2|$ is a point of complexity \mathcal{P} (more precisely $\text{DRT}(O(n^5), O(\mathcal{M}(n^3)n^2 \log^3(n)))$ in the space \mathcal{C}_{rff} . In other words, there is a sequence $\mathbb{N}_1 \rightarrow \mathbf{Y}_{\text{rff}}$, $n \mapsto (u_n, v_n)$, of class $\text{DRT}(O(n^5), O(\mathcal{M}(n^3)n^2 \log^3(n)))$, such that*

$$\| |x - 1/2| - u_n(x)/v_n(x) \| \leq 2^{-n}$$

The degrees of the polynomials u_n and v_n are bounded by n^2 .

Proposition 3.3.5. *The function $x \mapsto |x|$ on the interval $[-2^m, 2^m]$ can be approximated to within $1/2^n$ by a rational function $p_{n,m}/q_{n,m}$ whose denominator is less than 1 (over the same interval), and the calculation*

$$(n, m) \mapsto (p_{n,m}, q_{n,m}) \quad \mathbb{N}_1 \times \mathbb{N}_1 \rightarrow \mathbb{D}[X]_f \times \mathbb{D}[X]_f$$

is of complexity $\text{DRT}(\mathcal{O}(N^5), \mathcal{O}(\mathcal{M}(N^3)N^2 \log^3(N)))$ where $N = n + m$. The degrees of the polynomials $p_{n,m}$ and $q_{n,m}$ are bounded by N^2 . Similarly the function $(x, y) \mapsto \max(x, y)$ (resp. $(x, y) \mapsto \min(x, y)$) on the square $[-2^m, 2^m] \times [-2^m, 2^m]$ can be approximated to within $1/2^n$ by a rational function of the same type and complexity as the previous ones.

Proof. For the absolute value function:

If $x \in [-2^m, 2^m]$ we write $|x| = 2^m |x/2^m|$ with $x/2^m \in [-1, 1]$. So, using the notations from the proof of Lemma 3.3.3, it suffices to take $p_{n,m}(x) = 2^m p_{n+m}(x/2^m)$ and $q_{n,m}(x) = 2^m q_{n+m}(x/2^m)$.

For the functions max and min, simply use the formulae:

$$\max(x, y) = \frac{x + y + |x - y|}{2} \quad \text{and} \quad \min(x, y) = \frac{x + y - |x - y|}{2}$$

□

In the following, we shall need to “approximate” the discontinuous function

$$C_a(x) = \begin{cases} 1, & \text{if } x \geq a \\ 0, & \text{otherwise} \end{cases}$$

Such an “approximation” is given by the continuous semilinear function $C_{p,a}$:

$$C_{p,a} = \min(1, \max(0, 2^p(x - a))) \quad \text{where } p \in \mathbb{N}_1 \text{ and } a \in \mathbb{D}_{[0,1]}$$

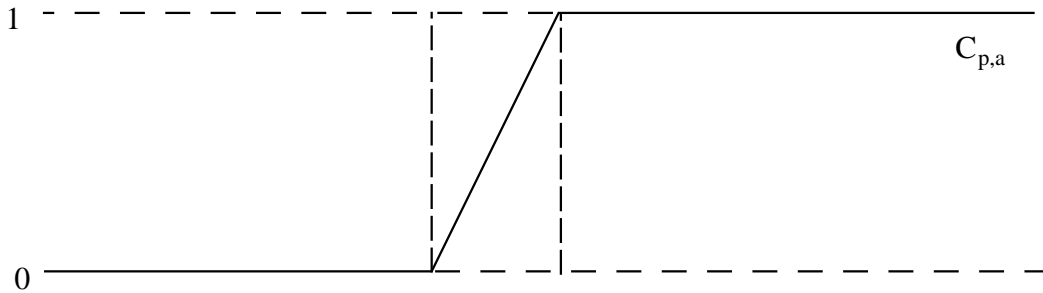


Figure 1: the function $C_{p,a}$

The complexity of the family of functions $(p, a) \mapsto C_{p,a}$ is given in the following proposition.

Proposition 3.3.6. *The family of functions $\mathbb{N}_1 \times \mathbb{D}_{[0,1]} : (p, a) \mapsto C_{p,a}$ defined as:*

$$C_{p,a} = \min(1, \max(0, 2^p(x - a)))$$

is a family of class \mathcal{P} . More precisely, it has complexity $\text{DRT}(\mathcal{O}(N^5), \mathcal{O}(\mathcal{M}(N^3)N^2 \log^3(N)))$ where $N = \max(\lg(a), n + p)$.

The following proposition concerns the square root function.

Proposition 3.3.7. *The function $x \mapsto \sqrt{|x - 1/2|}$ on $[0, 1]$ is a \mathcal{P} -point of \mathcal{C}_{ff} .*

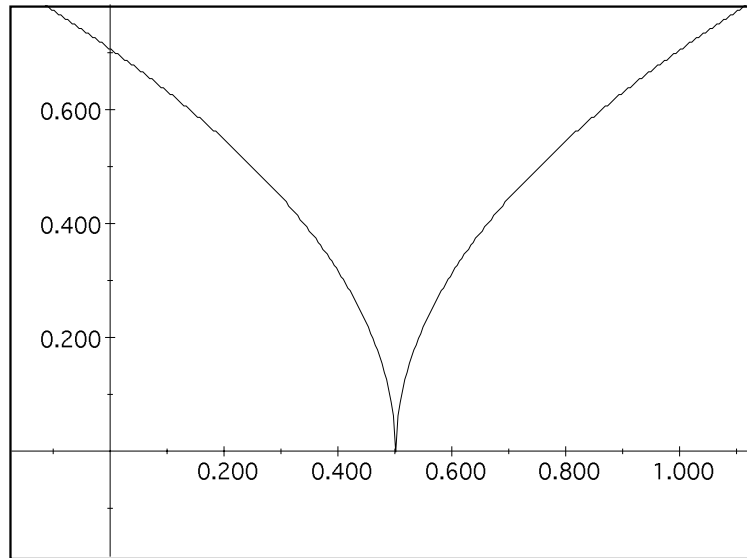


Figure 2: the function $x \mapsto \sqrt{|x - 1/2|}$

Proof. Sketch. In the polynomials $P_n(x^2)$ and $Q_n(x^2)$ from Newman’s theorem, if we replace x^2 by a good approximation of $|x|$ on $[0, 1]$, then by Newman’s theorem, we obtain a rational function $R_n(x)/S_n(x)$ such that

$$\forall x \in [0, 1] \left| \sqrt{|x|} - (R_n/S_n)(x) \right| \leq 2^{-n}.$$

The degrees of $R_n(x)$ and $S_n(x)$ will be $O(n^4)$.

Note that the fraction $(P_n/Q_n)(x)$ is not odd, so it provides a good approximation to the function $\sqrt{|x|}$ only on the interval the interval $[0, 1]$. \square

4 A natural presentation of the space $\mathbf{C}[0, 1]$ and some equivalent equivalent presentations

A natural notion of complexity for points and sequences of points of the space $\mathbf{C}[0, 1]$ is given by Ker-I. Ko and H. Friedman in [16]. In this section we study a rational presentation of the space $\mathbf{C}[0, 1]$ which gives (more or less) the same notions of complexity. We also study other presentations using circuits, which turn out to be equivalent from the point of view of complexity. The proof of these equivalences is based on the proof of an analogous but less general result given in [13, 14].

4.1 Definitions of some presentations of the space $\mathbf{C}[0, 1]$

4.1.1 KF presentation (KF as in Ko-Friedman)

Recall that $\mathbb{D}_n = \{k/2^n; k \in \mathbb{Z}\}$ and $\mathbb{D}_{n,[0,1]} = \mathbb{D}_n \cap [0, 1]$.

In the definition given by Ko and Friedman, for $f \in \mathbf{C}[0, 1]$, an Oracle Turing Machine (OTM) “computes” the function function f in the following sense. For the question “ m ?”, where $m \in \mathbb{N}_1$, the oracle delivers an approximation $\xi \in \mathbb{D}_{m,[0,1]}$ of x to within 2^{-m} . For the input $n \in \mathbb{N}_1$, the machine calculates, with the help of the previous oracles, a $\zeta \in \mathbb{D}_n$ approximating $f(x)$ to within $1/2^n$.

Reading the OTM program alone is obviously no way of knowing whether the OTM calculates a function of $\mathbf{C}[0, 1]$. Consequently, since we wish to have objects clearly identified as “rational points” of the presentation we want to define, we introduce control parameters. But for such parameters to be truly effective, it is necessary to restrict the execution of the machine to an output precision given a priori. As a result, the required input accuracy is also limited a

priori. Thus, the OTM is approximated by a sequence of ordinary machines (without oracle), each executing only a finite number of computations. We are therefore led to define a rational presentation of $\mathbf{C}[0, 1]$ which will be denoted by \mathcal{C}_{KF} (the set of codes for rational points will be denoted by \mathbf{Y}_{KF}) as follows.

Definition 4.1.1. We consider a language, chosen once and for all, to describe TM programs with a single input, in $\mathbb{D}_{[0,1]}$ (denoted by x), and with a single output, in \mathbb{D} (denoted by y). Let **Prog** be the part of this language formed by well-written programs (according to a syntax specified once and for all). Let $f = (Pr, n, m, T) \in \mathbf{Prog} \times \mathbb{N}_1 \times \mathbb{N}_1 \times \mathbb{N}_1$ where we have:

- n is the precision required for y ,
- m is the precision with which x is given.

The quadruplet (Pr, n, m, T) is said to be *correct* when the following conditions are satisfied.

- the program Pr calculates a function from $\mathbb{D}_{m,[0,1]}$ to \mathbb{D}_n , i.e. for an entry in $\mathbb{D}_{m,[0,1]}$ it obtains an output an element of \mathbb{D}_n ;
- T bounds the maximum execution time for all x in $\mathbb{D}_{m,[0,1]}$;
- for two consecutive elements ($1/2^m$ apart) of $\mathbb{D}_{m,[0,1]}$ as input, the program gives two elements of \mathbb{D}_n no more than $1/2^n$ apart.

The set of correct quadruplets (Pr, n, m, T) is denoted by \mathbf{Y}_{KF} . When the data f is correct, it defines the following rational point \tilde{f} . It is the piecewise linear function which joins the points of the graph given on the grid $\mathbb{D}_{m,[0,1]} \times \mathbb{D}_n$ by executing the program Pr for all possible inputs in $\mathbb{D}_{m,[0,1]}$. So $\mathcal{C}_{\text{KF}} = (\mathbf{Y}_{\text{KF}}, \eta, \delta)$ where $\eta(f) = \tilde{f}$ and δ must be defined as required in Definition 2.1.1. The complexity of η and δ is studied in Proposition 4.1.3.

Remark 4.1.2. Note that the first two conditions could be fulfilled by syntactic constraints that are easy to implement. On the other hand, as we shall see in Proposition 4.4.1, the third is uncontrollable in polynomial time (unless $\mathcal{P} = \mathcal{NP}$) (this correctness condition defines a \mathcal{CO} – \mathcal{NP} -complete problem). Note also that if we had not imposed the correctness condition for the points of \mathbf{Y}_{KF} we would have had no a priori control of the modulus of uniform continuity for the piecewise linear function defined by the data, and the family $(\tilde{f})_{f \in \mathbf{Y}_{\text{KF}}}$ would not have been uniformly of class \mathcal{P} .

Proposition 4.1.3 (complexity of the family of functions attached to \mathbf{Y}_{KF}).

The family of continuous functions $(\tilde{f})_{f \in \mathbf{Y}_{\text{KF}}}$ is uniformly of class $\text{DSRT}(\text{Lin}, \text{Lin}, \text{O}(N^2))$.

Proof. First of all, we note that the function \tilde{f} corresponding to $f = (Pr, n, m, T)$ is piecewise linear and that, since the data is correct, the slope of each piece is bounded in absolute value by 2^{m-n} , which gives the modulus of uniform continuity $\mu(f, k) = k + m - n$ for the family $(\tilde{f})_{f \in \mathbf{Y}_{\text{KF}}}$.

We need to find a map $\varphi: \mathbf{Y}_{\text{KF}} \times \mathbb{D}_{[0,1]} \times \mathbb{N}_1 \rightarrow \mathbb{D}$ of complexity $\text{DSRT}(\text{Lin}, \text{Lin}, N^2)$ such that

$$\forall (f, x, k) \in \mathbf{Y}_{\text{KF}} \times \mathbb{D}_{[0,1]} \times \mathbb{N}_1 \quad \left| \varphi(f, x, k) - \tilde{f}(x) \right| \leq 2^{-k}.$$

Let $z = (f, x, k) = ((Pr, n, m, T), x, k) \in \mathbf{Y}_{\text{KF}} \times \mathbb{D}_{[0,1]} \times \mathbb{N}_1$. We will assume without loss of generality that $k \geq n$ and that x is given with at least m bits.

By simply reading x we can identify two consecutive elements a and b of $\mathbb{D}_{m,[0,1]}$ such that $a \leq x \leq b$ and we find the dyadic $r \in \mathbb{D}_{[0,1]}$ such that $x = a + r/2^n$.

Let $\varepsilon \in \{-1, 0, 1\}$ be the integer satisfying $\tilde{f}(a) = \tilde{f}(b) + \varepsilon/2^n$.

Then $\tilde{f}(x) = \tilde{f}(a) + \varepsilon r/2^n$. In addition $\tilde{f}(a) = \text{Exec}(Pr, a)$ is the result of executing the program program Pr for input a . The complete calculation therefore essentially consists of:

- reading x (and deducing a , b and r),
- calculating $\text{Exec}(Pr, a)$ and $\text{Exec}(Pr, b)$.

The complexity is therefore bounded by the complexity of the Universal Turing Machine that we use to run the program Pr . According to Lemma 1.3.1 this is done in time $\text{O}(T(T + \lfloor Pr \rfloor))$ and space $\text{O}(T + \lfloor Pr \rfloor)$. And the size of the output is bounded by T . \square

The fact that the presentation \mathcal{C}_{KF} which results from Definition 4.1.1 is the Ko-Friedman presentation is justified by the following proposition.

Proposition 4.1.4. *A function $f: [0, 1] \rightarrow \mathbb{R}$ is computable in polynomial time in the sense of Ko-Friedman if and only if it is a \mathcal{P} -point of \mathcal{C}_{KF} . More precisely,*

- a) *if the function f has time complexity $T(n)$ in the sense of Ko-Friedman then it is a $\text{DTIME}(T)$ -point of \mathcal{C}_{KF} ;*
- b) *if the function f is a $\text{DTIME}(T)$ -point of \mathcal{C}_{KF} then it has complexity $T^2(n)$ in the Ko-Friedman sense.*

We will first prove a characterisation of the complexity of a function in the sense of Ko-Friedman, for a class \mathcal{C} of complexity in time or space. We have already stated this without proof in Example 2.2.3. We give a more precise statement here.

Proposition 4.1.5. *Let \mathcal{C} be an elementarily stable class of type $\text{DTIME}(\bullet)$ or $\text{DSPACE}(\bullet)$ or $\text{DSRT}(\bullet, \bullet, \bullet)$ or $\text{DRT}(\bullet, \bullet)$ or $\text{DSR}(\bullet, \bullet)$ and consider a continuous function $f: [0, 1] \rightarrow \mathbb{R}$. The following properties are equivalent:*

- 1) *the function f is computable in the Ko-Friedman sense in the class \mathcal{C} .*
- 2) *the function f is uniformly of class \mathcal{C} .*

NB. *As far as the complexity of an OTM is concerned, we mean here that the questions to the oracle must be counted among the machine's outputs. In other words, the size of the m integers which are the questions to the oracle must have the bound required for the output in classes of the type $\text{DSRT}(\bullet, \bullet, \bullet)$ or $\text{DRT}(\bullet, \bullet, \bullet)$ or $\text{DSR}(\bullet, \bullet, \bullet)$.*

Proof of Proposition 4.1.5. Recall that a function is uniformly of class \mathcal{C} (cf. definition 2.1.1) when:

- a) the function f has a modulus of uniform continuity in the class \mathcal{C} .
- b) the family $(f(a))_{a \in \mathbb{D}}$ is a \mathcal{C} -family of real numbers.

Let $f \in \mathbf{C}[0, 1]$ and M be an OTM which, for any input $n \in \mathbb{N}_1$ and any $x \in [0, 1]$ (given as an oracle) calculates $f(x)$ to within 2^{-n} in the \mathcal{C} class. If we replace the oracle, which gives an approximation of x to within 2^{-m} in the class by reading an arbitrary dyadic number a , we obtain a usual TM that calculates $(f(a))_{a \in \mathbb{D}}$ as a family of real numbers, in the family of real numbers, in the class \mathcal{C} .

Let's look at the question of the modulus of uniform continuity. On the input n (precision required for the output) and for any oracle for any $x \in [0, 1]$, the OTM will calculate $y = f(x)$ to within 2^{-n} by querying the oracle for certain precision m . Since \mathcal{C} is a complexity class of the type expected, the largest of the integers m used on the input n can be augmented by $\mu(n)$ where $\mu: \mathbb{N}_1 \rightarrow \mathbb{N}_1$ is a function in the class \mathcal{C} .¹⁰ This is the modulus of uniform continuity we are looking for.

Suppose now that the function f is uniformly of class \mathcal{C} . Let M be the TM (without oracle) that calculates $(f(x))_{x \in \mathbb{D}}$ as a family of real numbers in class \mathcal{C} . Let M' be a TM that computes a modulus of uniform continuity $\mu: \mathbb{N}_1 \rightarrow \mathbb{N}_1$ in the class \mathcal{C} . The Ko-Friedman OTM is then as follows. On the input n it calculates $m = \mu(n + 1)$ (using M'), it then queries the oracle with precision m , the oracle gives an element $a \in \mathbb{D}_m$. The OTM then uses M to calculate $f(a)$ to within $1/2^{n+1}$, which, deprived of its last bit, constitutes the output of the OTM. \square

Proposition 4.1.5 shows, by contrast, that the non-perfect match obtained in Proposition 4.1.4 is only due to the difficulty of putting exactly and every time the notion of complexity of a uniformly continuous map (as a function) into the mould of the notion of complexity of a point in a metric space. This perfect match occurs for classes such as \mathcal{P} , Prim or Rec but not for $\text{DRT}(\text{Lin}, \text{O}(n^k))$.

Finally, note the great similarity between the proofs of the propositions 4.1.5 and 4.1.4, with a slightly greater complication for the latter.

¹⁰For example, for a class of complexity class where we specify that the outputs are of linear size, the size of m depends linearly on n (independently of the oracle) since m , as a question put to the oracle, is one of the outputs.

Proof of Proposition 4.1.4. Let $f \in \mathbf{C}[0, 1]$ and M an OTM which, for any input $n \in \mathbb{N}_1$ and any $x \in [0, 1]$ (given as an oracle) calculates $f(x)$ to within 2^{-n} , in time bounded by $T(n)$.

Consider the sequence $f_n = (Pr_n, n, T(n), T(n))_{n \in \mathbb{N}_1}$ where we have:

Pr_n is obtained from the Pr program of the M machine by replacing the answer (x_m) given by the oracle to the question “ m ?” by the instruction “read x with precision m ”.

The correction of f_n is clear. Let \widetilde{f}_n be the piecewise linear function corresponding to f_n . We have for $\xi \in [0, 1]$ and d an approximation of ξ to within $1/2^{T(n)}$

$$\text{Exec}(Pr_n, d) = \text{Exec}(Pr, n, \text{Oracle for } \xi) = M^\xi(n)$$

and therefore

$$\left| \widetilde{f}_n(\xi) - f(\xi) \right| \leq |f(d) - \text{Exec}(Pr_n, \xi)| + \left| \widetilde{f}_n(d) - \text{Exec}(Pr_n, \xi) \right| \leq 2^{-n} + 2^{-n} \leq 2^{-(n-1)}$$

Finally, the sequence $n \mapsto f_{n+1}$ is of complexity $\text{DTIME}(O(n))$.

Conversely, suppose $\|f_n - f\| \leq 2^{-n}$ with $n \mapsto f_n$ of class $\text{DTIME}(T(n))$.

We have $f_n = (Pr_n, q(n), m(n), t(n))$. Consider the OTM M which, for any integer $n \in \mathbb{N}_1$ and any $xi \in [0, 1]$, performs the following tasks as follows:

— take the element $f_{n+1} = (Pr_{n+1}, q(n+1), m(n+1), t(n+1))$, from the sequence, corresponding to $n + 1$. sequence, corresponding to $n + 1$.

— ask the oracle the question $Q(n) = m(n + 1) + n + 1 - q(n)$ (we obtain an approximation d of ξ to within $2^{-Q(n)}$).

— calculate $\widetilde{f}_{n+1}(d)$ by linear interpolation (cf. Proposition 4.1.3): this is the output of M .

We then have for all $\xi \in [0, 1]$

$$\left| \widetilde{f}_n(\xi) - M^\xi(n) \right| \leq \left| \widetilde{f}_n(\xi) - \widetilde{f}_{n+1}(\xi) \right| + \left| \widetilde{f}_{n+1}(\xi) - \widetilde{f}_{n+1}(d) \right| \leq 2^{-(n+1)} + 2^{-(n+1)} = 2^{-n}$$

so

$$\|f - M^\xi(n)\| \leq \|f - \widetilde{f}_n\| + \|\widetilde{f}_n - M^\xi(n)\| \leq 2^{-n} + 2^{-n}$$

Moreover the machine M has complexity $O(T^2(n))$ (cf. Proposition 4.1.3). \square

In the same style as Proposition 4.1.5, we obtain two natural characterisations, to within \mathcal{P} -equivalence, of the rational presentation \mathcal{C}_{KF} of $\mathbf{C}[0, 1]$.

Proposition 4.1.6. *Let \mathcal{C}^* be a rational presentation of the space $\mathbf{C}[0, 1]$. The two following assertions are equivalent.*

1. *The presentation \mathcal{C}^* is \mathcal{P} -equivalent to \mathcal{C}_{KF} .*
2. *A family $(\widetilde{f})_{f \in \mathcal{Z}}$ in $\mathbf{C}[0, 1]$ is uniformly of class \mathcal{P} if and only if it is a \mathcal{P} -family of points in \mathcal{C}^* .*

Proof. For any \mathcal{C} -elementarily stable class, two rational presentations of an arbitrary metric space are \mathcal{C} -equivalent if and only if they define the same \mathcal{C} -families of points (cf. remark 2.2.8). It is then sufficient to check that the rational presentation \mathcal{C}_{KF} satisfies condition (2). The proof is identical to that of Proposition 4.1.4. \square

Theorem 4.1.7. *The presentation \mathcal{C}_{KF} is universal for evaluation in the following sense.*

If $\mathcal{C}_Y = (Y, \delta, \eta)$ is a rational presentation of $\mathbf{C}[0, 1]$ for which the family $(\widetilde{f})_{f \in Y}$ is uniformly of class \mathcal{P} , then the function $\text{Id}_{\mathbf{C}[0, 1]}$ from \mathcal{C}_Y to \mathcal{C}_{KF} is uniformly of class \mathcal{P} .

The result generalises to any elementarily stable class of complexity \mathcal{C} which verifies the following property: if $F \in \mathcal{C}$ then the computation time of $F: \mathbb{N}_1 \rightarrow \mathbb{N}_1$, $N \mapsto F(N)$, is bounded by a function of class \mathcal{C} .

Proof. This follows from 4.1.6. However, let us give the proof. We must show that the family $(\tilde{f})_{f \in Y}$ is a family of points of class \mathcal{P} for the presentation \mathcal{C}_{KF} . Since the family $(\tilde{f})_{f \in Y}$ is uniformly of class \mathcal{P} , we have two functions ψ and μ of class \mathcal{P} :

$$\psi: Y \times \mathbb{D}_{[0,1]} \times \mathbb{N}_1 \rightarrow \mathbb{D} \quad (f, d, n) \mapsto \psi(f, d, n) = \tilde{f}(d) \text{ to within } 1/2^n$$

and

$$\mu: Y \times \mathbb{N}_1 \rightarrow \mathbb{D} \quad (f, n) \mapsto \mu(f, d, n) = m$$

where μ is a modulus of uniform continuity for the family. Let $S: \mathbb{N}_1 \rightarrow \mathbb{N}_1$ be a map of class \mathcal{P} which gives a bound for the computation time of ψ .

Let us then consider the function $\varphi: Y \times \mathbb{N}_1 \rightarrow \mathbf{Y}_{\text{KF}}$ defined by:

$$\varphi(f, n) = (Pr(f, n), n, \mu(f, n), S(\lfloor f \rfloor + \mu(f, n) + n))$$

where $\lfloor f \rfloor$ is the size of f and Pr is the program calculating ψ , barely modified: it takes as input only the $d \in \mathbb{D}_{m, [0,1]}$ and retains for output only the significant digits in \mathbb{D}_n .

The φ function is also in class \mathcal{P} .

Furthermore, it is clear that the rational point coded by $(Pr, n, m, S(\lfloor f \rfloor + m + n))$ approximates \tilde{f} to within $1/2^n$. \square

Note that this universal property of the presentation \mathcal{C}_{KF} is obviously shared by all presentations \mathcal{P} -equivalent to \mathcal{C}_{KF} .

4.1.2 Presentation by boolean circuits

Boolean circuit presentation is essentially the same as Ko-Friedman presentation. It is a little more natural within our framework of rational presentations.

Let us denote by BC the set of (codes for) boolean circuits. A boolean circuit C is simply given by a boolean evaluation program (boolean straight-line program) which represents the execution of the circuit C . A rational point of the presentation by boolean circuits is a map \tilde{f} encoded by a quadruplet $f = (C, n, m, k)$ where C is (the code of) a boolean circuit, n is the required precision for $f(x)$, m is the required precision input, and 2^{k+1} is an upper bound for the norm of \tilde{f} .

Definition 4.1.8. A rational point of the presentation by boolean circuits \mathcal{C}_{bc} is encoded by a quadruplet $f = (C, n, m, k) \in \text{BC} \times \mathbb{N}_1 \times \mathbb{N}_1 \times \mathbb{N}_1$ where C is (the code of) a boolean circuit with m input gates and $k + n + 1$ output gates: the m input gates are used to code an element of $\mathbb{D}_{m, [0,1]}$ and the $k + n + 1$ output gates are used to code elements of \mathbb{D} of the form $\pm 2^k \left(\sum_{i=1}^{n+k} b_i 2^{-i} \right)$ ($b_i \in \{0, 1\}$, b_0 codes \pm).

The data $f = (C, n, m, k)$ is said to be *correct* when two entries encoding elements $1/2^m$ apart of $\mathbb{D}_{m, [0,1]}$ give outputs encoding elements at most $1/2^n$ apart of \mathbb{D} . The set of correct data is \mathbf{Y}_{bc} .

When a given f is correct, it defines a piecewise linear function \tilde{f} which is well controlled (it is the ‘‘rational point’’ defined by the data).

It should be noted that the control parameters n , m and k are mainly indicated for the user’s convenience. In fact $n + k$ and m are directly readable on the C circuit.

From this point of view, the situation is slightly improved compared to the presentation for which the control parameters are absolutely essential. The size of C alone controls the execution time of the circuit (i.e. the function which calculates, from the code of a boolean circuit and the list of its inputs, the list of its outputs is a function of very low complexity).

Proposition 4.1.9 (complexity of the family of functions attached to \mathbf{Y}_{bc}). *The family of continuous functions $(\tilde{f})_{f \in \mathbf{Y}_{\text{bc}}}$ is uniformly of class DSRT(Lin, Lin, QLin).*

Proof. We copy the proof of Proposition 4.1.3 concerning the family $(\tilde{f})_{f \in \mathbf{Y}_{\text{KF}}}$. The only difference is the replacement of the function $\text{Exec}(Pr, a)$ by the evaluation of a boolean circuit. The function which calculates, from the code of a boolean circuit and the list of its inputs, the list of its outputs is a function of time complexity $O(t \log(t))$ (where $t = \text{sz}(C)$), so of class $\text{DSRT}(\text{Lin}, \text{Lin}, \text{QLin})$. \square

NB. If we had taken “management time” into account (cf. remark 3.2.3) we would have found a complexity $\text{DSRT}(\text{Lin}, \text{Lin}, O(N^2))$, i.e. the same result as for the family $(\tilde{f})_{f \in \mathbf{Y}_{\text{KF}}}$ (the complexity of $\text{Exec}(Pr, a)$ precisely takes into account “management time”).

4.1.3 Presentation by arithmetic circuits (with magnitude)

Remember that an *arithmetic circuit* is, by definition a circuit whose input gates are “real” variables x_i and constants in \mathbb{Q} . Obviously, we could tolerate only the two constants 0 and 1 without significant change.

The other gates are:

- single-input gates of the following types: $x \mapsto x^{-1}$, $x \mapsto -x$,
- two-input gates of the following two types: $x + y$, $x \times y$.

An arithmetic circuit calculates a rational function, (or possibly gives error if you ask it to invert the identically zero function). We shall consider arithmetic circuits with a single input variable and a single output gate, and we shall denote by AC the set of (codes of) arithmetic circuits with a single input. The code of a circuit is the text of an evaluation program (in a language and with a syntax) corresponding to the arithmetic circuit in question.

Definition 4.1.10. An integer M is called a *coefficient of magnitude* for an arithmetic circuit α with a single input when 2^M bounds in absolute value all the rational functions in the circuit (i.e. those calculated at all the gates of the circuit) at any point in the interval $[0, 1]$.

A pair $f = (\alpha, M) \in \text{AC} \times \mathbb{N}_1$ is a *correct datum* when M is a magnitude coefficient for the circuit α . This defines the elements of \mathbf{Y}_{ac} . An element f of \mathbf{Y}_{ac} defines the rational function \tilde{f} when it is seen as an element of $\mathbf{C}[0, 1]$. The family $(\tilde{f})_{f \in \mathbf{Y}_{\text{ac}}}$ is the family of rational points of a presentation of $\mathbf{C}[0, 1]$ which will be noted \mathcal{C}_{ac} .

Note that, because of the presence of multiplications and the transition to the inverse, the size of M can be exponential compared to that of α , even when no rational function of α has a pole on $[0, 1]$. This kind of mishap did not occur with binary semilinear circuits. It even seems unlikely that the correction of a pair $(\alpha, M) \in \text{AC} \times \mathbb{N}_1$ could be tested in polynomial time.

Proposition 4.1.11 (complexity of the family of functions attached to \mathbf{Y}_{ac}). *The family of continuous functions $(\tilde{f})_{f \in \mathbf{Y}_{\text{ac}}}$ is uniformly of class \mathcal{P} , and more precisely of class $\text{DSRT}(O(N^3), \text{Lin}, O(N\mathcal{M}(N^2)))$.*

Proof. Let $f = (\alpha, M)$ be an element of \mathbf{Y}_{ac} . Let p be the depth of the product α . We show by induction on π that, for a gate of depth π the corresponding has a derivative bounded by $2^{2M\pi}$ on the interval the interval $[0, 1]$. This gives the modulus of uniform continuity $\mu(f, k) = k + 2Mp$ (which is $O(N^2)$) for the family $(\tilde{f})_{f \in \mathbf{Y}_{\text{ac}}}$.

We now need to show a function $\psi: \mathbf{Y}_{\text{ac}} \times \mathbb{D}_{[0,1]} \times \mathbb{N}_1 \rightarrow \mathbb{D}$ of complexity $\text{DRT}(\text{Lin}, O(N\mathcal{M}(N^2)))$ such that

$$\forall (f, x, k) \in \mathbf{Y}_{\text{ac}} \times \mathbb{D}_{[0,1]} \times \mathbb{N}_1 \quad \left| \psi(f, x, k) - \tilde{f}(x) \right| \leq 2^{-k}.$$

Let $(f, x, k) \in \mathbf{Y}_{\text{ac}} \times \mathbb{D}_{[0,1]} \times \mathbb{N}_1$ where $f = (\alpha, M)$. Let $t = \text{sz}(\alpha)$ be the number of gates in the circuit α . The size of the inputs is $N = t + M + k$.

To calculate $\psi((\alpha, M), x, k)$ proceed as follows. Read $m = k + 2Mp + p$ bits of x which gives the two consecutive points a and b of $\mathbb{D}_{m,[0,1]}$ such that $a \leq x \leq b$. We execute the α circuit at input a , truncating the calculation performed on each gate to the first m significant bits. The value obtained at the output, truncated to the first k significant bits, is the element $\psi((\alpha, M), x, k)$. As multiplication (or division) takes place in time $\mathcal{M}(m)$, the time of the arithmetic operations themselves is an $O(t\mathcal{M}(k + 2Mp + p)) = O(N\mathcal{M}(N^2))$ and the used space is in $O(N^3)$. \square

NB. If we had taken “management time” into account (cf. Remark 3.2.3) we would have said: the time for the arithmetic operations themselves is $O(NM(N^2))$, and the management of objects is $O(N^4)$. So if we consider the fast (respectively naive) multiplication, the evaluation function is in $\text{DRT}(\text{Lin}, O(N^4))$ (respectively $\text{DRT}(\text{Lin}, O(N^5))$) where N is the size of the data.

4.1.4 Presentation by polynomial arithmetic circuits (with magnitude)

The following presentation of $\mathbf{C}[0, 1]$ will be denoted by \mathcal{C}_{pac} . The set of codes for rational points will be denoted by \mathbf{Y}_{pac} .

This is the same as the arithmetic circuits, except that the “inverse pass” gates are removed. We therefore do not give the definition in detail.

We find the same difficulties with magnitude, but a little less serious. It does not seem possible to obtain for polynomial circuits significantly better complexity bounds than those obtained in Proposition 4.1.11 for circuits with divisions.

4.2 Comparisons of previous presentations

In this section we show an important result, the equivalence between the Ko-Friedman presentation and the four circuit presentations in the previous section, from the point of view of polynomial time complexity. In particular we obtain an algorithmically fully controlled formulation for the Weierstrass approximation theorem.

To show the equivalence between these five presentations from the point of view of complexity, we will follow the plan below.

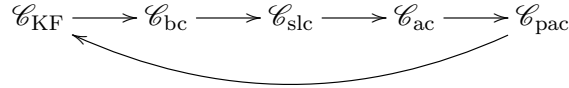


Figure 3: proof diagram

To give an equivalence between two different presentations, we need to construct maps that transform a rational point of the first presentation into a rational point of the other presentation, which approximates conveniently the first rational point. And vice versa.

Proposition 4.2.1. *The identity of $\mathbf{C}[0, 1]$ from \mathcal{C}_{KF} to \mathcal{C}_{bc} is uniformly of class \mathcal{P} , in fact of class $\text{DTIME}(N^{14})$.*

The proof of this proposition is based on Lemma 1.3.1 which describes the complexity of a Universal Turing Machine and on the following lemma.

Lemma 4.2.2. (cf. [34] and [25])

Let M be a fixed TM, and T and m be elements of \mathbb{N}_1 . Then we have a function computable in time $O((T + m)^7)$ which computes $\gamma_{T,m}$: a boolean circuit simulating the first T configurations of M for any entry in $\{0, 1\}^m$.

Remark 4.2.3. J. Stern has given in [34], for any integer $T \in \mathbb{N}_1$, a fairly simple construction of a circuit γ_T which calculates the configuration of M obtained after T calculation steps from an initial configuration of size $\leq T$ (we can assume that $T \geq m$ or take $\max(T, m)$). The size of the circuit γ_T is $O(T^2)$. The author also mentions that this construction is done in polynomial time. A more precise bound ($O(T^7)$) is given in [25].

Proof of Proposition 4.2.1. Consider the Turing Machine MU from Lemma 1.3.1.

Let $f = (Pr, n, m, T)$ be an element of \mathbf{Y}_{KF} . Let p be the size of the program Pr . The size of f is $N = p + n + m + T$. The machine MU takes as inputs the program Pr , an input $x \in \mathbb{D}_{m,[0,1]}$ and the number of steps T . It executes in $O(T(\max(T, m) + p)) = O(N^2)$ steps (cf. Lemma 1.3.1) the task of calculating the output for the program Pr on the same input x after T calculation steps. By applying Lemma 4.2.2 we obtain time $O(N^{14})$ for calculating an element g of \mathbf{Y}_{bc} from the input f (a boolean circuit and its control parameters) for which we have $\tilde{g} = f$. \square

Proposition 4.2.4. *The identity of $\mathbf{C}[0, 1]$ from \mathcal{C}_{bc} to \mathcal{C}_{slc} is uniformly of class LINTIME. More precisely, we have a discrete function which, starting from an element $f = (\gamma, n, m, k)$ of \mathbf{Y}_{bc} and an integer $q \in \mathbb{N}_1$, calculates in time $O(N)$ (where N is the size of the the input $((\gamma, n, m, k), q)$, a binary semilinear circuit g such that*

$$\forall x \in [0, 1] \quad \left| \tilde{f}(x) - \tilde{g}(x) \right| \leq 2^{-q} \quad (\text{F4.2.4}).$$

The proof of this proposition uses the following lemma.

Lemma 4.2.5. *There exists a function computable in time $O(N)$ which transforms any element $f = ((\gamma, n, m, k), h)$ of $\mathbf{Y}_{bc} \times \mathbb{N}_1$ into an element $f' = (\gamma', n + h, m + h, k)$ of \mathbf{Y}_{bc} corresponding to the same function.*

Proof. Suppose that the circuit γ calculates, for the input $x = u/2^m$ where $0 \leq u \leq 2^m - 1$, the value $y = \ell/2^n$, and for $x' = (u + 1)/2^m$, the value $y' = \ell'/2^n$ with $\ell, \ell' \in \mathbb{Z}$ and $|\ell - \ell'| \leq 1$. Then the circuit γ' calculates, for the input $x + r2^{-h}2^{-m}$, $0 \leq r \leq 2^h$, the value $y + (y' - y)r2^{-h}$. Note also that $\text{sz}(\gamma') = O(\text{sz}(\gamma) + h)$ and $\text{depth}(\gamma') = O(\text{depth}(\gamma) + h)$. \square

Proof of Proposition 4.2.4. According to Lemma 4.2.5, the condition (F4.2.4) of the can be replaced by the condition:

$$\forall x \in [0, 1] \quad \left| \tilde{f}(x) - \tilde{g}(x) \right| \leq 2^{-(n-1)} \quad (\text{F4.2.5})$$

Indeed: if $q < n$ then (F4.2.4) follows from (F4.2.5), otherwise, we use linear interpolation given in the proof of Lemma 4.2.5.

We now seek to simulate the boolean circuit $f = (\gamma, n, m, k)$ by a binary semilinear circuit g to within $1/2^n$.

First of all, let's note that it's easy to simulate all the gates exactly, "except for the input", by a simple λ semilinear circuit which consists of:

- 1) replacing the boolean constants 0 and 1 of γ by the rational constants 0 and 1.
- 2) replacing each vertex of γ calculating $\neg u$ by a vertex of λ calculating $1 - u$.
- 3) replacing each vertex of γ calculating $u \wedge v$ by a vertex of λ calculating $\min(u, v)$.
- 4) replacing each vertex of γ calculating $u \vee v$ by a vertex of λ calculating $\max(u, v)$.
- 5) calculating, from the outputs c_0, c_1, \dots, c_{n+k} of the circuit γ , the rational point:

$$\pm 2^k \sum_{i=1, \dots, n+k} c_i 2^{-i} \quad (c_0 \text{ codes the sign})$$

It is clear that the circuit λ is constructed in linear time and has a size $\text{sz}(\lambda) = O(\text{sz}(\gamma))$ and a depth $\text{depth}(\lambda) = O(\text{depth}(\gamma))$.

Now we want to "simulate the input" of the circuit γ , i.e. the bits encoding x , by a binary semilinear circuit.

Usually, to determine the binary expansion of a real number x , we use the following pseudo-algorithm which uses the discontinuous function function C defined by:

$$C(x) = \begin{cases} 1 & \text{if } x \geq 1/2 \\ 0 & \text{otherwise} \end{cases}$$

Algorithm 1 (calculation of the first m bits of a real number $x \in [0, 1]$)

Inputs: $x \in [0, 1]$, $m \in \mathbb{N}$

Output: the list $(b_1, b_2, \dots, b_m) \in \{0, 1\}^m$

For $j := 1$ to m Do

$b_j \leftarrow C(x)$

$x \leftarrow 2x - b_j$

Done

End.

The map C is discontinuous, so Algorithm 1 *is not really an algorithm*; and it cannot be simulated by a binary semilinear binary circuit. We then consider the continuous function

$$C_p(x) := C_{p,1/2} = \min(1, \max(0, 2^p(x - 1/2))) \quad (\text{cf. Figure 1})$$

which ‘‘approximates’’ the function C . And we consider the following algorithm:

Algorithm 2 (approximate calculation of the first m bits which encode a real number x)

Inputs: $x \in [0, 1]$, $m \in \mathbb{N}_1$
 Output: a list $(b_1, b_2, \dots, b_m) \in [0, 1]^m$

```

  p ← m + 2
  For j := 1 to m Do
    bj ← Cp(x)
    x ← 2x - bj
    p ← p - 1
  Done
  End.
```

This is achieved by a circuit of size and depth $O(m)$ in the following form.

Algorithm 2bis (semilinear circuit form of algorithm 2)

Inputs: $x \in [0, 1]$, $m \in \mathbb{N}_1$
 Output: a list $(b_1, b_2, \dots, b_m) \in [0, 1]^m$

```

  p ← m + 2, q ← 2p
  For j := 1 to m Do
    y ← q(x - 1/2)
    bj ← min(1, max(0, y))
    x ← 2x - bj
    q ← q/2
  Done
  End
```

But a crucial problem arises when the input real x is in an interval of type $(k/2^m, k/2^m + 1/2^p)$ where $0 \leq k \leq 2^m - 1$. In this case, at least one bit calculated in algorithm 2 is in $(0, 1)$. Consequently, the final result of the boolean circuit simulation may be inconsistent. To get round this difficulty, we use a technique introduced by Hoover [13, 14]. We make the following remarks.

— For all $x \in [0, 1]$ at most one of the values $x_\sigma = x + \frac{\sigma}{2^{m+2}}$ (where $\sigma \in \{-1, 0, 1\}$) is in an interval of the previous type.

— Let $z_\sigma = \sum_{j=1, \dots, m} b_j 2^{-j}$ where the b_j are provided by Algorithm 2bis on the input x_σ . According to the previous remark, at least two values $\tilde{\lambda}(z_\sigma)$ ($\sigma \in \{-1, 0, 1\}$), correspond exactly to the output of the arithmetic circuit γ when the first m bits of x_σ are input. In other words, for at least two values of σ , we have $z_\sigma \in \mathbb{D}_m$ and $\tilde{\lambda}(z_\sigma) = \tilde{f}(z_\sigma)$ with in addition $|z_\sigma - x| \leq 1/2^m + 1/2^{m+2} \leq 1/2^{m-1}$ (hence $|\tilde{f}(z_\sigma) - \tilde{f}(x)| \leq 1/2^{n-1}$).

— Therefore, any incorrect value calculated by the semilinear semilinear circuit can only be the first or the third of the values if we order them in ascending order. Thus, if y_{-1}, y_0 and y_1 , are the three values respectively calculated by the circuit at the points x_σ ($\sigma = -1, 0, 1$), then the second of the 3 values correctly approaches $\tilde{f}(x)$. Given three real numbers y_{-1}, y_0 and y_1 , the 2nd one in ascending order, $\theta(y_{-1}, y_0, y_1)$, is calculated by one of the two semilinear circuits represented by the second member in the equations:

$$\theta(y_{-1}, y_0, y_1) = y_{-1} + y_0 + y_1 - \min(y_{-1}, y_0, y_1) - \max(y_{-1}, y_0, y_1)$$

$$\theta(y_{-1}, y_0, y_1) = \min(\max(y_0, y_1), \max(y_1, y_{-1}), \max(y_0, y_{-1}))$$

To summarise: from the input x we calculate the $x_\sigma = x + \frac{\sigma}{2^{m+2}}$ (where $\sigma \in \{-1, 0, 1\}$), and we apply successively:

— the circuit ε (of size $O(m) = O(N)$) which decodes correctly the first m digits of x_σ for at least two of the three x_σ ;

— the circuit λ which simulates the boolean circuit proper and recodes the output digits in the form of a dyadic, this circuit is of size $O(N)$;

— then the circuit θ which chooses the 2nd calculated value in ascending order.

We therefore obtain a circuit which calculates the function:

$$\tilde{g}(x) = \theta(\lambda(\varepsilon(x - 1/2^p)), \lambda(\varepsilon(x)), \lambda(\varepsilon(x + 1/2^p))) \text{ with } p = m + 2$$

of size and depth $O(N)$ and such that

$$|\tilde{f}(x) - \tilde{g}(x)| \leq 2^{-n} \quad \forall x \in [0, 1].$$

In addition, the time taken to calculate (the code for) g from the input f is also in $O(N)$. \square

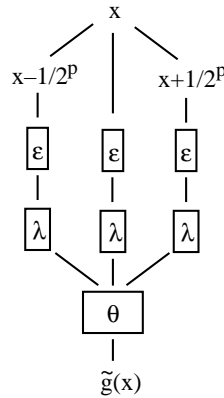


Figure 4: global view of the calculation

We now move on to the simulation of a binary semilinear circuit by an arithmetic circuit (with divisions). First we give a circuit version of Proposition 3.3.5.

Proposition 4.2.6. *The functions $(x, y) \mapsto \max(x, y)$ and $(x, y) \mapsto \min(x, y)$ on the square $[-2^m, 2^m] \times [-2^m, 2^m]$ can be approximated to within $1/2^n$ by arithmetic circuits of size $O(N^3)$, of magnitude $O(N^3)$ and which can be calculated in the class $\text{DTIME}(O(N^3))$ where $(N = n + m)$.*

Proof. The proof of Lemma 3.3.3 is repeated. The representation of polynomials approximating P_n and Q_n by means of circuits is more economical in space. First of all, we need to construct a circuit that calculates an approximation of $e^{-1/n}$ to within $1/2^{n^3}$. Consider the Taylor expansion

$$F_m(z) = \sum_{0 \leq k \leq m} \frac{(-1)^k}{k!} z^k$$

which approaches e^z to within $1/2^{m+2}$ if $m \geq 5$ and $0 \leq z \leq 1$. Here, we can simply give a circuit which calculates $d_n = F_{n^3}(1/n)$, whose size and calculation time are a priori in $O(n^3)$ (whereas we had to explicitly give a dyadic approximation $c_{n,1}$ of d_n). We then construct a circuit that calculates a good approximation of $H_n(x) = \prod_{1 \leq k < n^2} (x + e^{-k/n})$ in the form $h_n(x) = (x + d_n)(x + d_n^2) \cdots (x + d_n^{n^2-1})$. This requires a calculation time (and circuit size) in $O(n^2)$. This means that the arithmetic circuit which calculates an approximation to within $1/2^n$ of $|x|$ on $[0, 1]$ is calculated in time $O(n^3)$.

It is also easy to see that the coefficient of magnitude is bounded by the size of $1/h_n(0)$, i.e. also an $O(n^3)$. \square

Note that the magnitude coefficient can hardly be improved. On the other hand, it does not seem impossible that d_n could be calculated by a circuit of smaller size than the naive size in $O(n^3)$.

Proposition 4.2.7. *The identity of $\mathbf{C}[0, 1]$ from $\mathcal{C}_{\text{slic}}$ to \mathcal{C}_{ac} is uniformly of class \mathcal{P} , in fact of class $\text{DTIME}(N^4)$. More precisely, we have a discrete function which, starting from an element g of \mathbf{Y}_{slic} of size $\text{sz}(g) = t$ and depth $\text{depth}(g) = p$, and an integer $n \in \mathbb{N}_1$, calculates in time $O(t(n+p)^3)$ an element $f = (\alpha, M) \in \mathbf{Y}_{\text{ac}}$*

of size $\text{sz}(\alpha) = \text{sz}(g)O((n+p)^3)$,

of depth $\text{depth}(\alpha) = O(p(n+p)^3)$,

with magnitude coefficient $M = \text{mag}(\alpha) = O((n+p)^3)$,

and such that $|\tilde{f}(x) - \tilde{g}(x)| \leq 2^{-n} \quad \forall x \in [0, 1]$.

Proof. Let $p = \text{depth}(g)$. The gates of g for an input $x \in [0, 1]$ take values in the interval $[-2^p, 2^p]$. We want to simulate to within 2^{-n} the circuit g by an arithmetic circuit. Simply simulate the max and min gates of the semilinear circuit to within $2^{-(n+p)}$ on the interval $[-2^p, 2^p]$. According to Proposition 4.2.6, each simulation requires an arithmetic circuit (with division), all the characteristics of which are bounded by an $O(n+p)^3$. \square

We move on to the simulation of an arithmetic circuit with divisions by a polynomial arithmetic circuit.

Proposition 4.2.8. *The identity of $\mathbf{C}[0, 1]$ from \mathcal{C}_{ac} to \mathcal{C}_{pac} is uniformly of class \mathcal{P} , in fact of class $\text{DTIME}(N^2)$. More precisely, we have a discrete function which, starting from an element $f = (\alpha, M)$ of \mathbf{Y}_{ac} and an integer $n \in \mathbb{N}_1$, calculates in time $O(N^2)$ an arithmetic polynomial circuit $(\Gamma, M') \in \mathbf{Y}_{\text{pac}}$ (N is the size of the input $((\alpha, M), n)$)*

— of size $\text{sz}(G) = O(\text{sz}(\alpha)(n+M))$,

— of depth $\text{depth}(G) = O(\text{depth}(\alpha)(n+M))$,

— of magnitude $\text{mag}(G) = M' = O(n+M)$,

— and such that $|\tilde{f}(x) - \tilde{g}(x)| \leq 2^{-n}$ for all $x \in [0, 1]$.

The problem only arises at the level of the “pass to inverse” gates. We therefore try to simulate them using polynomial circuits while keeping the magnitude well bounded.

Lemma 4.2.9. *The map $x \mapsto 1/x$ on the interval $[2^{-m}, 2^m]$ can be realised to within $1/2^n$ by a polynomial circuit of magnitude $O(m)$, of size $O(m+n)$ and which is constructed in linear time.*

Proof. Like Hoover, we use Newton’s method to calculate the inverse of a real z to within 2^{-n} in a reasonable number of additions and multiplications w.r.t. to n .

Newton’s method (for calculating the inverse of z)

For $2^{-m} < z < 2^m$ we define

$$C(x) = \begin{cases} y_0 = 2^{-m} \\ y_{i+1} = y_i(2 - zy_i) \end{cases}$$

It is easy to check that, for $i \geq 3m + \log(m+n)$, we have

$$|z^{-1} - y_i| \leq 2^{-n}.$$

So for the input $(n, m) \in \mathbb{N}_1 \times \mathbb{N}_1$, the application of Newton’s method up to iteration $i = 3m + \log(m+n)$ is represented by a polynomial circuit of size $O(m+n)$ and magnitude $O(m+n)$.

It is also easy to check that the circuit is constructed in linear time. \square

Proposition 4.2.10. *The identity of $\mathbf{C}[0, 1]$ from \mathcal{C}_{pac} to \mathcal{C}_{KF} is uniformly of class \mathcal{P} , in fact of class $\text{DRT}(\text{Lin}, O(N^4))$.*

Proof. The fact of being of class \mathcal{P} follows from Theorem 4.1.7 and Proposition 4.1.11. A precise reading of the proofs of Theorem 4.1.7 and Proposition 4.1.11 gives the result $\text{DRT}(\text{Lin}, O(N^4))$ (taking into account the Nota bene after 4.1.11). \square

Summarising the previous results we obtain the following theorem.

Theorem 4.2.11. *The five presentations \mathcal{C}_{KF} , \mathcal{C}_{bc} , \mathcal{C}_{slc} , \mathcal{C}_{ac} and \mathcal{C}_{pac} of $\mathbf{C}[0, 1]$ are \mathcal{P} -equivalent.*

Notation 4.2.12. As long as we are at a sufficiently high level of complexity to make the comparison theorem valid (in particular the class \mathcal{P} suffices) there is no reason to make any difference between the five presentations \mathcal{C}_{KF} , \mathcal{C}_{bc} , \mathcal{C}_{slc} , \mathcal{C}_{ac} and \mathcal{C}_{pac} of $\mathbf{C}[0, 1]$. Consequently, from now on the notation $\mathbf{C}[0, 1]$ will mean that we consider the space $\mathbf{C}[0, 1]$ with the calculability structure \mathcal{C}_{slc} .

4.3 Complexity of the norm problem

We know that determining the maximum, on an interval $[0, 1]$ of a function computable in polynomial time $f: \mathbb{N} \rightarrow \{0, 1\}$ is more or less the same thing as the most classic \mathcal{NP} -complete problem: SAT.

It is therefore not surprising to find as an \mathcal{NP} -complete problem a problem related to the calculation of the norm for a continuous function. First we need to formulate the norm problem attached to a given rational presentation of the space $\mathbf{C}[0, 1]$ in a sufficiently precise and invariant way.

Definition 4.3.1.

We call “the norm problem”, relative to a presentation $\mathcal{C}_1 = (Y_1, \delta_1, \eta_1)$ of $\mathbf{C}[0, 1]$ the problem:

— Solve *approximately* the question “ $a \leq \|f\|_\infty$?” in the presentation \mathcal{C}_1 of $\mathbf{C}[0, 1]$.

The precise formulation of this problem is as follows:

— Inputs: $(f, a, n) \in Y_1 \times \mathbb{D} \times \mathbb{N}_1$

— Output: Correctly provide one of the two answers:

— I give you an $x \in \mathbb{D}$ such that $|f(x)| \geq a - 1/2^n$, i.e. $\|f\|_\infty \geq a - 1/2^n$,

— there is no $x \in \mathbb{D}$ satisfying $|f(x)| \geq a$, i.e. $\|f\|_\infty \leq a$.

This definition is justified by the following lemma.

Lemma 4.3.2. *For two polynomially equivalent rational presentations \mathcal{C}_1 and \mathcal{C}_2 of $\mathbf{C}[0, 1]$, the corresponding norm problems are also polynomially equivalent.*

Proof. The transformation from the problem corresponding to one presentation \mathcal{C}_1 to the problem corresponding to another presentation \mathcal{C}_2 is carried out by an algorithm with the same complexity as the algorithm used to present the identity function between \mathcal{C}_1 and \mathcal{C}_2 . For the data $(f, a, n) \in Y_1 \times \mathbb{D} \times \mathbb{N}_1$, we look for $g \in Y_2$ such that $\|f - g\|_\infty \leq 2^{-(n+2)}$, then solve the problem with the inputs $(g, a - 1/2^{n+1}, n + 2)$.

If we find $x \in \mathbb{D}$ such that $|g(x)| \geq a - 2^{-(n+1)} - 2^{-(n+2)}$, then $|f(x)| \geq a - 2^{-n}$.

If we declare a forfeit, it means that there is no $x \in \mathbb{D}$ such that $|g(x)| \geq a - 2^{-(n+1)}$. A fortiori, there is no $x \in \mathbb{D}$ such that $|f(x)| \geq a$. \square

Theorem 4.3.3.

The norm problem is \mathcal{NP} -complete for the presentations \mathcal{C}_{KF} , \mathcal{C}_{bc} , \mathcal{C}_{slc} , \mathcal{C}_{ac} and \mathcal{C}_{pac} .

Proof. According to Lemma 4.3.2 it suffices to do the proof for the presentation \mathcal{C}_{bc} . The \mathcal{NP} character of the problem is immediate. To see the \mathcal{NP} -hardness, we consider the norm problem limited to the inputs $((\gamma, 1, m, 1), 3/4, 2)$ where γ is an arbitrary boolean circuit with m inputs and one output (the quadruplet is then obviously correct), and the answer yes corresponds to the satisfiability of the circuit γ . \square

We also have the following result, which is essentially negative,¹¹ and therefore less interesting.

Proposition 4.3.4. *For the considered presentations, the norm function $f \mapsto \|f\|_\infty$ from $\mathbf{C}[0, 1]$ to \mathbb{R}^+ is uniformly of class \mathcal{P} if and only if $\mathcal{P} = \mathcal{NP}$.*

¹¹Because $\mathcal{P} \neq \mathcal{NP}$!.

Proof. It suffices to reason with the presentation \mathcal{C}_{bc} . If the norm function is \mathcal{P} -computable,¹² the norm problem is solved in polynomial time, and therefore $\mathcal{P} = \mathcal{NP}$.

If $\mathcal{P} = \mathcal{NP}$, the norm problem is solved in polynomial time, which means that the norm can be calculated by dichotomy by initialising with the 2^k upper bound, until the accuracy of $1/2^q$ is obtained. This requires $k + q$ dichotomy steps. The whole calculation is in polynomial time on the input $(g, q) \in \mathbf{Y}_{bc} \times \mathbb{N}_1$. \square

Corollary 4.3.5. *The identity of $\mathbf{C}[0, 1]$ from \mathcal{C}_{KF} to \mathcal{C}_{rff} is not computable in polynomial time, at least if $\mathcal{P} \neq \mathcal{NP}$.*

Proof. The norm function is computable in polynomial time for the presentation \mathcal{C}_{rff} according to Proposition 3.2.7. We conclude with the previous proposition. \square

Proposition 4.3.6. *For the five previous presentations of $\mathbf{C}[0, 1]$, if the evaluation is in $\text{DSPACE}(S(N))$ with $S(N) \geq N$, then the norm function is also in $\text{DSPACE}(S(N))$.*

Proof. If $k \mapsto \mu(k)$ is a modulus of uniform continuity for a rational point \tilde{f} of a given presentation of $\mathbf{C}[0, 1]$, then to compute the norm with precision n it suffices to evaluate \tilde{f} over the elements of $\mathbb{D}_{m, [0, 1]}$ (where $m = \mu(n)$) and take the maximum value. Since useless intermediate results are immediately deleted, and since $S(N) \geq N \geq m$ the computation space of the norm function is the same as that of the evaluation function. \square

4.4 Complexity of the considered rational presentations

In this section, we briefly present the complexity of the membership test and the vector space operations for the five considered presentations, and we summarise all the results obtained.

Proposition 4.4.1. *The membership test (for the set of codes of rational points) is:*

- LINSPEACE and \mathcal{CO} – \mathcal{NP} -complete for presentations \mathcal{C}_{KF} and \mathcal{C}_{bc} ;
- LINTIME for the presentation \mathcal{C}_{slc} .

Proof. For the presentation \mathcal{C}_{slc} , this is obvious. The proofs are essentially the same for the two presentations \mathcal{C}_{KF} and \mathcal{C}_{bc} . We only give one for each.

Let us see that the membership test is LINSPEACE for \mathbf{Y}_{KF} . For an entry (Pr, n, m, T) we do the following calculation:

for $i = 1, \dots, 2^m$ check that

$$Pr(i/2^m) \in \mathbb{D}_n \quad \text{and} \quad \left| Pr((i-1)/2^m) - Pr(i/2^m) \right| \leq 1/2^n.$$

This calculation is LINSPEACE.

For the \mathcal{CO} – \mathcal{NP} -completeness of the membership test, we give the proof for boolean circuits. We can restrict ourselves to the inputs $(\gamma, 2, m, 0)$ where γ is a circuit which only calculates an output corresponding to the first bit, the other two bits being zero. Consistency is required at two consecutive points on the grid. Only constant functions are therefore tolerated.

The problem opposite to the membership test is to find out whether a boolean circuit is non-constant, which involves solving the satisfiability problem. \square

Proposition 4.4.2. *The vector space operations (on the set of codes for rational points) are in LINTIME for the five presentations \mathcal{C}_{KF} , \mathcal{C}_{bc} , \mathcal{C}_{slc} , \mathcal{C}_{ac} and \mathcal{C}_{pac} of $\mathbf{C}[0, 1]$.*

Proof. The calculations are obvious. For example if $(f_1, \dots, f_s) \in \text{lst}(\mathbf{Y}_{KF})$ and $n \in \mathbb{N}_1$, we can easily calculate $f \in \mathbf{Y}_{KF}$ such that:

$$\left\| \tilde{f} - \sum_{i=1, \dots, s} \tilde{f}_i \right\| \leq 1/2^n$$

because it is sufficient to know each \tilde{f}_i with the precision $1/2^{n+\log(s)}$. \square

¹²We sometimes use the terminology \mathcal{P} -computable as an abbreviation for computable in polynomial time.

The only “drama” is obviously that the presentations \mathcal{C}_{KF} and \mathcal{C}_{bc} are not \mathcal{P} -presentations of $\mathbf{C}[0, 1]$ (unless $\mathcal{P} = \mathcal{NP}$ cf. Proposition 4.3.4.).

To finish this section we give a summary table in which we group together almost all the complexity results established for the five rational presentations \mathcal{C}_{KF} , \mathcal{C}_{bc} , \mathcal{C}_{slc} , \mathcal{C}_{ac} and \mathcal{C}_{pac} of $\mathbf{C}[0, 1]$.

	Evaluation	Norm function	Membership test	Vectorial space operations
\mathcal{C}_{KF} and \mathcal{C}_{bc}	DSRT(Lin, Lin, $O(N^2)$)	LINSPACE and \mathcal{NP} -complete	LINSPACE and \mathcal{CO} - \mathcal{NP} -complete	LINTIME
\mathcal{C}_{slc}	DSRT($O(N^2)$, Lin, $O(N^2)$)	DSPACE($O(N^2)$) and \mathcal{NP} -complete	LINTIME	LINTIME
\mathcal{C}_{ac} and \mathcal{C}_{pac}	DSRT($O(N^3)$, Lin, $O(N^4)$)	DSPACE($O(N^3)$) and \mathcal{NP} -complete	PSPACE	LINTIME

For the PSPACE membership test, its complexity is probably much less.

Remark 4.4.3. Despite the ease with which the evaluation function can be calculated for the presentations \mathcal{C}_{KF} and \mathcal{C}_{bc} , it is still the presentation using binary semilinear circuits that seems to be the simplest. Its consideration has also shed light on the comparison Theorem 4.2.11, which is a strengthened, uniform version of the results established by Hoover.

The unavoidable flaw (if $\mathcal{P} \neq \mathcal{NP}$) of the presentations defined so far is the non-feasibility of calculating the norm. This prevents us from having a feasible control procedure for Cauchy sequences of rational points. This reduces the interest in \mathcal{P} -points of \mathcal{C}_{slc} . This underlines the fact that it is somewhat artificial to study the \mathcal{P} -points of a space that is given in a presentation of non-polynomial complexity.

In addition, problems that are at least as difficult a priori as the calculation of the norm, such as the calculation of a primitive or the solution of a differential equation, are also without hope of a reasonable solution within the framework of the presentations we have just studied.

It is therefore legitimate to turn to other rational presentations of $\mathbf{C}[0, 1]$ to see to what extent they are better suited to the aims of numerical analysis.

5 Some \mathcal{P} -presentations for the space $\mathbf{C}[0, 1]$

In this section we address the question of how far rational \mathcal{P} -presentations of the space $\mathbf{C}[0, 1]$ provide a suitable framework for numerical analysis. This is only a first study, which should be seriously developed.

5.1 Definitions of some \mathcal{P} -presentations

5.1.1 Presentation \mathcal{C}_{W} (à la Weierstrass)

The set \mathbf{Y}_{W} of codes for rational points of the presentation \mathcal{C}_{W} is simply the set $\mathbb{D}[X]$ of (one-variable) polynomials with coefficients in \mathbb{D} given in dense presentation.

So $\mathcal{C}_{\text{W}} = (\mathbf{Y}_{\text{W}}, \eta, \delta)$ where the reader will give precisely η and δ as required in Definition 2.1.1.

A \mathcal{P} -point f of \mathcal{C}_{W} is therefore given by a \mathcal{P} -computable sequence:

$$m \mapsto u_m : \mathbb{N}_1 \rightarrow \mathbb{D}[X] \quad \text{with} \quad \forall m \|u_m - f\|_{\infty} \leq 1/2^m.$$

And a \mathcal{P} -sequence f_n of \mathcal{C}_{W} is given by a \mathcal{P} -computable double sequence:

$$(n, m) \mapsto u_{n,m} : \mathbb{N}_1 \times \mathbb{N}_1 \rightarrow \mathbb{D}[X] \quad \text{with} \quad \forall n, m \|u_{n,m} - f_n\|_{\infty} \leq 1/2^m$$

Remark 5.1.1. An equivalent definition for a \mathcal{P} -point f of \mathcal{C}_W is obtained by requiring that f be written as the sum of a series $\sum_m s_m$, where $(s_m)_{m \in \mathbb{N}_1}$ is a \mathcal{P} -computable sequence in $\mathbb{D}[X]$ satisfying: $\|s_m\|_\infty \leq 1/2^m$. This gives a nice way of presenting the \mathcal{P} -points of \mathcal{C}_W . Indeed, we can check in polynomial time (with respect to m) that the sequence is correct for the terms from 1 to m . Moreover, from the point of view of lazy computation, we can control the sum of the series as the need for precision increases. This remark is valid for any other rational presentation of class \mathcal{P} whereas it would not be valid for the presentations studied in Section 4.

The following result is immediate.

Proposition 5.1.2. *The presentation \mathcal{C}_W of $\mathbf{C}[0, 1]$ is of class \mathcal{P} .*

Here is a result comparing the rational presentations \mathcal{C}_{rff} and \mathcal{C}_W .

Proposition 5.1.3.

- The identity of $\mathbf{C}[0, 1]$ from \mathcal{C}_W to \mathcal{C}_{rff} is LINTIME.
- The identity of $\mathbf{C}[0, 1]$ from \mathcal{C}_{rff} to \mathcal{C}_W is not of class \mathcal{P} .

Proof. The first statement is trivial. The second results from the fact that the function $x \mapsto |x - 1/2|$ is a \mathcal{P} -point of \mathcal{C}_{rff} (Theorem 3.3.4) whereas all the \mathcal{P} -points of \mathcal{C}_W are infinitely differentiable functions (cf. Theorem 5.2.7 below). \square

The interest of the presentation \mathcal{C}_W is underlined in particular by the characterisation theorems (cf. Section 5.2) which specify “well-known” phenomena in numerical analysis, with Chebyshev polynomials as a method of attacking the problems.

5.1.2 Presentation \mathcal{C}_{sp} (via semipolynomials in dense presentation)

This is a presentation which significantly increases the set of \mathcal{P} -points (compared with \mathcal{C}_W). An element of \mathbf{Y}_{sp} represents a piecewise polynomial function (also called a semi-polynomial) given in dense presentation.

More precisely $\mathbf{Y}_{\text{sp}} \subset \text{lst}(\mathbb{D}) \times \text{lst}(\mathbb{D}[X])$, and the two lists in \mathbb{D} and $\mathbb{D}[X]$ are subject to the following conditions:

- the list $(x_i)_{0 \leq i \leq t}$ of dyadic rational numbers is ordered in ascending order:

$$0 = x_0 < x_1 < x_2 < \cdots < x_{t-1} < x_t = 1;$$

- the list $(P_i)_{1 \leq i \leq t}$ in $\mathbb{D}[X]$ verifies $P_i(x_i) = P_{i+1}(x_i)$ for $1 \leq i \leq t - 1$.

The code $f = ((x_i)_{0 \leq i \leq t}, (P_i)_{1 \leq i \leq t})$ defines the rational point \tilde{f} , that is the function which coincides with \tilde{P}_i on each interval $[x_{i-1}, x_i]$.

So $\mathcal{C}_{\text{sp}} = (\mathbf{Y}_{\text{sp}}, \eta, \delta)$ where the reader will give precisely η and δ as required in Definition 2.1.1.

The presentation \mathcal{C}_{sp} of $\mathbf{C}[0, 1]$ is clearly of class \mathcal{P} . The following proposition is proved in the same way as Proposition 5.1.3.

Proposition 5.1.4.

- The identity of $\mathbf{C}[0, 1]$ from \mathcal{C}_W to \mathcal{C}_{sp} is LINTIME.
- The identity of $\mathbf{C}[0, 1]$ from \mathcal{C}_{sp} to \mathcal{C}_W is not of class \mathcal{P} .

5.1.3 Presentation \mathcal{C}_{srf} (via controlled semirational function s given in presentation by formula)

The set \mathbf{Y}_{srf} of codes of rational points is now the set of codes of piecewise rational functions (also called semi-rational function s) with dyadic coefficients.

More precisely, $\mathbf{Y}_{\text{srf}} \subset \text{lst}(\mathbb{D}) \times \text{lst}(\mathbb{D}[X]_f \times \mathbb{D}[X]_f)$, and the two lists in \mathbb{D} and $\mathbb{D}[X]_f \times \mathbb{D}[X]_f$ are subject to the following conditions:

— the list $(x_i)_{0 \leq i \leq t}$ of dyadic rational numbers is ordered in ascending order:

$$0 = x_0 < x_1 < x_2 < \cdots < x_{t-1} < x_t = 1;$$

— each pair (P_i, Q_i) ($1 \leq i \leq t$ from the 2nd list represents a rational function $R_i = P_i/Q_i$ with its denominator ≥ 1 on the interval $[x_{i-1}, x_i]$;

— the list $(R_i)_{1 \leq i \leq t}$ verifies $R_i(x_i) = R_{i+1}(x_i)$ for $1 \leq i < t$.

The code $f = ((x_i)_{0 \leq i \leq t}, (P_i, Q_i)_{1 \leq i \leq t})$ defines the rational point \tilde{f} , that is the function which coincides with R_i on each interval $[x_{i-1}, x_i]$.

So $\mathcal{C}_{\text{srf}} = (\mathbf{Y}_{\text{srf}}, \eta, \delta)$ with $\eta(f) = \tilde{f}$ and the reader will give δ as required in Definition 2.1.1.

The presentation \mathcal{C}_{srf} of $\mathbf{C}[0, 1]$ is clearly of class \mathcal{P} .

5.2 Results concerning the Weierstrass presentation

This section is mainly a development of Section C-c in the paper [22] which is the third part of the PhD thesis of the second author.

We use the classical references for the theory of approximations [2, Bakhvalov, 1973], [10, Cheney, 1966] et [32, Rivlin, 1974]. Concerning the Gevrey class we refer to [15, Hörmander, 1983]. Our notations are as in [10].

Before characterising the \mathcal{P} -points of \mathcal{C}_W , we need to recall some classical results from the theory of uniform approximation by polynomials.

Warning! Given the usual way in which the theory of approximation is formulated, we will use the interval $[-1, 1]$ to give the results and proofs concerning \mathcal{C}_W .

5.2.1 Some definitions and results in the theory of uniform approximation by polynomials

See for example [2], [32] and [10].

Notation 5.2.1.

$\mathbf{C}[a, b]$ is the space of continuous real functions on the segment $[a, b]$.

\mathbf{C} is the space $\mathbf{C}[-1, 1]$, the uniform norm on this interval is denoted by $\|f\|_\infty$ and the corresponding distance d_∞ .

$\mathbf{C}^{(k)}$ is the space of functions k times continuously differentiable on $[-1, 1]$.

$\mathbf{C}^{(\infty)}$ is the space of indefinitely differentiable functions on $[-1, 1]$.

\mathbf{P}_n is the space of polynomials of degree $\leq n$.

T_n is the Chebyshev polynomial of degree n :

$$T_n(\varphi(z)) = \varphi(z^n) \text{ with } \varphi(z) = \frac{1}{2}(z + 1/z)$$

they can also be defined by $T_n(\cos(x)) = \cos(nx)$ or by

$$F(u, x) = \frac{1 - ux}{1 - u^2 - 2ux} = \sum_{n=0}^{\infty} T_n(x)u^n$$

We note $\boxed{E_n(f) = d_\infty(f, \mathbf{P}_n)}$ for $f \in \mathbf{C} = \mathbf{C}[-1, 1]$.

We consider on \mathbf{C} the scalar product

$$\langle g, h \rangle := \int_{-1}^1 \frac{g(x)h(x)}{\sqrt{1-x^2}} dx = \int_0^\pi g(\cos(x))h(\cos(x))dx.$$

Let $\|f\|_2$ be the norm in the sense of this scalar product. The polynomials $(T_i)_{0 \leq i \leq n}$ form an orthogonal \mathbf{P}_n -basis for this scalar product, with

$$\langle T_0, T_0 \rangle = \pi \quad \text{and} \quad \langle T_i, T_i \rangle = \pi/2 \text{ for } i > 0.$$

We note

$$A_k = A_k(f) := \frac{2}{\pi} \int_{-1}^1 \frac{f(x) T_k(x)}{\sqrt{1-x^2}} dx = \frac{2}{\pi} \int_0^\pi \cos(kx) f(\cos(x)) dx$$

The A_k are called the *Chebyshev coefficients* of f .

The function

$$s_n(f) := A_0/2 + \sum_{i=1}^n A_i T_i \text{ also denoted by } \sum_{i=0}^n ' A_i T_i$$

is the orthogonal projection of f onto \mathbf{P}_n in the sense of the above scalar product.

The corresponding series is called *the Chebyshev series* of f .¹³

We note $\boxed{S_n(f) := \|f - s_n(f)\|_\infty}$. We immediately have $|A_{n+1}(f)| \leq S_n(f) + S_{n+1}(f)$.

The zeros of T_n are the points

$$\xi_i^{[n]} = \cos\left(\frac{2i-1}{n} \cdot \frac{\pi}{2}\right) \quad i = 1, \dots, n$$

and we have

$$T_n(x) = 2^{n-1} \prod_{i=1}^n (x - \xi_i^{[n]}) \quad (\text{for } n \geq 1).$$

The extrema of T_n on $[-1, 1]$ are equal to ± 1 and obtained at the points

$$\eta_i^{[n]} = \cos\left(\frac{i}{n} \cdot \pi\right) \quad i = 0, 1, \dots, n.$$

Approximate values of $s_n(f)$ can be calculated by means of interpolation formulae. We let

$$\alpha_k^{[m]} = \frac{2}{m} \sum_{i=0}^m ' f(\xi_i^{[m]}) T_k(\xi_i^{[m]}), \quad u_n^{[m]} = \sum_{k=1}^n \alpha_k^{[m]} T_k(x)$$

and we have: $u_n^{[n+1]}$ is the polynomial which interpolates f at the zeros of T_n

The theory of uniform approximation by polynomials establishes close links between “being sufficiently well approximated by polynomials” and “being sufficiently regular”.

5.2.2 Some classical results

You find most of these results in [10].

In this subsection the functions are in $\mathbf{C} = \mathbf{C}[-1, 1]$.

Evaluation of a polynomial $P = \sum_{k=0}^n a_k T_k$

The recursive formulae $T_{m+1}(x) = 2xT_m(x) - T_{m-1}(x)$ lead to a Horner-style algorithm:

$$B_{n+1} = B_{n+2} = 0, \quad B_k = 2xB_{k+1} - B_{k+2} + a_k, \quad P(x) = \frac{B_0 - B_2}{2}$$

Markov's inequalities

If $g \in \mathbf{P}_n$ then (A.A. Markov, [10, page 91])

$$\|g'\|_\infty \leq n^2 \|g\|_\infty \tag{1}$$

¹³It converges in the sense of L^2 for the scalar product. The Chebyshev series are to continuous functions on $[-1, 1]$ what the Fourier series are to periodic continuous functions, which is easy to understand when you consider the change of variable $z \mapsto 1/2(z + 1/z)$ which transforms the unit circle of the complex plane into the segment $[-1, 1]$ and the function $z \mapsto z^n$ into the polynomial T_n .

and for $k \geq 2$ (V.A. Markov, [32, Theorem 2.24])

$$\|g^{(k)}\|_{\infty} \leq T_n^{(k)}(1)\|g\|_{\infty} = \frac{n^2(n^2-1)\cdots(n^2-(k-1)^2)}{1.3.5\cdots(2k-1)}\|g\|_{\infty} \quad (2)$$

Comparison of $E_n(f)$ and $S_n(f)$

$$E_n(f) \leq S_n(f) \leq \left(4 + \frac{4}{\pi^2} \log(n)\right) E_n(f) \quad (3)$$

Comparison of $E_n(f)$ and $A_{n+1}(f)$

For $n \geq 1$ we have

$$\int_{-1}^1 \frac{|T_n(x)|}{\sqrt{1-x^2}} dx = 2$$

from which we deduce

$$(\pi/4) |A_{n+1}(f)| \leq E_n(f) \quad (4)$$

Jackson's Theorems

Let $f \in \mathbf{C}$. For any integer $n \geq 1$ we have

$$E_n(f) \leq \pi\lambda/(2n+2) \quad \text{if} \quad |f(x) - f(y)| \leq \lambda|x-y| \quad (5)$$

$$E_n(f) \leq (\pi/2)^k \|f^{(k)}\|_{\infty} / ((n+1)(n)(n-1)\cdots(n-k+2)) \quad \text{if} \quad f \in \mathbf{C}^{(k)} \quad \text{and} \quad n \geq k \quad (6)$$

Convergence of the Chebyshev series of a function

The Chebyshev series of a function $f \in \mathbf{C}^{(k)}$ converges uniformly to f if $k \geq 1$, and is absolutely convergent (for the norm $\|f\|_{\infty}$) if $k \geq 2$.

$$S_n(f) = \|s_n(f) - f\|_{\infty} \leq \sum_{j=n+1}^{\infty} |A_j| \quad (7)$$

and (cf. [32] Theorem 3.12 p. 182)

$$\left\|s_n(f) - u_n^{[n+1]}\right\|_{\infty} \leq \sum_{j=n+2}^{\infty} |A_j| \quad (8)$$

Uniform approximation of functions in $\mathbf{C}^{(\infty)}$ by polynomials

The following properties are equivalent.

- (i) $\forall k \exists M > 0 \forall n > 0, E_n(f) \leq M/n^k$.
- (ii) $\forall k \exists M > 0 \forall n > 0, S_n(f) \leq M/n^k$.
- (iii) $\forall k \exists M > 0 \forall n > 0, |A_n(f)| \leq M/n^k$.
- (iv) $\forall k \exists M > 0 \forall n > 0, \left\|u_n^{[n+1]} - f\right\|_{\infty} \leq M/n^k$.
- (v) The function f is of class \mathcal{C}^{∞} (i.e., $f \in \mathbf{C}^{(\infty)}$).

Proof. (i) and (ii) are equivalent according to (3).

(iv) \Rightarrow (i) trivially.

(ii) \Rightarrow (iii) because $|A_n(f)| \leq S_n(f) + S_{n-1}(f)$.

(iii) \Rightarrow (iv) according to (7) and (8).

(iii) \Rightarrow (v). The series $\sum' A_i T_i^{(h)}$ is absolutely convergent according to (2) and the inequalities (iii); therefore we can derive h times term by term the Chebyshev series.

(v) \Rightarrow (i) from (6). □

Analyticity and uniform approximation by polynomials

The following properties are equivalent

- (i) $\exists M > 0, r < 1 \forall n > 0 E_n(f) \leq Mr^n.$
- (ii) $\exists M > 0, r < 1 \forall n > 0 S_n(f) \leq Mr^n.$
- (iii) $\exists M > 0, r < 1 \forall n > 0 |A_n(f)| \leq Mr^n.$
- (iv) $\exists M > 0, r < 1 \forall n > 0 \left\| u_n^{[n+1]} - f \right\|_\infty \leq Mr^n.$
- (v) $\exists r < 1$ such that f is analytic in the complex plane inside the ellipse \mathcal{E}_ρ of foci $1, -1$ and whose half-sum of principal diameters is equal to $\rho = 1/r.$
- (vi) $\exists M > 0, R > 1 \forall n \left\| f^{(n)} \right\|_\infty \leq MR^n n!.$
- (vii) f is analytic on the interval $[-1, 1].$

Furthermore the lower bound on the possible values of r is the same in the first 5 cases.¹⁴

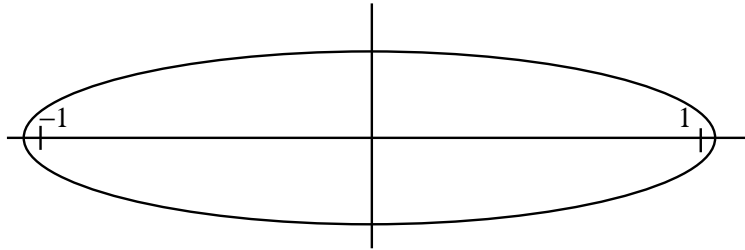


Figure 5: the ellipse \mathcal{E}_ρ

Remarks 5.2.2.

1) The space of analytic functions on a compact interval therefore has a good constructive description, in terms of Chebyshev series for example. It appears as a nested countable union of complete metric spaces (those obtained using definition (iii) and setting the integer M and the rational r , for example). The space of $\mathbf{C}^{(\infty)}$ -functions is much more difficult to describe constructively, mainly because there is no pleasant way of generating rapidly decaying sequences of rationals, due to the $\forall k \exists M$ in the definition of rapid decay.¹⁵

2) Condition (i) can also be read as follows: the function f can be approximated to within $1/2^n$ (for the uniform norm) by a polynomial of degree $\leq c.n$, where c is a fixed constant, i.e. again: there exists an integer h such that $E_{hn}(f) \leq 1/2^n.$

The same applies to conditions (ii), (iii) and (iv). This implies that the function f can be approximated to within $1/2^n$ by a polynomial with dyadic coefficients whose size (in dense presentation on the basis of X^n or on the basis of T_n) is in $O(n^2)$. The size of the sum of the absolute values of the coefficients is $O(n)$. Bakhvalov (cf. [2] IV-8 Th. p. 233) gives a sufficient condition of the same kind for a function f to be analytic in a lens with extremities -1 and 1 of the complex plane (and no longer in a neighbourhood of the segment): it is sufficient that the sum of the absolute values of the coefficients of a polynomial giving f to within $1/2^n$ is bounded by $M2^{qn}$ (where M and q are fixed constants). In other words the size of the sum of the absolute values of the coefficients of a polynomial approximating f to within $1/2^n$ is $O(n)$.

Gevrey class and uniform approximation by polynomials

If f is a \mathcal{P} -point of \mathcal{C}_W given by a \mathcal{P} -sequence $m \mapsto P_m$ (with $\|f - P_m\|_\infty \leq 2^m$), then the degree of P_m is bounded by a polynomial in m , so there exists an integer k and a constant B such that the degree of P_m is bounded by $(Bm)^k$. Let n be arbitrary, and consider the largest

¹⁴The equivalences (i) ... (iv) are shown as for the previous proposition. For the equivalence with (v) see for example [32]. Condition (vi) very nearly represents analyticity in the open U_R formed by points whose distance from the interval is less than $1/R$.

¹⁵This alternation of quantifiers takes an explicit form when we give explicitly M as a function of k . But, by virtue of Cantor's diagonal argument, there is no effective way of generating effective functions from \mathbb{N} to \mathbb{N} .

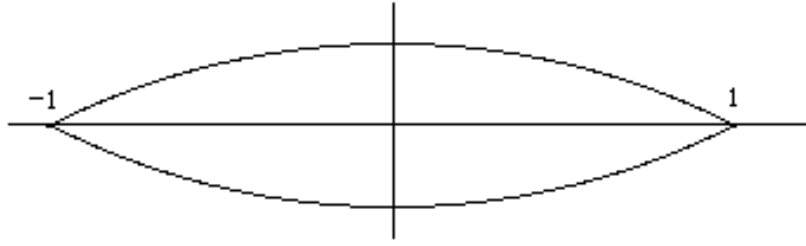


Figure 6: Bakhvalov's lens

integer m such that $(Bm)^k \leq n$, i.e. $m := \lfloor \sqrt[k]{n}/B \rfloor$. We therefore have $m + 1 \geq \sqrt[k]{n}/B$. By letting $r := 1/2^{1/B}$ and $\gamma := 1/k$, we obtain:

$$E_n(f) \leq 1/2^m \leq 2.r^{n^\gamma}, \text{ with } r \in (0,1), \gamma > 0.$$

In particular, the sequence $E_n(f)$ decreases rapidly and $f \in \mathbf{C}^{(\infty)}$. This leads us to study the functions f for which this kind of bound is obtained.

Definition 5.2.3 (Gevrey class¹⁶). A function $f \in \mathbf{C}^{(\infty)}$ is said to be in the Gevrey class of order $\alpha > 0$ if its derivatives satisfy a majorisation:

$$\|f^{(n)}\|_\infty \leq MR^n n^{\alpha n}$$

The Gevrey class is obtained when the order α is not specified.

Theorem 5.2.4. *Let $f \in \mathbf{C}$. The following properties are equivalent.*

- (i) $\exists M > 0, r < 1, \gamma > 0 \forall n > 0, E_n(f) \leq Mr^{n^\gamma},$
- (ii) $\exists M > 0, r < 1, \gamma > 0 \forall n > 0, S_n(f) \leq Mr^{n^\gamma},$
- (iii) $\exists M > 0, r < 1, \gamma > 0 \forall n > 0, |A_n(f)| \leq Mr^{n^\gamma},$
- (iv) $\exists M > 0, r < 1 \forall n > 0, \|u_n^{[n+1]} - f\|_\infty \leq Mr^{n^\gamma},$
- (j) $\exists c, \beta > 0 \forall n > 0 \forall m \geq cn^\beta, E_m(f) \leq 1/2^n,$
- (jj) $\exists c, \beta > 0 \forall n > 0, \forall m \geq cn^\beta, S_m(f) \leq 1/2^n,$
- (jjj) $\exists c, \beta > 0 \forall n > 0, \forall m \geq cn^\beta, |A_m(f)| \leq 1/2^n,$
- (jw) $\exists c, \beta > 0 \forall n > 0 \forall m \geq cn^\beta, \|u_m^{[m+1]} - f\|_\infty \leq 1/2^n,$
- (k) f is in the Gevrey class.

Proof. (i) \Leftrightarrow (ii) from Equation (3).

(i) \Rightarrow (iii) from Equation (4).

(iv) \Rightarrow (i) is trivial.

The 4 equivalences of type (i) \Leftrightarrow (j) result from the same kind of calculation as the one done before the theorem.

The implication (jjj) \Rightarrow (jw) results from a simple inequality using the equations (7) and (8).

Assume (k), i.e. that f is Gevrey of order α , and show (i). Finding an upper bound is only tricky for $\alpha \geq 1$, which we will now assume. Applying Jackson's theorem, we obtain

¹⁶Cf. for example Hörmander [15]: The Analysis of Linear Partial Differential Operators I p 281 (Springer 1983). A function is Gevrey of order 1 if and only if it is analytic.

an inequality $E_n(f) \leq \pi^k \|f^{(k)}\|_\infty / n^k$ as soon as $n \geq 2k$, which with Gevrey's bound gives $E_n(f) \leq A(Ck^\alpha/n)^k$. We can assume $C^{1/\alpha} \geq 2$ and take for k an integer close to $(n/2C)^{1/\alpha}$ ($\leq n/2$), hence to a very close approximation:

$$E_n(f) \leq A(1/2)^{(n/2C)^{1/\alpha}} = Ar^{n^\gamma}, \text{ with } \gamma = 1/\alpha.$$

Now we suppose that f verifies (j) and we show that f is Gevrey.

Finding an upper bound is only tricky for $\beta \geq 1$, which we will now assume. We write $f^{(k)} = \sum' A_m T_m^{(k)}$. Hence $\|f^{(k)}\|_\infty \leq \sum' |A_m| m^{2k}$ according to V.A. Markov's inequality (2). We now use the bound (jjj). We take c and β to be integers for simplicity (this is not a restriction). In the sum above, group the terms for m between cn^β and $c(n+1)^\beta$. In the packet obtained, each term is bounded by $(1/2^n)m^2k$, and the number of terms is bounded by $c(n+1)b$, hence:

$$\begin{aligned} \|f^{(k)}\|_\infty &\leq \sum_n (c(n+1)^\beta/2^n)(c(n+1)^\beta)^{2k} \leq 2c^{2k+1} \sum_n (n+1)^{\beta(2k+1)}/2^n \\ &\leq 4c^{2k+1} \sum_n n^h/2^n, \text{ where } h = \beta(2k+1). \end{aligned}$$

We bound this series by the series obtained by deriving h times the series $\sum_n x^n$ (then making $x = 1/2$) and we obtain that f is Gevrey of order 2β . \square

Remarks 5.2.5.

- 1) The space of Gevrey functions therefore has a pleasant constructive presentation.
- 2) For $\gamma = 1$ we obtain the analytic functions. For $\gamma > 1$, we obtain the entire functions.
- 3) For $\gamma \leq 1$, the upper limit of possible γ is the same in (i), (ii), (iii) and (iv), the lower limit of possible β is the same in (j), (jj), (jjj) and (jw), with $\gamma = 1/\beta$.
- 4) Based on the case of analytic functions ($\alpha = \beta = \gamma = 1$), we can hope, for the implication (j) \Rightarrow (k), to obtain that f is Gevrey of order β by means of a more sophisticated majorisation calculation.
- 5) In (j), (jj), (jw) we can remove the quantifier $\forall m$ if we take c and β to be integers and $m = cn^\beta$.

5.2.3 Returning to questions of complexity in the space \mathcal{C}_W

We start with an

Important remark. With respect to $\mathbb{D}[X]$, the ordinary dense presentation (based on X^n) and the dense presentation based on Chebyshev polynomials T_n , are equivalent in polynomial time. We will use either of the two bases, depending on the convenience of the moment.

Recall also that the norm $P \rightarrow \|P\|_\infty$ is a \mathcal{P} -computable function from $\mathbb{D}[X]$ to \mathbb{R} .

The proof of the following proposition is immediate. In fact, any functional defined on \mathcal{C}_W which has a polynomial modulus of uniform continuity and whose restriction to $\mathbb{D}[X]$ is easy to compute is itself easy to compute. This proposition takes on its full value in view of the characterisation Theorem 5.2.7.

Proposition 5.2.6 (good behaviour of usual functionals).

The functionals:

$$\mathcal{C}_W \rightarrow \mathbb{R} \quad f \mapsto \|f\|_\infty, \|f\|_2, \|f\|_1$$

are uniformly of class \mathcal{P} .

The functionals:

$$\mathcal{C}_W \times [0, 1] \times [0, 1] \rightarrow \mathbb{R} \quad (f, a, b) \mapsto \sup_{x \in [a, b]} (f(x)), \int_a^b f(x) dx$$

are uniformly of class \mathcal{P} .

Theorem 5.2.7 (characterisation of the \mathcal{P} -points of \mathcal{C}_W).

Let $f \in \mathbf{C}$. The following properties are equivalent.

- a) The function f is a \mathcal{P} -point of \mathcal{C}_{KF} and is in the Gevrey class.
- b) The sequence $A_n(f)$ is a \mathcal{P} -sequence in \mathbb{R} and verifies an inequality $|A_n(f)| \leq Mr^{n^\gamma}$ with $M > 0$, $\gamma > 0$ and $0 < r < 1$.
- c) The function f is a \mathcal{P} -point of \mathcal{C}_W .

Proof. The implications (c) \Rightarrow (a) and (c) \Rightarrow (b) are easy from Theorem 5.2.4.

(b) \Rightarrow (c). A polynomial (in dense presentation on the basis of T_n) approximating f with precision $1/2^{n+1}$ is obtained with the partial sum extracted from the Chebyshev series of f stopping at the index $(Bn)^h$ (where B and h are calculated from M and γ). It remains to replace each Chebyshev coefficient by a dyadic approximating it with precision

$$1/\|(Bn)^h 2^{n+1}\| = 1/2^{n+1+h \log(Bn)}.$$

(a) \Rightarrow (c). A polynomial approximating f to within $1/2^{n+1}$ is obtained with $u_m^{[m+1]}$ (where $m = (Cn)^k$, C and k are calculated from M and γ , taking into account equations (7) and (8)). The formula defining $u_m^{[m+1]}$ provides its coefficients on the basis of T_n and we can calculate (in polynomial time) an approximation to within $1/2^{n+1+k \log(Cn)}$ of these coefficients by taking advantage of the fact that the double sequence $\xi_i^{[m]}$ is a \mathcal{P} -sequence of reals and that the function f is a \mathcal{P} -point of \mathcal{C}_{KF} . \square

An immediate consequence of the previous theorem is obtained in the case of analytic functions.

Theorem 5.2.8. Let $f \in \mathbf{C}$. The following properties are equivalent.

- (a) The function f is an analytic function and it is a \mathcal{P} -point of \mathcal{C}_{KF} .
- (b) The sequence $A_n(f)$ is a \mathcal{P} -sequence in \mathbb{R} and verifies an inequality

$$|A_n(f)| \leq Mr^n \quad (M > 0, r < 1).$$

- (c) The function f is an analytic function and is a \mathcal{P} -point of \mathcal{C}_W .

Definition 5.2.9 (\mathcal{P} -analytic functions). When these properties are verified, we say that the function f is \mathcal{P} -analytic on the interval $[-1, 1]$.

Theorem 5.2.10 (fairly good behaviour of derivation with respect to complexity).

Let f be a \mathcal{P} -point of \mathcal{C}_W . Then the sequence $k \mapsto f^{(k)}$ is a \mathcal{P} -sequence of \mathcal{C}_W . More generally, if (f_p) is a \mathcal{P} -sequence of \mathcal{C}_W then the double sequence $(f_p^{(k)})$ is a \mathcal{P} -sequence of \mathcal{C}_W .

Proof. We give the proof for the first part of the proposition. It would apply without change for the case of a \mathcal{P} -sequence of \mathcal{C}_W .

The function f is a \mathcal{P} -point of \mathcal{C}_W given as the limit of a \mathcal{P} -computable sequence $n \mapsto P_n$. The double sequence $P_n(k)$ is \mathcal{P} -computable (unary entries). There are two integers a and b such that the degree of P_n is bounded by $2^a n^b$. Therefore, according to V.A. Markov's inequality (2) we have the bound

$$\left\| P_n^{(k)} - P_{n-1}^{(k)} \right\|_\infty \leq (2^a n^{2b})^k \|P_n - P_{n-1}\|_\infty \leq (2^a n^{2b})^k / 2^{n-2} = 1/2^{n-(k.(a+2b \log(n))+2)}.$$

We can then easily determine a constant n_0 such that, for $n \geq 2n_0 k$, we have

$$n \geq 2(k.(a + 2b \log(n)) + 2),$$

and therefore

$$\left\| P_n^{(k)} - P_{n-1}^{(k)} \right\|_\infty \leq 1/2^{n/2},$$

so that by posing $\nu(n) := 2 \sup(n_0 k, n)$, we have, for $q \geq \nu(n)$,

$$\left\| P_q^{(k)} - P_{q+1}^{(k)} \right\|_\infty \leq 1/2^n,$$

and therefore, since $\nu(n+1) = \nu(n)$ or $\nu(n) + 2$,

$$\left\| P_{\nu(n)}^{(k)} - P_{\nu(n+1)}^{(k)} \right\|_\infty \leq 1/2^{n-1},$$

hence finally

$$\left\| P_{\nu(n)}^{(k)} - f^{(k)} \right\|_\infty \leq 1/2^{n-2}.$$

We end by noting that the double sequence $(n, k) \mapsto P_{\nu(n+2)}^{(k)}$ is \mathcal{P} -computable. \square

Corollary 5.2.11. *If f is a \mathcal{P} -point of \mathcal{C}_W and a, b two \mathcal{P} -points of $[-1, 1]$, then the sequences*

$$\left\| f^{(n)} \right\|_\infty, \left\| f^{(n)} \right\|_2, \left\| f^{(n)} \right\|_1, \left\| f^{(n)}(a) \right\| \text{ and } \sup_{x \in [a, b]} (f^{(n)}(x))$$

are \mathcal{P} -sequences in \mathbb{R} .

More generally, if (f_p) is a \mathcal{P} -sequence of \mathcal{C}_W then the double sequences

$$\left\| f_p^{(n)} \right\|_\infty, \left\| f_p^{(n)} \right\|_2, \left\| f_p^{(n)} \right\|_1, \left\| f_p^{(n)}(a) \right\| \text{ and } \sup_{x \in [a, b]} (f_p^{(n)}(x))$$

are \mathcal{P} -sequences in \mathbb{R} .

The proof of Theorem 5.2.10 (and therefore of Corollary 5.2.11) is somewhat uniform and has a more general meaning. We will now define the natural framework in which this theorem applies and give a new, more general and more satisfactory statement.

Definition 5.2.12. For c and $\beta > 0$ let $\mathbf{Gev}_{c, \beta}$ be the class of Gevrey functions satisfying the inequality (of the kind (jjj) in 5.2.4)

$$\forall m > cn^\beta \quad |A_m(f)| \leq 1/2^n$$

This is a closed convex part of \mathbf{C} . For any c and β , let $\mathbf{Y}_{\mathbf{Gev}_{c, \beta}}$ be the elements of $\mathbb{D}[X]$ which are in the class $\mathbf{Gev}_{c, \beta}$. This set $\mathbf{Y}_{\mathbf{Gev}_{c, \beta}}$ can be taken as the set of rational points of a rational presentation $\mathcal{C}_{\mathbf{Gev}_{c, \beta}}$ of $\mathbf{Gev}_{c, \beta}$.

Note that the test for membership of the subset $\mathbf{Y}_{\mathbf{Gev}_{c, \beta}}$ of $\mathbb{D}[X]$ is in polynomial time, since the $A_m(f)$'s for a polynomial f are its coefficients on the Chebyshev basis. In this new framework Theorem 5.2.8 has a more uniform and efficient formulation.

Theorem 5.2.13. *Each functional $f \mapsto f^{(n)}$ is a function uniformly of class \mathcal{P} from $\mathcal{C}_{\mathbf{Gev}_{c, \beta}}$ to \mathcal{C}_W . More precisely, the sequence of functions*

$$(k, f) \mapsto f^{(k)} \quad : \quad \mathbb{N}_1 \times \mathcal{C}_{\mathbf{Gev}_{c, \beta}} \rightarrow \mathcal{C}_W$$

is uniformly of class \mathcal{P} (in the sense of Definition 2.2.9).

Proof. The double sequence $(k, f) \mapsto f^{(k)}$ is of low complexity as a function from $\mathbb{N}_1 \times \mathbb{D}[X]$ to $\mathbb{D}[X]$ and therefore also as a function from $\mathbb{N}_1 \times \mathbf{Y}_{\mathbf{Gev}_{c, \beta}}$ to $\mathbb{D}[X]$.

The whole problem is therefore to show that we have a polynomial modulus of uniform continuity (in the sense of 2.2.9). We need to calculate a function $\mu(k, h)$ such that for all f and g in $\mathbf{Y}_{\mathbf{Gev}_{c, \beta}}$:

$$\|f - g\|_\infty \leq 1/2^{\mu(k, h)} \Rightarrow \left\| f^{(k)} - g^{(k)} \right\|_\infty \leq 1/2^h.$$

This calculation is rather similar to the one used in the proof of Theorem 5.2.8. We write

$$\|f^{(k)} - g^{(k)}\|_\infty \leq \|f^{(k)} - s_n(f)^{(k)}\|_\infty + \|g^{(k)} - s_n(g)^{(k)}\|_\infty + \|s_n(f - g)^{(k)}\|_\infty.$$

In the sum of the second member, the first two terms are bounded as follows

$$\|f^{(k)} - s_n(f)^{(k)}\|_\infty \leq \sum_{q>n} |A_q(f)| \|T_q^{(k)}\|_\infty \leq \sum_{q>n} |A_q(f)| q^{2k}.$$

Since we have: $\forall q > cn^\beta$ $|A_q(f)| \leq 1/2^n$, $\sum_{q>n} |A_q(f)| q^{2k}$ is convergent and we can give explicitly a polynomial $\alpha(k, h)$ such that (see explanation at the end of the proof),

$$\text{with } n = \alpha(k, h) \quad \forall f \in \mathbf{Y}_{\mathbf{Gev}, c, \beta} : \sum_{q>n} |A_q(f)| q^{2k} \leq 1/2^{h+2}.$$

Once we have set $n = \alpha(k, h)$ we need to make small the term $\|s_n(f - g)^{(k)}\|_\infty$. V.A. Markov's inequality (2) implies that

$$\|s_n(f - g)^{(k)}\|_\infty \leq \|s_n(f - g)\|_\infty n^{2k}.$$

All that remains is to obtain a suitable bound for $\|s_n(f - g)\|_\infty$ from $\|f - g\|_\infty$. For example, we can use the inequality $S_n(f) \leq (4 + \log(n))E_n(f)$ (from Formula (3)) whence

$$\|f^{(k)}\|_\infty \leq \|f\|_\infty + S_n(f) \leq \|f\|_\infty + (4 + \log(n))E_n(f) \leq (5 + \log(n))\|f\|_\infty.$$

Finally, let's explain $\alpha(k, h)$. We have the inequalities

$$\sum_{q \geq cn_0^\beta} |A_q(f)| q^{2k} \leq \sum_{n \geq n_0} \sum_{q \leq c(n+1)^\beta} q^{2k}/2^n \leq \sum_{n \geq n_0} c(n+1)^\beta (c(n+1)^\beta)^{2k}/2^n,$$

so

$$\sum_{q \geq cn_0^\beta} |A_q(f)| q^{2k} \leq \sum_{n \geq n_0} (c(n+1)^\beta)^{2k+1}/2^n \leq \sum_{n \geq n_0} 1/2^{\varphi(n, \beta, c, k)}$$

with, if $2^a \geq c$,

$$\varphi(n, \beta, c, k) \geq n - (2k+1)a - (2k+1)\beta \log(n+1).$$

If we have

$$\text{for } n \geq n_0 \quad \varphi(n, \beta, c, k) \geq h + n/2 + 4, \quad (\star)$$

we obtain

$$\sum_{q \geq cn_0^\beta} |A_q(f)| q^{2k} \leq \sum_{n \geq n_0} 1/2^{\varphi(n, \beta, c, k)} \leq (1/2^{h+2}(1/4)) \sum_{n \geq n_0} 1/2^{n/2} \leq 1/2^{h+2}.$$

And we can take $\alpha(k, h) = cn_0^\beta$.

It remains to be seen how we can achieve the (\star) condition.

For any integer b we have an integer $\nu(b) \leq \max(8, b^2)$ for which

$$n > \nu(b) \Rightarrow n \geq b \log(n+1).$$

If therefore $n \geq \nu(4(2k+1)\beta)$ we obtain

$$\varphi(n, \beta, c, k) \geq n - (2k+1)a - (2k+1)\beta \log(n+1) \geq (3n/4) - (2k+1)a$$

and the condition $\varphi(n, \beta, c, k) \geq h + n/2 + 4$ is fulfilled if $n/4 \geq (2k+1)a + h + 4$. Hence $\alpha(h, k) = c \max(\nu(4(2k+1)\beta), 4((2k+1)a + h + 4))^\beta$. \square

Applying Proposition 5.2.6, we obtain:

Corollary 5.2.14.

i) The three sequences of functionals

$$(n, f) \mapsto \|f^{(n)}\|_\infty, \|f^{(n)}\|_2, \|f^{(n)}\|_1 \quad \mathbb{N}_1 \times \mathcal{C}_{\mathbf{Gev},c,\beta} \rightarrow \mathbb{R}$$

are uniformly of class \mathcal{P} (in the sense of Definition 2.2.9).

ii) The sequence of functionals

$$(n, f, x) \mapsto f^{(n)}(x) \quad \mathbb{N}_1 \times \mathcal{C}_{\mathbf{Gev},c,\beta} \times [-1, 1] \rightarrow \mathbb{R}$$

is uniformly of class \mathcal{P} .

iii) The sequence of functionals

$$(n, f, a, b) \mapsto \sup_{x \in [a,b]} (f^{(n)}(x)) \quad \mathbb{N}_1 \times \mathcal{C}_{\mathbf{Gev},c,\beta} \times [-1, 1] \times [-1, 1] \rightarrow \mathbb{R}$$

is uniformly of class \mathcal{P} .

Remark 5.2.15. Theorems 5.2.7, 5.2.8, 5.2.10, 5.2.13, Proposition 5.2.6 and Corollaries 5.2.11 and 5.2.14 significantly improve the results of [16], [17] and [27] on analytic functions computable in polynomial time (in the Ko-Friedman sense).

5.3 Comparisons of different presentations of class \mathcal{P}

In this section, we obtain the following chain of functions uniformly of class \mathcal{P} for the identity of $\mathbf{C}[0, 1]$.

$$\mathcal{C}_W \rightarrow \mathcal{C}_{\text{sp}} \rightarrow \mathcal{C}_{\text{rff}} \equiv \mathcal{C}_{\text{srf}} \rightarrow \mathcal{C}_{\text{KF}}$$

and none of the \rightarrow arrows in the line above is a \mathcal{P} -equivalence except perhaps $\mathcal{C}_{\text{sp}} \rightarrow \mathcal{C}_{\text{rff}}$ and very possibly $\mathcal{C}_{\text{rff}} \rightarrow \mathcal{C}_{\text{KF}}$ (it would imply $\mathcal{P} = \mathcal{NP}$). First of all, it is clear that the identity of $\mathbf{C}[0, 1]$ is of class LINTIME for the following cases:

$$\mathcal{C}_W \rightarrow \mathcal{C}_{\text{sp}}; \quad \mathcal{C}_{\text{sp}} \rightarrow \mathcal{C}_{\text{srf}}; \quad \mathcal{C}_{\text{rff}} \rightarrow \mathcal{C}_{\text{srf}}.$$

Furthermore, the identity of $\mathbf{C}[0, 1]$ is of class \mathcal{P} in the following case

$$\mathcal{C}_{\text{rff}} \rightarrow \mathcal{C}_{\text{ac}}$$

(in fact, only the calculation of the magnitude is not completely trivial, and it is surely in $\text{DTIME}(\mathcal{O}(N^2))$).

We still have to show that the identity of $\mathbf{C}[0, 1]$ from \mathcal{C}_{sp} to \mathcal{C}_{rff} and the one from \mathcal{C}_{srf} to \mathcal{C}_{rff} are of class \mathcal{P} .

Theorem 5.3.1. *The identity of $\mathbf{C}[0, 1]$ from \mathcal{C}_{sp} to \mathcal{C}_{rff} is uniformly of class \mathcal{P} .*

Proof. Let $n \in \mathbb{N}_1$ and $f \in \mathbf{Y}_{\text{sp}}$. We need to calculate an element $g \in \mathbf{Y}_{\text{rff}}$ such that

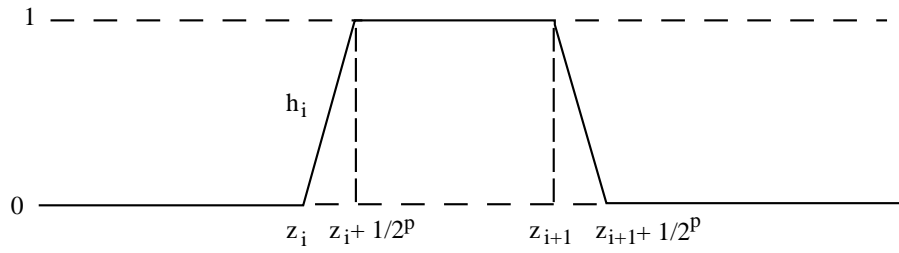
$$\|\tilde{f} - \tilde{g}\|_\infty \leq 1/2^n.$$

We have $f = ((x_0, x_1, \dots, x_t), (P_1, P_2, \dots, P_t))$ with $x_0 = 0$, $x_t = 1$ and $P_i(x_i) = P_{i+1}(x_i)$ for $i = 1, \dots, t-1$. We calculate $m \in \mathbb{N}_1$ such that 2^m bounds $\|P_i\|_\infty$ and $\|P'_i\|_\infty$ for each i .

We let $p = m + n + 1$ and $z_i = x_i - 1/2^{p+1}$ for $i = 0, \dots, t-1$. For $i = 0$ we let $h_0 := -C_{p,z_1}$. For $i = t-1$ we let $h_{t-1} := C_{p,z_{t-1}}$. For $i = 1, \dots, t-2$ we let $h_i := C_{p,z_i} - C_{p,z_{i+1}}$ (see Figure 7).

The function \tilde{f} is roughly equal to $h = \sum_i h_i P_{i+1}$: on the intervals $[z_i + 1/2^p, z_{i+1}]$ we get $h = \tilde{f}$, while on an interval

$$[z_i, z_i + 1/2^p] = [x_i - 1/2^{p+1}, x_i + 1/2^{p+1}]$$

Figure 7: the function h_i

we obtain $h = h_{i-1}P_i + h_iP_{i+1}$ which is a weighted average of P_i and P_{i+1} , instead of P_i or P_{i+1} . At a point x on this interval, we have $|x - x_i| \leq 1/2^{p+1}$, we apply the mean value theorem and using $P_i(x_i) = P_{i+1}(x_i)$ we obtain

$$|P_i(x) - P_{i+1}(x)| \leq |P_i(x) - P_i(x_i)| + |P_{i+1}(x) - P_{i+1}(x_i)| \leq 2^{m+1}/2^{p+1} \leq 1/2^{n+1}$$

and therefore

$$\|\tilde{f} - h\|_\infty \leq 1/2^{n+1}.$$

It remains to replace each h_i by an element g_i of \mathbf{Y}_{rff} satisfying $\|\tilde{g}_i - h_i\|_\infty \leq 1/(t2^p)$ (so that $\|\tilde{g}_iP_{i+1} - h_iP_{i+1}\|_\infty \leq 1/(t2^{n+1})$) and therefore

$$\left\| h - \sum_i \tilde{g}_i P_{i+1} \right\|_\infty \leq 1/2^{n+1}.$$

In view of Proposition 3.3.6 concerning the approximation of functions $C_{p,a}$ by rational functions, the calculation of g_i is done in polynomial time from the data (f, n) . It remains to express $\sum_i \tilde{g}_i P_{i+1}$ in form \tilde{g} with $g \in \mathbf{Y}_{\text{rff}}$, which is not difficult, to obtain $\|\tilde{f} - \tilde{g}\|_\infty \leq 1/2^n$. \square

Theorem 5.3.2. *The representations \mathcal{C}_{rff} and \mathcal{C}_{srf} of $\mathbf{C}[0, 1]$ are \mathcal{P} -equivalent.*

Proof. From an arbitrary element $f = ((x_0, x_1, \dots, x_t), ((P_1, Q_1), \dots, (P_t, Q_t)))$ of \mathbf{Y}_{srf} we can calculate in polynomial time dyadic numbers $d_1, d_2, \dots, d_t \geq 1$ satisfying $d_i Q_i(x_i) = d_{i+1} Q_{i+1}(x_i)$ (and therefore also $d_i P_i(x_i) = d_{i+1} P_{i+1}(x_i)$) for $i = 1, \dots, t-1$. Then $\tilde{f} = \tilde{g}/\tilde{h}$ where $g, h \in \mathbf{Y}_{\text{sp}}$ are given by:

$$g = ((x_0, x_1, \dots, x_t), (d_1 P_1, \dots, d_t P_t)) \quad \text{and} \quad h = ((x_0, x_1, \dots, x_t), (d_1 Q_1, \dots, d_t Q_t)).$$

We conclude by using Theorem 5.3.1 which allows us to approximate \tilde{g} and \tilde{h} by rational functions. \square

Conclusion

Hoover has linked in an interesting way the natural notion of complexity of continuous real functions given by Ko and Friedman to another notion, based on arithmetic circuits. In this way he gave a certain “polynomial time” version of the Weierstrass approximation theorem.

In this paper we have generalised Hoover’s approach, introducing a uniform point of view to the notion of rational presentation of a metric space. This provides a satisfactory general framework for the study of many algorithmic complexity problems in analysis. We have also generalised to this approach the results of Ko, Friedman and Müller concerning analytic functions computable in polynomial time. The rational presentation \mathcal{C}_{slc} \mathcal{P} -equivalent to \mathcal{C}_{KF} is the most natural from the point of view of theoretical computer science. However, it is not a \mathcal{P} -presentation and is ill-suited to numerical analysis as soon as problems more complicated than evaluation arise (the calculation of the norm, or of a primitive, for example).

Among the representations we have studied, the presentation \mathcal{C}_{W} seems to be the easiest to use for many numerical analysis problems.

As for the presentation by rational functions, it deserves further study. We would like to obtain an analogue of the theorem (given for the presentation \mathcal{C}_W) concerning the characterisation of \mathcal{P} -points. It would also be interesting to obtain for \mathcal{C}_{iff} the \mathcal{P} -calculability of certain usual operations in numerical analysis, such as the calculation of a primitive or more generally the calculation of the solution of an ordinary differential equation.

Acknowledgements. We would like to thank Maurice Margenstern and the referee for their comments.

References

- [1] Aberth O.: *Computable analysis*. McGraw-Hill (1980). [E7](#)
- [2] Bakhvalov: *Méthodes Numériques*. Editions MIR. Moscou (1973). [E41](#), [E44](#)
- [3] Beeson M.: *Foundations of Constructive Mathematics*. Springer-Verlag (1985). [E7](#), [E14](#)
- [4] Bishop E.: *Foundations of Constructive Analysis*. McGraw-Hill, New York (1967). [E6](#), [E14](#)
- [5] Bishop E., Bridges D.: *Constructive Analysis*. Springer-Verlag (1985). [E4](#), [E6](#), [E12](#), [E16](#), [E20](#)
- [6] Borodin A.: *On relating time and space to size and depth*. SIAM J. Comput. **6** (4), 733–744 (1977). [E21](#)
- [7] Brent R.: *Fast multiple-precision evaluation of elementary functions*. Journal of the ACM **23** (2), 242–251 (1976). [E24](#)
- [8] Bridges D.: *Constructive Functional Analysis*. Pitman, London (1979). [E17](#)
- [9] Bridges D., Richman F. : *Varieties of Constructive Mathematics*. London Math. Soc. LNS 97. Cambridge University Press (1987) [E7](#)
- [10] Cheney E. W.: *Introduction to Approximation Theory*. Mc Graw Hill Book Company (1966). [E41](#), [E42](#)
- [11] Goodstein R.: *Recursive number theory. A development of recursive arithmetic in a logic-free equation calculus*. Studies in Logic and the Foundations of Mathematics. Amsterdam, North-Holland (1957). [E7](#)
- [12] Goodstein R.: *Recursive Analysis*. Studies in Logic and the Foundations of Mathematics. Amsterdam, North-Holland (1961). [E7](#)
- [13] Hoover J.: *Feasibly constructive analysis*. PhD (1987). [E26](#), [E34](#)
- [14] Hoover J.: *Feasible real functions and arithmetic circuits*. Siam J. Comput. **19** (1), 182–204 (1990). [E3](#), [E16](#), [E26](#), [E34](#)
- [15] Hörmander: *The Analysis of Linear Partial Differential Operators I*. Springer (1983). [E41](#), [E45](#)
- [16] Ker-I. Ko, Friedman H.: *Computational complexity of real functions*. Theoretical Computer Science **20**, 323–352 (1982). [E3](#), [E7](#), [E13](#), [E14](#), [E26](#), [E50](#)
- [17] Ker-I. Ko, Friedman H.: *Computing power series in polynomial time*. Adv. Appl. Math. **9**, 40–50 (1988). [E6](#), [E50](#)
- [18] Ker I. Ko: *On the definitions of some complexity classes of real numbers*. Math System Theory **16**, 95–109 (1983). [E12](#)
- [19] Ker I. Ko: *Complexity theory of real functions*. Birkhäuser (1991). [E7](#), [E13](#), [E16](#)

- [20] Kushner B. A.: *Lectures on constructive mathematical analysis*. AMS Translations of Mathematical monographs n°60 (1984) (Russian version in 1973). [E7](#)
- [21] Labhalla S., Lombardi H.: *Real numbers, continued fractions and complexity classes*. Annals of Pure and Applied Logic **50**, 1–28 (1990). [E5](#), [E12](#)
- [22] Lombardi H.: *Nombres algébriques et approximations*. Publications Mathématiques de l'Université (Besançon) Théorie des Nombres. Fascicule 2. (1989). http://hlombardi.free.fr/publis/these_part3.pdf [E41](#)
- [23] Margenstern M.: *L'école constructive de Markov*. Revue d'Histoire des Mathématiques, **1** (2), 271–305 (1995) [E7](#)
- [24] Mines R., Richman F., Ruitenburg W. *A Course in Constructive Algebra*. Springer-Verlag. Universitext. (1988). [E7](#)
- [25] Moutai E.M.: *Complexité des fonctions réelles, comparaison de différentes présentations*. Thèse de Troisième Cycle, Marrakech (1995). [E18](#), [E32](#)
- [26] N. Th. Müller: *Subpolynomial complexity classes of real functions and real numbers*. Proc 13th ICALP LNCS n°226. 284–293 (1986). [E7](#)
- [27] N. Th. Müller: *Uniform computational complexity classes of Taylor series*. Lecture Notes in Computer Science 267 (1987). [E6](#), [E7](#), [E50](#)
- [28] Newman D.J.: *Rational approximation to $|x|$* . Michigan Math. Journal (1964). [E23](#)
- [29] Pan V.: *Solving a polynomial equation: some history and recent progress*. SIAM Rev. **39** (2), 187–220 (1997). [E23](#)
- [30] Petrushev P.P., Popov V.A.: *Rational approximation of real functions*. Encyclopedia of Mathematics and its applications. Cambridge University Press (1987). [E23](#)
- [31] Pour El M., Richards I.: *Computability in Analysis and Physics*. Perspectives in Mathematical logic. Springer Verlag (1989). [E7](#), [E19](#)
- [32] Th. J. Rivlin: *The Chebyshev Polynomials*. A Wiley Interscience Publication. Wiley & Sons. New York (1974). [E41](#), [E43](#), [E44](#)
- [33] Schnorr C.P.: *Satisfiability is quasilinear complete in NQL*. J. Ass. Comput. Machinery **25** (1), 136–145 (1978). [E10](#)
- [34] Stern J.: *Fondements mathématiques de l'informatique*. Mc Graw-Hill, Paris, (1990). [E32](#)

Espaces métriques rationnellement présentés et complexité, le cas de l'espace des fonctions réelles uniformément continues sur un intervalle compact

S. Labhalla

Dépt. de Mathématiques
Univ. de Marrakech, Maroc
labhalla@ucam.ac.ma

H. Lombardi

Laboratoire de Mathématiques de Besançon
Université Marie et Louis Pasteur, France
Henri.Lombardi@univ-fcomte.fr

E. Moutai

Dépt. de Mathématiques
Univ. de Marrakech, Maroc

20 février 2025

Cet article est paru en 2001 dans *Theoretical Computer Science*. **250**, n°1-2, 265–332 (reçu en avril 1997 ; révisé en mars 1999). Nous avons corrigé quelques erreurs de détail.

Résumé

Nous définissons la notion de *présentation rationnelle d'un espace métrique complet* comme moyen d'étude des espaces métriques et des fonctions continues du point de vue de la complexité algorithmique. Nous étudions dans ce cadre différentes manières de présenter l'espace $\mathbf{C}[0, 1]$ des fonctions réelles uniformément continues sur l'intervalle $[0, 1]$, muni de la norme usuelle : $\|f\|_\infty = \mathbf{Sup}\{|f(x)| \mid 0 \leq x \leq 1\}$. Ceci nous permet de faire une comparaison de nature globale entre les notions de complexité attachées à ces présentations. En particulier, nous obtenons une généralisation des résultats de Hoover concernant le *théorème d'approximation de Weierstrass en temps polynomial*. Nous obtenons également une généralisation des résultats de Ker-I. Ko, H. Friedman et N. Müller concernant les fonctions analytiques calculables en temps polynomial.

Introduction	F3
1 Préliminaires	F7
1.1 Notations	F7
Présentations rationnelles de l'espace $\mathbf{C}[0, 1]$	F8
1.2 Classes de fonctions discrètes intéressantes	F8
1.3 Complexité d'une Machine de Turing Universelle	F10
1.4 Circuits et programmes d'évaluation	F10
2 Espaces métriques complets rationnellement présentés	F10
2.1 Présentation rationnelle d'un espace métrique, complexité des points ...	F10
2.2 Complexité des fonctions uniformément continues	F13
2.3 Complexité des fonctions "localement uniformément continues"	F16
2.4 Une approche générale de la complexité des fonctions continues	F17
2.5 Ouverts et fermés	F18
2.6 Espaces de Banach rationnellement présentés	F18
3 Fonctions réelles continues sur un intervalle compact ...	F19
3.1 La définition d'une présentation rationnelle de l'espace des fonctions continues ...	F20
3.2 Deux exemples significatifs de présentations rationnelles de l'espace $\mathbf{C}[0, 1]$	F21
3.2.1 Présentation par circuits semilinéaires binaires	F21
3.2.2 Présentation \mathcal{C}_{fr} (via des fractions rationnelles contrôlées et données en présentation par formule)	F22
3.3 Le théorème d'approximation de Newman et sa complexité algorithmique	F24
4 Une présentation naturelle de l'espace $\mathbf{C}[0, 1]$	F27
4.1 Définitions de quelques présentations de l'espace $\mathbf{C}[0, 1]$	F27
4.1.1 Présentation KF (KF comme Ko-Friedman)	F27
4.1.2 Présentation par circuits booléens	F31
4.1.3 Présentation par circuits arithmétiques fractionnaires (avec magnitude)	F31
4.1.4 Présentation par circuits arithmétiques polynomiaux (avec magnitude)	F32
4.2 Comparaisons des présentations précédentes	F33
4.3 Complexité du problème de la norme	F38
4.4 Complexité des présentations rationnelles étudiées	F39
5 Quelques présentations de classe \mathcal{P} pour l'espace $\mathbf{C}[0, 1]$	F40
5.1 Définitions de quelques présentations de classe \mathcal{P}	F40
5.1.1 Présentation \mathcal{C}_{W} (à la Weierstrass)	F40
5.1.2 Présentation \mathcal{C}_{sp} (via des semi-polynômes en présentation dense)	F41
5.1.3 Présentation \mathcal{C}_{sfr} (via des semi-fractions rationnelles contrôlées et données en présentation par formule)	F41
5.2 Résultats concernant la présentation à la Weierstrass	F42
5.2.1 Quelques définitions et résultats de la théorie de l'approximation uniforme par des polynômes	F42
5.2.2 Quelques résultats classiques	F43
5.2.3 Retour aux questions de complexité dans l'espace \mathcal{C}_{W}	F47
5.3 Comparaisons de différentes présentations de classe \mathcal{P}	F51
Conclusion	F52
Références bibliographiques	F53

Introduction

Notons $\mathbf{C}[0, 1]$ l'espace des fonctions réelles uniformément continues sur l'intervalle $[0, 1]$.

Dans [16], Ker-I. Ko et Friedman ont introduit et étudié la notion de complexité des fonctions réelles, définie via une machine de Turing à oracle.

Dans l'article [14], Hoover a étudié les présentations de l'espace $\mathbf{C}[0, 1]$ via les circuits booléens et les circuits arithmétiques.

Dans ces deux articles la complexité dans l'espace $\mathbf{C}[0, 1]$ est étudiée "point par point".

Autrement dit, sont définies des phrases comme :

- f est un \mathcal{P} -point au sens de Ker-I. Ko et Friedman.
- f est un \mathcal{P} -point au sens des circuits booléens.
- f est un \mathcal{P} -point au sens des circuits arithmétiques.

Ko et Friedman ont étudié les propriétés des \mathcal{P} -points (au sens de Ker-I. Ko et Friedman). Hoover a démontré que les \mathcal{P} -points au sens des circuits arithmétiques sont les mêmes que les \mathcal{P} -points au sens de Ker-I. Ko et Friedman.

Dans cet article, nous étudions différentes présentations de l'ensemble $\mathbf{C}[0, 1]$ en nous basant sur la notion de *présentation rationnelle d'un espace métrique complet*. Ceci nous permet de faire une comparaison de nature globale entre les notions de complexité attachées à différentes présentations.

Après quelques préliminaires dans la section 1, la section 2 contient essentiellement une exposition de ce qui nous semble être une problématique naturelle concernant les questions de complexité relatives aux espaces métriques complets séparables.

Usuellement un espace métrique contient des objets de nature infinie (le paradigme étant un nombre réel défini à la Cauchy), ce qui exclut une présentation informatique directe (c.-à-d. codée sur un alphabet fini) de ces objets. Pour contourner cette difficulté, on procède comme il est usuel pour l'espace \mathbb{R} . On considère une partie dense Y de l'espace métrique considéré X , qui soit suffisamment simple pour que

- ses éléments puissent être codés comme (certains) mots sur un alphabet fini fixé.
- la fonction distance restreinte à Y soit calculable, c.-à-d. donnée par une fonction calculable :

$$\delta: Y \times Y \times \mathbb{N}_1 \rightarrow \mathbb{Q} \quad \text{avec} \quad |d_X(x, y) - \delta(x, y, n)| \leq 1/2^n$$

L'espace X apparaît alors comme le séparé-complété de Y .

On dira que le codage proposé pour Y et la description proposée pour la fonction distance constituent une *présentation rationnelle* de l'espace métrique X .

Il est à noter qu'on n'envisage pas de traiter des espaces métriques non complets, pour lesquels les difficultés de codage semblent insurmontables, et pour lesquels on ne peut pratiquement rien démontrer de sérieux en analyse constructive.

Pareillement les espaces métriques traités sont "à base dénombrable" (on dit aussi "séparables").

Les espaces métriques étudiés en analyse constructive (cf. [5]) sont très souvent définis via une présentation rationnelle de ce type, ou au moins faciles à définir selon ce schéma. Le problème qui se pose est en général de définir constructivement une partie dénombrable dense de l'espace considéré. C'est évidemment impossible pour des espaces de Banach classiques non séparables du style L^∞ , mais justement, ces espaces ne sont pas traitables sous leur forme classique par les méthodes constructives. Le problème est plus délicat pour des espaces qui sont classiquement séparables mais pour lesquels il n'y a pas de procédé naturel constructif qui donne une partie dénombrable dense. Par exemple c'est le cas pour un sous-espace fermé arbitraire d'un espace complet séparable, et c'est encore le cas pour certains espaces de fonctions continues.

La présentation en unaire et la présentation en binaire de \mathbb{Z} ne sont pas équivalentes du point de vue la complexité en temps polynomial. La présentation en unaire est une présentation naturelle de \mathbb{Z} comme groupe tandis que la présentation en binaire est une présentation naturelle de \mathbb{Z} comme anneau. On peut se poser des questions analogues concernant les espaces métriques classiques usuels.

La première question qui se pose est la comparaison des différentes présentations d'un espace métrique usuel. Notez que la présentation usuelle de \mathbb{R} est considérée comme la seule naturelle et que c'est à partir de cette présentation de \mathbb{R} qu'est définie la complexité d'une présentation (Y_1, δ_1) de X ou la complexité de l'application Id_X de (Y_1, δ_1) vers (Y_2, δ_2) lorsqu'on compare deux présentations distinctes de X .

La question qui se pose ensuite est celle de la complexité des fonctions continues calculables entre espaces métriques. S'il y a une notion naturelle de complexité des fonctions dans le cas des espaces compacts, la question est nettement plus délicate dans le cas général, car elle renvoie à la complexité des fonctionnelles de type 2 arbitraires.

Une autre question est celle de la complexité d'objets liés de manière naturelle à l'espace métrique qu'on étudie. Par exemple dans le cas des réels, et en ne considérant que la structure algébrique de \mathbb{R} on est intéressé par le fait que la complexité de l'addition, celle de la multiplication, ou celle de la recherche des racines complexes d'un polynôme à coefficients réels soient toutes "de bas niveau". Ce genre de résultats légitime a posteriori le choix qui est fait usuellement pour présenter \mathbb{R} , et les résultats de nature inverse disqualifient d'autres présentations (cf. [21]), moins efficaces que la présentation via les suites de Cauchy de rationnels écrits en binaire¹. De même, un espace métrique usuel est en général muni d'une structure plus riche que la seule structure métrique, et il s'agit alors d'étudier, pour chaque présentation, la complexité de ces "éléments naturels de structure".

Dans la section 3, nous introduisons l'espace $\mathbf{C}[0, 1]$ des fonctions réelles uniformément continues sur l'intervalle $[0, 1]$ du point de vue de ses présentations rationnelles.

La fonction d'évaluation $(f, x) \mapsto f(x)$ n'est pas localement uniformément continue. Vue son importance, nous discutons ce que signifie la complexité de cette fonction lorsqu'on a choisi une présentation rationnelle de l'espace $\mathbf{C}[0, 1]$.

Nous donnons ensuite deux exemples significatifs de telles présentations rationnelles :

- Une présentation par circuits semilinéaires binaires notée \mathcal{C}_{csl} , où les points rationnels sont exactement les fonctions semilinéaires binaires. Une telle fonction peut être définie par un circuit semilinéaire binaire (cf. définition 3.2.1) et codée par un programme d'évaluation correspondant au circuit.
- une présentation, notée \mathcal{C}_{ff} , via des fractions rationnelles convenablement contrôlées et données en présentation par formule (cf. définition 3.2.5).

Enfin nous établissons des résultats de complexité liés au théorème d'approximation de Newman. En bref, le théorème de Newman a une complexité polynomiale et en conséquence les fonctions linéaires par morceaux sont, chacune individuellement, des points de complexité \mathcal{P} dans l'espace \mathcal{C}_{ff} .

Dans la section 4 nous définissons et étudions des présentations rationnelles "naturelles" de $\mathbf{C}[0, 1]$, équivalentes du point de vue de la complexité en temps polynomial :

- La présentation dite "à la Ko-Friedman", et notée \mathcal{C}_{KF} , pour laquelle un point rationnel est donné par un quadruplet (Pr, n, m, T) où Pr est un programme de machine de Turing. Les entiers n, m, T sont des paramètres de contrôle. Nous faisons le lien avec la notion de complexité introduite par Ko et Friedman. Nous démontrons une propriété universelle qui caractérise cette présentation rationnelle du point de vue de la complexité en temps polynomial.

1. Néanmoins, le test de signe est indécidable pour les réels présentés à la Cauchy. On se contente d'avoir en temps polynomial le test constructif : $x + y \geq 1/2^n \Rightarrow (x \geq 1/2^{n+2} \text{ ou } y \geq 1/2^{n+2})$.

- La présentation par circuits booléens qu'on note par \mathcal{C}_{cb} et pour laquelle un point rationnel est donné par un quadruplet (C, n, m, k) où C code un circuit booléen et n, m, k sont des paramètres de contrôle.
- La présentation par circuits arithmétiques fractionnaires (avec magnitude) notée \mathcal{C}_{ca} . Un point rationnel de cette présentation est donné par un couple (C, M) où C est le code d'un circuit arithmétique, et M est un paramètre de contrôle.
- La présentation par circuits arithmétiques polynomiaux (avec magnitude) notée \mathcal{C}_{cap} analogue à la précédente, mais ici le circuit est polynomial (c.-à-d. ne contient pas les portes "passage à l'inverse").

Nous démontrons dans la section 4.2 que les présentations \mathcal{C}_{KF} , \mathcal{C}_{cb} , \mathcal{C}_{csl} , \mathcal{C}_{ca} et \mathcal{C}_{cap} sont équivalentes en temps polynomial. Ce résultat généralise et précise les résultats de Hoover. Non seulement les \mathcal{P} -points de \mathcal{C}_{KF} sont "les mêmes" que les \mathcal{P} -points de \mathcal{C}_{cap} , mais bien mieux, les bijections

$$\mathcal{C}_{KF} \rightarrow \mathcal{C}_{cap} \quad \text{et} \quad \mathcal{C}_{cap} \rightarrow \mathcal{C}_{KF}$$

qui représentent l'identité de $\mathbf{C}[0, 1]$ sont, globalement, calculables en temps polynomial. Ainsi nous obtenons une formulation complètement contrôlée du point de vue algorithmique pour le théorème d'approximation de Weierstrass.

Dans la section 4.3, nous démontrons que ces présentations ne sont pas de classe \mathcal{P} en établissant la non faisabilité du calcul de la norme (si $\mathcal{P} \neq \mathcal{NP}$). Plus précisément, nous définissons convenablement "le problème de la norme" et nous démontrons qu'il s'agit d'un problème \mathcal{NP} -complet pour les présentations considérées.

Pour ce qui concerne le test d'appartenance à l'ensemble des (codes des) points rationnels, c'est un problème $\text{co-}\mathcal{NP}$ -complet pour les présentations \mathcal{C}_{KF} et \mathcal{C}_{cb} , tandis qu'il est en temps linéaire pour la présentation \mathcal{C}_{csl} . Cette dernière est donc légèrement plus satisfaisante.

Nous définissons dans la section 5 d'autres présentations de l'espace $\mathbf{C}[0, 1]$ à savoir :

- La présentation notée \mathcal{C}_W (comme Weierstrass) pour laquelle l'ensemble des points rationnels est l'ensemble des polynômes (à une variable) à coefficients rationnels donnés en présentation dense.
- La présentation notée \mathcal{C}_{sp} pour laquelle l'ensemble des points rationnels est l'ensemble des fonctions polynomiales par morceaux, chaque polynôme étant donné comme pour \mathcal{C}_W .
- La présentation notée \mathcal{C}_{sfrf} est obtenue à partir de \mathcal{C}_{frf} de la même manière que \mathcal{C}_{sp} est obtenue à partir de \mathcal{C}_W .

Nous essayons de voir jusqu'à quel point le caractère de classe \mathcal{P} de ces présentations fournit un cadre de travail adéquat pour l'analyse numérique.

Nous caractérisons les \mathcal{P} -points de \mathcal{C}_W en établissant l'équivalence entre les propriétés suivantes : (cf. théorème 5.2.7)

- f est un \mathcal{P} -point de \mathcal{C}_W
- la suite $A_n(f)$ (qui donne le développement de f en série de Chebyshev) est une \mathcal{P} -suite dans \mathbb{R} et vérifie une majoration :

$$|A_n(f)| \leq Mr^{n^\gamma} \quad \text{avec} \quad M > 0, \quad \gamma > 0, \quad 0 < r < 1.$$

- f est un \mathcal{P} -point de \mathcal{C}_{KF} et est dans la classe de Gevrey

Nous en déduisons une équivalence analogue entre (cf. Theorem 5.2.8) :

- f est une fonction analytique et est un \mathcal{P} -point de \mathcal{C}_W .

b) f est une fonction analytique et est un \mathcal{P} -point de \mathcal{C}_{KF} .

Les calculs usuels sur les \mathcal{P} -points de \mathcal{C}_{W} (calcul de la norme, du maximum et de l'intégrale d'un \mathcal{P} -point de \mathcal{C}_{W}) sont en temps polynomial (cf. proposition 5.2.6).

De plus, un assez bon comportement de la dérivation vis à vis de la complexité est obtenu en démontrant que pour tout \mathcal{P} -point (ou toute \mathcal{P} -suite) de \mathcal{C}_{W} la suite (ou la suite double) de ses dérivées est une \mathcal{P} -suite de \mathcal{C}_{W} (cf. théorème 5.2.10 et corollaire 5.2.11).

Dans le théorème 5.2.13 et son corollaire 5.2.14, nous donnons une version plus uniforme des résultats précédents. Combinés avec la proposition 5.2.6 on obtient une amélioration sensible des résultats de [27] et [17]. En outre nos preuves sont plus conceptuelles.

Par ailleurs, ces résultats, combinés avec le théorème de Newman (dans sa version précisée à la section 3.3), démontrent que le passage de la présentation par fraction rationnelles \mathcal{C}_{frf} à la présentation par polynômes (denses) \mathcal{C}_{W} n'est pas en temps polynomial. Le théorème de Newman démontre également que les présentations \mathcal{C}_{frf} et $\mathcal{C}_{\text{sfrf}}$ sont polynomialement équivalentes.

En résumant les résultats des sections 4 et 5, nous obtenons que l'identité de $\mathbf{C}[0, 1]$ est uniformément de classe \mathcal{P} dans les cas suivants :

$$\mathcal{C}_{\text{W}} \rightarrow \mathcal{C}_{\text{sp}} \rightarrow \mathcal{C}_{\text{frf}} \equiv \mathcal{C}_{\text{sfrf}} \rightarrow \mathcal{C}_{\text{KF}} \equiv \mathcal{C}_{\text{cb}} \equiv \mathcal{C}_{\text{csl}} \equiv \mathcal{C}_{\text{ca}} \equiv \mathcal{C}_{\text{cap}}.$$

et aucune des flèches dans la ligne ci-dessus n'est une \mathcal{P} -équivalence sauf peut être $\mathcal{C}_{\text{sp}} \rightarrow \mathcal{C}_{\text{frf}}$ et très éventuellement $\mathcal{C}_{\text{frf}} \rightarrow \mathcal{C}_{\text{KF}}$ (mais cela impliquerait $\mathcal{P} = \mathcal{NP}$).

Nous terminons cette introduction par quelques remarques sur le constructivisme.

Le travail présenté ici est écrit dans le style des mathématiques constructives à la Bishop telles qu'elles ont été développées notamment dans les livres de Bishop [4], Bishop & Bridges [5], Mines, Richman & Ruitenburg [24]. Il s'agit d'un corps de mathématiques constructives en quelque sorte minimal². Tous les théorèmes démontrés de cette manière sont en effet également valables pour les mathématiciens classiques, le bénéfice étant qu'ici les théorèmes et les preuves ont toujours un contenu algorithmique. Le lecteur ou la lectrice classique peut donc lire ce travail comme un prolongement des travaux en analyse récursive par Kleene et Turing puis plus tard notamment par Ker-I. Ko & H. Friedman ([16], [19]), N. Th. Müller [26, 27], Pour El & Richards [31], qui se situent eux dans un cadre de mathématiques classiques.

Par ailleurs les théorèmes et leurs preuves dans le style de Bishop sont également acceptables dans le cadre des autres variantes du constructivisme, comme l'intuitionnisme de Brouwer ou l'école constructive russe de A.A. Markov, G.S. Ceitin, N.A. Shanin, B.A. Kushner et leurs élèves. On trouvera une discussion éclairante sur ces différentes variantes de constructivisme dans le livre de Bridges & Richman [9].

Le livre très complet de Beeson [3] donne également des discussions approfondies de ces points de vue et de leurs variantes, notamment en s'appuyant sur une étude remarquable des travaux des logiciens qui ont tenté de formaliser les mathématiques constructives.

Les mathématiques constructives russes peuvent être découvertes à travers les livres de Kushner [20] et O. Aberth [1]. Un article historique très pertinent sur la question est écrit par M. Margenstern [23]. Le chapitre IV de [3] est également très instructif. Beeson déclare page 58 : "nous espérons démontrer que [cet] univers [mathématique] est un endroit extrêmement divertissant, plein de surprises (comme n'importe quel pays étranger), mais en aucun cas trop chaotique ni invivable". Les mathématiques constructives russes restreignent leurs objets d'étude aux "êtres récursifs" et se rapprochent en cela de certains travaux d'analyse récursive classique développés notamment par Grzegorzcyk, Kreisel, Lacombe, Schoenfield et Specker, avec lesquels elles partagent de nombreux résultats. Un des principes des mathématiques constructives russes est par exemple que seuls existent les réels récursifs donnés par des algorithmes (qui calculent des suites de rationnels à vitesse de convergence contrôlée). Et une fonction réelle définie sur les réels est un algorithme F qui prend en entrée un algorithme x et donne en sortie, sous la condition que x est un algorithme produisant un réel récursif, un algorithme y produisant un réel récursif.

2. Un travail précurseur dans un style purement formel est celui de Goodstein [11, 12].

Ceci conduit par exemple au théorème de Ceitin, faux classiquement, selon lequel toute fonction réelle définie sur les réels est continue en tout point. L'analyse récursive classique énonce quant à elle : si un algorithme termine chaque fois que l'entrée est le code d'un réel récursif et donne alors en sortie le code d'un réel récursif, et s'il définit une fonction (c.-à-d. deux codes du même réel récursif en entrée conduisent à deux codes d'un même réel récursif en sortie) alors il définit une fonction continue en tout point réel récursif (théorème de Kreisel-Lacombe-Schoenfield). Beeson a analysé la preuve de Kreisel-Lacombe-Schoenfield pour en préciser les aspects non constructifs. La preuve de Ceitin, qui est plus constructive que celle de Kreisel-Lacombe-Schoenfield, est analysée dans [9].

Dans le style de Bishop, comme on considère que la notion d'effectivité est une notion primitive qui ne se réduit pas nécessairement à la récursivité, et que la récursivité, au contraire, ne peut être définie sans cette notion primitive d'effectivité, les nombres réels et les fonctions réelles sont des objets qui conservent une plus grande part de "liberté" et sont donc plus proches des réels et des fonctions réelles telles que les conçoivent intuitivement les mathématiciens classiques. Et le théorème "russe" précédent est donc indémontrable dans le style Bishop. De manière symétrique, les théorèmes de mathématiques classiques qui contredisent directement des résultats du constructivisme russe (comme par exemple la possibilité de définir sans aucune ambiguïté des fonctions réelles discontinues) ne peuvent être démontrés dans les mathématiques du style Bishop.

En conclusion, les mathématiques constructives russes présentent un intérêt historique indéniable, développent une philosophie mathématique très cohérente et peuvent sans doute trouver un renouveau à partir de préoccupations d'informatique théorique. Il serait donc également intéressant de faire une étude de ces mathématiques du point de vue de la complexité algorithmique.

1 Préliminaires

1.1 Notations

\mathbb{N}_1 ensemble des entiers naturels en unaire.

\mathbb{N} ensemble des entiers naturels en binaire. Du point de vue de la complexité, \mathbb{N}_1 est isomorphe à la partie de \mathbb{N} formée des puissances de 2.

\mathbb{Z} ensemble des entiers relatifs en binaire.

\mathbb{Q} ensemble des rationnels présentés sous forme d'une fraction avec numérateur et dénominateur en binaire.

$\mathbb{Q}^{\mathbb{N}_1}$ ensemble des suites de rationnels, où l'indice est en unaire.

\mathbb{D} ensemble des nombres de la forme $k/2^n$ avec $(k, n) \in \mathbb{Z} \times \mathbb{N}_1$.

$\mathbb{D}_{[0,1]}$ $\mathbb{D} \cap [0, 1]$.

\mathbb{D}_n ensemble des nombres de la forme $k/2^n$ avec $k \in \mathbb{Z}$.

$\mathbb{D}_{n,[0,1]}$ $\mathbb{D}_n \cap [0, 1]$.

$\mathbb{D}[X]$ ensemble des polynômes à coefficients dans \mathbb{D} donnés en présentation dense.

$\mathbb{D}[X]_f$ ensemble des polynômes à coefficients dans \mathbb{D} donnés en présentation par formule.

\mathbb{R} ensemble des nombres réels présentés par les suites de Cauchy dans \mathbb{Q} .

CB ensemble des codes de circuits booléens.

CA ensemble des codes de circuits arithmétiques.

MT machine de Turing.

MTO machine de Turing à oracle.

μ module de continuité uniforme (cf. définition 2.2.1)

$\lg(a)$ la longueur du codage binaire du nombre dyadique $|a|$ (pour $a \in \mathbb{D}$).

$t(C)$ taille du circuit C (le nombre de ses portes).

$\text{prof}(C)$ profondeur du circuit C .

$\text{mag}(C)$ magnitude du circuit arithmétique C (cf. définition 4.1.10).

\tilde{f} fonction continue codée par f .

$\log(n)$ pour un entier naturel n c'est la longueur de son codage binaire.

$\mathcal{M}(n)$ complexité du calcul de la multiplication de deux entiers en représentation binaire (en multiplication rapide $\mathcal{M}(n) = O(n \log(n) \log \log(n))$).

$\lfloor d \rfloor$ la longueur (du codage discret) de l'objet d (le codage de d est un mot sur un alphabet fini fixé).

$\lfloor x \rfloor$ la partie entière du nombre réel x .

Présentations rationnelles de l'espace $\mathbf{C}[0, 1]$

\mathcal{C}_{KF} présentation par Machine de Turing, à la Ko-Friedman
 \mathbf{Y}_{KF} est l'ensemble (des codes de) points rationnels (cf. définition 4.1.1)

\mathcal{C}_{ca} présentation par circuits arithmétiques
 \mathbf{Y}_{ca} est l'ensemble (des codes de) points rationnels (cf. définition 4.1.10)

\mathcal{C}_{cap} présentation par circuits arithmétiques sans divisions (ou polynomiaux)
 \mathbf{Y}_{cap} est l'ensemble (des codes de) points rationnels (cf. section 4.1.4)

\mathcal{C}_{cb} présentation par circuits booléens
 \mathbf{Y}_{cb} est l'ensemble (des codes de) points rationnels (cf. définition 4.1.8)

\mathcal{C}_{csl} présentation par circuits semilinéaires binaires
 \mathbf{Y}_{csl} est l'ensemble (des codes de) points rationnels (cf. définition 3.2.1)

\mathcal{C}_{frf} présentation par fractions rationnelles dans un codage par formules
 \mathbf{Y}_{frf} est l'ensemble (des codes de) points rationnels (cf. définition 3.2.5)

\mathcal{C}_{W} présentation "à la Weierstrass" par polynômes dans un codage dense
 \mathbf{Y}_{W} est l'ensemble (des codes de) points rationnels (cf. section 5.1)

\mathcal{C}_{sp} présentation par fonctions polynomiales par morceaux dans un codage dense
 \mathbf{Y}_{sp} est l'ensemble (des codes de) points rationnels (cf. section 5.1.2)

$\mathcal{C}_{\text{sfrf}}$ présentation par fractions rationnelles par morceaux dans un codage par formules
 \mathbf{Y}_{sfrf} est l'ensemble (des codes de) points rationnels (cf. section 5.1.3)

1.2 Classes de fonctions discrètes intéressantes

Nous considérerons des classes de fonctions discrètes \mathcal{C} (une fonction discrète est une fonction de A^* vers B^* où A et B sont deux alphabets finis³) jouissant des propriétés de stabilité élémentaires suivantes

- \mathcal{C} contient les fonctions arithmétiques usuelles et le test de comparaison dans \mathbb{Z} (pour \mathbb{Z} codé en binaire).

3. Si on veut donner une allure plus mathématique et moins informatique à la chose, on pourra remplacer A^* et B^* par des ensembles \mathbb{N}^k .

- \mathcal{C} contient les fonctions calculables en temps linéaire (c.-à-d. $\text{LINTIME} \subset \mathcal{C}$)
- \mathcal{C} est stable par composition.
- \mathcal{C} est stable par listes : si $f: A^* \rightarrow B^*$ est dans \mathcal{C} alors $\text{lst}(f): \text{lst}(A^*) \rightarrow \text{lst}(B^*)$ est également dans \mathcal{C} ($\text{lst}(f)[x_1, x_2, \dots, x_n] = [f(x_1), f(x_2), \dots, f(x_n)]$).

Une classe vérifiant les propriétés de stabilité précédentes sera dite *élémentairement stable*. En pratique, on sera particulièrement intéressé par les classes élémentairement stables suivantes :

- **Rec** : la classe des fonctions récursives.
- **Fnc** : la classe des fonctions constructivement définies (en mathématiques constructives, ce concept est un concept primitif qui ne coïncide pas avec le précédent, et il est nécessaire de l'avoir au préalable pour pouvoir définir le précédent, la récursivité étant interprétée comme une constructivité purement mécanique dans son déroulement comme processus de calcul)
- **Prim** : la classe des fonctions primitives récursives.
- **\mathcal{P}** : la classe des fonctions calculables en temps polynomial.
- **\mathcal{E}** : la classe des fonctions élémentairement récursives, c.-à-d. encore calculables en temps majoré par une composée d'exponentielles.
- **PSPACE** : la classe des fonctions calculables en espace polynomial (avec une sortie polynomialement majorée en taille).
- **LINSPEACE** : la classe des fonctions calculables en espace linéaire (avec une sortie linéairement majorée en taille).
- **DSRT(Lin, Lin, Poly)** : la classe des fonctions calculables en espace linéaire, en temps polynomial et avec une sortie linéairement majorée en taille.
- **DSRT(Lin, Lin, $O(n^k)$)** : la classe des fonctions calculables en espace linéaire, en temps $O(n^k)$ (avec $k > 1$) et avec une sortie linéairement majorée en taille.
- **DSRT(Lin, Lin, Exp)** : la classe des fonctions calculables en espace linéaire, en temps $\exp(O(n))$ et avec une sortie linéairement majorée en taille.
- **DRT(Lin, $O(n^k)$)** : la classe des fonctions calculables en temps $O(n^k)$, (avec $k > 1$) et avec une sortie linéairement majorée en taille.
- **DSR(Poly, Lin)** : la classe des fonctions calculables en espace polynomial avec une sortie linéairement majorée en taille.
- **DSR($O(n^k)$, Lin)** : la classe des fonctions calculables en espace $O(n^k)$, (avec $k > 1$) avec une sortie linéairement majorée en taille.
- **QL** : la classe des fonctions calculables en temps quasilinéaire (cf. Schnorr [33]).
($\text{QL} := \cup_b \text{DTIME}(O(n \cdot \log^b(n))) = \text{DTIME}(\text{QLin})$).

On remarquera que, hormis les classes **Rec** et **Fnc**, toutes les classes que nous avons considérées sont des classes de complexité (au sens de Blum). Il n'y a cependant aucune nécessité à cela, comme le montrent justement les exemples de **Rec** et **Fnc**. Lorsque nous considérons uniquement la classe **Fnc**, nous développons un chapitre de mathématiques constructives abstraites. Notez que $\text{DTIME}(O(n^k))$ pour $k > 1$ n'est pas stable par composition. Mais, le plus souvent, les calculs en temps $O(n^k)$ que nous aurons à considérer sont dans la classe $\text{DRT}(\text{Lin}, O(n^k))$ ou même $\text{DSRT}(\text{Lin}, \text{Lin}, O(n^k))$ et ces classes ont les bonnes propriétés de stabilité.

1.3 Complexité d'une Machine de Turing Universelle

Nous aurons besoin dans la suite d'utiliser une Machine de Turing Universelle et d'estimer sa complexité algorithmique. Le résultat suivant, pour lequel nous n'avons pas trouvé de référence, semble faire partie du folklore, il nous a été signalé par M. Margenstern.

Lemme 1.3.1. *Il existe une machine de Turing universelle MU qui fait le travail suivant.*

Elle prend en entrée :

— le code (dont la taille est p) d'une machine de Turing M_0 (fonctionnant sur un alphabet fixé, avec une bande d'entrée, une bande de sortie, plusieurs bandes de travail) supposée être de complexité en temps T et en espace S (avec $S(n) \geq n$)

— une entrée x (de taille n) pour M_0 .

Elle donne en sortie le résultat du calcul exécuté par M_0 pour l'entrée x .

Elle exécute cette tâche en un temps $O(T(n)(S(n) + p))$ et en utilisant un espace $O(S(n) + p)$.

Démonstration. La machine MU utilise une bande de travail pour y écrire, à chaque étape élémentaire de la machine M_0 , qu'elle simule, la liste des contenus de chacune des variables de M_0 . Pour simuler une étape de M_0 la machine MU a besoin de $O(S(n) + p)$ étapes élémentaires, en utilisant un espace du même ordre de grandeur. \square

1.4 Circuits et programmes d'évaluation

Les familles de circuits constituent des modèles de calcul intéressants, notamment du point de vue du parallélisme. Les familles de circuits booléens constituent dans une certaine mesure une alternative au modèle standard des Machines de Turing. Des circuits arithmétiques de faible taille sont capables de calculer des polynômes de très grand degré. C'est par exemple le cas pour un circuit arithmétique qui simule une itération de Newton pour une fonction donnée par une fraction rationnelle.

Dans tous les cas se pose le problème de savoir quel codage on adopte pour un circuit. Nous choisirons de toujours coder un circuit par un des programmes d'évaluation (ou straight-line program) qui exécutent la même tâche que lui⁴.

Par ailleurs, concernant les circuits arithmétiques, qui représentent des polynômes ou des fractions rationnelles, nous les envisagerons non pas du point de vue du calcul exact (ce qui serait trop coûteux), mais du point de vue du calcul approché. Se pose alors la question d'évaluer leur temps d'exécution lorsqu'on veut garantir une précision donnée sur le résultat, pour des entrées dans \mathbb{D} données elles-mêmes avec une certaine précision. Aucune majoration raisonnable du temps d'exécution ne peut être obtenue par des arguments d'ordre général si la profondeur du circuit n'est pas très faible, car les degrés obtenus sont trop grands et les nombres calculés risquent de voir leur taille exploser. Comme on n'arrive pas toujours à se limiter à des circuits de très faible profondeur, il s'avère indispensable de donner un paramètre de contrôle, appelé magnitude, qui assure que, malgré un éventuel très grand degré, la taille de tous les nombres calculés par le circuit (qui seront évalués avec une précision elle-même limitée) n'est pas trop grande lorsque l'entrée représente un réel variant dans un intervalle compact.

2 Espaces métriques complets rationnellement présentés

2.1 Présentation rationnelle d'un espace métrique, complexité des points et des familles de points

Sauf mention expresse du contraire, les classes de fonctions discrètes que nous considérons seront des classes élémentairement stables.

Définition 2.1.1 (présentation rationnelle de classe \mathcal{C} pour un espace métrique complet).

Un espace métrique complet (X, d_X) est donné dans une présentation rationnelle de classe \mathcal{C} de la manière suivante. On donne un triplet (Y, δ, η) où

4. À un même circuit peuvent correspondre différents programmes d'évaluation selon l'ordre dans lequel on écrit les instructions à exécuter.

- Y est une \mathcal{C} -partie d'un langage A^*
- η est une application de Y dans X
- $\delta: Y \times Y \times \mathbb{N}_1 \rightarrow \mathbb{D}$ est une fonction dans la classe \mathcal{C} et vérifiant (pour $n \in \mathbb{N}_1$ et $x, y, z \in Y$) :
 - $|d_X(x, y) - \delta(\eta(x), \eta(y))| \leq 1/2^n$
 - $\delta(x, y, n) \in \mathbb{D}_n$
 - $\delta(x, y, n) = \delta(y, x, n)$
 - $\delta(x, x, n) = 0$
 - $|\delta(x, y, n+1) - \delta(x, y, n)| \leq 1/2^{n+1}$
 - $\delta(x, z, n) \leq \delta(x, y, n) + \delta(y, z, n) + 2/2^n$

Si on définit l'écart $d_Y(x, y)$ comme la limite de $\delta(x, y, n)$ lorsque n tend vers l'infini, l'application η de Y dans X identifie (X, d_X) au séparé complété de (Y, d_Y) . L'ensemble $\eta(Y)$ est appelé l'ensemble des *points rationnels* de X pour la présentation considérée. Si $y \in Y$ on notera souvent \tilde{y} pour le point rationnel $\eta(y)$, et y est appelé le code de \tilde{y} .

Nous abrègerons parfois “ (Y, δ, η) est une présentation rationnelle de classe \mathcal{C} pour (X, d_X) ” en “ (Y, δ) est une \mathcal{C} -présentation de (X, d_X) ”.

Remarques 2.1.2. 1) On peut remplacer \mathbb{D} par \mathbb{Q} dans la définition ci-dessus sans modifier la notion qui est définie. Le fait de choisir \mathbb{Q} est plus joli mathématiquement, tandis que le fait de choisir \mathbb{D} est plus naturel d'un point de vue informatique. En outre la contrainte $\delta(x, y, n) \in \mathbb{D}_n$ répond à la requête naturelle de ne pas utiliser plus de place que nécessaire pour représenter une approximation à $1/2^n$ près d'un nombre réel.

2) Lorsqu'on a donné une présentation rationnelle pour un espace métrique abstrait (X, d_X) , on dira qu'on l'a muni d'une *structure de calculabilité*. Cela revient essentiellement à définir un langage $Y \subset A^*$ puis une application η de Y vers X dont l'image soit une partie dense de X . La présentation est complètement définie uniquement lorsqu'on a aussi donné une application $\delta: Y \times Y \times \mathbb{N}_1 \rightarrow \mathbb{D}$ vérifiant les requêtes de la définition 2.1.1. *Dans la suite, on se permettra néanmoins de dire qu'un codage d'une partie dense Y de X définit une présentation de classe \mathcal{C} de X lorsqu'on démontre que les requêtes de la définition 2.1.1 peuvent être satisfaites.*

3) Comprise au sens constructif, la phrase incluse dans la définition “on donne une application η de Y vers X ” réclame qu'on ait “un certificat que $\eta(y)$ soit bien un élément de X pour tout y de Y ”. Il se peut que ce certificat d'appartenance implique lui-même une notion naturelle de complexité. Lorsque ce sera le cas, par exemple pour l'espace $\mathbf{C}[0, 1]$, il sera inévitable de prendre en compte cette complexité. *Ainsi, la définition 2.1.1 doit en l'état actuel être considérée comme incomplète et à préciser au cas par cas.* C'est sans doute dommage si on se place du point de vue l'élégance formelle des définitions générales. Mais c'est une situation de fait qui semble très difficile à contourner.

Exemples 2.1.3.

— L'espace \mathbb{R} est défini usuellement dans la présentation où l'ensemble des points rationnels est \mathbb{Q} . De manière équivalente, et c'est ce que nous ferons dans la suite, on peut considérer comme ensemble des points rationnels de \mathbb{R} l'ensemble \mathbb{D} des nombres dyadiques⁵.

— On définira sans difficulté la présentation produit de deux présentations pour deux espaces métriques.

— Tout *ensemble discret* Z (Z est donné comme une partie d'un langage A^* avec une relation d'équivalence qui définit l'égalité dans Z et qui est testable dans la classe \mathcal{C}) donne lieu à un *espace métrique discret*, c.-à-d. dans lequel la distance de deux points distincts est égale à 1.

— Les espaces métriques complets des mathématiques constructives dans le style Bishop [5] admettent en général une présentation rationnelle de classe Fnc. Dans chaque cas concret la présentation s'avère être une présentation de classe Prim ou même \mathcal{P} .

5. Cela correspond à la notation \mathbb{R}_{conv} dans [21] et \mathbb{R}_{con} dans [18].

Définition 2.1.4 (complexité d'un point dans un espace métrique rationnellement présenté).

On considère un espace métrique complet X donné dans une présentation (Y, δ, η) de classe \mathcal{C}' . Un point x de X est dit *de classe \mathcal{C}* lorsqu'on connaît une suite $(n \mapsto y_n)$ de classe \mathcal{C} (en tant que fonction $\mathbb{N}_1 \rightarrow Y$) avec $d_X(x, \eta(y_n)) \leq 1/2^n$. On dit encore que x est un *\mathcal{C} -point dans X* .

Exemple 2.1.5. Lorsque $X = \mathbb{R}$, la définition ci-dessus correspond à la notion usuelle de “nombre réel de classe \mathcal{C} ” (au sens de Cauchy).

Remarque 2.1.6. Il semblerait naturel de demander que la classe \mathcal{C}' contienne la classe \mathcal{C} , mais ce n'est pas complètement indispensable. Cette remarque vaut pour à peu près toutes les définitions qui suivent.

Définition 2.1.4bis (*Complexité d'un point dans un espace métrique rationnellement présenté, version plus explicite*) On considère un espace métrique complet X donné dans une présentation de classe $\mathcal{C}' : (Y, \delta, \eta)$.

Un point x de classe \mathcal{C} dans X est donné par une suite $(n \mapsto y_n)$ de classe \mathcal{C} (en tant que fonction $\mathbb{N}_1 \rightarrow Y$) vérifiant les conditions $\delta(y_n, y_{n+1}, n+1) \leq 1/2^n$ et $x = \lim_{n \rightarrow \infty} \eta(y_n)$.

Nous laissons à la lectrice ou au lecteur le soin de vérifier que les deux définitions 2.1.4 et 2.1.4bis sont équivalentes. Nous passons maintenant à la définition de la complexité pour une famille de points (avec un ensemble d'indices discret)

Définition 2.1.7 (complexité d'une famille de points dans un espace métrique rationnellement présenté). On considère un préensemble discret Z (c'est l'ensemble des indices de la famille, il est donné comme une partie d'un langage A^* sur un alphabet fini A) et un espace métrique complet X donné dans une présentation de classe $\mathcal{C}' : (Y, \delta, \eta)$. Une fonction (ou famille) $f: Z \rightarrow X$ est dite de classe \mathcal{C} lorsqu'on connaît une fonction $\varphi : Z \times \mathbb{N}_1 \rightarrow Y$ qui est de classe \mathcal{C} et qui vérifie $d_X(f(z), \eta(\varphi(z, n))) \leq 1/2^n$ pour tout $z \in Z$. On dit alors que φ est *une présentation de classe \mathcal{C} de la famille $f(z)_{z \in Z}$ de points de X* .

Exemples 2.1.8.

— Lorsque $Z = \mathbb{N}_1$ et $X = \mathbb{R}$ la définition ci-dessus correspond à la notion usuelle de “suite de réels de classe \mathcal{C} ” (on dit encore : *une \mathcal{C} -suite dans \mathbb{R}*).

— La définition d'un espace rationnellement présenté dans la classe \mathcal{C} peut être relue de la manière suivante. On donne :

- une \mathcal{C} -partie Y d'un langage A^* .
- une fonction $\varphi: Y \rightarrow X$ telle que $\varphi(Y)$ soit dense dans X et telle que la famille de nombres réels $Y \times Y \rightarrow \mathbb{R}, (y_1, y_2) \mapsto d_X(\varphi(y_1), \varphi(y_2))$ soit de classe \mathcal{C} .

Proposition 2.1.9. *Soit (x_n) une suite de classe \mathcal{C} (l'ensemble d'indices est \mathbb{N}_1) dans un espace métrique rationnellement présenté (X, d) . Si la suite est explicitement de Cauchy avec la majoration $d(x_n, x_{n+1}) \leq 1/2^n$ alors la limite de la suite est un point de classe \mathcal{C} dans X .*

Démonstration. Soient (Y, δ, η) une représentation rationnelle de (X, d) et x la limite de la suite (x_n) . La suite (x_n) est de classe \mathcal{C} dans X , donc il existe une fonction $\psi: \mathbb{N}_1 \times \mathbb{N}_1 \rightarrow Y$ de classe \mathcal{C} telle que :

$$d(x_n, \psi(n, m)) \leq 1/2^m \quad \text{pour tout } n, m \in \mathbb{N}_1.$$

On pose $z_n = \psi(n+1, n+1)$, c'est une suite de classe \mathcal{C} et

$$d(x, z_n) \leq d(x, x_{n+1}) + d(x_{n+1}, \psi(n+1, n+1)) \leq 1/2^{n+1} + 1/2^{n+1} = 1/2^n.$$

Donc x est un \mathcal{C} -point dans X . □

Remarque 2.1.10. Si on ralentit suffisamment la vitesse de convergence de la suite de Cauchy, on peut obtenir comme point limite d'une suite de classe $\text{DTIME}(n^2)$ un point récursif arbitraire de X (cf. [16] pour l'espace $[0, 1]$).

Définition 2.1.7bis (*complexité d'une famille de points dans un espace métrique rationnellement présenté, version plus explicite*) On considère un préensemble discret Z (une partie d'un langage A^*) et un espace métrique complet X donné dans une présentation de classe $\mathcal{C}' : (Y, \delta, \eta)$. Une famille $f : Z \rightarrow X$ est dite de classe \mathcal{C} si on a une fonction $\varphi : Z \times \mathbb{N}_1 \rightarrow Y$ de classe \mathcal{C} qui vérifie $\delta(\varphi(z, n), \varphi(z, n+1), n+1) \leq 1/2^n$ et $f(z) = \lim_{n \rightarrow \infty} \eta(\varphi(z, n))$ pour tout $z \in Z$.

2.2 Complexité des fonctions uniformément continues

Nous commençons par donner une définition “raisonnable” qui sera justifiée par les exemples et propositions qui suivent.

Définition 2.2.1 (*complexité des fonctions uniformément continues entre espaces métriques rationnellement présentés*). On considère deux espaces métriques complets X_1 et X_2 donnés dans des présentations de classe $\mathcal{C}' : (Y_1, \delta_1, \eta_1)$ et (Y_2, δ_2, η_2) . Soient $f : X_1 \rightarrow X_2$ une fonction uniformément continue et $\mu : \mathbb{N}_1 \rightarrow \mathbb{N}_1$ une suite d'entiers.

On dira que μ est un *module de continuité uniforme* pour la fonction f si on a :

$$d_{X_1}(x, y) \leq 1/2^{\mu(n)} \Rightarrow d_{X_2}(f(x), f(y)) \leq 1/2^n \text{ pour tous } x, y \in X_1 \text{ et } n \in \mathbb{N}_1$$

On dira que la fonction f est *uniformément de classe \mathcal{C}* (pour les présentations considérées) lorsque

- elle possède un module de continuité uniforme $\mu : \mathbb{N}_1 \rightarrow \mathbb{N}_1$ dans la classe \mathcal{C}
- la restriction de f à Y_1 est dans la classe \mathcal{C} au sens de la définition 2.1.7, c.-à-d. qu'elle est présentée par une fonction $\varphi : \mathbb{N}_1 \times Y_1 \rightarrow Y_2$ qui est de classe \mathcal{C} et qui vérifie :

$$d_{X_2}(f(y), \eta_2(\varphi(y, n))) \leq 1/2^n \text{ pour tout } y \in Y_1.$$

Lorsque $X_1 = X_2 = X$ la fonction Id_X admet $\text{Id}_{\mathbb{N}_1}$ pour module de continuité uniforme. Si les deux fonctions Id_X (de X_1 vers X_2 et de X_2 vers X_1) sont dans la classe \mathcal{C} on dira que *les deux présentations sont (uniformément) \mathcal{C} -équivalentes*.

Remarques 2.2.2.

- 1) On ne demande pas que, pour n fixé, la fonction $y \mapsto \varphi(y, n)$ soit uniformément continue sur Y_1 ni même qu'elle soit continue en chaque point de Y_1 .
- 2) Notez que la définition ici donne un module de continuité uniforme correspondant (à très peu près) à la définition donnée en théorie classique de l'approximation. On appelle en général module de continuité uniforme une suite croissante d'entiers $\mathbb{N} \rightarrow \mathbb{Z} : n \mapsto \nu(n)$ qui tend vers $+\infty$ et qui vérifie :

$$d_{X_1}(x, y) \leq 1/2^n \Rightarrow d_{X_2}(f(x), f(y)) \leq 1/2^{\nu(n)}$$

La fonction ν est en quelques sorte “réciproque” de la fonction μ .

Exemples 2.2.3.

— Lorsque $X_1 = [0, 1]$ et $X_2 = \mathbb{R}$ et lorsque \mathcal{C} est une classe de complexité en temps ou en espace *élémentairement stable*, la définition ci-dessus est équivalente à la notion usuelle de fonction réelle calculable dans la classe \mathcal{C} (cf. [16], [19]), comme nous le prouverons en détail à la proposition 4.1.5.

— Lorsque X_1 est un espace métrique discret la définition 2.2.1 redonne la définition 2.1.7.

La définition 2.2.1 rend accessible la notion de complexité pour les fonctions uniformément continues. Cela traite donc toutes les fonctions continues dans le cas où l'espace de départ est compact. Rappelons à ce sujet qu'en analyse constructive on définit, dans le cas d'un espace compact, la continuité comme signifiant la continuité uniforme (cf. [5]) et non pas la continuité en tout point.

Remarque 2.2.4. Le contrôle de la continuité donné par le module de continuité uniforme est essentiel dans la définition 2.2.1. On peut par exemple définir une fonction $\varphi : [0, 1] \rightarrow \mathbb{R}$ qui est continue au sens classique, dont la restriction à $\mathbb{D}_{[0,1]} = \mathbb{D} \cap [0, 1]$ est LINTIME mais qui ne possède pas de module de continuité uniforme récursif. Pour cela on considère une fonction

$\theta: \mathbb{N} \rightarrow \mathbb{N}$ de classe LINTIME injective et d'image non récursive. Pour chaque $m \in \mathbb{N}_1$ on considère $n = \theta(m)$, $a_n = 1/(3 \cdot 2^n)$ et on définit $\psi_m: [0, 1] \rightarrow \mathbb{R}$ partout nulle sauf sur un intervalle centré en a_n sur lequel le graphe de ψ_m fait une pointe de hauteur $1/2^n$ avec une pente égale à $1/2^m$. Enfin, on définit φ comme la somme de la série $\sum_m \psi_m$. Bien que la suite $\varphi(a_n)$ ne soit pas une suite récursive de nombres réels (ce qui implique d'ailleurs que φ ne puisse avoir de module de continuité uniforme récursif), la restriction de φ aux nombres dyadiques est très facile à calculer (les nombres réels litigieux a_n ne sont pas des dyadiques). Cet exemple met bien en évidence que *la définition classique de la continuité (la continuité en tout point) ne permet pas d'avoir accès au calcul des valeurs de la fonction à partir de sa restriction à une partie dense de l'espace de départ.*

Remarque 2.2.5. Dans [16] il est “démonstré” que si une fonctionnelle définie via une machine de Turing à oracle (MTO) calcule une fonction de $[0, 1]$ vers \mathbb{R} , alors la fonction possède un module de continuité uniforme récursif. Si on évite tout recours aux principes non constructifs (caché dans le théorème de Heine-Borel), la preuve de [16] peut être facilement transformée en une preuve constructive du théorème suivant : si une fonction $f: [0, 1] \rightarrow \mathbb{R}$ est uniformément continue et calculable par une MTO, alors son module de continuité uniforme est récursif.

A contrario, si on fait l'hypothèse (nullement invraisemblable) selon laquelle tout oracle d'une machine de Turing serait fourni par un procédé mécanique (mais inconnu), il est possible de définir des fonctions “pathologiques” de $[0, 1]$ dans \mathbb{R} au moyen de machines de Turing à oracles : ce sont des fonctions continues en tout point réel récursif mais non uniformément continues. Ceci est basé sur l’“arbre singulier de Kleene” : un arbre binaire récursif infini qui ne possède aucune branche infinie récursive. Cf. [3], théorème de la section 7 du chapitre 4, page 70 où est donnée une fonction $t(x)$ continue en tout point réel récursif sur $[0, 1]$, mais qui n'est pas bornée (donc pas uniformément continue) sur cet intervalle.

Il semble étrange que dans une preuve concernant les questions de calculabilité, on puisse utiliser sans même la mentionner l'hypothèse que les oracles d'une MTO se comportent de manière antagonique avec la Thèse de Church (du moins sous la forme où elle est admise dans le constructivisme russe).

On vérifie sans peine que la définition 2.2.1 peut être traduite sous la forme plus explicite suivante.

Définition 2.2.1bis (*complexité des fonctions uniformément continues entre espaces métriques rationnellement présentés, forme plus explicite*) On considère deux espaces métriques complets X_1 et X_2 donnés dans des présentations de classe $\mathcal{C}' : (Y_1, \delta_1, \eta_1)$ et (Y_2, δ_2, η_2) . Une fonction uniformément continue $f: X_1 \rightarrow X_2$ est dite *uniformément de classe \mathcal{C}* (pour les présentations considérées) lorsqu'elle est présentée au moyen de deux données :

— la restriction de f à Y_1 est présentée par une fonction $\varphi: Y_1 \times \mathbb{N}_1 \rightarrow Y_2$ qui est de classe \mathcal{C} et qui vérifie :

$$\delta_2(\varphi(y, n), \varphi(y, n+1), n+1) \leq 1/2^n \text{ pour tout } y \in Y_1.$$

avec $f(y) = \lim_{n \rightarrow \infty} \eta_2(\varphi(y, n))$.

— une suite $\mu: \mathbb{N}_1 \rightarrow \mathbb{N}_1$ dans la classe \mathcal{C} vérifiant : pour tous x et y dans Y_1

$$\delta_1(x, y, \mu(n)) \leq 1/2^{\mu(n)} \Rightarrow \delta_2(\varphi(x, n+2), \varphi(y, n+2), n+2) \leq 1/2^n.$$

Les résultats qui suivent sont faciles à établir.

Proposition 2.2.6. *La composée de deux fonctions uniformément de classe \mathcal{C} est une fonction uniformément de classe \mathcal{C} .*

Proposition 2.2.7. *L'image d'un point (respectivement d'une famille de points) de classe \mathcal{C} par une fonction uniformément de classe \mathcal{C} est un point (respectivement d'une famille de points) de classe \mathcal{C} .*

Remarque 2.2.8. Considérons deux présentations rationnelles d'un même espace métrique complet X données par les deux familles de points rationnels respectifs $(\tilde{y})_{y \in Y}$ et $(\tilde{z})_{z \in Z}$. Si la première famille est LINTIME pour la première présentation elle peut naturellement être de

plus grande complexité pour la deuxième.

De manière générale, dire que l'identité de X est uniformément de classe \mathcal{C} lorsqu'on passe de la première à la deuxième présentation revient exactement à dire que la famille $(\tilde{y})_{y \in Y}$ est une \mathcal{C} -famille de points pour la deuxième présentation.

Ainsi deux présentations de X sont \mathcal{C} -équivalentes si et seulement si la famille $(\tilde{y})_{y \in Y}$ est une famille de classe \mathcal{C} dans la seconde présentation et $(\tilde{z})_{z \in Z}$ est une famille de classe \mathcal{C} dans la première. La proposition 2.2.7 nous permet de formuler un résultat analogue et plus intrinsèque : deux présentations rationnelles d'un même espace métrique complet sont \mathcal{C} -équivalentes si et seulement si elles définissent les mêmes familles de points de classe \mathcal{C} .

Nous passons maintenant à la définition de la complexité pour une famille de fonctions uniformément continues (avec un ensemble d'indices discret).

Définition 2.2.9 (complexité d'une famille de fonctions uniformément continues entre espaces métriques rationnellement présentés). On considère un préensemble discret Z (c'est l'ensemble des indices de la famille, il est donné comme une partie d'un langage A^* sur un alphabet fini A) et deux espaces métriques complets X_1 et X_2 donnés dans des présentations de classe \mathcal{C}' : (Y_1, δ_1, η_1) et (Y_2, δ_2, η_2) .

Nous notons $\mathbf{U}(X_1, X_2)$ l'ensemble des fonctions uniformément continues de X_1 dans X_2 . Une famille de fonctions uniformément continues $f: Z \rightarrow \mathbf{U}(X_1, X_2)$ est dite *uniformément de classe \mathcal{C}* (pour les présentations considérées) lorsque

— la famille possède un module de continuité uniforme $\mu: Z \times \mathbb{N}_1 \rightarrow \mathbb{N}_1$ dans la classe \mathcal{C} : la fonction μ doit vérifier

$$\forall n \in \mathbb{N}_1 \quad \forall x, y \in X_1 \quad (d_{X_1}(x, y) \leq 1/2^{\mu(f, n)} \Rightarrow d_{X_2}(\tilde{f}(x), \tilde{f}(y)) \leq 1/2^n)$$

— la famille $(f, x) \mapsto \tilde{f}(x): Z \times X_2 \rightarrow X_2$ est une famille de points dans X_2 de classe \mathcal{C} au sens de la définition 2.1.7, c.-à-d. qu'elle est présentée par une fonction $\varphi: Z \times Y_1 \times \mathbb{N}_1 \rightarrow Y_2$ qui est de classe \mathcal{C} et qui vérifie :

$$d_{X_2}(\tilde{f}(x), \varphi(f, x, n)) \leq 1/2^n \text{ pour tout } (f, x, n) \in Z \times Y_1 \times \mathbb{N}.$$

Remarque 2.2.10. La notion définie en 2.2.9 est naturelle car elle est la relativisation à la classe \mathcal{C} de la notion constructive de famille de fonctions uniformément continues. Mais cette notion naturelle ne semble pas pouvoir se déduire de la définition 2.2.1 en munissant $Z \times X_1$ d'une structure convenable d'espace métrique rationnellement présenté et en demandant que la fonction $(f, x) \mapsto \tilde{f}(x); Z \times X_2 \rightarrow X_2$ soit uniformément de classe \mathcal{C} . Si par exemple, on prend sur $Z \times X_1$ la métrique déduite de la métrique discrète de Z et de la métrique de X_1 on obtiendra la deuxième des conditions de la définition 2.2.9 mais la première sera remplacée par la demande que toutes les fonctions de la famille aient un même module de continuité uniforme de classe \mathcal{C} . C'est-à-dire que la famille devrait être uniformément équicontinue. Cette condition est intuitivement trop forte. Les propositions 2.2.11 et 2.2.12 qui suivent sont une confirmation que la définition 2.2.9 est convenable.

Les propositions 2.2.6 et 2.2.7 se généralisent au cas des familles de fonctions. Les preuves ne présentent aucune difficulté.

Proposition 2.2.11. Soient deux espaces métriques complets X_1 et X_2 rationnellement présentés. Soit $(\tilde{f})_{f \in Z}$ une famille dans $\mathbf{U}(X_1, X_2)$ uniformément de classe \mathcal{C} et $(x_n)_{n \in \mathbb{N}_1}$ une famille de classe \mathcal{C} dans X_1 .

Alors la famille $(\tilde{f}(x_n))_{(f, n) \in Z \times \mathbb{N}_1}$ est une famille de classe \mathcal{C} dans X_2 .

Proposition 2.2.12. Soient trois espaces métriques complets X_1 , X_2 et X_3 rationnellement présentés. Soit $(\tilde{f})_{f \in Z}$ une famille dans $\mathbf{U}(X_1, X_2)$ uniformément de classe \mathcal{C} et $(\tilde{g})_{g \in Z'}$ une famille dans $\mathbf{U}(X_2, X_3)$ uniformément de classe \mathcal{C} .

Alors la famille $(\tilde{f} \circ \tilde{g})_{(f, g) \in Z \times Z'}$ dans $\mathbf{U}(X_1, X_3)$ est uniformément de classe \mathcal{C} .

2.3 Complexité des fonctions “localement uniformément continues”

La notion de complexité définie au paragraphe précédent pour les fonctions uniformément continues est entièrement légitime lorsque l'espace de définition est compact. Dans le cas d'un espace localement compact au sens de Bishop⁶ les fonctions continues sont les fonctions uniformément continues sur tout borné (du point de vue classique c'est un théorème, du point de vue constructif, c'est une définition). Ceci conduit à la notion de complexité naturelle suivante.

Définition 2.3.1. On considère deux espaces métriques complets X_1 et X_2 donnés dans des présentations de classe $\mathcal{C}' : (Y_1, \delta_1, \eta_1)$ et (Y_2, δ_2, η_2) . On suppose avoir spécifié un point x_0 de X_1 et un point y_0 de X_2 . Une fonction $f : X_1 \rightarrow X_2$ est dite *localement uniformément continue* si elle est uniformément continue et bornée sur toute partie bornée.

Elle est dite *localement uniformément de classe \mathcal{C}* (pour les présentations considérées) lorsque — elle possède dans la classe \mathcal{C} une borne sur tout borné, c.-à-d. une \mathcal{C} -suite $\beta : \mathbb{N}_1 \rightarrow \mathbb{N}_1$ vérifiant, pour tout x dans X_1 et tout m dans \mathbb{N}_1 :

$$d_{X_1}(x_0, x) \leq 1/2^m \Rightarrow d_{X_2}(y_0, f(x)) \leq 1/2^{\beta(m)};$$

— elle possède dans la classe \mathcal{C} un module de continuité uniforme sur tout borné, c.-à-d. une \mathcal{C} -fonction $\mu : \mathbb{N}_1 \times \mathbb{N}_1 \rightarrow \mathbb{N}_1$ vérifiant, pour x, z dans X_1 et n, m dans \mathbb{N}_1 :

$$\left(d_{X_1}(x_0, x) \leq 1/2^m, d_{X_1}(x_0, z) \leq 1/2^m, d_{X_1}(x, z) \leq 1/2^{\mu(m, n)} \right) \Rightarrow d_{X_2}(f(x), f(z)) \leq 1/2^n;$$

— la restriction de f à Y_1 est dans la classe \mathcal{C} au sens de la définition 2.1.7, c.-à-d. qu'elle est présentée par une \mathcal{C} -fonction $\varphi : \mathbb{N}_1 \times Y_1 \rightarrow Y_2$ qui vérifie :

$$d_{X_2}(f(y), \varphi(y, n)) \leq 1/2^n \text{ pour tout } y \in Y_1.$$

Notez que la notion définie ci-dessus ne dépend pas du choix des points x_0 et y_0 .

Exemples 2.3.2.

— Lorsque $X_1 = \mathbb{R}$ et $X_2 = \mathbb{R}$ la définition ci-dessus est équivalente à la notion naturelle de fonction réelle calculable dans la classe \mathcal{C} telle qu'on la trouve dans [14] et [19].

— La fonction $x \mapsto x^2$ est localement uniformément continue de classe QL mais elle n'est pas uniformément continue sur \mathbb{R} .

Remarques 2.3.3.

1) Lorsque f est une fonction uniformément continue, la définition 2.3.1 et la définition 2.2.1 se ressemblent beaucoup. Cependant la définition 2.2.1 est a priori plus contraignante. En effet, si $\mu(n)$ est un module de continuité dans la définition 2.2.1, alors on peut prendre dans la définition 2.3.1 $\mu'(m, n) = \mu(n)$. Mais réciproquement, supposons qu'on ait un module de continuité uniforme sur tout borné vérifiant $\mu'(m, n) = \inf(m, 2^n)$ alors, la fonction est uniformément continue mais le meilleur module de continuité uniforme qu'on puisse en déduire est

$$\mu(n) = \mathbf{Sup} \{ \mu'(m, n); m \in \mathbb{N} \} = 2^n$$

et il a un taux de croissance exponentiel alors que $\mu'(m, n)$ est linéaire. Ainsi la fonction f peut être de complexité linéaire en tant que fonction localement uniformément continue, et exponentielle en tant que fonction uniformément continue. Les deux définitions sont équivalentes si l'espace X_1 a un diamètre fini.

2) En analyse constructive un espace compact est un espace précompact et complet. Il n'est pas possible de démontrer constructivement que toute partie fermée d'un espace compact est compacte. Un espace (uniformément) localement compact est un espace métrique complet dans lequel tout borné est contenu dans un compact K_n , où la suite (K_n) est une suite croissante donnée une fois pour toutes (par exemple le compact K_n contient la boule $B(x_0, 2^n)$). Une fonction définie sur un tel espace est alors dite continue si elle est uniformément continue sur toutes les parties bornées. En particulier elle est bornée sur toute partie bornée. La définition

6. I.e., toute partie bornée est contenu dans un compact, [5].

2.3.1 permet donc de donner dans ce cas une version “complexité” de la définition constructive de la continuité.

3) La proposition 2.2.6 sur la composition des fonctions uniformément de classe \mathcal{C} reste valable pour les fonctions localement uniformément de classe \mathcal{C} . La proposition 2.2.7 également.

2.4 Une approche générale de la complexité des fonctions continues

La question de la complexité des fonctions continues n’est manifestement pas épuisée. Comme nous l’avons déjà signalé, s’il est bien vrai qu’une fonction continue $f(x)$ est classiquement bien connue à partir d’une présentation $(y, n) \mapsto \varphi(y, n)$ qui permet de la calculer avec une précision arbitraire sur une partie dense Y de X , la complexité de φ ne peut être tenue que pour un pâle reflet de la complexité de f (cf. les remarques 2.2.4 et 2.3.3(1)). Une question cruciale, et peu étudiée jusqu’à présent, est de savoir jusqu’à quel point on peut certifier qu’une telle donnée φ correspond bien à une fonction continue f . Dans le cas d’une réponse positive, il faut expliquer par quelle procédure on peut calculer des valeurs approchées de $f(x)$ lorsque x est un point arbitraire de X (donné par exemple par une suite de Cauchy de points rationnels de la présentation dans le cas d’un espace métrique rationnellement présenté).

Nous proposons une approche un peu informelle de cette question. Soit $\phi: X_1 \rightarrow X_2$ une fonction entre espaces métriques et $(F_\alpha)_{\alpha \in M}$ une famille de parties de X_1 . Un module de continuité uniforme pour ϕ près de chaque partie F_α est par définition une fonction $\mu: M \times \mathbb{N}_1 \rightarrow \mathbb{N}_1$ vérifiant :

$$\forall \alpha \in M \forall x \in F_\alpha \forall x' \in X_1 \quad \left(d_{X_1}(x, x') \leq 1/2^{\mu(\alpha, n)} \Rightarrow d_{X_2}(\phi(x), \phi(x')) \leq 1/2^n \right).$$

Définition 2.4.1 (définition générale mais un peu informelle pour ce qu’est une fonction continue et ce qu’est sa complexité). On considère deux espaces métriques complets X_1 et X_2 donnés dans des présentations rationnelles de classe \mathcal{C}' : (Y_1, δ_1, η_1) et (Y_2, δ_2, η_2) . On suppose avoir spécifié un point y_0 de X_2 .

Supposons que nous ayons défini une famille $F_{X_1} = (F_\alpha)_{\alpha \in M}$ de parties de X_1 avec la propriété suivante :

— (2.4.1.1) tout compact de X_1 est contenu dans un des F_α .

On dira qu’une fonction $\phi: X_1 \rightarrow X_2$ est F_{X_1} -uniformément continue si elle est bornée sur chaque partie F_α et si elle possède un module de continuité uniforme près de chaque partie F_α .

Supposons maintenant en plus que la famille $(F_\alpha)_{\alpha \in M}$ ait la propriété suivante :

— (2.4.1.2) l’ensemble d’indices M a une certaine “structure de calculabilité”

On dira qu’une fonction $\phi: X_1 \rightarrow X_2$ est F_{X_1} -uniformément continue de classe \mathcal{C} si elle vérifie les propriétés suivantes :

— une borne sur chaque partie F_α peut être calculée en fonction de α dans la classe \mathcal{C} , c.-à-d. qu’on a une fonction de classe \mathcal{C} , $\beta: M \rightarrow \mathbb{N}_1$ vérifiant :

$$\forall \alpha \in M \forall x \in F_\alpha \quad d_{X_2}(y_0, \phi(x)) \leq 2^{\beta(\alpha)},$$

— un module de continuité uniforme près de F_α peut être calculé dans la classe \mathcal{C} : une fonction $\mu: M \times \mathbb{N}_1 \rightarrow \mathbb{N}_1$ dans la classe \mathcal{C} vérifiant :

$$\forall \alpha \in M \forall x \in F_\alpha \forall x' \in X_1 \quad \left(d_{X_1}(x, x') \leq 1/2^{\mu(\alpha, n)} \Rightarrow d_{X_2}(\phi(x), \phi(x')) \leq 1/2^n \right),$$

— la restriction de ϕ à Y_1 est calculable dans la classe \mathcal{C} .

Il s’agit manifestement d’une extension des définitions 2.2.1 et 2.3.1. Le caractère informel de la définition tient évidemment à “la structure de calculabilité” de M .

A priori on voudrait prendre pour $(F_\alpha)_{\alpha \in M}$ une famille de parties suffisamment simple pour vérifier la condition (2.4.1.2) et suffisamment grande pour vérifier la condition (2.4.1.1).

Mais ces deux conditions tirent dans deux sens opposés.

Notez que la définition 2.4.1 est inspirée de la notion de fonction continue définie par D. Bridges dans [8, Constructive functional analysis].

2.5 Ouverts et fermés

Nous passons à la définition d'une structure de calculabilité pour un sous-espace ouvert U d'un espace métrique X muni d'une structure de calculabilité. La métrique induite par X sur U ne saurait en général nous satisfaire car l'espace obtenu n'est généralement pas complet. On a néanmoins une construction qui fonctionne dans un cas particulier important.

Soient X un espace métrique complet et $f: X \rightarrow \mathbb{R}$ une fonction localement uniformément continue. L'ouvert $U_f = \{x \in X; f(x) > 0\}$ est un espace métrique complet pour la distance d_f définie par :

$$d_f(x, y) = d_X(x, y) + |1/f(x) - 1/f(y)|$$

Proposition et définition 2.5.1. Soient X un espace métrique complet donné avec une \mathcal{C} -présentation (Y, δ, η) , et $f: X \rightarrow \mathbb{R}$ une fonction localement uniformément de classe \mathcal{C} représentée par un module de continuité uniforme et une fonction discrète de classe \mathcal{C} , $\varphi: Y \times \mathbb{N}_1 \rightarrow \mathbb{D}$. Alors l'espace métrique complet (U_f, d_f) peut être muni d'une \mathcal{C} -présentation où l'ensemble des points rationnels est (codé par) l'ensemble Y_U des couples (y, n) de $Y \times \mathbb{N}_1$ vérifiant :

$$n \geq 10 \quad \text{et} \quad \varphi(y, n) \geq 1/2^{n/8}$$

Démonstration. Une preuve détaillée est donnée dans [25]. □

Nous attaquons maintenant la définition d'une structure de calculabilité pour un sous-espace fermé F d'un espace métrique X muni d'une structure de calculabilité. En analyse constructive, un sous-ensemble fermé n'est vraiment utile que lorsqu'il est situé, c.-à-d. lorsque la fonction D_F distance au fermé est calculable. Au moment de traduire cette notion en termes de calculabilité récursive ou de complexité, nous devons prendre garde que dans la définition constructive, le fait que la fonction D_F est la fonction distance au fermé doit être aussi rendu explicite.

Définition 2.5.2. On considère un espace métrique complet X donné par une \mathcal{C} -présentation (Y, δ, η) . Une partie F de X est appelée *un fermé \mathcal{C} -situé de X* si :

- i) la fonction $D_F: x \mapsto d_X(x, F)$ de X vers $\mathbb{R}^{\geq 0}$ est calculable dans la classe \mathcal{C} ,
- ii) il existe une fonction calculable dans la classe \mathcal{C} : $P_F: Y \times \mathbb{N}_1 \rightarrow X$ qui certifie la fonction D_F au sens suivant : pour tout $(y, n) \in Y \times \mathbb{N}_1$,

$$D_F(P_F(y, n)) = 0, \quad d_X(y, P_F(y, n)) \leq D_F(y) + 1/2^n$$

Remarques 2.5.3.

- 1) La fonction $P_F(y, n)$ calcule un élément de F dont la distance à y est suffisamment proche de $D_F(y)$. Cependant, la fonction $P_F(y, n)$ ne définit pas en général, par prolongement par continuité à X et par passage à la limite lorsque n tend vers ∞ , un projecteur sur le fermé F .
- 2) On peut démontrer que les points $P_F(y, n)$ (codés par les couples $(y, n) \in Y \times \mathbb{N}_1$) forment une partie dénombrable dense de F qui est l'ensemble des points rationnels d'une \mathcal{C} -présentation de F (cf. [25]).

2.6 Espaces de Banach rationnellement présentés

Nous donnons une définition minimale. Il va de soi que pour chaque espace de Banach particulier, des notions de complexité naturellement attachées à l'espace considéré peuvent éventuellement être prises en compte en plus pour obtenir une notion vraiment raisonnable.

Définition 2.6.1 (présentation rationnelle d'un espace de Banach). Une présentation rationnelle d'un espace de Banach séparable X sur le corps \mathbb{K} (\mathbb{R} ou \mathbb{C}) sera dite de classe \mathcal{C} si, d'une part elle est de classe \mathcal{C} en tant que présentation de l'espace métrique et, d'autre part les opérations d'espace vectoriel suivantes sont dans la classe \mathcal{C}

- le produit par un scalaire,
- la somme d'une liste de vecteurs choisis parmi les points rationnels.

Dans le contexte du corps des complexes \mathbb{C} nous désignerons par $\mathbb{D}_{\mathbb{K}}$ l'ensemble des complexes dont les parties réelle et imaginaire sont dans \mathbb{D} . Dans le contexte réel $\mathbb{D}_{\mathbb{K}}$ sera seulement une autre dénomination de \mathbb{D} .

La proposition suivante n'est pas difficile à établir.

Proposition 2.6.2. *Donner une présentation rationnelle de classe \mathcal{C} d'un espace de Banach X au sens de la définition ci-dessus revient à donner :*

— *un codage de classe \mathcal{C} pour une partie dénombrable G de X qui engendre X en tant qu'espace de Banach⁷,*

— *une application $\nu: \text{lst}(\mathbb{D}_{\mathbb{K}} \times G) \times \mathbb{N}_1 \rightarrow \mathbb{D}$ qui est dans la classe \mathcal{C} (pour le codage de G considéré) et qui calcule la norme d'une combinaison linéaire d'éléments de G au sens suivant : pour tout $([(x_1, g_1), (x_2, g_2), \dots, (x_n, g_n)], m)$ dans $\text{lst}(\mathbb{D}_{\mathbb{K}} \times G) \times \mathbb{N}_1$, on a la majoration*

$$\left| \nu([(x_1, g_1), (x_2, g_2), \dots, (x_n, g_n)], m) - \|x_1 \cdot g_1 + x_2 \cdot g_2 + \dots + x_n \cdot g_n\|_X \right| \leq 1/2^m.$$

Remarques 2.6.3.

1) Comme pour la définition 2.1.1 (cf. remarque 2.1.2 (3)), il se peut que le certificat d'inclusion de G dans X implique une notion de complexité, qu'il sera inévitable de prendre en compte dans une définition plus précise, au cas par cas.

2) Les espaces $L^p(\mathbb{R})$ de l'analyse fonctionnelle, avec $1 \leq p < \infty$ peuvent être rationnellement présentés de différentes manières, selon différents choix possibles pour l'ensemble des points rationnels et un codage de cet ensemble. Tous les choix raisonnables s'avèrent donner des présentations Prim-équivalentes.

3) Il serait intéressant de savoir si le cadre de travail proposé par M. Pour El et I. Richards [31] concernant la calculabilité dans les espaces de Banach peut avoir des conséquences concrètes qui iraient au delà de ce qui peut être traité par les présentations rationnelles (lesquelles offrent un cadre naturel non seulement pour les problèmes de récursivité mais aussi pour les problèmes de complexité). Le "contre-exemple" concernant L^∞ donné dans [31] incite à penser le contraire.

3 Espace des fonctions réelles continues sur un intervalle compact, premières propriétés

Dans cette section, nous introduisons le problème des présentations rationnelles pour l'espace $\mathbf{C}[0, 1]$: l'espace des fonctions réelles uniformément continues sur l'intervalle $[0, 1]$, muni de la norme usuelle :

$$\|f\|_\infty = \mathbf{Sup}\{|f(x)|; 0 \leq x \leq 1\}.$$

Considérons une présentation rationnelle de l'espace $\mathbf{C}[0, 1]$ donnée par une famille $(\tilde{f})_{f \in Y}$ de fonctions uniformément continues indexée par une partie Y d'un langage A^* . Nous sommes intéressés par les problèmes de complexité suivants :

— la complexité de l'ensemble des codes des points rationnels de la présentation, c.-à-d. plus précisément la complexité de Y en tant que partie du langage A^* (c.-à-d. la complexité du test d'appartenance) ;

— la complexité des opérations d'espace vectoriel (le produit par un scalaire d'une part, la somme d'une liste de vecteurs d'autre part) ;

— la complexité du calcul de la norme (ou de la fonction distance) ;

— la complexité de l'ensemble $(\tilde{f})_{f \in Y}$ des points rationnels de la présentation, en tant que famille de fonctions uniformément continues sur $[0, 1]$;

— la complexité de la fonction d'évaluation $\text{Ev}: \mathbf{C}[0, 1] \times [0, 1] \rightarrow \mathbb{R}: (g, x) \mapsto g(x)$.

Il va de soi que l'on peut remplacer l'intervalle $[0, 1]$ par un autre intervalle $[a, b]$ avec a et b dans \mathbb{D} ou de faible complexité dans \mathbb{R} .

7. On peut supposer que tous les éléments de G sont des vecteurs de norme comprise entre $1/2$ et 1 .

3.1 La définition d'une présentation rationnelle de l'espace des fonctions continues

La complexité de l'ensemble $(\tilde{f})_{f \in Y}$ des points rationnels de la présentation, en tant que famille de fonctions uniformément continues sur $[0, 1]$ n'est rien d'autre que la complexité de l'application $f \mapsto \tilde{f}$ de l'ensemble des codes de points rationnels Y vers l'espace $\mathbf{C}[0, 1]$. Nous devons donc, conformément à ce que nous disons dans la remarque 2.1.2(3), inclure dans la définition de ce qu'est une présentation rationnelle de classe \mathcal{C} de $\mathbf{C}[0, 1]$, le fait que $(\tilde{f})_{f \in Y}$ est une famille uniformément de classe \mathcal{C} au sens de la définition 2.2.9. Le problème de la complexité de la fonction d'évaluation est également un problème important car il serait "immoral" que la fonction d'évaluation ne soit pas une fonction de classe \mathcal{C} lorsqu'on a une présentation rationnelle de classe \mathcal{C} . Cependant, la fonction d'évaluation n'est pas uniformément continue, ni même localement uniformément continue.

Pour traiter en général la question des fonctions continues mais non localement uniformément continues sur l'espace $\mathbf{C}[0, 1]$ nous faisons appel à la définition informelle 2.4.1 avec la famille suivante de parties de $\mathbf{C}[0, 1]$:

Notation 3.1.1. Si α est une fonction croissante de \mathbb{N}_1 vers \mathbb{N}_1 et $r \in \mathbb{N}_1$, on note $F_{\alpha, r}$ la partie de $\mathbf{C}[0, 1]$ formée par toutes les fonctions qui, d'une part acceptent α comme module de continuité uniforme, et d'autre part ont leur norme majorée par 2^r .

La "structure de calculabilité" sur l'ensemble d'indices

$$M := \{(\alpha, r); \alpha \text{ est une fonction croissante de } \mathbb{N}_1 \text{ vers } \mathbb{N}_1 \text{ et } r \in \mathbb{N}_1\}$$

n'est pas une chose bien définie dans la littérature, mais nous n'aurons besoin de faire appel qu'à des opérations parfaitement élémentaires comme "évaluer α en un entier n "⁸. Le module de continuité de la fonction d'évaluation est alors très simple (uniformément linéaire pour toute définition raisonnable de cette notion).

En effet, près de la partie $F_{\alpha, r} \times [0, 1]$ de $\mathbf{C}[0, 1] \times [0, 1]$ un module de continuité de la fonction Ev est donné par :

$$\mu(n, \alpha, r) = \max(\alpha(n+1), n+1) \text{ pour } n \in \mathbb{N}_1 \text{ et } (\alpha, r) \in M$$

comme il est très facile de le vérifier. Et la borne sur $F_{\alpha, r}$ est évidemment donnée par $\beta(\alpha, r) = r$. Toute la question de la complexité de la fonction d'évaluation dans une présentation donnée est donc concentrée sur la question de la complexité de la fonction d'évaluation restreinte à l'ensemble des points rationnels

$$(f, x) \mapsto \tilde{f}(x) \quad Y \times \mathbb{D}_{[0,1]} \rightarrow \mathbb{R}.$$

Or cette complexité est subordonnée à celle de $(\tilde{f})_{f \in Y}$ en tant que famille de fonctions uniformément continues : c'est ce que nous précisons dans la proposition suivante (dont la démonstration est immédiate).

Proposition 3.1.2. *Considérons sur l'espace $\mathbf{C}[0, 1]$ la famille de parties $(F_{\alpha, r})_{(\alpha, r) \in M}$ pour contrôler les questions de continuité sur $\mathbf{C}[0, 1]$ (cf. notation 3.1.1 et définition 2.4.1).*

Alors si $(\tilde{f})_{f \in Y}$ est une famille uniformément de classe \mathcal{C} et si on considère la présentation rationnelle de l'espace métrique $\mathbf{C}[0, 1]$ attachée à cette famille considérée comme ensemble des points rationnels de la présentation, la fonction d'évaluation

$$\text{Ev}: \mathbf{C}[0, 1] \times [0, 1] \rightarrow \mathbb{R}: (g, x) \mapsto g(x)$$

est elle-même de classe \mathcal{C} .

Comme en outre nous demandons que la structure d'espace de Banach soit elle-même de classe \mathcal{C} , cela nous donne finalement la définition suivante.

8. Notez que le théorème d'Ascoli classique affirme que toute partie compacte de $\mathbf{C}[0, 1]$ est contenue dans une partie $F_{\alpha, r}$, et que les parties $F_{\alpha, r}$ sont compactes. En mathématiques constructives la partie directe est encore valable, mais la deuxième partie de l'énoncé doit être raffinée, cf [5] chap 4 théorème 4.8, pages 96 à 98.

Définition 3.1.3. Une présentation rationnelle de classe \mathcal{C} de l'espace $\mathbf{C}[0, 1]$ est donnée par une famille de fonctions $(\tilde{f})_{f \in Y}$ qui est une famille uniformément de classe \mathcal{C} , dense dans $\mathbf{C}[0, 1]$ et telle que soient également dans la classe \mathcal{C} les calculs suivants :

- le produit par un scalaire,
- la somme d'une liste de fonctions choisies parmi les points rationnels,
- le calcul de la norme.

Dans toute la suite, nous nous intéresserons à une étude précise des complexités impliquées dans la définition 3.1.3. Notre conclusion est qu'il n'existe pas de paradis en temps polynomial des fonctions continues, du moins si $\mathcal{P} \neq \mathcal{NP}$.

3.2 Deux exemples significatifs de présentations rationnelles de l'espace $\mathbf{C}[0, 1]$

Nous donnons maintenant deux exemples significatifs de présentations de $\mathbf{C}[0, 1]$ (d'autres exemples seront donnés plus loin)

3.2.1 Présentation par circuits semilinéaires binaires

Cette présentation et l'ensemble des codes des points rationnels seront notés respectivement \mathcal{C}_{csl} et \mathbf{Y}_{csl} . Nous appellerons *fonction semilinéaire à coefficients dans \mathbb{D}* une fonction linéaire par morceaux qui est égale à une combinaison par max et min de fonctions $x \mapsto ax + b$ avec a et b dans \mathbb{D} .

Définition 3.2.1. Un *circuit semilinéaire binaire* est un circuit qui a pour portes d'entrée des variables réelles x_i (ici, une seule suffira parce que le circuit calcule une fonction d'une seule variable) et les deux constantes 0 et 1. Il y a une seule porte de sortie.

Les portes qui ne sont pas des portes d'entrée sont de l'un des types suivants :

- des portes à une entrée, des types suivants : $x \mapsto 2x$, $x \mapsto x/2$, $x \mapsto -x$
- des portes à deux entrées, des types suivants : $(x, y) \mapsto x + y$, $(x, y) \mapsto \max(x, y)$, $(x, y) \mapsto \min(x, y)$.

Un circuit semilinéaire binaire avec une seule variable d'entrée définit une fonction semilinéaire à coefficients dans \mathbb{D} . Un tel circuit peut être codé par un programme d'évaluation. L'ensemble \mathbf{Y}_{csl} est l'ensemble (des codes) de ces circuits semilinéaires : ses éléments codent les points rationnels de la présentation \mathcal{C}_{csl} .

Nous verrons plus loin que cette présentation est en quelque sorte la plus naturelle, mais qu'elle manque d'être une présentation de classe \mathcal{P} à cause du calcul de la norme.

On a une majoration facile d'un module de Lipschitz de la fonction définie par le circuit :

$$\left| \tilde{f}(x) - \tilde{f}(y) \right| \leq 2^p |x - y| \quad \text{où } p \text{ est la profondeur du circuit}$$

Ceci donne pour module de continuité uniforme $\mu(k) = k + n$. Ceci implique en particulier qu'on n'a pas besoin de contrôler la précision dans $\mathbb{D}_{[0,1]}$ dans la proposition suivante.

Proposition 3.2.2 (complexité de la famille de fonctions $(\tilde{f})_{f \in \mathbf{Y}_{\text{csl}}}$).

La famille de fonctions $(\tilde{f})_{f \in \mathbf{Y}_{\text{csl}}}$ est uniformément de classe \mathcal{P} . Précisément, cette famille admet $\mu(f, k) = k + \text{prof}(f)$ pour module de continuité uniforme et on peut expliciter une fonction $\varphi : \mathbf{Y}_{\text{csl}} \times \mathbb{D}_{[0,1]} \times \mathbb{N}_1 \rightarrow \mathbb{D}_{[0,1]}$ de classe $\text{DRT}(\text{Lin}, \text{O}(N^2))$ (où N est la taille de l'entrée (f, x, k)) avec

$$\forall (f, x, k) \in \mathbf{Y}_{\text{csl}} \times \mathbb{D}_{[0,1]} \times \mathbb{N}_1 \quad \left| \tilde{f}(x) - \varphi(f, x, k) \right| \leq 1/2^k.$$

Plus précisément encore, comme il n'est pas nécessaire de lire x en entier, la taille de x n'intervient pas, et la fonction φ est dans les classes $\text{DRT}(\text{Lin}, \text{O}(t(f)(\text{prof}(f) + k)))$ et $\text{DSPACE}(\text{O}(\text{prof}(f)(\text{prof}(f) + k)))$.

Démonstration. Pour calculer $\varphi(f, x, k)$ on évalue le circuit f sur l'entrée x dont on ne considère que les $k + 2\text{prof}(f)$ premiers bits, en tronquant le résultat intermédiaire calculé à la porte π à la précision $k + 2\text{prof}(f) - \text{prof}(\pi)$. Enfin, pour le résultat final on ne garde que la précision k . Une telle méthode appliquée naïvement nécessite de garder stockés tous les résultats obtenus à une profondeur fixée p pendant qu'on calcule des résultats à la profondeur $p + 1$. Nous faisons alors $t(f)$ calculs élémentaires ($\bullet + \bullet, \bullet - \bullet, \bullet \times 2, \bullet/2, \max(\bullet, \bullet), \min(\bullet, \bullet)$) sur des objets de taille $\leq k + 2\text{prof}(f)$. Chaque calcul élémentaire prend un temps $O(k + \text{prof}(f))$, et donc le calcul global se fait en temps $O(t(f)(\text{prof}(f) + k))$. Et cela prend aussi un $O(t(f)(\text{prof}(f) + k))$ comme espace de calcul.

Il existe une autre méthode d'évaluation d'un circuit, un peu moins économe en temps mais nettement plus économe en espace, suivant l'idée de Borodin [6]. Avec une telle méthode on économise l'espace de calcul qui devient un $O(\text{prof}(f)(\text{prof}(f) + k))$. \square

Remarque 3.2.3. Nous n'avons pas pris en compte dans notre calcul le problème posé par la gestion de $t = t(f)$ objets (ici des nombres dyadiques) de tailles majorées par $s = \text{prof}(f) + k$. Dans le modèle RAM cette gestion serait a priori en temps $O(\text{tlg}(t)s)$ ce qui n'augmente pas sensiblement le $O(ts)$ que nous avons trouvé, et ce qui reste en $O(N^2)$ si on se rappelle que le codage du circuit semilinéaire par un programme d'évaluation lui donne une taille de $O(\text{tlg}(t))$. Dans le modèle des machines de Turing par contre, cette gestion réclame a priori un temps $O(t^2s)$ car il faut parcourir t fois la bande où sont stockés les objets sur une longueur totale $\leq ts$. Nous avons donc commis une certaine sous-estimation en nous concentrant sur le problème que nous considérons comme central : estimer le coût total des opérations arithmétiques proprement dites. Nous omettrons dans la suite systématiquement le calcul du *temps de gestion* des valeurs intermédiaires (très sensible au modèle de calcul choisi) chaque fois qu'il s'agira d'évaluer des circuits.

3.2.2 Présentation \mathcal{C}_{frf} (via des fractions rationnelles contrôlées et données en présentation par formule)

La présentation précédente de l'espace $\mathbf{C}[0, 1]$ n'est pas de classe \mathcal{P} (sauf si $\mathcal{P} = \mathcal{NP}$ comme nous le verrons à la section 4.3) parce que la norme n'est pas calculable en temps polynomial. Pour obtenir une présentation de classe \mathcal{P} il est nécessaire de restreindre assez considérablement l'ensemble des points rationnels de la présentation, de manière à ce que la norme devienne une fonction calculable en temps polynomial. Un exemple significatif est celui où les points rationnels sont des fractions rationnelles bien contrôlées et données dans une présentation du type dense. On a le choix entre plusieurs variantes et nous avons choisi de donner le dénominateur et le numérateur dans une présentation dite "par formules". Une formule est un arbre dont les feuilles sont étiquetées par la variable X ou par un élément de \mathbb{D} et dont chaque noeud est étiqueté par un opérateur arithmétique. Dans les formules que nous considérons, les seuls opérateurs utilisés sont $\bullet + \bullet, \bullet - \bullet$ et $\bullet \times \bullet$, de sorte que l'arbre est un arbre binaire (chaque noeud de l'arbre est une sous-formule et représente un polynôme de $\mathbb{D}[X]$.)

Lemme 3.2.4. *Désignons par $\mathbb{D}[X]_f$ l'ensemble des polynômes à coefficients dans \mathbb{D} , donnés en présentation par formule. Pour un polynôme à une variable et à coefficients dans \mathbb{D} le passage de la représentation dense à la représentation par formule est LINTIME et le passage de la représentation par formule à la représentation dense est polynomial. Plus précisément si on procède de manière naïve on est en DTIME($O(N^2 \mathcal{M}(N))$).*

Démonstration. Tout d'abord, la représentation dense peut être considérée comme un cas particulier de représentation par formule, selon le schéma de Horner.

Ensuite, passer de la représentation par formule à la représentation dense revient à évaluer la formule dans $\mathbb{D}[X]$. Introduisons les paramètres de contrôle suivants. Un polynôme $P \in \mathbb{D}[X]$ a un degré noté d_P et la taille de ses coefficients est contrôlée par l'entier $\sigma(P) := \log(\sum_i |a_i|)$ où les a_i sont les coefficients de P . Une formule $F \in \mathbb{D}[X]_f$ contient un nombre d'opérateurs arithmétiques noté t_F et la taille de ses coefficients est contrôlée par l'entier $\lambda(F) = \sum_i (\lg(b_i))$ où les b_i sont les dyadiques apparaissant dans la formule.

La taille $\lfloor F \rfloor$ de la formule F est évidemment un majorant de t_F et $\lambda(F)$.

Pour deux dyadiques a et b on a toujours $\lg(a \pm b) \leq \lg(a) + \lg(b)$ et $\lg(ab) \leq \lg(a) + \lg(b)$.

On vérifie alors facilement que $\sigma(P \pm Q) \leq \sigma(P) + \sigma(Q)$ et $\sigma(PQ) \leq \sigma(P) + \sigma(Q)$. Le temps de calcul (naïf) de PQ est un $O(d_P d_Q \mathcal{M}(\sigma(P) + \sigma(Q)))$.

On démontre ensuite par récurrence sur la taille de la formule F que le polynôme correspondant $P \in \mathbb{D}[X]$ vérifie $d_P \leq t_F$ et $\sigma(P) \leq \lambda(F)$. On démontre également par récurrence que le temps pour calculer P à partir de F est majoré par $t_F^2 \mathcal{M}(\lambda(F))$. \square

Définition 3.2.5. L'ensemble $\mathbf{Y}_{\text{frf}} \subset \mathbb{D}[X]_f \times \mathbb{D}[X]_f$ est l'ensemble des fractions rationnelles (à une variable) à coefficients dans \mathbb{D} , dont le dénominateur est minoré par 1 sur l'intervalle $[0, 1]$. L'espace $\mathbf{C}[0, 1]$ muni de l'ensemble \mathbf{Y}_{frf} comme famille des codes des points rationnels est noté \mathcal{C}_{frf} .

Proposition 3.2.6 (complexité de la famille de fonctions $(\tilde{f})_{f \in \mathbf{Y}_{\text{frf}}}$).

La famille de fonctions $(\tilde{f})_{f \in \mathbf{Y}_{\text{frf}}}$ est uniformément de classe \mathcal{P} , plus précisément de classe $\text{DRT}(\text{Lin}, O(\mathcal{M}(N)N))$, où $\mathcal{M}(N)$ est la complexité de la multiplication de deux entiers de taille N .

Démonstration. Nous devons calculer un module de continuité uniforme pour la famille $(\tilde{f})_{f \in \mathbf{Y}_{\text{frf}}}$. Nous devons aussi expliciter une fonction φ de classe $\text{DRT}(\text{Lin}, O(\mathcal{M}(N)N))$

$$\varphi: \mathbf{Y}_{\text{frf}} \times \mathbb{D}_{[0,1]} \times \mathbb{N}_1 \rightarrow \mathbb{D}, (f, x, n) \mapsto \varphi(f, x, n)$$

vérifiant $\left| \tilde{f}(x) - \varphi(f, x, n) \right| \leq 1/2^n$.

En fait, le module de continuité uniforme va se déduire du calcul de φ .

Puisque le dénominateur de la fraction est minoré par 1, il nous suffit de donner un module de continuité uniforme et une procédure de calcul en temps $O(\mathcal{M}(N)N)$ pour évaluer une formule $F \in \mathbb{D}[X]_f$ avec une précision $1/2^n$ sur l'intervalle $[0, 1]$ ($N = n + \lfloor F \rfloor$). Nous supposons sans perte de généralité que la taille $m = \lfloor F \rfloor$ de la formule $F = F_1 * F_2$ est égale à $m_1 + m_2 + 2$ si $m_1 = \lfloor F_1 \rfloor$ et $m_2 = \lfloor F_2 \rfloor$ ($*$ désigne un des opérateurs $+$, $-$ ou \times). On établit alors (par récurrence sur la profondeur de la formule) les deux faits suivants :

— lorsqu'on évalue de manière exacte la formule $F \in \mathbb{D}[X]_f$ en un $x \in [0, 1]$ le résultat est toujours majoré en valeur absolue par 2^m .

— lorsqu'on évalue la formule F en un $x \in [0, 1]$ de manière approchée, en prenant x et tous les résultats intermédiaires avec une précision (absolue) $1/2^{n+m}$ le résultat final est garanti avec la précision $1/2^n$.

On conclut ensuite sans difficulté. \square

Proposition 3.2.7.

a) La famille de nombres réels $(\|\tilde{f}\|)_{f \in \mathbf{Y}_{\text{frf}}}$ est de complexité \mathcal{P} .

b) Le test d'appartenance " $f \in \mathbf{Y}_{\text{frf}}$?" est de complexité \mathcal{P} .

Démonstration. a) Soit $f = P/Q \in \mathbf{Y}_{\text{frf}}$. Pour calculer une valeur approchée à $1/2^n$ de la norme de \tilde{f} , on procède comme suit :

— calculer $(P'Q - Q'P)$ en tant qu'élément de $\mathbb{D}[X]$ (lemme 3.2.4)

— calculer m : la précision requise sur x pour pouvoir évaluer $\tilde{f}(x)$ avec la précision $1/2^n$ (proposition 3.2.6)

— calculer les racines $(\alpha_i)_{1 \leq i \leq n}$ de $(P'Q - Q'P)$ sur $[0, 1]$ avec la précision 2^{-m}

— calculer $\max\{\tilde{f}(0); \tilde{f}(1); \tilde{f}(\alpha_i) \ 1 \leq i \leq s\}$ avec la précision $1/2^n$ (proposition 3.2.6)

b) Le code f contient les codes de P et Q . Il s'agit de voir qu'on peut tester en temps polynomial que le dénominateur Q est minoré par 1 sur l'intervalle $[0, 1]$. Ceci est un résultat classique concernant les calculs avec les nombres réels algébriques : il s'agit de comparer à 1 le inf des $Q(\alpha_i)$ avec $\alpha_i = 0, 1$ ou un zéro de Q' sur l'intervalle. \square

Remarques 3.2.8.

1) Il est bien connu que le calcul des racines réelles d'un polynôme de $\mathbb{Z}[X]$ situées dans un intervalle rationnel donné est un calcul de classe \mathcal{P} . Peut-être la méthode la plus performante

n'est pas celle que nous avons indiquée, mais une légère variante. En effet la recherche des racines complexes d'un polynôme (pour une précision donnée) est aujourd'hui extrêmement rapide (cf. [29]). Plutôt que de chercher spécifiquement les zéros réels sur l'intervalle $[0, 1]$ on pourrait donc chercher avec la précision 2^{-m} les zéros réels ou complexes $(\beta_j)_{1 \leq j \leq t}$ suffisamment proches de l'intervalle $[0, 1]$ (i.e. leur partie imaginaire est en valeur absolue $\leq 2^{-m}$ et leur partie réelle est sur $[0, 1]$ à 2^{-m} près) et évaluer \tilde{f} en les $Re(\beta_j)$.

2) Comme cela résulte de la proposition 3.3.5 ci-dessous, toute fonction semilinéaire à coefficients dans \mathbb{D} est un point de complexité \mathcal{P} dans \mathcal{C}_{ff} . Le fait que la présentation \mathcal{C}_{cs1} ne soit pas de classe \mathcal{P} (si $\mathcal{P} \neq \mathcal{NP}$, cf. section 4.3) implique par contre que la famille de fonctions $(\tilde{f})_{f \in \mathbf{Y}_{\text{cs1}}}$ n'est pas une famille de classe \mathcal{P} dans \mathcal{C}_{ff} .

3) On démontre facilement que les opérations d'espace vectoriel sont aussi en temps polynomial.

Les résultats précédents se résument comme suit.

Théorème 3.2.9. *La présentation \mathcal{C}_{ff} de $\mathbf{C}[0, 1]$ est de classe \mathcal{P} .*

3.3 Le théorème d'approximation de Newman et sa complexité algorithmique

Le théorème de Newman est un théorème fondamental en théorie de l'approximation. L'énoncé ci-après est un cas particulier⁹.

Théorème 3.3.1 (Théorème de Newman, [28], voir par exemple [30] p. 73–75).

Soit n entier ≥ 6 , définissons

$$H_n(x) = \prod_{1 \leq k < n^2} (x + e^{-k/n}).$$

et considérons les deux polynômes $P_n(x)$ et $Q_n(x)$, de degrés majorés par $n^2/2$, donnés par

$$P_n(x^2) = x(H_n(x) - H_n(-x)) \quad \text{et} \quad Q_n(x^2) = H_n(x) + H_n(-x)$$

Alors on a pour tout $x \in [-1, 1]$

$$\left| |x| - (P_n/Q_n)(x^2) \right| \leq 3e^{-n} \leq 2^{-(n+1)}$$

et

$$|Q_n(x^2)| \geq 2H_n(0) = 2/e^{(n^3-n)/2} \geq 1/2^{3(n^3-n)/4}$$

Du théorème de Newman découle que les fonctions semilinéaires se laissent individuellement bien approcher par des fractions rationnelles faciles à écrire et bien contrôlées. C'est ce que précisent le lemme 3.3.3 ci-après et ses corollaires, les propositions et théorèmes qui suivent. Nous rappelons d'abord le résultat suivant (cf. [7]).

Lemme 3.3.2 (théorème de Brent). *Soit $a \in [-1, 1] \cap \mathbb{D}_m$. Le calcul de $\exp(a)$ avec la précision 2^{-m} peut être fait en temps $O(\mathcal{M}(m) \log(m))$. En d'autres termes, la fonction exponentielle sur l'intervalle $[-1, 1]$ est de complexité $\text{DTIME}(O(\mathcal{M}(m) \log(m)))$*

On en déduit facilement, en notant $\mathbb{D}[X]_f$ la présentation de $\mathbb{D}[X]$ par formules.

Lemme 3.3.3. *Il existe une suite*

$$\mathbb{N}_1 \rightarrow \mathbb{D}[X]_f \times \mathbb{D}[X]_f ; n \mapsto (u_n, v_n),$$

de classe $\text{DRT}(O(n^5), O(\mathcal{M}(n^3)n^2 \log^3(n)))$, telle que pour tout $x \in [0, 1]$

$$\left| |x| - p_n(x^2)/q_n(x^2) \right| \leq 2^{-n}.$$

Les degrés des polynômes p_n et q_n sont majorés par $n^2/2$, leurs tailles en présentation par formule sont majorées par un $O(n^5)$, et $q_n(x^2)$ est minoré par $1/e^{(n^3-n)}$.

9. Nous avons pris la borne $n^2/2$ sur les degrés de manière à obtenir une majoration en e^{-n} .

Démonstration. On définit p_n et q_n comme P_n et Q_n en remplaçant dans la définition le réel $e^{-k/n}$ par une approximation dyadique $c_{n,k}$ suffisante calculée au moyen du lemme 3.3.2. Si $|e^{-k/n} - c_{n,k}| \leq \varepsilon$ on vérifie que pour tout $x \in [0, 1]$

$$|P_n(x) - p_n(x)| \leq (n^2 - 1)2^{n^2} \varepsilon \quad \text{et} \quad |Q_n(x) - q_n(x)| \leq (n^2 - 1)2^{n^2} \varepsilon = \varepsilon_1.$$

Pour l'écart entre les fractions rationnelles on utilise

$$|A/B - a/b| \leq |A/B| |b - B|/b + |A - a|/b \leq 3\varepsilon_1/b.$$

Comme $B \geq 1/2^{3(n^3-n)/4}$ on a $1/b \leq 2.2^{3(n^3-n)/4}$ si $|b - B| \leq B/2$, en particulier si

$$(n^2 - 1)2^{n^2} \varepsilon \leq (1/2) \cdot 1/2^{3(n^3-n)/4}.$$

On est alors conduit à prendre un ε tel que

$$3\varepsilon_1/b \leq 6(n^2 - 1)2^{n^2} 2^{3(n^3-n)/4} \varepsilon \leq 1/2^{n+1}.$$

Il suffit donc de prendre $\varepsilon \leq 2^{-n^3}$ (pour n assez grand).

On va donc être amené à décrire p_n et q_n par des formules de taille algébrique $O(n^2)$ portant sur des termes de base $(x + c_{n,k})$ où $c_{n,k}$ est un dyadique de taille $O(n^3)$. La taille (booléenne) de la formule est donc un $O(n^5)$. L'essentiel du temps de calcul est absorbé par le calcul des $c_{n,k}$ en utilisant le lemme 3.3.2. \square

Notez que la majoration du temps de calcul est à peine moins bonne que la taille du résultat.

On en déduit immédiatement les résultats suivants.

Théorème 3.3.4. *La fonction $x \mapsto |x - 1/2|$ est un point de complexité \mathcal{P} (plus précisément $\text{DRT}(O(n^5), O(\mathcal{M}(n^3)n^2 \log^3(n)))$) dans l'espace \mathcal{C}_{ff} . En d'autres termes, il existe une suite $\mathbb{N}_1 \rightarrow \mathbf{Y}_{\text{ff}}$, $n \mapsto (u_n, v_n)$, de classe $\text{DRT}(O(n^5), O(\mathcal{M}(n^3)n^2 \log^3(n)))$, telle que*

$$\| |x - 1/2| - u_n(x)/v_n(x) \| \leq 2^{-n}$$

Les degrés des polynômes u_n et v_n sont majorés par n^2 .

Proposition 3.3.5. *La fonction $x \mapsto |x|$ sur l'intervalle $[-2^m, 2^m]$ peut être approchée à $1/2^n$ près par une fraction rationnelle $p_{n,m}/q_{n,m}$ dont le dénominateur est minoré par 1 (sur le même intervalle), et le calcul*

$$(n, m) \mapsto (p_{n,m}, q_{n,m}) \quad \mathbb{N}_1 \times \mathbb{N}_1 \rightarrow \mathbb{D}[X]_f \times \mathbb{D}[X]_f$$

est de complexité $\text{DRT}(O(N^5), O(\mathcal{M}(N^3)N^2 \log^3(N)))$ où $N = n + m$. Les degrés des polynômes $p_{n,m}$ et $q_{n,m}$ sont majorés par N^2 . De même la fonction $(x, y) \mapsto \max(x, y)$ (resp. $(x, y) \mapsto \min(x, y)$) sur le carré $[-2^m, 2^m] \times [-2^m, 2^m]$ peut être approchée à $1/2^n$ près par une fraction rationnelle du même type et de même complexité que les précédentes.

Démonstration. Pour la fonction valeur absolue :

Si $x \in [-2^m, 2^m]$ on écrit

$$|x| = 2^m |x/2^m|$$

avec $x/2^m \in [-1, 1]$. Donc, avec les notations de la preuve du lemme 3.3.3, il suffit de prendre $p_{n,m}(x) = 2^m p_{n+m}(x/2^m)$ et $q_{n,m}(x) = 2^m q_{n+m}(x/2^m)$.

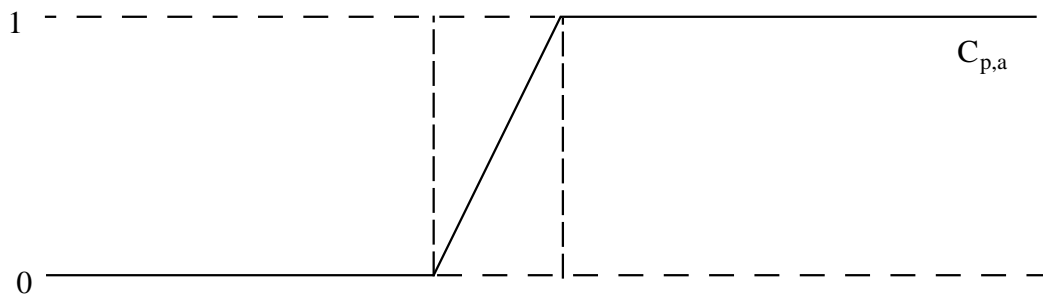
Pour les fonctions max et min, il suffit d'utiliser les formules :

$$\max(x, y) = \frac{x + y + |x - y|}{2} \quad \text{et} \quad \min(x, y) = \frac{x + y - |x - y|}{2}$$

\square

Dans la suite, on aura besoin d'"approcher" la fonction discontinue

$$C_a(x) = \begin{cases} 1, & \text{si } x \geq a \\ 0, & \text{sinon} \end{cases}$$

FIGURE 8 : la fonction $C_{p,a}$

Une telle “approximation” est donnée par la fonction semilinéaire continue $C_{p,a}$:

$$C_{p,a} = \min(1, \max(0, 2^p(x-a))) \text{ où } p \in \mathbb{N}_1 \text{ et } a \in \mathbb{D}_{[0,1]}$$

La complexité de la famille de fonctions $(p, a) \mapsto C_{p,a}$ est donnée dans la proposition suivante.

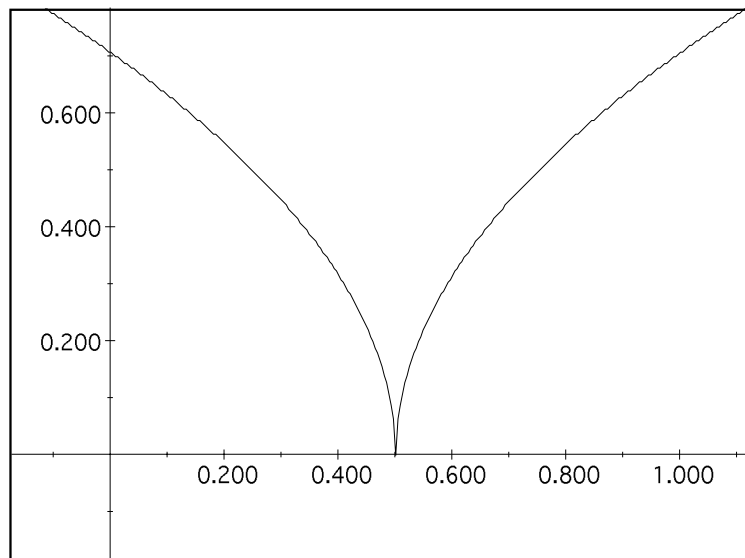
Proposition 3.3.6. *La famille de fonctions*

$$\mathbb{N}_1 \times \mathbb{D}_{[0,1]} \quad (p, a) \mapsto C_{p,a}$$

définie par : $C_{p,a} = \min(1, \max(0, 2^p(x-a)))$ est une famille de classe \mathcal{P} . Plus précisément, elle est de complexité $\text{DRT}(O(N^5), O(\mathcal{M}(N^3)N^2 \log^3(N)))$ où $N = \max(\lg(a), n+p)$.

La proposition suivante concerne la fonction racine carrée.

Proposition 3.3.7. *La fonction $x \mapsto \sqrt{|x-1/2|}$ sur $[0, 1]$ est un \mathcal{P} -point de \mathcal{C}_{fr} .*

FIGURE 9 : courbe de la fonction $x \mapsto \sqrt{|x-1/2|}$

Démonstration. (esquisse) Dans les polynômes $P_n(x^2)$ et $Q_n(x^2)$ du théorème de Newman, si on remplace x^2 par une bonne approximation de $|x|$ sur $[0, 1]$ obtenue elle-même par le théorème de Newman, on obtiendra une fraction rationnelle $R_n(x)/S_n(x)$ telle que

$$\forall x \in [0, 1] \quad \left| \sqrt{|x|} - (R_n/S_n)(x) \right| \leq 2^{-n}.$$

Les degrés de $R_n(x)$ et $S_n(x)$ seront en $O(n^4)$.

Notez que la fraction $(P_n/Q_n)(x)$ n'est pas impaire, elle fournit donc une bonne approximation de la fonction $\sqrt{|x|}$ uniquement sur l'intervalle $[0, 1]$. \square

4 Une présentation naturelle de l'espace $\mathbf{C}[0, 1]$ et quelques présentations équivalentes

Une notion naturelle de complexité pour les “points” et pour les “suites de points” de l'espace $\mathbf{C}[0, 1]$ est donnée par K. I Ko et H. Friedman dans [16]. Nous étudions dans cette section une présentation rationnelle de l'espace $\mathbf{C}[0, 1]$ qui donne (à très peu près) les mêmes notions de complexité. Nous étudions également d'autres présentations utilisant des circuits, qui s'avèrent équivalentes du point de vue de la complexité \mathcal{P} . La preuve de ces équivalences est basée sur la preuve d'un résultat analogue mais moins général donnée par [13, 14].

4.1 Définitions de quelques présentations de l'espace $\mathbf{C}[0, 1]$

4.1.1 Présentation KF (KF comme Ko-Friedman)

Rappelons qu'on note $\mathbb{D}_n = \{k/2^n; k \in \mathbb{Z}\}$ et $\mathbb{D}_{n,[0,1]} = \mathbb{D}_n \cap [0, 1]$.

Dans la définition donnée par Ko et Friedman, on considère, pour $f \in \mathbf{C}[0, 1]$, une machine de Turing à Oracle (MTO) qui “calcule” la fonction f au sens suivant. L'oracle délivre, pour la question “ m ?” écrite en unaire une approximation $\xi \in \mathbb{D}_{m,[0,1]}$ de x avec la précision 2^{-m} . Pour l'entrée $n \in \mathbb{N}_1$, la machine calcule, en utilisant l'oracle, une approximation $\zeta \in \mathbb{D}_n$ de $f(x)$ à $1/2^n$ près.

La seule lecture du programme de la MTO ne permet évidemment pas de savoir si la MTO calcule bien une fonction de $\mathbf{C}[0, 1]$. En conséquence, puisque nous souhaitons avoir des objets clairement identifiés comme “points rationnels” de la présentation que nous voulons définir, nous prenons le parti d'introduire des paramètres de contrôle. Mais pour que de tels paramètres soient vraiment efficaces, il est nécessaire de limiter l'exécution de la machine à une précision de sortie donnée a priori. En conséquence la précision nécessaire en entrée est également limitée a priori. Ainsi, la MTO est approximée par une suite de machines de Turing ordinaires (sans oracle) n'exécutant chacune qu'un nombre fini de calculs. Nous sommes donc conduits à définir une présentation rationnelle de $\mathbf{C}[0, 1]$ qui sera notée \mathcal{C}_{KF} (l'ensemble des codes des points rationnels sera noté \mathbf{Y}_{KF}) de la manière suivante.

Définition 4.1.1. On considère un langage, choisi une fois pour toutes, pour décrire les programmes de machines de Turing avec une seule entrée, dans $\mathbb{D}_{[0,1]}$ (notée x), et avec une seule sortie, dans \mathbb{D} (notée y). Soit **Prog** la partie de ce langage formée par les programmes bien écrits (conformément à une syntaxe précisée une fois pour toutes). Soit $f = (Pr, n, m, T) \in \mathbf{Prog} \times \mathbb{N}_1 \times \mathbb{N}_1 \times \mathbb{N}_1$ où on a :

- n est la précision réclamée pour y ,
- m est la précision avec laquelle est donnée x .

Le quadruplet (Pr, n, m, T) est dit *correct* lorsque sont vérifiées les conditions suivantes :

- le programme Pr calcule une fonction de $\mathbb{D}_{m,[0,1]}$ vers \mathbb{D}_n , c.-à-d. pour une entrée dans $\mathbb{D}_{m,[0,1]}$ on obtient en sortie un élément de \mathbb{D}_n ;
- T majore le temps d'exécution maximum pour tous les x de $\mathbb{D}_{m,[0,1]}$;
- pour deux éléments consécutifs (distants de $1/2^m$) de $\mathbb{D}_{m,[0,1]}$ en entrée, le programme donne en sortie deux éléments de \mathbb{D}_n distants d'au plus $1/2^n$.

L'ensemble des quadruplets (Pr, n, m, T) corrects est noté \mathbf{Y}_{KF} . Lorsque la donnée f est correcte, elle définit le point rationnel \tilde{f} suivant : c'est la fonction linéaire par morceaux qui joint les points du graphe donnés sur la grille $\mathbb{D}_{m,[0,1]} \times \mathbb{D}_n$ par l'exécution du programme Pr pour toutes les entrées possibles dans $\mathbb{D}_{m,[0,1]}$.

Ainsi $\mathcal{C}_{\text{KF}} = (\mathbf{Y}_{\text{KF}}, \eta, \delta)$ où $\eta(f) = \tilde{f}$ et δ doit être précisé conformément à la définition 2.1.1. La complexité de η et δ est traitée dans la proposition 4.1.3.

Remarque 4.1.2. On notera que les deux premières conditions pourraient être réalisées de manière automatique par des contraintes de type syntaxique faciles à mettre en oeuvre. Par contre, comme on le verra dans la proposition 4.4.1, la troisième est incontrôlable en temps polynomial (sauf si $\mathcal{P} = \mathcal{NP}$) (cette condition de correction définit un problème \mathcal{CO} - \mathcal{NP} -complet). Notez aussi que si on n'avait pas imposé la condition de correction pour les points de \mathbf{Y}_{KF} on n'aurait eu

aucun contrôle a priori du module de continuité uniforme pour la fonction linéaire par morceaux définie par une donnée, et la famille $(\tilde{f})_{f \in \mathbf{Y}_{\text{KF}}}$ n'aurait pas été uniformément de classe \mathcal{P} .

Proposition 4.1.3 (complexité de la famille de fonctions attachées à \mathbf{Y}_{KF}).

La famille de fonctions continues $(\tilde{f})_{f \in \mathbf{Y}_{\text{KF}}}$ est uniformément de classe $\text{DSRT}(\text{Lin}, \text{Lin}, \text{O}(N^2))$.

Démonstration. Tout d'abord, on remarque que la fonction \tilde{f} correspondant à $f = (Pr, n, m, T)$ est linéaire par morceaux et que, puisque la donnée est correcte, la pente de chaque morceau est majorée en valeur absolue par 2^{m-n} ce qui donne le module de continuité uniforme $\mu(f, k) = k + m - n$ pour la famille $(\tilde{f})_{f \in \mathbf{Y}_{\text{KF}}}$.

Nous devons exhiber une fonction $\varphi: \mathbf{Y}_{\text{KF}} \times \mathbb{D}_{[0,1]} \times \mathbb{N}_1 \rightarrow \mathbb{D}$ de complexité $\text{DSRT}(\text{Lin}, \text{Lin}, N^2)$ telle que :

$$\forall (f, x, k) \in \mathbf{Y}_{\text{KF}} \times \mathbb{D}_{[0,1]} \times \mathbb{N}_1 \quad \left| \varphi(f, x, k) - \tilde{f}(x) \right| \leq 2^{-k}.$$

Soit $z = (f, x, k) = ((Pr, n, m, T), x, k) \in \mathbf{Y}_{\text{KF}} \times \mathbb{D}_{[0,1]} \times \mathbb{N}_1$. Nous supposons sans perte de généralité que $k \geq n$ et que x est donné avec au moins m bits.

Par simple lecture de x on repère deux éléments consécutifs a et b de $\mathbb{D}_{m,[0,1]}$ tels que $a \leq x \leq b$ et on trouve le dyadique $r \in \mathbb{D}_{[0,1]}$ tel que $x = a + r/2^n$.

Notons $\varepsilon \in \{-1, 0, 1\}$ l'entier vérifiant $\tilde{f}(a) = \tilde{f}(b) + \varepsilon/2^n$.

Alors $\tilde{f}(x) = \tilde{f}(a) + \varepsilon r/2^n$. En outre $f(a) = \text{Exec}(Pr, a)$ est le résultat de l'exécution du programme Pr pour l'entrée a . Le calcul complet consiste donc essentiellement à

- lire x (et en déduire a , b et r), puis
- calculer $\text{Exec}(Pr, a)$ et $\text{Exec}(Pr, b)$.

La complexité est donc majorée par la complexité de la Machine de Turing Universelle que nous utilisons pour exécuter le programme Pr . D'après le lemme 1.3.1 cela se fait en temps $\text{O}(T(T + \lfloor Pr \rfloor))$ et en espace $\text{O}(T + \lfloor Pr \rfloor)$. Et la taille de la sortie est majorée par T . \square

Le fait que la présentation \mathcal{C}_{KF} qui résulte de la définition 4.1.1 soit appelée "présentation à la Ko-Friedman" est justifié par la proposition suivante.

Proposition 4.1.4. Une fonction $f: [0, 1] \rightarrow \mathbb{R}$ est calculable en temps polynomial au sens de Ko-Friedman si et seulement si elle est un \mathcal{P} -point de \mathcal{C}_{KF} . Plus précisément

- a) Si la fonction f est de complexité en temps $T(n)$ au sens de Ko-Friedman alors elle est un $\text{DTIME}(T)$ -point de \mathcal{C}_{KF} ,
- b) Si la fonction f est un $\text{DTIME}(T)$ -point de \mathcal{C}_{KF} alors elle est de complexité en temps $T^2(n)$ au sens de Ko-Friedman.

Nous prouverons d'abord une caractérisation de la complexité d'une fonction au sens de Ko-Friedman, pour une classe \mathcal{C} de complexité en temps ou en espace élémentairement stable. Nous l'avons déjà affirmée sans preuve dans le premier exemple 2.2.3. Nous en donnons un énoncé plus précis ici.

Proposition 4.1.5. Soit \mathcal{C} une classe élémentairement stable de type $\text{DTIME}(\bullet)$ ou $\text{DSPACE}(\bullet)$ ou $\text{DSRT}(\bullet, \bullet, \bullet)$ ou $\text{DRT}(\bullet, \bullet)$ ou $\text{DSR}(\bullet, \bullet)$ et soit une fonction continue $f: [0, 1] \rightarrow \mathbb{R}$. Les propriétés suivantes sont équivalentes.

1. la fonction f est calculable au sens de Ko-Friedman dans la classe \mathcal{C} .
2. la fonction f est uniformément de classe \mathcal{C} .

NB : Pour ce qui concerne la complexité d'une MTO, nous entendons ici que les questions posées à l'oracle doivent être comptées parmi les sorties de la machine. Autrement dit la taille des entiers m qui sont les questions à l'oracle doivent avoir la majoration requise pour la sortie dans les classes du type $\text{DSRT}(\bullet, \bullet, \bullet)$ ou $\text{DRT}(\bullet, \bullet, \bullet)$ ou $\text{DSR}(\bullet, \bullet, \bullet)$.

Démonstration. (de la proposition 4.1.5) Rappelons qu'une fonction est uniformément de classe \mathcal{C} (cf. définition 2.1.1) lorsque :

a) la fonction f possède un module de continuité uniforme dans la classe \mathcal{C} .

b) la famille $(f(a))_{a \in \mathbb{D}}$ est une \mathcal{C} -famille de nombres réels.

Soit tout d'abord $f \in \mathbf{C}[0, 1]$ et M une MTO qui, pour toute entrée $n \in \mathbb{N}_1$ et tout $x \in [0, 1]$ (donné comme oracle) calcule $f(x)$ à 2^{-n} près dans la classe \mathcal{C} . Si on remplace l'oracle, qui donne à la demande une approximation de x à 2^{-m} près dans \mathbb{D}_m , par la lecture d'un nombre dyadique a arbitraire, on obtient une machine de Turing usuelle qui calcule $(f(a))_{a \in \mathbb{D}}$ en tant que famille de nombres réels, ceci dans la classe \mathcal{C} .

Voyons la question du module de continuité uniforme. Sur l'entrée n (précision requise pour la sortie) et pour n'importe quel oracle pour n'importe quel $x \in [0, 1]$, la MTO va calculer $y = f(x)$ à 2^{-n} près en interrogeant l'oracle pour certaines précisions m . Puisque \mathcal{C} est une classe de complexité du type prévu, le plus grand des entiers m utilisés sur l'entrée n peut être majoré par $\mu(n)$ où $\mu: \mathbb{N}_1 \rightarrow \mathbb{N}_1$ est une fonction dans la classe \mathcal{C}^{10} . C'est le module de continuité uniforme que nous cherchons.

Supposons maintenant que la fonction f soit uniformément de classe \mathcal{C} . Soit M la machine de Turing (sans oracle) qui calcule $(f(x))_{x \in \mathbb{D}}$ en tant que famille de nombres réels dans la classe \mathcal{C} . Soit M' une machine de Turing qui calcule un module de continuité uniforme $\mu: \mathbb{N}_1 \rightarrow \mathbb{N}_1$ dans la classe \mathcal{C} . La MTO à la Ko-Friedman est alors la suivante. Sur l'entrée n elle calcule $m = \mu(n+1)$ (en utilisant M'), elle interroge l'oracle avec la précision m , l'oracle donne un élément $a \in \mathbb{D}_m$. La MTO utilise alors M pour calculer $f(a)$ avec une approximation de $1/2^{2^{n+1}}$, qui, privée de son dernier bit, constitue la sortie de la MTO. \square

La proposition 4.1.5 démontre, par contraste, que la non parfaite adéquation obtenue dans la proposition 4.1.4 est seulement due à la difficulté de faire entrer exactement et à tout coup la notion de complexité d'une fonction uniformément continue (en tant que fonction) dans le moule de la notion de "complexité d'un point dans un espace métrique". Cette adéquation parfaite a lieu pour des classes comme \mathcal{P} , Prim ou Rec mais pas pour $\text{DRT}(\text{Lin}, \text{O}(n^k))$.

Enfin on pourra noter la grande similitude entre les preuves des propositions 4.1.5 et 4.1.4, avec une complication un peu plus grande pour cette dernière.

Démonstration. (de la proposition 4.1.4) Soit tout d'abord $f \in \mathbf{C}[0, 1]$ et M une MTO qui, pour toute entrée $n \in \mathbb{N}_1$ et tout $x \in [0, 1]$ (donné comme oracle) calcule $f(x)$ à 2^{-n} près, en temps majoré par $T(n)$.

Considérons la suite $f_n = (Pr_n, n, T(n), T(n))_{n \in \mathbb{N}_1}$ où on a :

Pr_n est obtenu à partir du programme Pr de la machine M en remplaçant la réponse (x_m) de l'oracle à la question " m ?" par l'instruction "lire x avec la précision m "

La correction de la donnée f_n est claire. Soit \widetilde{f}_n la fonction linéaire par morceaux correspondant à la donnée f_n . On a pour $\xi \in [0, 1]$ et d une approximation de ξ à $1/2^{T(n)}$ près

$$\text{Exec}(Pr_n, d) = \text{Exec}(Pr, n, \text{Oracle pour } \xi) = M^\xi(n)$$

et donc

$$|\widetilde{f}_n(\xi) - f(\xi)| \leq |f(d) - \text{Exec}(Pr_n, \xi)| + |\widetilde{f}_n(d) - \text{Exec}(Pr_n, \xi)| \leq 2^{-n} + 2^{-n} \leq 2^{-(n-1)}$$

Enfin la suite $n \mapsto f_{n+1}$ est de complexité $\text{DTIME}(\text{O}(n))$.

Réciproquement, supposons que $\|f_n - f\| \leq 2^{-n}$ avec $n \mapsto f_n$ de classe $\text{DTIME}(T(n))$.

On a $f_n = (Pr_n, q(n), m(n), t(n))$. Considérons la MTO M qui, pour tout entier $n \in \mathbb{N}_1$ et tout $\xi \in [0, 1]$, effectue les tâches suivantes :

— prendre l'élément $f_{n+1} = (Pr_{n+1}, q(n+1), m(n+1), t(n+1))$, de la suite, correspondant à $n+1$.

— poser à l'oracle la question $Q(n) = m(n+1) + n + 1 - q(n)$ (on obtient une approximation

10. Par exemple pour une classe de complexité où on spécifie que les sorties sont de taille linéaire, la taille de m dépend linéairement de n (indépendamment de l'oracle) puisque m , en tant que question posée à l'oracle, est une des sorties.

d de ξ à $2^{-Q(n)}$ près).

— calculer $\widetilde{f}_{n+}(d)$ par interpolation linéaire (cf. proposition 4.1.3) : ceci est la sortie de la machine M .

On a alors pour tout $\xi \in [0, 1]$

$$|\widetilde{f}_n(\xi) - M^\xi(n)| \leq |\widetilde{f}_n(\xi) - \widetilde{f}_{n+1}(\xi)| + |\widetilde{f}_{n+1}(\xi) - \widetilde{f}_{n+1}(d)| \leq 2^{-(n+1)} + 2^{-(n+1)} = 2^{-n}$$

donc

$$\|f - M^\xi(n)\| \leq \|f - \widetilde{f}_n\| + \|\widetilde{f}_n - M^\xi(n)\| \leq 2^{-n} + 2^{-n}$$

De plus la machine M est de complexité $O(T^2(n))$ (cf. proposition 4.1.3). \square

Dans le même style que la proposition 4.1.5, on obtient deux caractérisations naturelles, à \mathcal{P} -équivalence près, de la présentation rationnelle \mathcal{C}_{KF} de $\mathbf{C}[0, 1]$.

Proposition 4.1.6. *Soit \mathcal{C}^* une présentation rationnelle de l'espace $\mathbf{C}[0, 1]$. Alors on a l'équivalence des deux assertions suivantes.*

1. La présentation \mathcal{C}^* est \mathcal{P} -équivalente à \mathcal{C}_{KF} .
2. Une famille $(\widetilde{f})_{f \in Z}$ dans $\mathbf{C}[0, 1]$ est uniformément de classe \mathcal{P} si et seulement si elle est une \mathcal{P} -famille de points de \mathcal{C}^* .

Démonstration. Pour n'importe quelle classe élémentairement stable \mathcal{C} , deux présentations rationnelles d'un espace métrique arbitraire sont \mathcal{C} -équivalentes si et seulement si elles définissent les mêmes \mathcal{C} -familles de points (cf. remarque 2.2.8). Il suffit donc de vérifier que la présentation rationnelle \mathcal{C}_{KF} vérifie la condition (2). La preuve est identique à celle de la proposition 4.1.4. \square

Théorème 4.1.7. *La présentation \mathcal{C}_{KF} est universelle pour l'évaluation au sens suivant.*

Si $\mathcal{C}_Y = (Y, \delta, \eta)$ est une présentation rationnelle de $\mathbf{C}[0, 1]$ pour laquelle la famille $(\widetilde{f})_{f \in Y}$ est uniformément de classe \mathcal{P} , alors la fonction $\text{Id}_{\mathbf{C}[0, 1]}$ de \mathcal{C}_Y vers \mathcal{C}_{KF} est uniformément de classe \mathcal{P} . Le résultat se généralise à toute classe de complexité \mathcal{C} élémentairement stable vérifiant la propriété suivante : si $F \in \mathcal{C}$ alors le temps de calcul de $F: \mathbb{N}_1 \rightarrow \mathbb{N}_1$, $N \mapsto F(N)$, est majoré par une fonction de classe \mathcal{C} .

Démonstration. Cela résulte de 4.1.6. Donnons néanmoins la preuve. Nous devons démontrer que la famille $(\widetilde{f})_{f \in Y}$ est une \mathcal{P} -famille de points pour la présentation \mathcal{C}_{KF} . Puisque la famille $(\widetilde{f})_{f \in Y}$ est uniformément de classe \mathcal{P} , on a deux fonctions ψ et μ de classe \mathcal{P} :

$$\psi: Y \times \mathbb{D}_{[0, 1]} \times \mathbb{N}_1 \rightarrow \mathbb{D} \quad (f, d, n) \mapsto \psi(f, d, n) = \widetilde{f}(d) \text{ avec la précision } 1/2^n$$

et

$$\mu: Y \times \mathbb{N}_1 \rightarrow \mathbb{D} \quad (f, n) \mapsto \mu(f, d, n) = m$$

où μ est un module de continuité uniforme pour la famille. Soit $S: \mathbb{N}_1 \rightarrow \mathbb{N}_1$ une fonction de classe \mathcal{P} qui donne une majoration du temps de calcul de ψ .

Considérons alors la fonction $\varphi: Y \times \mathbb{N}_1 \rightarrow \mathbf{Y}_{\text{KF}}$ définie par :

$$\varphi(f, n) = (Pr(f, n), n, \mu(f, n), S(\lfloor f \rfloor + \mu(f, n) + n))$$

où $\lfloor f \rfloor$ est la taille de f et Pr est le programme calculant ψ à peine modifié : il prend en entrée seulement les $d \in \mathbb{D}_{m, [0, 1]}$ et ne garde pour la sortie que les chiffres significatifs dans \mathbb{D}_n .

La fonction φ est aussi dans la classe \mathcal{P} .

De plus il est clair que le point rationnel codé par $(Pr, n, m, S(\lfloor f \rfloor + m + n))$ ainsi construit approxime \widetilde{f} à $1/2^n$ près. \square

Notez que cette propriété universelle de la présentation \mathcal{C}_{KF} est évidemment partagée par toute autre présentation \mathcal{P} -équivalente à \mathcal{C}_{KF} .

4.1.2 Présentation par circuits booléens

La présentation par circuits booléens est essentiellement la même chose que la présentation à la Ko-Friedman. Elle est un peu plus naturelle dans le cadre que nous nous sommes fixés (présentation rationnelle de l'espace métrique $\mathbf{C}[0, 1]$).

Notons CB l'ensemble des (codes des) circuits booléens. Codé informatiquement, un circuit booléen C est simplement donné par un programme d'évaluation booléen (boolean straight-line program) qui représente l'exécution du circuit C . Un point rationnel de la présentation par circuits booléens est une fonction linéaire par morceaux \tilde{f} codée par un quadruplet $f = (C, n, m, k)$ où C est (le code d')un circuit booléen, n est la précision réclamée pour $f(x)$, m la précision nécessaire en entrée, et 2^{k+1} majore la norme de \tilde{f} .

Définition 4.1.8. Un point rationnel de la présentation par circuits booléens \mathcal{C}_{cb} est codé par un quadruplet $f = (C, n, m, k) \in \text{CB} \times \mathbb{N}_1 \times \mathbb{N}_1 \times \mathbb{N}_1$ où C est (le code d')un circuit booléen ayant m portes d'entrée et $k + n + 1$ portes de sortie : les m portes d'entrée permettent de coder un élément de $\mathbb{D}_{m, [0, 1]}$ et les $k + n + 1$ portes de sortie permettent de coder les éléments de \mathbb{D} de la forme $\pm 2^k \left(\sum_{i=1, \dots, n+k} b_i 2^{-i} \right)$ (où les b_i sont égaux à 0 ou 1, b_0 code le signe \pm).

La donnée $f = (C, n, m, k)$ est dite *correcte* lorsque deux entrées codant des éléments de $\mathbb{D}_{m, [0, 1]}$ distants de $1/2^m$ donnent en sortie des codages de nombres distants de au plus $1/2^n$. L'ensemble des données correctes est \mathbf{Y}_{cb} .

Lorsqu'une donnée f est correcte, elle définit une fonction linéaire par morceau \tilde{f} qui est bien contrôlée (c'est le "point rationnel" défini par la donnée).

On notera que les paramètres de contrôle n, m et k sont surtout indiqués pour le confort de l'utilisateur. En fait $n + k$ et m sont directement lisibles sur le circuit C .

De ce point de vue, la situation est un peu améliorée par rapport à la présentation \mathcal{C}_{KF} pour laquelle les paramètres de contrôle sont absolument indispensables. La taille de C contrôle à elle seule le temps d'exécution du circuit (c.-à-d. la fonction qui calcule, à partir du code d'un circuit booléen et de la liste de ses entrées, la liste de ses sorties est une fonction de très faible complexité).

Proposition 4.1.9. (Complexité de la famille de fonctions attachées à \mathbf{Y}_{cb}). *La famille de fonctions continues $(\tilde{f})_{f \in \mathbf{Y}_{cb}}$ est uniformément de classe DSRT(Lin, Lin, QLin).*

Démonstration. On recopie presque à l'identique la preuve de la proposition 4.1.3 concernant la famille $(\tilde{f})_{f \in \mathbf{Y}_{KF}}$. La seule différence est le remplacement de la fonction $\text{Exec}(Pr, a)$ par l'évaluation d'un circuit booléen. La fonction qui calcule, à partir du code d'un circuit booléen et de la liste de ses entrées, la liste de ses sorties est une fonction de complexité en temps $O(t \log(t))$ (avec $t = t(C)$), donc de classe DSRT(Lin, Lin, QLin). \square

NB. Si on avait pris en compte "le temps de gestion" (cf. remarque 3.2.3) on aurait trouvé une complexité DSRT(Lin, Lin, $O(N^2)$), c.-à-d. le même résultat que pour la famille $(\tilde{f})_{f \in \mathbf{Y}_{KF}}$ (la complexité de $\text{Exec}(Pr, a)$ prend justement en compte "le temps de gestion").

4.1.3 Présentation par circuits arithmétiques fractionnaires (avec magnitude)

Rappelons qu'un circuit *arithmétique (fractionnaire)* est par définition un circuit qui a pour portes d'entrées des variables "réelles" x_i et des constantes dans \mathbb{Q} (on pourrait évidemment ne tolérer que les deux constantes 0 et 1 sans changement significatif).

Les autres portes sont :

- des portes à une entrée, des types suivants : $x \mapsto x^{-1}$, $x \mapsto -x$
- des portes à deux entrées, des deux types suivants : $x + y$, $x \times y$.

Un circuit arithmétique calcule une fraction rationnelle, (ou éventuellement "error" si on demande d'inverser la fonction identiquement nulle). Nous considérerons des circuits arithmétiques avec une seule variable en entrée et une seule porte de sortie et nous noterons CA l'ensemble des (codes de) circuits arithmétiques à une seule entrée. Le code d'un circuit est le texte d'un programme

d'évaluation (dans un langage et avec une syntaxe fixés une fois pour toutes) correspondant au circuit arithmétique considéré.

Définition 4.1.10. Un entier M est appelé *un coefficient de magnitude* pour un circuit arithmétique α à une seule entrée lorsque 2^M majore en valeur absolue toutes les fractions rationnelles du circuit (c.-à-d. celles calculées à toutes les portes du circuit) en tout point de l'intervalle $[0, 1]$. Un couple $f = (\alpha, M) \in \mathbf{CA} \times \mathbb{N}_1$ est une donnée *correcte* lorsque M est un coefficient de magnitude pour le circuit α . Cela définit les éléments de \mathbf{Y}_{ca} . Un élément f de \mathbf{Y}_{ca} définit la fraction rationnelle notée \tilde{f} lorsqu'elle est vue comme un élément de $\mathbf{C}[0, 1]$. La famille $(\tilde{f})_{f \in \mathbf{Y}_{\text{ca}}}$ est la famille des points rationnels d'une présentation de $\mathbf{C}[0, 1]$ qui sera notée \mathcal{C}_{ca} .

Notez que, à cause de la présence des multiplications et du passage à l'inverse, la taille de M peut être exponentielle par rapport à celle de α , même lorsqu'aucune fraction rationnelle de α n'a de pôle sur $[0, 1]$. Ce genre de mésaventure n'avait pas lieu avec les circuits semilinéaires binaires. Il semble même improbable que la correction d'un couple $(\alpha, M) \in \mathbf{CA} \times \mathbb{N}_1$ puisse être testée en temps polynomial (par rapport à la taille de la donnée (α, M)).

Proposition 4.1.11 (complexité de la famille de fonctions attachées à \mathbf{Y}_{ca}).

La famille de fonctions continues $(\tilde{f})_{f \in \mathbf{Y}_{\text{ca}}}$ est uniformément de classe \mathcal{P} , et plus précisément de classe $\text{DSRT}(\mathcal{O}(N^3), \text{Lin}, \mathcal{O}(NM(N^2)))$.

Démonstration. Soit $f = (\alpha, M)$ un élément de \mathbf{Y}_{ca} . Soit p la profondeur du circuit α . On démontre par récurrence sur π que, pour une porte de profondeur π la fonction rationnelle correspondante a une dérivée majorée par $2^{2M\pi}$ sur l'intervalle $[0, 1]$. Ceci fournit le module de continuité uniforme $\mu(f, k) = k + 2Mp$ (qui est en $\mathcal{O}(N^2)$) pour la famille $(\tilde{f})_{f \in \mathbf{Y}_{\text{ca}}}$.

Nous devons maintenant exhiber une fonction $\psi: \mathbf{Y}_{\text{ca}} \times \mathbb{D}_{[0,1]} \times \mathbb{N}_1 \rightarrow \mathbb{D}$ de complexité $\text{DRT}(\text{Lin}, \mathcal{O}(NM(N^2)))$ telle que

$$\forall (f, x, k) \in \mathbf{Y}_{\text{ca}} \times \mathbb{D}_{[0,1]} \times \mathbb{N}_1 \quad \left| \psi(f, x, k) - \tilde{f}(x) \right| \leq 2^{-k}.$$

Soit $(f, x, k) \in \mathbf{Y}_{\text{ca}} \times \mathbb{D}_{[0,1]} \times \mathbb{N}_1$ où $f = (\alpha, M)$. Soit $t = t(\alpha)$ le nombre des portes du circuit α . La taille des entrées est $N = t + M + k$.

Pour calculer $\psi((\alpha, M), x, k)$ on procède comme suit. On lit $m = k + 2Mp + p$ bits de x ce qui donne les deux points consécutifs a et b de $\mathbb{D}_{m,[0,1]}$ tels que $a \leq x \leq b$. On exécute le circuit α au point a en tronquant le calcul effectué sur chaque porte aux m premiers bits significatifs. La valeur obtenue à la sortie, tronquée aux k premiers bits significatifs, est l'élément $\psi((\alpha, M), x, k)$. Comme une multiplication (ou une division) se fait en temps $\mathcal{M}(m)$, le temps des opérations arithmétiques proprement dites est un $\mathcal{O}(t\mathcal{M}(k + 2Mp + p)) = \mathcal{O}(NM(N^2))$ et l'espace occupé est en $\mathcal{O}(N^3)$. \square

NB. Si on avait pris en compte "le temps de gestion" (cf. remarque 3.2.3) on aurait dit : le temps des opérations arithmétiques proprement dites est $\mathcal{O}(NM(N^2))$, et la gestion des objets est en $\mathcal{O}(N^4)$. Ainsi si on considère la multiplication rapide (respectivement naïve), la fonction d'évaluation est dans $\text{DRT}(\text{Lin}, \mathcal{O}(N^4))$ (respectivement $\text{DRT}(\text{Lin}, \mathcal{O}(N^5))$) où N est la taille des données.

4.1.4 Présentation par circuits arithmétiques polynomiaux (avec magnitude)

La présentation suivante de $\mathbf{C}[0, 1]$ sera notée \mathcal{C}_{cap} . L'ensemble des codes des points rationnels sera noté \mathbf{Y}_{cap} .

C'est la même chose que les circuits arithmétiques fractionnaires, sauf qu'on supprime les portes "passage à l'inverse". Il n'est donc pas nécessaire d'écrire la définition en détail.

On retrouve les mêmes difficultés concernant la magnitude, en un peu moins grave. Il ne semble pas que l'on puisse obtenir pour les circuits polynomiaux de majorations sensiblement meilleures que celles obtenues à la proposition 4.1.11 pour les circuits avec divisions.

4.2 Comparaisons des présentations précédentes

Nous démontrons dans cette section un résultat important, l'équivalence entre la présentation à la Ko-Friedman et les quatre présentations "par circuits" de $\mathbf{C}[0, 1]$ citées dans la section précédente, ceci du point de vue de la complexité en temps polynomial. En particulier nous obtenons une formulation complètement contrôlée du point de vue algorithmique pour le théorème d'approximation de Weierstrass.

Pour démontrer l'équivalence entre ces cinq présentations du point de vue de la complexité en temps polynomial, nous suivons le plan ci-dessous :

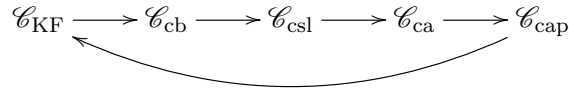


FIGURE 10 : schéma de la preuve

Pour donner l'équivalence entre ces différentes présentations, nous devons construire des fonctions qui permettent de transformer un point rationnel d'une présentation donnée en un point rationnel d'une autre présentation, qui approche convenablement le premier.

Proposition 4.2.1. *L'identité de $\mathbf{C}[0, 1]$ de \mathcal{C}_{KF} vers \mathcal{C}_{cb} est uniformément de classe \mathcal{P} , en fait de classe $\text{DTIME}(N^{14})$.*

La preuve de cette proposition est basée sur le Lemme 1.3.1 qui décrit la complexité d'une Machine de Turing Universelle et sur le lemme suivant.

Lemme 4.2.2. (cf. [34] et [25])

Soient M une machine de Turing fixée, T et m des éléments de \mathbb{N}_1 . Alors on a une fonction calculable en temps $O((T + m)^7)$ qui calcule $\gamma_{T,m}$: un circuit booléen simulant les T premières configurations de M pour n'importe quelle entrée dans $\{0, 1\}^m$.

Remarque 4.2.3. J. Stern a donné dans [34], pour tout entier $T \in \mathbb{N}_1$, une construction assez simple d'un circuit γ_T qui calcule la configuration de M obtenue après T pas de calcul à partir d'une configuration initiale de taille $\leq T$ (on peut supposer que $T \geq m$ ou prendre $\max(T, m)$). La taille du circuit γ_T est un $O(T^2)$. L'auteur a mentionné aussi que cette construction se fait en temps polynomial. Une complexité plus précise (de l'ordre de $O(T^7)$) est donnée dans [25].

Démonstration. (de la proposition 4.2.1) On considère la Machine de Turing Universelle MU du lemme 1.3.1. Soit $f = (Pr, n, m, T)$ un élément de \mathbf{Y}_{KF} . Notons p la taille du programme Pr . La taille de f est $N = p + n + m + T$. La machine MU prend en entrée le programme Pr ainsi qu'une entrée $x \in \mathbb{D}_{m, [0, 1]}$ et le nombre d'étapes T . Elle exécute en $O(T(\max(T, m) + p)) = O(N^2)$ étapes (cf. lemme 1.3.1) la tâche de calculer la sortie pour le programme Pr sur la même entrée x après T étapes de calcul. En appliquant le lemme 4.2.2 on obtient un temps $O(N^{14})$ pour calculer à partir de l'entrée f un élément g de \mathbf{Y}_{cb} (un circuit booléen ainsi que ses paramètres de contrôle) pour lequel on a $\tilde{g} = \tilde{f}$. \square

Proposition 4.2.4. *L'identité de $\mathbf{C}[0, 1]$ de \mathcal{C}_{cb} vers \mathcal{C}_{csl} est uniformément de classe LINTIME. Plus précisément, on a une fonction discrète qui, à partir d'un élément $f = (\gamma, n, m, k)$ de \mathbf{Y}_{cb} et d'un entier $q \in \mathbb{N}_1$, calcule en temps $O(N)$ (où N est la taille de l'entrée $((\gamma, n, m, k), q)$), un circuit semilinéaire binaire g tel que*

$$\forall x \in [0, 1] \quad \left| \tilde{f}(x) - \tilde{g}(x) \right| \leq 2^{-q} \quad (\text{F4.2.4}).$$

La preuve de cette proposition utilise le lemme suivant :

Lemme 4.2.5. *Il existe une fonction calculable en temps $O(N)$ qui transforme tout élément $f = ((\gamma, n, m, k), h)$ de $\mathbf{Y}_{\text{cb}} \times \mathbb{N}_1$ en un élément $f' = (\gamma', n + h, m + h, k)$ de \mathbf{Y}_{cb} correspondant à la même fonction semilinéaire.*

Démonstration. (du lemme 4.2.5) Supposons que le circuit γ calcule, pour l'entrée $x = u/2^m$ où $0 \leq u \leq 2^m - 1$, la valeur $y = \ell/2^n$, et pour $x' = (u+1)/2^m$, la valeur $y' = \ell'/2^n$ avec $\ell, \ell' \in \mathbb{Z}$ et $|\ell - \ell'| \leq 1$. Alors le circuit γ' calcule, pour l'entrée $x + r2^{-h}2^{-m}$, $0 \leq r \leq 2^h$, la valeur $y + (y' - y)r2^{-h}$.

Noter de plus que $t(\gamma') = O(t(\gamma) + h)$ et $\text{prof}(\gamma') = O(\text{prof}(\gamma) + h)$. \square

Démonstration. (de la proposition 4.2.4) D'après le lemme 4.2.5, la condition (F4.2.4) de la proposition 4.2.3 peut être remplacée par la condition :

$$\forall x \in [0, 1] \quad \left| \tilde{f}(x) - \tilde{g}(x) \right| \leq 2^{-(n-1)} \quad (\text{F4.2.5})$$

En effet : si $q < n$ alors (F4.2.4) découle de (F4.2.5), sinon, on utilise l'interpolation linéaire donnée dans la preuve du lemme 4.2.5.

Nous cherchons donc maintenant à simuler le circuit booléen $f = (\gamma, n, m, k)$ par un circuit semilinéaire binaire g avec la précision $1/2^n$.

Tout d'abord remarquons qu'il est facile de simuler de manière exacte toutes les portes, "sauf l'entrée", par un circuit semilinéaire simple λ qui consiste en :

- 1) remplacer les constantes booléennes 0 et 1 de γ par les constantes rationnelles 0 et 1.
- 2) remplacer chaque sommet de γ calculant $\neg u$ par un sommet de λ calculant $1 - u$.
- 3) remplacer chaque sommet de γ calculant $u \wedge v$ par un sommet de λ calculant $\min(u, v)$.
- 4) remplacer chaque sommet de γ calculant $u \vee v$ par un sommet de λ calculant $\max(u, v)$.
- 5) calculer, à partir des sorties c_0, c_1, \dots, c_{n+k} du circuit γ , le point rationnel :

$$\pm 2^k \sum_{i=1, \dots, n+k} c_i 2^{-i} \quad (c_0 \text{ code le signe})$$

Il est clair que le circuit λ se construit en temps linéaire et admet une taille $t(\lambda) = O(t(\gamma))$ et une profondeur $\text{prof}(\lambda) = O(\text{prof}(\gamma))$.

Maintenant nous cherchons à "simuler l'entrée" du circuit γ , c.-à-d. les bits codant x , par un circuit semilinéaire binaire.

Usuellement, pour déterminer le développement binaire d'un nombre réel x , on utilise le pseudo-algorithme suivant qui utilise la fonction discontinue C définie par :

$$C(x) = \begin{cases} 1 & \text{si } x \geq 1/2 \\ 0 & \text{sinon} \end{cases}$$

Algorithme 1 ("calcul" des m premiers bits d'un nombre réel $x \in [0, 1]$)

Entrées : $x \in [0, 1]$, $m \in \mathbb{N}$

Sortie : la liste $(b_1, b_2, \dots, b_m) \in \{0, 1\}^m$

Pour $j := 1$ à m Faire

$b_j \leftarrow C(x)$

$x \leftarrow 2x - b_j$

Fait

Fin.

La fonction C est discontinue, donc l'algorithme 1 *n'est pas vraiment un algorithme* ; et il ne peut pas être simulé par un circuit semilinéaire binaire. On considère alors la fonction continue

$$C_p(x) := C_{p, 1/2} = \min(1, \max(0, 2^p(x - 1/2))) \quad (\text{cf. figure 8})$$

qui "approche" la fonction C . Et l'on considère l'algorithme suivant :

Algorithme 2 (calcul “approximatif” des m premiers bits qui codent un nombre réel x)

Entrées : $x \in [0, 1]$, $m \in \mathbb{N}_1$
Sortie : une liste $(b_1, b_2, \dots, b_m) \in [0, 1]^m$

```

 $p \leftarrow m + 2$ 
Pour  $j := 1$  à  $m$  Faire
     $b_j \leftarrow C_p(x)$ 
     $x \leftarrow 2x - b_j$ 
     $p \leftarrow p - 1$ 
Fait
Fin.
```

Ceci est réalisé par un circuit de taille et profondeur $O(m)$ sous la forme suivante :

Algorithme 2bis (forme circuit semilinéaire de l’algorithme 2)

Entrées : $x \in [0, 1]$, $m \in \mathbb{N}_1$
Sortie : une liste $(b_1, b_2, \dots, b_m) \in [0, 1]^m$

```

 $p \leftarrow m + 2$ ,  $q \leftarrow 2^p$ 
Pour  $j := 1$  à  $m$  Faire
     $y \leftarrow q(x - 1/2)$ 
     $b_j \leftarrow \min(1, \max(0, y))$ 
     $x \leftarrow 2x - b_j$ 
     $q \leftarrow q/2$ 
Fait
Fin.
```

Mais un problème crucial se pose quand le réel x en entrée est dans un intervalle de type $]k/2^m, k/2^m + 1/2^p[$ où $0 \leq k \leq 2^m - 1$. Dans ce cas au moins un bit calculé dans l’algorithme 2 est dans $]0, 1[$. Par conséquent le résultat final de la simulation du circuit booléen peut être incohérent. Pour contourner cette difficulté, on utilise une technique introduite par Hoover [13, 14]. On fait les remarques suivantes :

— Pour tout $x \in [0, 1]$ au plus une des valeurs $x_\sigma = x + \frac{\sigma}{2^{m+2}}$ (où $\sigma \in \{-1, 0, 1\}$) est dans un intervalle de type précédent.

— Notons $z_\sigma = \sum_{j=1, \dots, m} b_j 2^{-j}$ où les b_j sont fournis par l’algorithme 2bis sur l’entrée x_σ .

D’après la remarque précédente, au moins deux valeurs $\lambda(\tilde{\lambda}(z_\sigma))$ ($\sigma \in \{-1, 0, 1\}$), correspondent exactement à la sortie du circuit arithmétique γ lorsqu’on met en entrée les m premiers bits de x_σ . C.-à-d., pour au moins deux valeurs de σ , on a $z_\sigma \in \mathbb{D}_m$ et $\tilde{\lambda}(z_\sigma) = \tilde{f}(z_\sigma)$ avec en outre $|z_\sigma - x| \leq 1/2^m + 1/2^{m+2} \leq 1/2^{m-1}$ (d’où $|\tilde{f}(z_\sigma) - \tilde{f}(x)| \leq 1/2^{n-1}$).

— Donc, une éventuelle mauvaise valeur calculée par le circuit semilinéaire ne peut être que la première ou la troisième des valeurs si on les ordonne par ordre croissant. Ainsi, si y_{-1} , y_0 et y_1 , sont les trois valeurs respectivement calculées par le circuit aux points x_σ ($\sigma \in \{-1, 0, 1\}$), alors la deuxième des 3 valeurs approche correctement $\tilde{f}(x)$. Etant donnés trois nombres réels y_{-1} , y_0 et y_1 , le 2ème par ordre croissant, $\theta(y_{-1}, y_0, y_1)$, est calculé par exemple par l’un des deux circuits semilinéaires binaires représentés par le deuxième membre dans les équations :

$$\theta(y_{-1}, y_0, y_1) = y_{-1} + y_0 + y_1 - \min(y_{-1}, y_0, y_1) - \max(y_{-1}, y_0, y_1)$$

$$\theta(y_{-1}, y_0, y_1) = \min(\max(y_0, y_1), \max(y_1, y_{-1}), \max(y_0, y_{-1}))$$

Résumons : à partir de l’entrée x nous calculons les $x_\sigma = x + \frac{\sigma}{2^{m+2}}$ (où $\sigma \in \{-1, 0, 1\}$), et nous appliquons successivement :

— le circuit ε (de taille $O(m) = O(N)$) qui décode correctement les m premiers digits de x_σ pour au moins deux des trois x_σ ;

— le circuit λ qui simule le circuit booléen proprement dit et recode les digits de sortie sous forme d'un dyadique, ce circuit est de taille $O(N)$;
 — puis le circuit θ qui choisit la 2^{ème} valeur calculée par ordre croissant.
 Nous obtenons donc un circuit qui calcule la fonction :

$$\tilde{g}(x) = \theta(\lambda(\varepsilon(x - 1/2^p)), \lambda(\varepsilon(x)), \lambda(\varepsilon(x + 1/2^p))) \quad \text{avec } p = m + 2$$

de taille et de profondeur $O(N)$ et tel que :

$$\left| \tilde{f}(x) - \tilde{g}(x) \right| \leq 2^{-n} \quad \forall x \in [0, 1].$$

En outre, le temps mis pour calculer (le code de) g à partir de l'entrée f est également en $O(N)$.

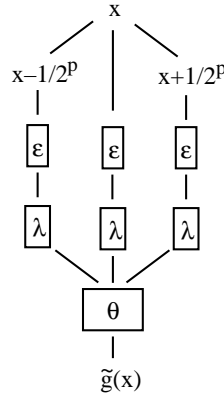


FIGURE 11 : vue globale du calcul

□

Nous passons à la simulation d'un circuit semilinéaire binaire par un circuit arithmétique (avec divisions). Nous donnons tout d'abord une version "circuit" de la proposition 3.3.5.

Proposition 4.2.6. *Les fonctions $(x, y) \mapsto \max(x, y)$ et $(x, y) \mapsto \min(x, y)$ sur le carré $[-2^m, 2^m] \times [-2^m, 2^m]$ peuvent être approchées à $1/2^n$ près par des circuits arithmétiques de taille $O(N^3)$, de magnitude $O(N^3)$ et qui peuvent être calculés dans la classe $\text{DTIME}(O(N^3))$ où $N = n + m$.*

Démonstration. On reprend la preuve du lemme 3.3.3. La représentation de polynômes approchant convenablement P_n et Q_n au moyen de circuits est plus économique en espace. Tout d'abord il faut construire un circuit qui calcule une approximation de $e^{-1/n}$ avec la précision $1/2^{n^3}$. On considère le développement de Taylor

$$F_m(z) = \sum_{0 \leq k \leq m} \frac{(-1)^k}{k!} z^k$$

qui approche e^z à $1/2^{m+2}$ près si $m \geq 5$ et $0 \leq z \leq 1$. Ici, on peut se contenter de donner un circuit qui calcule $d_n = F_{n^3}(1/n)$ dont la taille et le temps de calcul sont a priori en $O(n^3)$ (alors qu'on était obligé de donner explicitement une approximation dyadique $c_{n,1}$ de d_n). Ensuite on construit un circuit qui calcule une bonne approximation de $H_n(x) = \prod_{1 \leq k < n^2} (x + e^{-k/n})$ sous la forme $h_n(x) = (x + d_n)(x + d_n^2) \cdots (x + d_n^{n^2-1})$. Ce qui réclame un temps de calcul (et une taille de circuit) en $O(n^2)$. Ceci fait que le circuit arithmétique qui calcule une approximation à $1/2^n$ près de $|x|$ sur $[0, 1]$ est calculé en temps $O(n^3)$.

On voit aussi facilement que le coefficient de magnitude est majoré par la taille de $1/h_n(0)$ c.-à-d. également un $O(n^3)$. □

On remarquera que le coefficient de magnitude peut difficilement être amélioré. Par contre, il ne semble pas impossible que d_n puisse être calculé par un circuit de taille plus petite que la taille naïve en $O(n^3)$.

Proposition 4.2.7. *L'identité de $\mathbf{C}[0, 1]$ de \mathcal{C}_{csl} vers \mathcal{C}_{ca} est uniformément de classe \mathcal{P} , en fait de classe $\text{DTIME}(N^4)$. Plus précisément, on a une fonction discrète qui, à partir d'un élément g de \mathbf{Y}_{csl} de taille $t(g) = t$ et de profondeur $\text{prof}(g) = p$, et d'un entier $n \in \mathbb{N}_1$, calcule en temps $O(t(n+p)^3)$ un élément $f = (\alpha, M) \in \mathbf{Y}_{\text{ca}}$*
de taille $t(\alpha) = t(g)O((n+p)^3)$,
de profondeur $\text{prof}(\alpha) = O(p(n+p)^3)$
avec coefficient de magnitude $M = \text{mag}(\alpha) = O((n+p)^3)$,
et tel que $|\tilde{f}(x) - \tilde{g}(x)| \leq 2^{-n} \quad \forall x \in [0, 1]$.

Démonstration. Notons $p = \text{prof}(g)$. Les portes de g pour une entrée $x \in [0, 1]$ prennent des valeurs dans l'intervalle $[-2^p, 2^p]$. On veut simuler à 2^{-n} près le circuit g par un circuit arithmétique. Il suffit de simuler les portes max et min du circuit semilinéaire à $2^{-(n+p)}$ près sur l'intervalle $[-2^p, 2^p]$. Chaque simulation réclame, d'après la proposition 4.2.6, un circuit arithmétique (avec division) dont toutes les caractéristiques sont majorées par un $O(n+p)^3$. \square

Nous passons à la simulation d'un circuit arithmétique avec divisions par un circuit arithmétique polynomial.

Proposition 4.2.8. *L'identité de $\mathbf{C}[0, 1]$ de \mathcal{C}_{ca} vers \mathcal{C}_{cap} est uniformément de classe \mathcal{P} , en fait de classe $\text{DTIME}(N^2)$. Plus précisément, on a une fonction discrète qui, à partir d'un élément $f = (\alpha, M)$ de \mathbf{Y}_{ca} et d'un entier $n \in \mathbb{N}_1$, calcule en temps $O(N^2)$ un circuit arithmétique polynomial $(\Gamma, M') \in \mathbf{Y}_{\text{cap}}$ (N est la taille de l'entrée $((\alpha, M), n)$)*
— de taille $t(G) = O(t(\alpha)(n+M))$,
— de profondeur $\text{prof}(G) = O(\text{prof}(\alpha)(n+M))$,
— de magnitude $\text{mag}(G) = M' = O(n+M)$,
— et tel que : $|\tilde{f}(x) - \tilde{g}(x)| \leq 2^{-n}$ pour tout $x \in [0, 1]$.

Le problème se pose seulement au niveau des portes "passage à l'inverse". Nous cherchons donc à les simuler par des circuits polynomiaux tout en gardant la magnitude bien majorée.

Lemme 4.2.9. *La fonction $x \mapsto 1/x$ sur l'intervalle $[2^{-m}, 2^m]$ peut être réalisée avec la précision $1/2^n$ par un circuit polynomial de magnitude $O(m)$, de taille $O(m+n)$ et qui est construit en temps linéaire.*

Démonstration. Nous utilisons comme Hoover la méthode de Newton qui permet de calculer l'inverse d'un réel z à 2^{-n} près en un nombre raisonnable d'additions et multiplications en fonction de n .

Méthode de Newton (pour le calcul de l'inverse de z)

Pour $2^{-m} < z < 2^m$ on pose

$$C(x) = \begin{cases} y_0 = 2^{-m} \\ y_{i+1} = y_i(2 - zy_i) \end{cases}$$

On vérifie facilement que, pour $i \geq 3m + \log(m+n)$, on a :

$$|z^{-1} - y_i| \leq 2^{-n}.$$

Ainsi pour l'entrée $(n, m) \in \mathbb{N}_1 \times \mathbb{N}_1$, l'application de la méthode de Newton jusqu'à l'itération $i = 3m + \log(m+n)$ est représentée par un circuit polynomial de taille $O(m+n)$ et de magnitude $O(m+n)$. De plus, il est facile de vérifier que la construction de ce circuit se fait en temps linéaire. \square

Proposition 4.2.10. *L'identité de $\mathbf{C}[0, 1]$ de \mathcal{C}_{cap} vers \mathcal{C}_{KF} est uniformément de classe \mathcal{P} , en fait de classe $\text{DRT}(\text{Lin}, O(N^4))$.*

Démonstration. Le fait d'être de classe \mathcal{P} résulte du théorème 4.1.7 et de la proposition 4.1.11. La lecture précise des démonstrations du théorème 4.1.7 et de la proposition 4.1.11 donne le résultat $\text{DRT}(\text{Lin}, O(N^4))$ (en tenant compte du Nota bene après 4.1.11). \square

En résumant les résultats qui précèdent nous obtenons le théorème suivant.

Théorème 4.2.11. *Les cinq présentations \mathcal{C}_{KF} , \mathcal{C}_{cb} , \mathcal{C}_{csl} , \mathcal{C}_{ca} et \mathcal{C}_{cap} de $\mathbf{C}[0, 1]$ sont \mathcal{P} -équivalentes.*

Notation 4.2.12. Pour autant qu'on se situe à un niveau de complexité suffisamment élevé pour rendre le théorème de comparaison valable (en particulier la classe \mathcal{P} suffit) il n'y a pas de raison de faire de différence entre les cinq présentations \mathcal{C}_{KF} , \mathcal{C}_{cb} , \mathcal{C}_{csl} , \mathcal{C}_{ca} et \mathcal{C}_{cap} de $\mathbf{C}[0, 1]$. En conséquence, désormais la notation $\mathbf{C}[0, 1]$ signifiera qu'on considère l'espace $\mathbf{C}[0, 1]$ avec la structure de calculabilité \mathcal{C}_{csl} .

4.3 Complexité du problème de la norme

On sait que la détermination du maximum, sur un intervalle $[0, 1]$ d'une fonction calculable en temps polynomial $f: \mathbb{N} \rightarrow \{0, 1\}$ est à très peu près la même chose que le problème \mathcal{NP} -complet le plus classique : SAT.

Il n'est donc pas étonnant de trouver comme problème \mathcal{NP} -complet un problème relié au calcul de la norme pour une fonction continue. Il nous faut tout d'abord formuler le problème de la norme attaché à une présentation rationnelle donnée de l'espace $\mathbf{C}[0, 1]$ d'une manière suffisamment précise et invariante.

Définition 4.3.1.

Nous appelons "problème de la norme", relativement à une présentation $\mathcal{C}_1 = (Y_1, \delta_1, \eta_1)$ de $\mathbf{C}[0, 1]$ le problème :

— Résoudre *approximativement* la question " $a \leq \|f\|_\infty$? " dans la présentation \mathcal{C}_1 de $\mathbf{C}[0, 1]$.

La formulation précise de ce problème est la suivante :

— Entrées : $(f, a, n) \in Y_1 \times \mathbb{D} \times \mathbb{N}_1$

— Sortie : fournir correctement une des deux réponses :

— voici un $x \in \mathbb{D}$ tel que $|f(x)| \geq a - 1/2^n$, i.e. $\|f\|_\infty \geq a - 1/2^n$,

— il n'existe pas de $x \in \mathbb{D}$ vérifiant $|f(x)| \geq a$, i.e. $\|f\|_\infty \leq a$.

Cette définition est justifiée par le lemme suivant.

Lemme 4.3.2. *Pour deux présentations rationnelles \mathcal{C}_1 et \mathcal{C}_2 de $\mathbf{C}[0, 1]$ polynomialement équivalentes, les problèmes de la norme correspondants sont aussi polynomialement équivalents.*

Démonstration. La transformation du problème correspondant à une présentation \mathcal{C}_1 au problème correspondant à une autre présentation \mathcal{C}_2 se fait par un algorithme ayant la même complexité que l'algorithme qui permet de présenter la fonction identité entre \mathcal{C}_1 et \mathcal{C}_2 . En effet, pour les données $(f, a, n) \in Y_1 \times \mathbb{D} \times \mathbb{N}_1$, on cherche $g \in Y_2$ telle que $\|f - g\|_\infty \leq 2^{-(n+2)}$, puis on résout le problème avec les entrées $(g, a - 1/2^{n+1}, n + 2)$.

Si on trouve $x \in \mathbb{D}$ tel que $|g(x)| \geq a - 2^{-(n+1)} - 2^{-(n+2)}$, alors $|f(x)| \geq a - 2^{-n}$.

Si on déclare forfait, c'est qu'il n'existe pas de $x \in \mathbb{D}$ tel que $|g(x)| \geq a - 2^{-(n+1)}$. A fortiori, il n'existe pas de $x \in \mathbb{D}$ tel que $|f(x)| \geq a$. \square

Théorème 4.3.3. *Le problème de la norme est \mathcal{NP} -complet pour les présentations \mathcal{C}_{KF} , \mathcal{C}_{cb} , \mathcal{C}_{csl} , \mathcal{C}_{ca} et \mathcal{C}_{cap} .*

Démonstration. D'après le lemme 4.3.2 il suffit de faire la preuve pour la présentation \mathcal{C}_{cb} . Le caractère \mathcal{NP} du problème est immédiat. Pour voir la \mathcal{NP} -dureté, nous considérons le problème de la norme limité aux entrées $((\gamma, 1, m, 1), 3/4, 2)$ où γ est un circuit booléen arbitraire à m entrées et une sortie (le quadruplet est alors évidemment correct), et la réponse oui correspond à la satisfiabilité du circuit γ . \square

On a également le résultat suivant, essentiellement négatif¹¹, et donc moins intéressant.

Proposition 4.3.4. *Pour les présentations considérées, la fonction norme $f \mapsto \|f\|_\infty$ de $\mathbf{C}[0, 1]$ vers \mathbb{R}^+ est uniformément de classe \mathcal{P} si et seulement si $\mathcal{P} = \mathcal{NP}$.*

11. Puisque $\mathcal{P} \neq \mathcal{NP}$!

Démonstration. Il suffit de raisonner avec la présentation \mathcal{C}_{cb} . Si la fonction norme est \mathcal{P} -calculable¹², le problème de la norme se résout en temps polynomial, et donc $\mathcal{P} = \mathcal{NP}$.

Si $\mathcal{P} = \mathcal{NP}$, le problème de la norme se résout en temps polynomial, ce qui permet de calculer la norme par dichotomie en initialisant avec la majoration 2^k , jusqu'à obtenir la précision $1/2^q$. Ceci réclame $k + q$ étapes de dichotomie. L'ensemble du calcul est en temps polynomial sur l'entrée $(g, q) \in \mathbf{Y}_{cb} \times \mathbb{N}_1$. \square

Corollaire 4.3.5. *L'identité de $\mathbf{C}[0, 1]$ de \mathcal{C}_{KF} vers \mathcal{C}_{ff} n'est pas calculable en temps polynomial, au moins si $\mathcal{P} \neq \mathcal{NP}$.*

Démonstration. La fonction norme est calculable en temps polynomial pour la présentation \mathcal{C}_{ff} d'après la proposition 3.2.7. On conclut par la proposition précédente. \square

Proposition 4.3.6. *Pour les cinq présentations précédentes de $\mathbf{C}[0, 1]$, si l'évaluation est dans $\text{DSPACE}(S(N))$ avec $S(N) \geq N$, alors la fonction norme est aussi dans $\text{DSPACE}(S(N))$.*

Démonstration. Si $k \mapsto \mu(k)$ est un module de continuité d'un point rationnel \tilde{f} d'une présentation donnée de $\mathbf{C}[0, 1]$, alors pour calculer la norme avec une précision n il suffit d'évaluer \tilde{f} sur les éléments de $\mathbb{D}_{m, [0, 1]}$ (où $m = \mu(n)$) et prendre la valeur maximale. Puisque les résultats intermédiaires inutiles sont immédiatement effacés, et puisque $S(N) \geq N \geq m$ l'espace de calcul de la fonction norme est le même que celui de la fonction d'évaluation. \square

4.4 Complexité des présentations rationnelles étudiées

Dans cette section, nous présentons rapidement la complexité du test d'appartenance et des opérations d'espace vectoriel, pour les cinq présentations considérées, et nous récapitulons l'ensemble des résultats obtenus.

Proposition 4.4.1. *Le test d'appartenance (à l'ensemble des codes des points rationnels) est :*
— LINSPEACE et \mathcal{CO} - \mathcal{NP} -complet pour les présentations \mathcal{C}_{KF} et \mathcal{C}_{cb} ;
— LINTIME pour la présentation \mathcal{C}_{csl} .

Démonstration. Pour la présentation \mathcal{C}_{csl} , c'est évident. Les preuves sont essentiellement les mêmes pour les deux présentations \mathcal{C}_{KF} et \mathcal{C}_{cb} . Nous n'en donnons qu'une chaque fois.

Voyons que le test d'appartenance est LINSPEACE pour \mathbf{Y}_{KF} . Pour une entrée (Pr, n, m, T) on fait le calcul suivant :

pour $i = 1, \dots, 2^m$ vérifier que

$$Pr(i/2^m) \in \mathbb{D}_n \quad \text{et} \quad \left| Pr((i-1)/2^m) - Pr(i/2^m) \right| \leq 1/2^n$$

Ce calcul est LINSPEACE.

Pour la \mathcal{CO} - \mathcal{NP} -complétude du test d'appartenance, nous donnons la preuve pour les circuits booléens. On peut se limiter aux entrées $(\gamma, 2, m, 0)$ où γ est un circuit qui ne calcule qu'une sortie correspondant au premier bit, les deux autres bits sont nuls. On demande la cohérence sur deux points consécutifs de la grille. Seules les fonctions constantes sont donc tolérées.

Le problème opposé du test d'appartenance revient à savoir si un circuit booléen est non constant, ce qui implique la résolution du problème de satisfiabilité. \square

Proposition 4.4.2. *Les opérations d'espace vectoriel (sur l'ensemble des points rationnels) sont dans LINTIME pour les cinq présentations \mathcal{C}_{KF} , \mathcal{C}_{cb} , \mathcal{C}_{csl} , \mathcal{C}_{ca} et \mathcal{C}_{cap} de $\mathbf{C}[0, 1]$.*

Démonstration. Les calculs sont évidents. Par exemple si $(f_1, \dots, f_s) \in \text{lst}(\mathbf{Y}_{KF})$ et $n \in \mathbb{N}_1$, on peut calculer facilement $f \in \mathbf{Y}_{KF}$ tel que :

$$\left\| \tilde{f} - \sum_{i=1, \dots, s} \tilde{f}_i \right\| \leq 1/2^n$$

12. Nous utiliserons quelquefois la terminologie \mathcal{P} -calculable comme abréviation pour calculable en temps polynomial.

car il suffit de connaître chaque \tilde{f}_i avec la précision $1/2^{n+\log(s)}$. \square

Le seul “drame” est évidemment que les présentations \mathcal{C}_{KF} et \mathcal{C}_{cb} ne sont pas des \mathcal{P} -présentations de $\mathbf{C}[0, 1]$ (sauf si $\mathcal{P} = \mathcal{NP}$ cf. la proposition 4.3.4.)

Pour terminer cette section nous donnons un tableau récapitulatif dans lequel nous regroupons presque tous les résultats de complexité établis pour les cinq présentations rationnelles \mathcal{C}_{KF} , \mathcal{C}_{cb} , \mathcal{C}_{csl} , \mathcal{C}_{ca} et \mathcal{C}_{cap} de l'espace $\mathbf{C}[0, 1]$.

	Evaluation	Fonction Norme	Test d'appartenance	Opérations d'espace vectoriel
\mathcal{C}_{KF} et \mathcal{C}_{cb}	DSRT(Lin, Lin, $O(N^2)$)	LINSPEACE et \mathcal{NP} -complet	LINSPEACE et \mathcal{CO} - \mathcal{NP} -complet	LINTIME
\mathcal{C}_{csl}	DSRT($O(N^2)$, Lin, $O(N^2)$)	DSPACE($O(N^2)$) et \mathcal{NP} -complet	LINTIME	LINTIME
\mathcal{C}_{ca} et \mathcal{C}_{cap}	DSRT($O(N^3)$, Lin, $O(N^4)$)	DSPACE($O(N^3)$) et \mathcal{NP} -complet	PSPACE	LINTIME

Pour le test d'appartenance PSPACE il est probable que sa complexité soit bien moindre.

Remarque 4.4.3. Malgré la facilité de calcul de la fonction d'évaluation pour les présentations \mathcal{C}_{KF} et \mathcal{C}_{cb} , c'est encore la présentation par circuits semilinéaires binaires qui semble au fond la plus simple. Sa considération a permis en outre d'éclairer le théorème de comparaison 4.2.11, qui est une version renforcée, uniforme, des résultats établis par Hoover.

Le défaut inévitable (si $\mathcal{P} \neq \mathcal{NP}$) des présentations définies jusqu'à maintenant est la non faisabilité du calcul de la norme. Ceci empêche d'avoir une procédure de contrôle faisable pour les suites de Cauchy de points rationnels. Ceci diminue d'autant l'intérêt des \mathcal{P} -points de \mathcal{C}_{csl} . Cela souligne bien le fait qu'il est un peu artificiel d'étudier les \mathcal{P} -points d'un espace qui est donné dans une présentation de complexité non polynomiale.

En outre des problèmes a priori au moins aussi difficiles que la calcul de la norme, comme par exemple le calcul d'une primitive ou la solution d'une équation différentielle, sont également sans espoir de solution raisonnable dans le cadre des présentations que nous venons d'étudier.

Il est donc légitime de se tourner vers d'autres présentations rationnelles de l'espace $\mathbf{C}[0, 1]$ pour voir dans quelle mesure elles sont mieux adaptées aux objectifs de l'analyse numérique.

5 Quelques présentations de classe \mathcal{P} pour l'espace $\mathbf{C}[0, 1]$

Dans cette section on aborde la question de savoir jusqu'à quel point des présentations rationnelles dans la classe \mathcal{P} de l'espace $\mathbf{C}[0, 1]$ fournissent un cadre de travail adéquat pour l'analyse numérique. Il ne s'agit que d'une première étude, qui devrait être sérieusement développée.

5.1 Définitions de quelques présentations de classe \mathcal{P}

5.1.1 Présentation \mathcal{C}_{W} (à la Weierstrass)

L'ensemble \mathbf{Y}_{W} des codes des points rationnels de la présentation \mathcal{C}_{W} est simplement l'ensemble $\mathbb{D}[X]$ des polynômes (à une variable) à coefficients dans \mathbb{D} donnés en présentation dense.

Ainsi $\mathcal{C}_{\text{W}} = (\mathbf{Y}_{\text{W}}, \eta, \delta)$ où la lectrice donnera précisément η et δ conformément à la définition 2.1.1.

Un \mathcal{P} -point f de \mathcal{C}_{W} est donc donné par une suite \mathcal{P} -calculable :

$$m \mapsto u_m : \mathbb{N}_1 \rightarrow \mathbb{D}[X] \quad \text{avec} \quad \forall m \quad \|u_m - f\|_{\infty} \leq 1/2^m.$$

Et une \mathcal{P} -suite f_n de \mathcal{C}_{W} est donnée par une suite double \mathcal{P} -calculable :

$$(n, m) \mapsto u_{n,m} : \mathbb{N}_1 \times \mathbb{N}_1 \rightarrow \mathbb{D}[X] \quad \text{avec} \quad \forall n, m \quad \|u_{n,m} - f_n\|_{\infty} \leq 1/2^m.$$

Remarque 5.1.1. Une définition équivalente pour un \mathcal{P} -point f de \mathcal{C}_W est obtenue en demandant que f s'écrive comme somme d'une série $\sum_m s_m$, où $(s_m)_{m \in \mathbb{N}_1}$ est une suite \mathcal{P} -calculable dans $\mathbb{D}[X]$ vérifiant : $\|s_m\|_\infty \leq 1/2^m$. Ceci donne une manière agréable de présenter les \mathcal{P} -points de \mathcal{C}_W . En effet on peut contrôler en temps polynomial (par rapport à m) le fait que la suite est correcte pour les termes de 1 à m . En outre, dans l'optique d'un calcul paresseux, on peut contrôler la somme de série $\sum_m s_m$ au fur et à mesure que la précision requise augmente. Cette remarque est valable pour toute autre présentation rationnelle de classe \mathcal{P} alors qu'elle ne le serait pas pour les présentations étudiées dans la section 4.

Le résultat suivant est immédiat.

Proposition 5.1.2. *La présentation \mathcal{C}_W de $\mathbf{C}[0, 1]$ est de classe \mathcal{P} .*

Voici un résultat comparant les présentations rationnelles \mathcal{C}_{ff} et \mathcal{C}_W .

Proposition 5.1.3.

- L'identité de $\mathbf{C}[0, 1]$ de \mathcal{C}_W vers \mathcal{C}_{ff} est LINTIME.
- L'identité de $\mathbf{C}[0, 1]$ de \mathcal{C}_{ff} vers \mathcal{C}_W n'est pas de classe \mathcal{P} .

Démonstration. La première affirmation est triviale. La seconde résulte du fait que la fonction $x \mapsto |x - 1/2|$ est un \mathcal{P} -point de \mathcal{C}_{ff} (théorème 3.3.4) tandis que tous les \mathcal{P} -points de \mathcal{C}_W sont des fonctions infiniment dérivables (cf. ci-dessous le théorème 5.2.7). \square

L'intérêt de la présentation \mathcal{C}_W est notamment souligné par les théorèmes de caractérisation (cf. section 5.2) qui précisent des phénomènes "bien connus" en analyse numérique, avec les polynômes de Chebyshev comme méthode d'attaque des problèmes.

5.1.2 Présentation \mathcal{C}_{sp} (via des semi-polynômes en présentation dense)

Il s'agit d'une présentation qui augmente notablement l'ensemble des \mathcal{P} -points (par rapport à \mathcal{C}_W). Un élément de \mathbf{Y}_{sp} représente une fonction polynomiale par morceaux (ou encore un semi-polynôme) donné "en présentation dense".

Plus précisément $\mathbf{Y}_{\text{sp}} \subset \text{lst}(\mathbb{D}) \times \text{lst}(\mathbb{D}[X])$, et les deux listes dans \mathbb{D} et $\mathbb{D}[X]$ sont assujetties aux conditions suivantes :

- la liste $(x_i)_{0 \leq i \leq t}$ de nombres rationnels dyadiques est ordonnée par ordre croissant :

$$0 = x_0 < x_1 < x_2 < \cdots < x_{t-1} < x_t = 1;$$

- la liste $(P_i)_{1 \leq i \leq t}$ dans $\mathbb{D}[X]$ vérifie $P_i(x_i) = P_{i+1}(x_i)$ pour $1 \leq i \leq t-1$.

Le code $f = ((x_i)_{0 \leq i \leq t}, (P_i)_{1 \leq i \leq t})$ définit le point rationnel \tilde{f} : la fonction continue qui coïncide avec \tilde{P}_i sur l'intervalle $[x_{i-1}, x_i]$.

Ainsi $\mathcal{C}_{\text{sp}} = (\mathbf{Y}_{\text{sp}}, \eta, \delta)$ où $\eta(f) = \tilde{f}$ et le lecteur donnera δ conformément à la définition 2.1.1.

La présentation \mathcal{C}_{sp} de $\mathbf{C}[0, 1]$ est clairement de classe \mathcal{P} .

La proposition suivante se démontre comme la proposition 5.1.3.

Proposition 5.1.4.

- L'identité de $\mathbf{C}[0, 1]$ de \mathcal{C}_W vers \mathcal{C}_{sp} est LINTIME.
- L'identité de $\mathbf{C}[0, 1]$ de \mathcal{C}_{sp} vers \mathcal{C}_W n'est pas de classe \mathcal{P} .

5.1.3 Présentation \mathcal{C}_{sff} (via des semi-fractions rationnelles contrôlées et données en présentation par formule)

L'ensemble \mathbf{Y}_{sff} des codes des points rationnels est maintenant un ensemble qui code des fonctions rationnelles par morceaux (ou semi-fractions rationnelles) à coefficients dyadiques et qui sont convenablement contrôlées.

Plus précisément, $\mathbf{Y}_{\text{sff}} \subset \text{lst}(\mathbb{D}) \times \text{lst}(\mathbb{D}[X]_f \times \mathbb{D}[X]_f)$, et les deux listes dans \mathbb{D} et $\mathbb{D}[X]_f \times \mathbb{D}[X]_f$ sont assujetties aux conditions suivantes :

- la liste $(x_i)_{0 \leq i \leq t}$ de nombres rationnels dyadiques est ordonnée par ordre croissant :

$$0 = x_0 < x_1 < x_2 < \cdots < x_{t-1} < x_t = 1;$$

— chaque couple (P_i, Q_i) ($1 \leq i \leq t$ de la 2ème liste représente une fraction rationnelle $R_i = P_i/Q_i$ avec le dénominateur Q_i minoré par 1 sur l'intervalle $[x_{i-1}, x_i]$;
 — la liste $(R_i)_{1 \leq i \leq t}$ vérifie $R_i(x_i) = R_{i+1}(x_i)$ pour $1 \leq i < t$.
 Le code $f = ((x_i)_{0 \leq i \leq t}, (P_i, Q_i)_{1 \leq i \leq t})$ définit le point rationnel \tilde{f} : la fonction continue qui coïncide avec R_i sur chaque intervalle $[x_{i-1}, x_i]$.

Ainsi $\mathcal{E}_{\text{srf}} = (\mathbf{Y}_{\text{srf}}, \eta, \delta)$ avec $\eta(f) = \tilde{f}$ et la lectrice donnera δ conformément à la définition 2.1.1.

La présentation $\mathcal{E}_{\text{srf}} = (\mathbf{Y}_{\text{srf}}, \eta, \delta)$ de $\mathbf{C}[0, 1]$ est clairement de classe \mathcal{P} .

5.2 Résultats concernant la présentation à la Weierstrass

Cette section est pour l'essentiel un développement de la section C-c de l'article [22] qui reprend la troisième partie la thèse du deuxième auteur.

Les références classiques de base pour la théorie de l'approximation sont [2, Bakhvalov, 1973], [10, Cheney, 1966] et [32, Rivlin, 1974]. Pour la classe de Gevrey on se réfère à [15, Hörmander, 1983]. Nous suivons les notations de [10].

Avant de caractériser les \mathcal{P} -points de \mathcal{E}_W , il nous faut rappeler quelques résultats classiques de la théorie de l'approximation uniforme par des polynômes.

Attention ! Vu la manière usuelle dont est formulée la théorie de l'approximation, on utilisera l'intervalle $[-1, 1]$ pour donner les résultats et les preuves concernant \mathcal{E}_W .

5.2.1 Quelques définitions et résultats de la théorie de l'approximation uniforme par des polynômes

Voir par exemple [2], [32] et [10].

Notation 5.2.1.

- $\mathbf{C}[a, b]$ est l'espace des fonctions réelles continues sur le segment $[a, b]$.
- \mathbf{C} est l'espace $\mathbf{C}[-1, 1]$, la norme uniforme sur cet intervalle est notée $\|f\|_\infty$ et la distance correspondante d_∞ .
- $\mathbf{C}^{(k)}$ est l'espace des fonctions k fois continûment dérivables sur $[-1, 1]$.
- $\mathbf{C}^{(\infty)}$ est l'espace des fonctions indéfiniment dérivables sur $[-1, 1]$.
- \mathbf{P}_n est l'espace des polynômes de degré $\leq n$.
- T_n est le polynôme de Chebyshev de degré n :

$$T_n(\varphi(z)) = \varphi(z^n) \text{ avec } \varphi(z) = \frac{1}{2}(z + 1/z)$$

on peut également les définir par $T_n(\cos(x)) = \cos(nx)$ ou par

$$F(u, x) = \frac{1 - ux}{1 - u^2 - 2ux} = \sum_{n=0}^{\infty} T_n(x)u^n.$$

- On note : $\boxed{E_n(f) = d_\infty(f, \mathbf{P}_n)}$ pour $f \in \mathbf{C}$.
- On considère sur \mathbf{C} le produit scalaire

$$\langle g, h \rangle := \int_{-1}^1 \frac{g(x)h(x)}{\sqrt{1-x^2}} dx = \int_0^\pi g(\cos(x))h(\cos(x))dx.$$

On notera $\|f\|_2$ la norme au sens de ce produit scalaire. Les polynômes $(T_i)_{0 \leq i \leq n}$ forment une base orthogonale de \mathbf{P}_n pour ce produit scalaire, avec

$$\langle T_0, T_0 \rangle = \pi \text{ et } \langle T_i, T_i \rangle = \pi/2 \text{ pour } i > 0.$$

- On note

$$A_k = A_k(f) := \frac{2}{\pi} \int_{-1}^1 \frac{f(x) T_k(x)}{\sqrt{1-x^2}} dx = \frac{2}{\pi} \int_0^\pi \cos(kx) f(\cos(x)) dx$$

Les A_k sont appelés les *coefficients de Chebyshev* de f .

- La fonction

$$s_n(f) := A_0/2 + \sum_{i=1}^n A_i T_i, \quad \text{aussi notée } \sum_{i=0}^n {}' A_i T_i$$

est la projection orthogonale de f sur \mathbf{P}_n au sens du produit scalaire considéré.

- La série correspondante est appelée *la série de Chebyshev* de f ¹³.
- On note $S_n(f) = \|f - s_n(f)\|_\infty$. On a immédiatement $|A_{n+1}(f)| \leq S_n(f) + S_{n+1}(f)$.
- Les zéros de T_n sont les

$$\xi_i^{[n]} = \cos\left(\frac{2i-1}{n} \cdot \frac{\pi}{2}\right) \quad i = 1, \dots, n$$

et l'on a

$$T_n(x) = 2^{n-1} \prod_{i=1}^n (x - \xi_i^{[n]}) \quad (\text{pour } n \geq 1).$$

- Les extrema de T_n sur $[-1, 1]$ sont égaux à ± 1 et obtenus aux points

$$\eta_i^{[n]} = \cos\left(\frac{i}{n} \cdot \pi\right) \quad i = 0, \dots, n.$$

- Des valeurs approchées de $s_n(f)$ peuvent être calculées au moyen de formules d'interpolation : on pose

$$\alpha_k^{[m]} = \frac{2}{m} \sum_{i=0}^m {}' f(\xi_i^{[m]}) T_k(\xi_i^{[m]}), \quad u_n^{[m]} = \sum_{k=1}^n \alpha_k^{[m]} T_k(x)$$

et l'on a : $u_n^{[n+1]}$ est le polynôme qui interpole f aux zéros de T_n

La théorie de l'approximation uniforme par des polynômes établit des liens étroits entre "être suffisamment bien approchable par des polynômes" et "être suffisamment régulière".

5.2.2 Quelques résultats classiques

Ces résultats se trouvent pour l'essentiel dans [10].

Dans ce paragraphe les fonctions sont dans $\mathbf{C} = \mathbf{C}[-1, 1]$.

Évaluation d'un polynôme $P = \sum_{k=0}^n a_k T_k$

Les formules récurrentes $T_{m+1}(x) = 2xT_m(x) - T_{m-1}(x)$ conduisent à un algorithme à la Horner :

$$B_{n+1} = B_{n+2} = 0, \quad B_k = 2xB_{k+1} - B_{k+2} + a_k, \quad P(x) = \frac{B_0 - B_2}{2}.$$

Inégalités de Markov

Si $g \in \mathbf{P}_n$ alors (A.A. Markov, [10, page 91])

$$\|g'\|_\infty \leq n^2 \|g\|_\infty \quad (1)$$

13. Elle converge au sens de L^2 pour le produit scalaire considéré. Les séries de Chebyshev sont aux fonctions continues sur $[-1, 1]$ ce que les séries de Fourier sont aux fonctions continues périodiques, ce qui se comprend bien en considérant le "changement de variable" $z \mapsto 1/2(z + 1/z)$ qui transforme le cercle unité du plan complexe en le segment $[-1, 1]$ et la fonction $z \mapsto z^n$ en le polynôme T_n .

et pour $k \geq 2$ (V.A. Markov, [32, Theorem 2.24])

$$\|g^{(k)}\|_{\infty} \leq T_n^{(k)}(1)\|g\|_{\infty} = \frac{n^2(n^2-1)\cdots(n^2-(k-1)^2)}{1.3.5\cdots(2k-1)}\|g\|_{\infty} \quad (2)$$

Comparaison de $E_n(f)$ et $S_n(f)$

$$E_n(f) \leq S_n(f) \leq \left(4 + \frac{4}{\pi^2} \log(n)\right) E_n(f) \quad (3)$$

Comparaison de $E_n(f)$ et $A_{n+1}(f)$

Pour $n \geq 1$ on a

$$\int_{-1}^1 \frac{|T_n(x)|}{\sqrt{1-x^2}} dx = 2$$

d'où l'on déduit

$$(\pi/4)|A_{n+1}(f)| \leq E_n(f) \quad (4)$$

Théorèmes de Jackson

Soit $f \in \mathbf{C}$. Pour tout entier $n \geq 1$ on a

$$E_n(f) \leq \pi\lambda/(2n+2) \quad \text{si} \quad |f(x) - f(y)| \leq \lambda|x-y| \quad (5)$$

$$E_n(f) \leq (\pi/2)^k \|f^{(k)}\|_{\infty} / ((n+1)(n)(n-1)\cdots(n-k+2)) \quad \text{si} \quad f \in \mathbf{C}^{(k)} \text{ et } n \geq k \quad (6)$$

Convergence de la série de Chebyshev d'une fonction

La série de Chebyshev d'une fonction $f \in \mathbf{C}^{(k)}$ converge uniformément vers f si $k \geq 1$, et elle est absolument convergente (pour la norme $\|f\|_{\infty}$) si $k \geq 2$.

$$S_n(f) = \|s_n(f) - f\|_{\infty} \leq \sum_{j=n+1}^{\infty} |A_j| \quad (7)$$

et (cf. [32] Theorem 3.12 p. 182)

$$\left\|s_n(f) - u_n^{[n+1]}\right\|_{\infty} \leq \sum_{j=n+2}^{\infty} |A_j| \quad (8)$$

Approximation uniforme des fonctions dans $\mathbf{C}^{(\infty)}$ par des polynômes

Les propriétés suivantes sont équivalentes.

- (i) $\forall k \exists M > 0 \forall n > 0 \quad E_n(f) \leq M/n^k$;
- (ii) $\forall k \exists M > 0 \forall n > 0 \quad S_n(f) \leq M/n^k$;
- (iii) $\forall k \exists M > 0 \forall n > 0 \quad |A_n(f)| \leq M/n^k$;
- (iv) $\forall k \exists M > 0 \forall n > 0 \quad \left\|u_n^{[n+1]} - f\right\|_{\infty} \leq M/n^k$;
- (v) La fonction f est de classe \mathcal{C}^{∞} (i.e., $f \in \mathbf{C}^{(\infty)}$).

Démonstration. (i) et (ii) sont équivalents d'après (3).

(iv) \Rightarrow (i) trivialement.

(ii) \Rightarrow (iii) parce que $|A_n(f)| \leq S_n(f) + S_{n-1}(f)$.

(iii) \Rightarrow (iv) d'après (7) et (8).

(iii) \Rightarrow (v) : la série $\sum' A_i T_i^{(h)}$ est absolument convergente d'après (2) et les majorations (iii) ; donc on peut dériver h fois terme à terme la série de Chebyshev.

(v) \Rightarrow (i) d'après (6). □

Analyticité et approximation uniforme par des polynômes

Les propriétés suivantes sont équivalentes :

- (i) $\exists M > 0, r < 1 \forall n > 0, E_n(f) \leq Mr^n$;
- (ii) $\exists M > 0, r < 1 \forall n > 0, S_n(f) \leq Mr^n$;
- (iii) $\exists M > 0, r < 1 \forall n > 0, |A_n(f)| \leq Mr^n$;
- (iv) $\exists M > 0, r < 1 \forall n > 0, \left\| u_n^{[n+1]} - f \right\|_\infty \leq Mr^n$;
- (v) $\exists r < 1$ telle que f est analytique dans le plan complexe à l'intérieur de l'ellipse \mathcal{E}_ρ de foyers $1, -1$ et dont le demi-somme des diamètres principaux est égale à $\rho = 1/r$;
- (vi) $\exists M > 0, R > 1 \forall n, \left\| f^{(n)} \right\|_\infty \leq MR^n n!$.
- (vii) f est analytique sur l'intervalle $[-1, 1]$.

En outre la limite inférieure des valeurs de r possibles est la même dans les 5 premiers cas¹⁴.

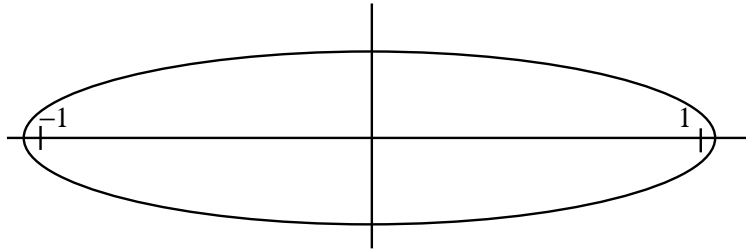


FIGURE 12 : L'ellipse \mathcal{E}_ρ

Remarques 5.2.2.

1) L'espace des fonctions analytiques sur un intervalle compact possède donc une bonne description constructive, en termes de série de Chebyshev par exemple. Il apparaît comme une réunion dénombrable emboîtée d'espaces métriques complets (ceux obtenus en utilisant la définition (iii) et en fixant M et r rationnels par exemple). L'espace des fonctions $\mathbf{C}^{(\infty)}$ est beaucoup plus difficile à décrire constructivement, essentiellement parce qu'il n'existe pas de manière agréable d'engendrer les suites de rationnels à décroissance rapide¹⁵.

2) La condition (i) peut être également lue comme suit : la fonction f peut être approchée à $1/2^n$ (pour la norme uniforme) par un polynôme de degré $\leq c.n$, où c est une constante fixée, c.-à-d. encore : il existe un entier h tel que $E_{hn}(f) \leq 1/2^n$.

Même remarque pour les conditions (ii), (iii) et (iv). Cela implique que la fonction f peut être approchée à $1/2^n$ par un polynôme à coefficients dyadiques dont la taille (en présentation dense sur la base des X^n ou sur la base des T_n) est en $O(n^2)$. La taille de la somme des valeurs absolues des coefficients est, elle, en $O(n)$. Bakhvalov (cf. [2] IV-8 Th. p. 233) donne une condition suffisante du même genre pour qu'une fonction f soit analytique dans une lentille d'extrémités -1 et 1 du plan complexe (et non plus dans un voisinage du segment) : il suffit que la somme des valeurs absolues des coefficients d'un polynôme donnant f à $1/2^n$ près soit majorée par $M2^{qn}$ (où M et q sont des constantes fixées). C.-à-d. encore : la taille de la somme des valeurs absolues des coefficients d'un polynôme approchant f à $1/2^n$ est en $O(n)$.

Classe de Gevrey et approximation uniforme par des polynômes

Si f est un \mathcal{P} -point de \mathcal{C}_W donné par une suite $m \mapsto P_m$ \mathcal{P} -calculable (avec $\|f - P_m\|_\infty \leq 2^{-m}$), alors le degré de P_m est majoré par un polynôme en m , donc il existe un entier k et une constante B telles que le degré de P_m soit majoré par $(Bm)^k$. Soit alors n arbitraire, et

14. Les équivalences (i) ... (iv) se démontrent comme pour la proposition précédente. Pour l'équivalence avec (v) voir par exemple [32]. La condition (vi) représente à très peu près l'analyticité dans l'ouvert U_R formé des points dont la distance à l'intervalle est inférieure à $1/R$.

15. Cela tient au $\forall k \exists M$ dans la définition de la décroissance rapide. Cette alternance de quantificateurs prend une forme explicite lorsqu'on donne M en fonction de k explicitement. Mais, en vertu de l'argument diagonal de Cantor, il n'y a pas de manière effective d'engendrer les fonctions effectives de \mathbb{N} vers \mathbb{N} .

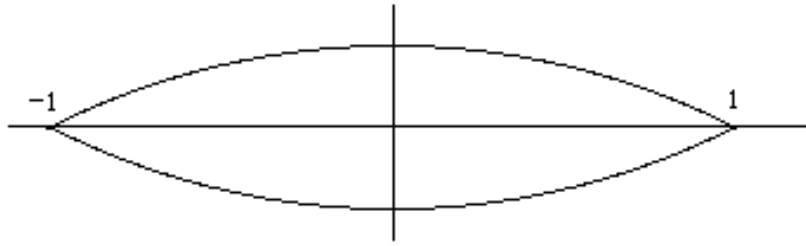


FIGURE 13 : La lentille de Bakhvalov

considérons le plus grand entier m tel que $(Bm)^k \leq n$, c.-à-d. $m := \lfloor \sqrt[k]{n/B} \rfloor$. On a donc $m + 1 \geq \sqrt[k]{n/B}$. En posant $r := 1/2^{1/B}$ et $\gamma := 1/k$, on obtient :

$$E_n(f) \leq 1/2^m \leq 2.r^{n^\gamma}, \text{ avec } r \in]0, 1[, \gamma > 0.$$

En particulier, la suite $E_n(f)$ est à décroissance rapide et $f \in \mathbf{C}^{(\infty)}$. Ceci nous amène à étudier les fonctions f pour lesquelles ce genre de majoration est obtenu.

Définition 5.2.3 (classe de Gevrey¹⁶). Une fonction $f \in \mathbf{C}^{(\infty)}$ est dite dans la classe de Gevrey d'ordre $\alpha > 0$ si ses dérivées vérifient une majoration :

$$\|f^{(n)}\|_\infty \leq MR^n n^{\alpha n}.$$

La classe de Gevrey est obtenue lorsqu'on ne précise pas l'ordre α .

Théorème 5.2.4. Soit $f \in \mathbf{C}$. Les propriétés suivantes sont équivalentes.

- (i) $\exists M > 0, r < 1, \gamma > 0 \forall n > 0, E_n(f) \leq Mr^{n^\gamma},$
- (ii) $\exists M > 0, r < 1, \gamma > 0 \forall n > 0, S_n(f) \leq Mr^{n^\gamma},$
- (iii) $\exists M > 0, r < 1, \gamma > 0 \forall n > 0, |A_n(f)| \leq Mr^{n^\gamma},$
- (iv) $\exists M > 0, r < 1 \forall n > 0, \|u_n^{[n+1]} - f\|_\infty \leq Mr^{n^\gamma},$
- (j) $\exists c, \beta > 0 \forall n > 0, \forall m \geq cn^\beta E_m(f) \leq 1/2^n,$
- (jj) $\exists c, \beta > 0 \forall n > 0, \forall m \geq cn^\beta S_m(f) \leq 1/2^n,$
- (jjj) $\exists c, \beta > 0 \forall n > 0, \forall m \geq cn^\beta |A_m(f)| \leq 1/2^n,$
- (jw) $\exists c, \beta > 0 \forall n > 0, \forall m \geq cn^\beta \|u_m^{[m+1]} - f\|_\infty \leq 1/2^n,$
- (k) f est dans la classe de Gevrey.

Démonstration. (i) \Leftrightarrow (ii) à partir de l'équation (3).

(i) \Rightarrow (iii) à partir de l'équation (4).

(iv) \Rightarrow (i) est triviale.

Les 4 équivalences du type (i) \Leftrightarrow (j) résultent du même genre de calcul que celui qui a été fait avant le théorème.

L'implication (jjj) \Rightarrow (jw) résulte d'un calcul de majoration simple utilisant les inégalités (7) et (8).

Supposons (k), c.-à-d. que f soit Gevrey d'ordre α , et démontrons (i). Le problème de majoration n'est délicat que pour $\alpha \geq 1$, ce qu'on supposera maintenant. En appliquant le théorème de Jackson, on obtient une majoration $E_n(f) \leq \pi^k \|f^{(k)}\|_\infty / n^k$ dès que $n \geq 2k$, ce qui donne avec

16. Cf. par exemple Hörmander [15] : The Analysis of Linear Partial Differential Operators I p 281 (Springer 1983). Une fonction est Gevrey d'ordre 1 si et seulement si elle est analytique.

la majoration de Gevrey $E_n(f) \leq A(Ck^\alpha/n)^k$. On peut supposer $C^{1/\alpha} \geq 2$ et on prend pour k un entier proche de $(n/2C)^{1/\alpha}$ ($\leq n/2$), d'où à très peu près :

$$E_n(f) \leq A(1/2)^{(n/2C)^{1/\alpha}} = Ar^{n^\gamma}, \text{ avec } \gamma = 1/\alpha.$$

Supposons maintenant que f vérifie (j) et démontrons que f est Gevrey.

Le problème de majoration n'est délicat que pour $\beta \geq 1$, ce qu'on supposera maintenant. On écrit $f^{(k)} = \sum' A_m T_m^{(k)}$. D'où $\|f^{(k)}\|_\infty \leq \sum' |A_m| m^{2k}$ d'après l'inégalité de V.A. Markov (2). On utilise maintenant la majoration (jjj). On prend c et β entiers pour simplifier (ce n'est pas une restriction). Dans la somme ci-dessus, on regroupe les termes pour m compris entre cn^β et $c(n+1)^\beta$. Dans le paquet obtenu, on majore chaque terme par $(1/2^n)m^{2k}$, et on majore le nombre de termes par $c(n+1)b$, d'où :

$$\begin{aligned} \|f^{(k)}\|_\infty &\leq \sum_n (c(n+1)^\beta/2^n)(c(n+1)^\beta)^{2k} \leq 2c^{2k+1} \sum_n (n+1)^{\beta(2k+1)}/2^n \\ &\leq 4c^{2k+1} \sum_n n^h/2^n, \text{ où } h = \beta(2k+1). \end{aligned}$$

On majore cette série par la série obtenue en dérivant h fois la série $\sum_n x^n$ (puis en faisant $x = 1/2$) et on obtient que f est Gevrey d'ordre 2β . \square

Remarques 5.2.5.

- 1) L'espace des fonctions Gevrey possède donc une présentation constructive agréable.
- 2) Pour $\gamma = 1$ on obtient les fonctions analytiques. Pour $\gamma > 1$, on obtient des fonctions entières.
- 3) Pour $\gamma \leq 1$, la limite supérieure des γ possibles est la même dans (i), (ii), (iii) et (iv), la limite inférieure des β possibles est la même dans (j), (jj), (jjj) et (jw), avec $\gamma = 1/\beta$.
- 4) Si on se base sur le cas des fonctions analytiques ($\alpha = \beta = \gamma = 1$), on peut espérer, pour l'implication (j) \Rightarrow (k), obtenir que f soit Gevrey d'ordre β au moyen d'un calcul de majoration plus sophistiqué.
- 5) Dans (j), (jj), (jw) on peut supprimer le quantificateur $\forall m$ si on prend c et β entiers et $m = cn^\beta$.

5.2.3 Retour aux questions de complexité dans l'espace \mathcal{C}_W

Nous commençons par une remarque importante.

Remarque importante. En ce qui concerne $\mathbb{D}[X]$, la présentation dense ordinaire (sur la base des X^n) et la présentation dense sur la base des polynômes de Chebyshev T_n , sont équivalentes en temps polynomial. Nous utiliserons indifféremment l'une ou l'autre des deux bases, selon la commodité du moment.

Rappelons également que la norme $P \rightarrow \|P\|_\infty$ est une fonction \mathcal{P} -calculable de $\mathbb{D}[X]$ vers \mathbb{R} .

La preuve de la proposition suivante est immédiate. En fait toute fonctionnelle définie sur \mathcal{C}_W qui a un module de continuité uniforme polynomial et dont la restriction à $\mathbb{D}[X]$ est "facile à calculer" est elle-même "facile à calculer". Cette proposition prend toute sa valeur au vu du théorème de caractérisation 5.2.7.

Proposition 5.2.6 (bon comportement des fonctionnelles usuelles).

Les fonctionnelles :

$$\mathcal{C}_W \rightarrow \mathbb{R} \quad f \mapsto \|f\|_\infty, \|f\|_2, \|f\|_1$$

sont uniformément de classe \mathcal{P} .

Les fonctionnelles :

$$\mathcal{C}_W \times [0, 1] \times [0, 1] \rightarrow \mathbb{R} \quad (f, a, b) \mapsto \sup_{x \in [a, b]} (f(x)), \int_a^b f(x) dx$$

sont uniformément de classe \mathcal{P} .

Théorème 5.2.7 (caractérisation des \mathcal{P} -points de \mathcal{C}_W).

Soit $f \in \mathbf{C}$. Les propriétés suivantes sont équivalentes.

- a) La fonction f est un \mathcal{P} -point de \mathcal{C}_{KF} et est dans la classe de Gevrey.
- b) La suite $A_n(f)$ est une \mathcal{P} -suite dans \mathbb{R} et vérifie une majoration $|A_n(f)| \leq Mr^{n^\gamma}$ avec $M > 0$, $\gamma > 0$ et $0 < r < 1$.
- c) La fonction f est un \mathcal{P} -point de \mathcal{C}_W .

Démonstration. Les implications (c) \Rightarrow (a) et (c) \Rightarrow (b) sont faciles à partir du théorème 5.2.4. (b) \Rightarrow (c). Un polynôme (en présentation dense sur la base des T_n) approchant f avec la précision $1/2^{n+1}$ est obtenu avec la somme partielle extraite de la série de Chebyshev de f en s'arrêtant à l'indice $(Bn)^h$ (où B et h se calculent à partir de M et γ). Il reste à remplacer chaque coefficient de Chebyshev par un dyadique l'approchant avec la précision :

$$1/\|(Bn)^h 2^{n+1}\| = 1/2^{n+1+h \log(Bn)}.$$

(a) \Rightarrow (c). Un polynôme approchant f avec la précision $1/2^{n+1}$ est obtenu avec $u_m^{[m+1]}$ (où $m = (Cn)^k$, C et k se calculent à partir de M et γ , en tenant compte des inégalités (7) et (8)). La formule définissant $u_m^{[m+1]}$ fournit ses coefficients sur la base des T_n et on peut calculer (en temps polynomial) une approximation à $1/2^{n+1+k \log(Cn)}$ près de ces coefficients en profitant du fait que la suite double $\xi_i^{[n]}$ est une \mathcal{P} -suite de réels et que la fonction f est un \mathcal{P} -point de \mathcal{C}_{KF} . \square

Une conséquence immédiate du théorème précédent est obtenue dans le cas des fonctions analytiques.

Théorème 5.2.8. Soit $f \in \mathbf{C}$. Les propriétés suivantes sont équivalentes.

- (a) La fonction f est une fonction analytique et c'est un \mathcal{P} -point de \mathcal{C}_{KF} .
- (b) La suite $A_n(f)$ est une \mathcal{P} -suite dans \mathbb{R} et vérifie une majoration

$$|A_n(f)| \leq Mr^n \quad (M > 0, r < 1).$$

- (c) La fonction f est une fonction analytique et est un \mathcal{P} -point de \mathcal{C}_W .

Définition 5.2.9 (fonctions \mathcal{P} -analytiques).

Lorsque ces propriétés sont vérifiées, on dira que la fonction f est \mathcal{P} -analytique sur l'intervalle $[-1, 1]$.

Théorème 5.2.10 (assez bon comportement de la dérivation vis à vis de la complexité).

Soit \tilde{f} un \mathcal{P} -point de \mathcal{C}_W . Alors la suite $k \mapsto \tilde{f}^{(k)}$ est une \mathcal{P} -suite de \mathcal{C}_W . Plus généralement, si (\tilde{f}_n) est une \mathcal{P} -suite de \mathcal{C}_W alors la suite double $\left(\tilde{f}_n^{(k)}\right)$ est une \mathcal{P} -suite de \mathcal{C}_W .

Démonstration. Nous donnons la preuve pour la première partie de la proposition. Elle s'appliquerait sans changement pour le cas d'une \mathcal{P} -suite de \mathcal{C}_W .

La fonction \tilde{f} est un \mathcal{P} -point de \mathcal{C}_W donné comme limite d'une suite \mathcal{P} -calculable $n \mapsto P_n$. La suite double $P_n^{(k)}$ est \mathcal{P} -calculable ($n, k \in \mathbb{N}_1$). Il existe deux entiers a et b tels que le degré de P_n soit majoré par $2^a n^b$. Donc, d'après l'inégalité de V.A. Markov (2) on a la majoration :

$$\left\| P_n^{(k)} - P_{n-1}^{(k)} \right\|_\infty \leq (2^a n^{2b})^k \|P_n - P_{n-1}\|_\infty \leq (2^a n^{2b})^k / 2^{n-2} = 1/2^{n-(k.(a+2b \log(n))+2)}$$

On détermine alors aisément une constante n_0 telle que, pour $n \geq 2n_0 k$, on ait :

$$n \geq 2(k.(a + 2b \log(n)) + 2)$$

et donc

$$\left\| P_n^{(k)} - P_{n-1}^{(k)} \right\|_\infty \leq 1/2^{n/2}$$

de sorte qu'en posant $\nu(n) := 2 \sup(n_0 k, n)$, on a, pour $q \geq \nu(n)$,

$$\left\| P_{\nu(n)}^{(k)} - P_{\nu(n+1)}^{(k)} \right\|_{\infty} \leq 1/2^{n-1}$$

et donc, puisque $\nu(n+1) = \nu(n)$ ou $\nu(n) + 2$,

$$\left\| P_{\nu(n)}^{(k)} - P_{\nu(n+1)}^{(k)} \right\|_{\infty} \leq 1/2^{n-1}$$

d'où enfin :

$$\left\| P_{\nu(n)}^{(k)} - f^{(k)} \right\|_{\infty} \leq 1/2^{n-2}$$

On termine en notant que la suite double $(n, k) \mapsto P_{\nu(n+2)}^{(k)}$ est \mathcal{P} -calculable. \square

Corollaire 5.2.11. *Si f est un \mathcal{P} -point de $\mathcal{C}_{\mathbb{W}}$ et a, b deux \mathcal{P} -points de $[-1, 1]$, alors les suites*

$$\|f^{(n)}\|_{\infty}, \|f^{(n)}\|_2, \|f^{(n)}\|_1, \|f^{(n)}(a)\| \text{ et } \sup_{x \in [a, b]} (f^{(n)}(x))$$

sont des \mathcal{P} -suites dans \mathbb{R} .

Plus généralement, si (f_p) est une \mathcal{P} -suite de $\mathcal{C}_{\mathbb{W}}$ alors les suites doubles

$$\|f_p^{(n)}\|_{\infty}, \|f_p^{(n)}\|_2, \|f_p^{(n)}\|_1, \|f_p^{(n)}(a)\| \text{ et } \sup_{x \in [a, b]} (f_p^{(n)}(x))$$

sont des \mathcal{P} -suites dans \mathbb{R} .

La preuve du théorème 5.2.10 (et donc du corollaire 5.2.11) est en quelque sorte uniforme et a une signification plus générale. Nous allons maintenant définir le cadre naturel dans lequel s'applique ce théorème et donner un nouvel énoncé, plus général et plus satisfaisant.

Définition 5.2.12. Pour c et $\beta > 0$ on note $\mathbf{Gev}_{c, \beta}$ la classe des fonctions Gevrey vérifiant la majoration (du type (jjj) dans 5.2.4)

$$\forall m > cn^{\beta} \quad |A_m(f)| \leq 1/2^n$$

C'est une partie convexe fermée de \mathbf{C} . Pour c et β entiers, on note $\mathbf{Y}_{\mathbf{Gev}_{c, \beta}}$ les éléments de $\mathbb{D}[X]$ qui sont dans la classe $\mathbf{Gev}_{c, \beta}$. Cet ensemble $\mathbf{Y}_{\mathbf{Gev}_{c, \beta}}$ peut être pris pour ensemble des codes des points rationnels d'une présentation rationnelle $\mathcal{C}_{\mathbf{Gev}_{c, \beta}}$ de $\mathbf{Gev}_{c, \beta}$.

On notera que le test d'appartenance à la partie $\mathbf{Y}_{\mathbf{Gev}_{c, \beta}}$ de $\mathbb{D}[X]$ est en temps polynomial, puisque les $A_m(f)$ pour un polynôme f sont ses coefficients sur la base de Chebyshev. Dans ce nouveau cadre, le théorème 5.2.8 admet une formulation plus uniforme et plus efficace.

Théorème 5.2.13. *Chaque fonctionnelle $f \mapsto f^{(k)}$ est une fonction uniformément de classe \mathcal{P} de $\mathcal{C}_{\mathbf{Gev}_{c, \beta}}$ vers $\mathcal{C}_{\mathbb{W}}$. Plus précisément la suite de fonctionnelles*

$$(k, f) \mapsto f^{(k)} : \mathbb{N}_1 \times \mathcal{C}_{\mathbf{Gev}_{c, \beta}} \rightarrow \mathcal{C}_{\mathbb{W}}$$

est uniformément de classe \mathcal{P} (au sens de la définition 2.2.9).

Démonstration. La suite double $(k, f) \mapsto f^{(k)}$ est de faible complexité en tant que fonction de $\mathbb{N}_1 \times \mathbb{D}[X]$ vers $\mathbb{D}[X]$ donc aussi en tant que fonction de $\mathbb{N}_1 \times \mathbf{Y}_{\mathbf{Gev}_{c, \beta}}$ vers $\mathbb{D}[X]$.

Tout le problème est donc de démontrer que l'on a un module de continuité uniforme polynomial (au sens de 2.2.9). Nous devons calculer une fonction $\mu(k, h)$ telle que l'on ait pour tous f et g dans $\mathbf{Y}_{\mathbf{Gev}_{c, \beta}}$:

$$\|f - g\|_{\infty} \leq 1/2^{\mu(k, h)} \Rightarrow \left\| f^{(k)} - g^{(k)} \right\|_{\infty} \leq 1/2^h.$$

Ce calcul de majoration est assez proche de celui qui a été fait dans la preuve du théorème 5.2.8. On écrit

$$\left\| f^{(k)} - g^{(k)} \right\|_{\infty} \leq \left\| f^{(k)} - s_n(f)^{(k)} \right\|_{\infty} + \left\| g^{(k)} - s_n(g)^{(k)} \right\|_{\infty} + \left\| s_n(f - g)^{(k)} \right\|_{\infty}.$$

Dans la somme du second membre les deux premiers termes sont majorés comme suit

$$\left\| f^{(k)} - s_n(f)^{(k)} \right\|_{\infty} \leq \sum_{q>n} |A_q(f)| \left\| T_q^{(k)} \right\|_{\infty} \leq \sum_{q>n} |A_q(f)| q^{2k}.$$

Comme on a : $\forall q > cn^{\beta}$ $|A_q(f)| \leq 1/2^n$, $\sum_{q>n} |A_q(f)| q^{2k}$ est "bien" convergente et on peut expliciter un $\alpha(k, h)$ polynomial en k, h tel que (voir l'explicitation en fin de preuve),

$$\text{avec } n = \alpha(k, h) \quad \forall f \in \mathbf{Y}_{\mathbf{Gev}, c, \beta} : \sum_{q>n} |A_q(f)| q^{2k} \leq 1/2^{h+2}.$$

Une fois fixé $n = \alpha(k, h)$ il nous reste à rendre petit le terme $\left\| s_n(f - g)^{(k)} \right\|_{\infty}$. L'inégalité de Markov (2) implique que

$$\left\| s_n(f - g)^{(k)} \right\|_{\infty} \leq \|s_n(f - g)\|_{\infty} n^{2k}.$$

Il ne reste plus qu'à obtenir une majoration convenable de $\|s_n(f - g)\|_{\infty}$ à partir de $\|f - g\|_{\infty}$. Par exemple, on peut utiliser la majoration $S_n(f) \leq (4 + \log(n))E_n(f)$ (d'après la formule (3)) d'où

$$\left\| f^{(k)} \right\|_{\infty} \leq \|f\|_{\infty} + S_n(f) \leq \|f\|_{\infty} + (4 + \log(n))E_n(f) \leq (5 + \log(n))\|f\|_{\infty}.$$

Donnons pour terminer l'explicitation de $\alpha(k, h)$. On a les inégalités

$$\sum_{q \geq cn_0^{\beta}} |A_q(f)| q^{2k} \leq \sum_{n \geq n_0} \sum_{q \leq c(n+1)^{\beta}} q^{2k}/2^n \leq \sum_{n \geq n_0} c(n+1)^{\beta} (c(n+1)^{\beta})^{2k}/2^n,$$

donc

$$\sum_{q \geq cn_0^{\beta}} |A_q(f)| q^{2k} \leq \sum_{n \geq n_0} (c(n+1)^{\beta})^{2k+1}/2^n \leq \sum_{n \geq n_0} 1/2^{\varphi(n, \beta, c, k)}$$

avec, si $2^a \geq c$,

$$\varphi(n, \beta, c, k) \geq n - (2k+1)a - (2k+1)\beta \log(n+1).$$

Si l'on a

$$\text{pour } n \geq n_0 \quad \varphi(n, \beta, c, k) \geq h + n/2 + 4, \quad (\star)$$

on obtient

$$\sum_{q \geq cn_0^{\beta}} |A_q(f)| q^{2k} \leq \sum_{n \geq n_0} 1/2^{\varphi(n, \beta, c, k)} \leq (1/2^{h+2}(1/4)) \sum_{n \geq n_0} 1/2^{n/2} \leq 1/2^{h+2}.$$

Et l'on peut prendre $\alpha(k, h) = cn_0^{\beta}$.

Il reste à voir comment on peut réaliser la condition (\star) .

Pour tout entier b on a un entier $\nu(b) \leq \max(8, b^2)$ pour lequel

$$n > \nu(b) \Rightarrow n \geq b \log(n+1).$$

Si donc $n \geq \nu(4(2k+1)\beta)$ on obtient

$$\varphi(n, \beta, c, k) \geq n - (2k+1)a - (2k+1)\beta \log(n+1) \geq (3n/4) - (2k+1)a$$

et la condition $\varphi(n, \beta, c, k) \geq h + n/2 + 4$ est réalisée si $n/4 \geq (2k+1)a + h + 4$. D'où finalement $\alpha(h, k) = c \max(\nu(4(2k+1)\beta), 4((2k+1)a + h + 4))^{\beta}$. \square

En appliquant la proposition 5.2.6, on obtient le corollaire suivant.

Corollaire 5.2.14.

i) Les trois suites de fonctionnelles

$$(n, f) \mapsto \|f^{(n)}\|_\infty, \|f^{(n)}\|_2, \|f^{(n)}\|_1 \quad \mathbb{N}_1 \times \mathcal{C}_{\mathbf{Gev},c,\beta} \rightarrow \mathbb{R}$$

sont uniformément de classe \mathcal{P} (au sens de la définition 2.2.9).

ii) La suite de fonctionnelles

$$(n, f, x) \mapsto f^{(n)}(x) \quad \mathbb{N}_1 \times \mathcal{C}_{\mathbf{Gev},c,\beta} \times [-1, 1] \rightarrow \mathbb{R}$$

est uniformément de classe \mathcal{P} .

iii) La suite de fonctionnelles

$$(n, f, a, b) \mapsto \sup_{x \in [a,b]} (f^{(n)}(x)) \quad \mathbb{N}_1 \times \mathcal{C}_{\mathbf{Gev},c,\beta} \times [-1, 1] \times [-1, 1] \rightarrow \mathbb{R}$$

est uniformément de classe \mathcal{P} .

Remarque 5.2.15. Les théorèmes 5.2.7, 5.2.8, 5.2.10, 5.2.13, la proposition 5.2.6 et les corollaires 5.2.11 et 5.2.14 améliorent sensiblement les résultats de [16], [17] et [27] sur les fonctions analytiques calculables en temps polynomial (au sens de Ko-Friedman).

5.3 Comparaisons de différentes présentations de classe \mathcal{P}

Dans cette section, nous obtenons la chaîne suivante de fonctions uniformément de classe \mathcal{P} pour l'identité de $\mathbf{C}[0, 1]$.

$$\mathcal{C}_W \rightarrow \mathcal{C}_{\text{sp}} \rightarrow \mathcal{C}_{\text{frf}} \equiv \mathcal{C}_{\text{sfrf}} \rightarrow \mathcal{C}_{\text{KF}}$$

et aucune des flèches \rightarrow dans la ligne ci-dessus n'est une \mathcal{P} -équivalence sauf peut-être $\mathcal{C}_{\text{sp}} \rightarrow \mathcal{C}_{\text{frf}}$ et très éventuellement $\mathcal{C}_{\text{frf}} \rightarrow \mathcal{C}_{\text{KF}}$ (mais cela impliquerait $\mathcal{P} = \mathcal{NP}$). Tout d'abord, il est clair que l'identité de $\mathbf{C}[0, 1]$ est de classe LINTIME pour les cas suivants :

$$\mathcal{C}_W \rightarrow \mathcal{C}_{\text{sp}}; \quad \mathcal{C}_{\text{sp}} \rightarrow \mathcal{C}_{\text{sfrf}}; \quad \mathcal{C}_{\text{frf}} \rightarrow \mathcal{C}_{\text{sfrf}}.$$

Par ailleurs l'identité de $\mathbf{C}[0, 1]$ est de classe \mathcal{P} dans le cas suivant

$$\mathcal{C}_{\text{frf}} \rightarrow \mathcal{C}_{\text{ca}}$$

(en fait, seul le calcul de la magnitude n'est pas complètement trivial, et il est sûrement dans $\text{DTIME}(\mathcal{O}(N^2))$).

Il nous reste à démontrer que l'identité de $\mathbf{C}[0, 1]$ de \mathcal{C}_{sp} vers \mathcal{C}_{frf} et celle de $\mathcal{C}_{\text{sfrf}}$ vers \mathcal{C}_{frf} sont de classe \mathcal{P} .

Théorème 5.3.1. *L'identité de $\mathbf{C}[0, 1]$ de \mathcal{C}_{sp} vers \mathcal{C}_{frf} est uniformément de classe \mathcal{P} .*

Démonstration. Soit $n \in \mathbb{N}_1$ et $f \in \mathbf{Y}_{\text{sp}}$. On doit calculer un élément $g \in \mathbf{Y}_{\text{frf}}$ tel que

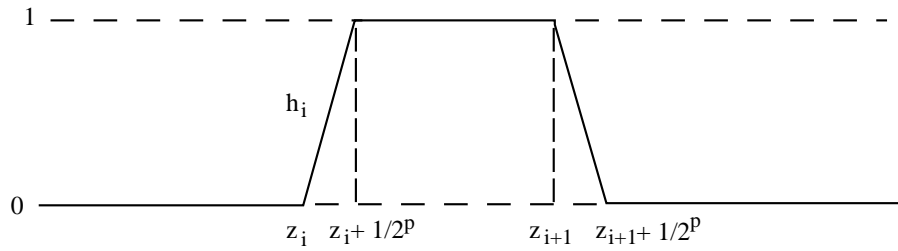
$$\|\tilde{f} - \tilde{g}\|_\infty \leq 1/2^n.$$

On a $f = ((x_0, x_1, \dots, x_t), (P_1, P_2, \dots, P_t))$ avec $x_0 = 0$, $x_t = 1$ et $P_i(x_i) = P_{i+1}(x_i)$ pour $i = 1, \dots, t-1$. On calcule $m \in \mathbb{N}_1$ tel que 2^m majore les $\|P_i\|_\infty$ et $\|P'_i\|_\infty$.

On pose $p = m+n+1$ et $z_i = x_i - 1/2^{p+1}$ pour $i = 1, \dots, t-1$. Pour $i = 0$ on pose $h_0 := -C_{p,z_1}$. Pour $i = t-1$ on pose $h_{t-1} := C_{p,z_{t-1}}$. Pour $i = 1, \dots, t-2$ on pose $h_i := C_{p,z_i} - C_{p,z_{i+1}}$ (voir la figure 14).

Alors la fonction \tilde{f} est à très peu près égale à $h = \sum_i h_i P_{i+1}$: sur les intervalles $[z_i + 1/2^p, z_{i+1}]$ on a $h = \tilde{f}$, tandis que sur un intervalle

$$[z_i, z_i + 1/2^p] = [x_i - 1/2^{p+1}, x_i + 1/2^{p+1}]$$

FIGURE 14 : La fonction h_i

on obtient $h = h_{i-1}P_i + h_iP_{i+1}$ qui est une moyenne pondérée de P_i et P_{i+1} , au lieu de P_i ou P_{i+1} . En un point x de cet intervalle, on a $|x - x_i| \leq 1/2^{p+1}$, on applique le théorème des accroissements finis et en utilisant $P_i(x_i) = P_{i+1}(x_i)$ on obtient

$$|P_i(x) - P_{i+1}(x)| \leq |P_i(x) - P_i(x_i)| + |P_{i+1}(x) - P_{i+1}(x_i)| \leq 2^{m+1}/2^{p+1} \leq 1/2^{n+1}$$

et donc :

$$\|\tilde{f} - h\|_\infty \leq 1/2^{n+1}.$$

Il reste à remplacer chaque h_i par un élément g_i de \mathbf{Y}_{ff} vérifiant $\|\tilde{g}_i - h_i\|_\infty \leq 1/(t2^p)$ (de sorte que $\|\tilde{g}_iP_{i+1} - h_iP_{i+1}\|_\infty \leq 1/(t2^{n+1})$) et donc

$$\left\| h - \sum_i \tilde{g}_i P_{i+1} \right\|_\infty \leq 1/2^{n+1}.$$

Vue la proposition 3.3.7 concernant l'approximation des fonctions $C_{p,a}$ par des fractions rationnelles, le calcul des g_i se fait en temps polynomial à partir de la donnée (f, n) . Il reste à exprimer $\sum_i \tilde{g}_i P_{i+1}$ sous forme \tilde{g} avec $g \in \mathbf{Y}_{\text{ff}}$, ce qui n'offre pas de difficulté, pour obtenir $\|\tilde{f} - \tilde{g}\|_\infty \leq 1/2^n$. \square

Théorème 5.3.2. *Les représentations \mathcal{C}_{ff} et \mathcal{C}_{sff} de $\mathbf{C}[0, 1]$ sont \mathcal{P} -équivalentes.*

Démonstration. À partir d'un élément $f = ((x_0, x_1, \dots, x_t), ((P_1, Q_1), \dots, (P_t, Q_t)))$ arbitraire de \mathbf{Y}_{sff} on peut calculer en temps polynomial des nombres dyadiques $d_1, d_2, \dots, d_t \geq 1$ vérifiant $d_i Q_i(x_i) = d_{i+1} Q_{i+1}(x_i)$ (et donc aussi $d_i P_i(x_i) = d_{i+1} P_{i+1}(x_i)$) pour $i = 1, \dots, t-1$. Alors $\tilde{f} = \tilde{g}/h$ où $g, h \in \mathbf{Y}_{Sp}$ sont donnés par :

$$g = ((x_0, x_1, \dots, x_t), (d_1 P_1, \dots, d_t P_t)) \quad \text{et} \quad h = ((x_0, x_1, \dots, x_t), (d_1 Q_1, \dots, d_t Q_t)).$$

On conclut en utilisant le Theorem 5.3.1 qui permet d'approcher convenablement \tilde{g} et \tilde{h} par des fractions rationnelles. \square

Conclusion

Hoover a relié de manière intéressante la notion naturelle de complexité des fonctions réelles continues donnée par Ko et Friedman à une autre notion, basée sur les circuits arithmétiques. Il a donné de cette manière une certaine version "en temps polynomial" du théorème d'approximation de Weierstrass.

Dans cet article nous avons généralisé l'approche de Hoover, en introduisant un point de vue uniforme grâce à la notion de présentation rationnelle d'un espace métrique. Ceci fournit un cadre de travail général satisfaisant pour l'étude de très nombreux problèmes de complexité algorithmique en analyse. Grâce à cette approche nous avons également généralisé les résultats de Ko, Friedman et Müller concernant les fonctions analytiques calculables en temps polynomial. La présentation rationnelle \mathcal{C}_{csl} \mathcal{P} -équivalente à \mathcal{C}_{KF} est la plus naturelle du point de vue de l'informatique théorique. Cependant ce n'est pas une \mathcal{P} -présentation et elle est mal adaptée à l'analyse numérique dès qu'on se pose des problèmes plus compliqués que l'évaluation (le calcul de la norme, ou d'une primitive par exemple).

Parmi les représentations que nous avons étudiées, la présentation \mathcal{C}_W semble être la plus facile à utiliser pour de nombreux problèmes de l'analyse numérique.

Quant à la présentation par les fractions rationnelles, elle mérite une étude plus approfondie. On aimerait obtenir pour cette présentation un analogue du théorème (donné pour la présentation \mathcal{C}_W) concernant la caractérisation des \mathcal{P} -points. Il serait également intéressant d'obtenir pour \mathcal{C}_{fr} la \mathcal{P} -calculabilité de certaines opérations usuelles de l'analyse numérique, comme le calcul d'une primitive ou plus généralement le calcul de la solution d'une équation différentielle ordinaire.

Remerciements Nous remercions Maurice Margenstern et le referee pour leurs remarques pertinentes.

Références

- [1] Aberth O. : *Computable analysis*. McGraw-Hill (1980). [F6](#)
- [2] Bakhvalov : *Méthodes Numériques*. Editions MIR. Moscou (1973). [F42](#), [F45](#)
- [3] Beeson M. : *Foundations of Constructive Mathematics*. Springer-Verlag (1985). [F6](#), [F14](#)
- [4] Bishop E. : *Foundations of Constructive Analysis* McGraw-Hill, New York, (1967). [F6](#)
- [5] Bishop E., Bridges D. : *Constructive Analysis*. Springer-Verlag (1985). [F3](#), [F6](#), [F11](#), [F13](#), [F16](#), [F20](#)
- [6] Borodin A. : *On relating time and space to size and depth*. SIAM J. Comput. **6** (4), 733–744 (1977). [F22](#)
- [7] Brent R. : *Fast multiple-precision evaluation of elementary functions*. Journal of the ACM **23** (2) 242–251 (1976). [F24](#)
- [8] Bridges D. : *Constructive Functional Analysis*. Pitman, London (1979). [F17](#)
- [9] Bridges D., Richman F. : *Varieties of Constructive Mathematics*. London Math. Soc. LNS 97. Cambridge University Press (1987) [F6](#), [F7](#)
- [10] Cheney E. W. : *Introduction to Approximation Theory*. Mc Graw Hill Book Company (1966). [F42](#), [F43](#)
- [11] Goodstein R. : *Recursive number theory. A development of recursive arithmetic in a logic-free equation calculus*. Studies in Logic and the Foundations of Mathematics. Amsterdam, North-Holland (1957). [F6](#)
- [12] Goodstein R. : *Recursive Analysis*. Studies in Logic and the Foundations of Mathematics. Amsterdam, North-Holland (1961). [F6](#)
- [13] Hoover J. : *Feasibly constructive analysis*. PhD (1987). [F27](#), [F35](#)
- [14] Hoover J. : *Feasible real functions and arithmetic circuits*. Siam J. Comput. **19** (1), 182–204 (1990). [F3](#), [F16](#), [F27](#), [F35](#)
- [15] Hörmander : *The Analysis of Linear Partial Differential Operators I*. Springer (1983). [F42](#), [F46](#)
- [16] Ker-I. Ko, Friedman H. : *Computational complexity of real functions*. Theoretical Computer Science **20**, 323–352 (1982). [F3](#), [F6](#), [F12](#), [F13](#), [F14](#), [F27](#), [F51](#)
- [17] Ker-I. Ko, Friedman H. : *Computing power series in polynomial time*. Adv. Appl. Math. **9**, 40–50 (1988). [F6](#), [F51](#)

- [18] Ker I. Ko : *On the definitions of some complexity classes of real numbers*. Math System Theory **16**, 95–109 (1983). [F11](#)
- [19] Ker I. Ko : *Complexity theory of real functions*. Birkhäuser (1991). [F6](#), [F13](#), [F16](#)
- [20] Kushner B. A. : *Lectures on constructive mathematical analysis*. AMS Translations of Mathematical monographs n°60 (1984) (la version russe est de 1973). [F6](#)
- [21] Labhalla S., Lombardi H. : *Real numbers, continued fractions and complexity classes*. Annals of Pure and Applied Logic **50**, 1–28 (1990). [F4](#), [F11](#)
- [22] Lombardi H. : *Nombres algébriques et approximations*. Publications Mathématiques de l'Université (Besançon) Théorie des Nombres. Fascicule 2 (1989). http://hlombardi.free.fr/publis/these_part3.pdf [F42](#)
- [23] Margenstern M. : *L'école constructive de Markov*. Revue d'Histoire des Mathématiques, **1** (2), 271–305 (1995) [F6](#)
- [24] Mines R., Richman F., Ruitenburg W. *A Course in Constructive Algebra*. Springer-Verlag. Universitext. (1988). [F6](#)
- [25] Moutai E.M. : *Complexité des fonctions réelles, comparaison de différentes présentations*. Thèse de Troisième Cycle, Marrakech.(1995). [F18](#), [F33](#)
- [26] N. Th. Müller : *Subpolynomial complexity classes of real functions and real numbers*. Proc 13th ICALP LNCS n°226. 284–293 (1986). [F6](#)
- [27] N. Th. Müller : *Uniform computational complexity classes of Taylor series*. Lecture Notes in Computer Science 267 (1987). [F6](#), [F51](#)
- [28] Newman D.J. : *Rational approximation to $|x|$* . Michigan Math. Journal (1964). [F24](#)
- [29] Pan V. : *Solving a polynomial equation : some history and recent progress*. SIAM Rev. **39** (2), 187–220 (1997). [F24](#)
- [30] Petrushev P.P., Popov V.A. : *Rational approximation of real functions*. Encyclopedia of Mathematics and its applications. Cambridge University Press (1987). [F24](#)
- [31] Pour El M., Richards I. : *Computability in Analysis and Physics*. Perspectives in Mathematical logic. Springer Verlag (1989). [F6](#), [F19](#)
- [32] Th. J. Rivlin : *The Chebyshev Polynomials*. A Wiley Interscience Publication. Wiley & Sons. New York (1974). [F42](#), [F44](#), [F45](#)
- [33] Schnorr C.P. : *Satisfiability is quasilinear complete in NQL*. J. Ass. Comput. Machinery **25** (1) 136–145 (1978). [F9](#)
- [34] Stern J. : *Fondements mathématiques de l'informatique*. Mc Graw-Hill, Paris, (1990). [F33](#)